

# پژوهش نفت

# PETROLEUM RESEARCH

بهمن و اسفند ۱۴۰۱

دوماهنامه علمی-پژوهشی/سال سی و دوم/شماره مسلسل ۱۲۷

Volume 32 \ Serial Number 127 \ ISSN 2345-2900

2023(February-March)

دوماهنامه علمی-پژوهشی، سال سی و دوم، شماره مسلسل ۱۲۷، بهمن و اسفند ۱۴۰۱

تحلیل زمین ساختی یکی از مبادین نفتی جنوب غرب ایران، با استفاده از نمودار تصویری FMI

لقمان صادقی، محمد حسنپور صدقی، علی کدخدائی

مطالعه و بررسی آزمایشگاهی عملکرد ژل هیبریدی به منظور کنترل هرزروی سیالات حفاری در سازندهای شکاف دار

رسول ناظمی، سیاوش عاشوری و جمشید مقدسی

مطالعه جذب سطحی متان درون منافذ کانی کلسیت در مخازن شیل گازی با روش شبیه سازی مولکولی

سعید بابائی، مهدی استادحسن، سید علی معلمی، مهراپ رشیدی، حسن قاسم زاده، علی کدخدائی

اثر خواص هندسی شکاف بر جریان و حساسیت سنجی دینامیک پارامترهای شکاف در مخازن شکاف دار

علی سبحانی اوغاز و محمد امامی نیری

تعیین مشخصات جریان های دو فاز نفت- آب توسط شبکه عصبی کانولوشنی جریانی

سید امیر پوریا صادق صمیمی، علی اسفندیاری بیات و سید ابوالقاسم امامزاده

اسمومتری فشار بخار ۱-بوتیل-۳-متیل ایمیدازولیوم تیوسیانات در محلول آبی و پیش بینی آن با PC-SAFT

بهرنگ گل محمدی و محمد باقر مقیمی

مدل سازی ژئومکانیکی و انتخاب لایه کاندید شکست هیدرولیکی در یک مخزن فشرده در جنوب غربی ایران- مطالعه موردی

فرهاد عاصمی، افشین زهدی و محمد صبور ملکی

بررسی عملکرد و میزان پایداری لایه های کاتالیستی Ni-Co/Al<sub>2</sub>O<sub>3</sub>-ZrO<sub>2</sub> تهیه شده به روش رسوب فیزیکی بخار در فرآیند رفرمینگ خشک

متان

محمدجعفر مرادی، غلامرضا مرادی، امیر حیدری نسب و علیمراد رشیدی

طراحی رزوه ملی برای لوله های جداری، مغزی و تجهیزات درون چاهی نفت و گاز

مهدی نظری صارم

استفاده از لجن نفتی و قیر طبیعی در بهبود کیفیت قیر

محمد نوروزی، شکوفه قهری صارمی و نیلوفر فتوره چی

Tectonic Analysis one of the South Western Oil Fields in Iran, Using FMI Image Log

Loghman Sadeghi, Mohammad Hassanpour Sedghi and Ali Kadkhodaie

Experimental Investigation of Hybrid Gel Performance in order to Control Fluid Loss in Fractured Formations

Rasoul Nazemi, Siavash Ashoori and Jamshid Moghadasi

Study of Methane Adsorption in Calcite Mineral Pores in Shale Gas Reservoirs by Molecular Simulations

Saeed Babaei, Mehdi Ostadhassan, Seyed Ali Moallemi, Mehrab Rashidi, Hasan Ghasemzadeh and Ali Kadkhodaie

Effect of Fracture Geometric Properties on Fluid Flow and Dynamic Characteristics in Fractured Reservoirs

Ali Sobhani Oghaz and Mohammad Emami Niri

Determining Characteristics of Two-Phase Oil-Water Flows by the Convolutional Neural Network

Amir Poorya Sadegh Samimi, Ali Esfandiyari Bayat and Abulqasem Emamzadeh

Vapor Pressure Osmometry of 1-butyl-3-Methyl Imidazolium Thiocyanate in Aqueous Solution and its Prediction by PC-SAFT

Behrang Golmohmmadi, Mohammad B. Moghimi

Prediction of Geomechanical Modeling and Selection of Hydraulic Fracturing Candidate Layer in a Tight Reservoir in SW Iran: A Case Study

Farhad Asemi, Afshin Zohdi and Mohammad Saboormaleki

Investigation of the Performance and Stability of Ni-Co/Al<sub>2</sub>O<sub>3</sub>-ZrO<sub>2</sub> Nanocatalysts with Micro Channel Reactor in Dry Reforming of Methane

Mohamad jafar Moradi, Gholamreza Moradi\*, Amir Heydarinasab and Alimorad Rashidi

Design of National Thread for Casing, Tubing, and Oil and Gas Downhole Equipment

Mahdi NazariSarem

Application of Oily Sludge and Natural Bitumen as Additives for Modification of Bitumen

Mohammad Noroozi, Shokoufeh Ghahri Saremi and Niloofar Fatourechi



## دوماهنامه علمی - پژوهشی

سال سی و دوم، شماره ۱۲۷

بهمن و اسفند ۱۴۰۱



### داوران این شماره:

آرش ابراهیم آبادی (دانشگاه آزاد)  
حسین ابوالقاسمی (دانشگاه تهران)  
روجیاری اکبری (دانشگاه کردستان)  
محمدعلی ایرانمنش (دانشگاه خواجه نصیرالدین طوسی)  
علی پاک (دانشگاه صنعتی شریف)  
مریم تخت روانچی (شرکت پژوهش و فناوری پتروشیمی)  
علی تقی ذوقی (پژوهشگاه صنعت نفت)  
وحید توکلی (دانشگاه تهران)  
هیبت اله جوکار (دانشگاه شیراز)  
ناصر حافظی مقدس (دانشگاه فردوسی مشهد)  
علیرضا خزعلی (دانشگاه صنعتی اصفهان)  
فرهاد رحمانی چپانه (دانشگاه کردستان)  
محمد رضا رسایی (دانشگاه تهران)  
عباس روحی (دانشگاه صنعت نفت)  
سرود زاهدی (پژوهشگاه صنعت نفت)  
حمایت شکاری (دانشگاه تبریز)  
رضا شمس (دانشگاه صنعتی شریف)  
فرامرز شعبانی (پژوهشگاه صنعت نفت)  
سعید صادقیپور (پژوهشگاه صنعت نفت)  
مریم عبداللهی خوشمردان (شرکت دانا انرژی)  
جعفر عظمت (دانشگاه فرهنگیان (پردیس علامه تبریز))  
قاسم عقلی (دانشگاه فردوسی مشهد)  
مجتبی قائدی (دانشگاه شیراز)  
رضا محبیان (دانشگاه تهران)  
علیرضا نصیری (پژوهشگاه صنعت نفت)  
علی وطنی (دانشگاه تهران)

### آدرس:

تهران، بلوار غربی مجموعه ورزشی آزادی، پژوهشگاه صنعت نفت، دفتر مجله پژوهش نفت  
صندوق پستی: ۱۳۷-۱۴۶۶۵  
تلفن: ۴۸۲۵۳۲۶۳ و ۴۸۲۵۲۱۲۹  
نمابر: ۴۴۷۳۹۷۱۲

<http://journals.ripi.ir>

وبگاه اینترنتی

شماره پروانه انتشار: ۱۰۲/۷۹۹۲

ISSN ۲۳۴۵-۲۹۰۰

صاحب امتیاز: پژوهشگاه صنعت نفت

مدیر مسئول: جعفر توفیقی

سر دبیر: محمدرضا احسانی

مدیر اجرایی: طیبه مرادیان

ویراستار: فرهاد رحمانی چپانه

صفحه آرایی: نفیسه دلدار و پری ناز نوری

چاپ، لیتوگرافی و صحافی: چاپ گنجینه مینیاتور

### هیأت تحریریه:

محمدرضا احسانی، استاد دانشگاه صنعتی اصفهان  
حمیدرضا آقابزرگ، استاد پژوهشگاه صنعت نفت  
محمدرضا امیدخواه، استاد دانشگاه تربیت مدرس  
داریوش باستانی، استاد دانشگاه صنعتی شریف  
جعفر توفیقی، استاد دانشگاه تربیت مدرس  
محمدرضا جعفری نصر، استاد پژوهشگاه صنعت نفت  
ترانه جعفری بهبهانی، دانشیار پژوهشگاه صنعت نفت  
احسان خامه چی، استاد دانشگاه صنعتی امیرکبیر  
فرهاد خراشه، استاد دانشگاه صنعتی شریف  
فریبرز رشیدی، استاد دانشگاه صنعتی امیرکبیر  
علیمراد رشیدی، استاد پژوهشگاه صنعت نفت  
رضا رضایی، استاد دانشگاه کرتین استرالیا  
علی اکبر سیف کردی، استاد دانشگاه صنعتی شریف  
علی کدخدایی ایلخچی، دانشیار دانشگاه تبریز  
محمدرضا کمالی، استاد دانشگاه ادیث کاون استرالیا  
فرهاد عین مظفری، استاد دانشگاه رایسون کانادا  
محمدحسین غضنفری، دانشیار دانشگاه صنعتی شریف  
محسن مسیحی، استاد دانشگاه صنعتی شریف  
مهراب مهرور، استاد دانشگاه رایسون کانادا  
سیدرضا موسوی حرمی، استاد دانشگاه فردوسی مشهد  
محسن نصر اصفهانی، استاد دانشگاه صنعتی اصفهان  
مهدی نکومنش، استاد پژوهشگاه پلیمر و پتروشیمی ایران  
ابراهیم واشقانی فراهانی، استاد دانشگاه تربیت مدرس  
شاپور وثوقی، استاد دانشگاه کانزاس آمریکا  
منوچهر وثوقی، استاد دانشگاه صنعتی شریف

•مجله پژوهش نفت در پایگاه های زیر نمایه می شود:

•پایگاه استنادی علوم جهان اسلام (ISC)، ([www.isc.gov.ir](http://www.isc.gov.ir))

•اطلاعات علمی جهاد دانشگاهی ([www.sid.ir](http://www.sid.ir))

•بانک اطلاعات نشریات کشور ([www.magiran.com](http://www.magiran.com))

•DOAJ: ([www.doaj.org/](http://www.doaj.org/))

•Chemical Abstracts Service (CAS): ([www.cas.org](http://www.cas.org))

•Indexcopernicus: ([www.indexcopernicus.com](http://www.indexcopernicus.com))

•WorldCat: ([www.worldcat.org](http://www.worldcat.org))

•Leibniz Information Centre for Science and Technology (TIB): ([www.tib.eu](http://www.tib.eu))

- ۳..... تحلیل زمین ساختی یکی از میادین نفتی جنوب غرب ایران، با استفاده از نمودار تصویری FMI  
لقمان صادقی، محمد حسنپور صدقی\*، علی کدخدائی
- ۲۲..... مطالعه و بررسی آزمایشگاهی عملکرد ژل هیبریدی به منظور کنترل هرزروی  
سیالات حفاری در سازندهای شکافدار  
رسول ناظمی، سیاوش عاشوری\* و جمشید مقدسی
- ۳۷..... مطالعه جذب سطحی متان درون منافذ کانی کلسیت در مخازن شیل گازی با روش شبیه سازی مولکولی  
سعید بابائی\*، مهدی استادحسن، سید علی معلمی، مهرباب رشیدی، حسن قاسم زاده، علی کدخدائی
- ۴۹..... اثر خواص هندسی شکاف بر جریان و حساسیت سنجی دینامیک پارامترهای شکاف در مخازن شکافدار  
علی سبحانی اوغاز و محمد امامی نیری\*
- ۶۵..... تعیین مشخصات جریان های دو فاز نفت - آب توسط شبکه عصبی کانولوشنی جریانی  
سید امیر پوریا صادق صمیمی، علی اسفندیاری بیات\* و سید ابوالقاسم امامزاده
- ۸۱..... اسموتری فشار بخار ۱- بوتیل -۳- متیل ایمیدازولیوم تیوسیانات در  
محلول آبی و پیش بینی آن با PC-SAFT  
بهرنگ گل محمدی\* و محمد باقر مقیمی
- ۹۲..... مدل سازی ژئومکانیکی و انتخاب لایه کاندید شکست هیدرولیکی در یک مخزن فشرده  
در جنوب غربی ایران - مطالعه موردی  
فرهاد عاصمی\*، افشین زهدی و محمد صبور ملکی
- ۱۰۸..... بررسی عملکرد و میزان پایداری لایه های کاتالیستی  $\text{Ni-Co/Al}_2\text{O}_3\text{-ZrO}_2$  تهیه شده  
به روش رسوب فیزیکی بخار در فرآیند رفرمینگ خشک متان  
محمدجعفر مرادی، غلامرضا مرادی\*، امیر حیدری نسب و علیمیراد رشیدی
- ۱۲۶..... طراحی رزوه مّلی برای لوله های جداری، مغزی و تجهیزات درون چاهی نفت و گاز  
مهدی نظری صارم
- ۱۴۱..... استفاده از لجن نفتی و قیر طبیعی در بهبود کیفیت قیر  
محمد نوروزی\*، شکوفه قهری صارمی و نیلوفر فتوره چی
- ۱۵۳..... راهنمایی تهیه مقالات.....

# تحلیل زمین ساختی یکی از میادین نفتی جنوب غرب ایران، با استفاده از نمودار تصویری FMI

لقمان صادقی، محمد حسنپور صدقی\* و علی کدخدائی

گروه علوم زمین، دانشکده علوم طبیعی، دانشگاه تبریز، ایران

تاریخ دریافت: ۱۴۰۰/۰۷/۰۸ تاریخ پذیرش: ۱۴۰۱/۰۹/۲۸

## چکیده

بیش‌تر ذخایر هیدروکربنی دنیا در مخازن شکافدار طبیعی ذخیره می‌شوند و چنین سیستم‌هایی می‌توانند تأثیر قابل توجهی بر عملکرد مخزن داشته باشند. بنابراین مطالعات ژئومکانیکی، درک و بررسی الگوهای شکستگی‌ها به منظور بهینه‌سازی تولید هیدروکربن اهمیت بالایی برای زمین‌شناسان و مهندسين نفت دارد. مطالعات ژئومکانیکی به‌طور معمول شامل اندازه و جهت‌گیری سه محور اصلی تنش شامل تنش عمودی  $S_v$ ، تنش افقی بیشینه ( $S_{Hmax}$ ) و کمینه ( $S_{hmin}$ ) است. مطالعات مربوط به چاه‌نگاری و مسائل ژئومکانیکی، از اهداف روش‌های تصویربرداری الکتریکی دیواره چاه هستند. دستگاه‌های الکتریکی، صوتی یا تصویری که تصاویر با وضوح بالا را ثبت می‌کنند، درون چاه رانده شده و اطلاعات مهمی در مورد مرزهای لایه‌بندی، عناصر ساختاری مانند گسل‌ها، چین‌ها، ناپیوستگی‌ها، شکستگی‌ها و حتی تخلخل‌های ثانویه را فراهم می‌کنند. بر این اساس در این مطالعه در یکی از میادین نفتی جنوب غرب ایران با استفاده از تصاویر ریزمقاومت سازندی (FMI) در مورد شکستگی‌های طبیعی و القایی مرتبط با چین‌خوردگی و گسلش منطقه‌ای، نوع شکستگی، جهت‌گیری، تراکم، بازشدگی، مقدار شیب و روابط آنها با زمین ساخت منطقه مورد بررسی قرار گرفته است. با وجود پیچیدگی‌های زمین‌شناسی میدان مورد مطالعه، جهت‌گیری شکستگی‌های زیرسطحی رابطه روشنی را با محور چین‌خوردگی محلی نشان داده و در برخی موارد به نظر می‌رسد که بیشتر به جهت تنش حداکثر افقی در محل کنونی یا گسلش امتداد لغز محلی نیز مرتبط باشند. جهت تنش بیشینه و کمینه افقی براساس تحلیل‌های انجام گرفته در دو چاه به ترتیب N60E-N30W و N40E-N50W به دست آمدند. براساس شکستگی‌های باز مشاهده شده در چاه‌ها، سه مرحله شکست پیشنهاد شده است: شکستگی پیش از چین‌خوردگی، شکستگی هم‌زمان با چین‌خوردگی (چین‌خوردگی اولیه) و شکستگی پس از چین‌خوردگی.

کلمات کلیدی: شکستگی، تنش، FMI، سروک، زمین ساخت



## مقدمه

تنش‌های زمین‌ساختی هم در امتداد سطح زمین و هم درون پوسته عمل می‌کنند. مقدار تنش‌ها به عواملی مانند فرآیندهای زمین‌شناسی، عمق، فشار منفذی، ضریب اصطکاک و مقاومت سنگ بستگی دارد [۱]. برای بررسی مسائل ژئومکانیکی در صنایع نفت و گاز، اطلاع در مورد تنش‌های محلی و منطقه‌ای ضروری است [۱ و ۲]. بنابراین، مسائل ژئومکانیکی به موضوعات مورد علاقه در زمین‌شناسی ساختاری تبدیل شده است [۳]. روش‌های متعددی برای اندازه‌گیری تنش‌های درجا<sup>۱</sup> وجود دارد. برای تخمین تنش و به‌دست آوردن یک نمای کلی از جهت‌گیری تنش‌ها می‌توان از چند روش از جمله استفاده از نمودار چگالی، فشار منفذی، اطلاعات مقاومت سنگ و نمودارهای تصویری<sup>۲</sup> استفاده کرد [۱]. برای تخمین جهت‌گیری بیشترین تنش افقی ( $S_{Hmax}$ ) و کمترین تنش افقی ( $S_{Hmin}$ ) می‌توان از مطالعه اطلاعات شکستگی‌های ناشی از عملیات حفاری و همچنین برون ریختگی‌های چاه در نمودارهای تصویری استفاده کرد. تفسیر تصاویر الکتریکی چاه با وضوح بالا، درک پیچیده‌ای از وضعیت زمین‌شناسی در چاه‌های اکتشافی را ممکن می‌سازند [۴]. از داده‌های لاگ تصویری در ایران بیشتر برای مطالعه شکستگی‌ها استفاده شده است اما در سال‌های اخیر از این داده‌ها برای مقاصد پتروفیزیکی و همچنین تعیین رخساره‌های الکتریکی مخزن نیز استفاده شده است [۵]. از مطالعات صورت گرفته با استفاده از لاگ تصویری در سایر نقاط دنیا نیز می‌توان به مطالعات رخساره‌های رسوبی، مطالعات پتروفیزیکی، مطالعه شکستگی‌ها و بررسی تنش‌های درجا اشاره نمود [۶]. نمودارهای معمولی ژئوفیزیکی تنها امکان تعیین پارامترهای اصلی مخزن و توزیع سیالات را فراهم می‌کنند، درحالی‌که روش تصویربرداری از چاه به‌عنوان یک ابزار ارزشمند در شناسایی و تفسیر ویژگی‌های رسوبی، تعیین شیب منطقه‌ای، شناسایی عناصر ساختاری، زمین‌ساختی

و همچنین تجزیه و تحلیل شکستگی‌های طبیعی و شکستگی‌های ناشی از عملیات حفاری مربوط به تنش زمین‌ساختی در یک منطقه خاص را ممکن می‌سازد [۷]. به‌طور کلی، ۴۰ تا ۸۰٪ از دیواره چاه با قدرت تفکیک ۰/۵ mm توسط نمودار تصویری FMI پوشش داده می‌شود [۸] که در این مطالعه از این داده‌ها استفاده شده است. امروزه مغزه‌گیری معمولی چاه‌ها کار پر هزینه‌ای است و همچنین احتمال از دست دادن اطلاعات مهم چاه در مناطق گسلی و برشی و تغییر شکل یافته زیاد است. در این شرایط، اطلاعات رسوب شناسی و ساختاری زیرسطحی با استفاده از روش‌های تصویربرداری توسط دستگاه‌های پیشرفته به‌دست می‌آید. بنابراین، چنین ابزارهایی در سال‌های اخیر بسیار مورد توجه واقع شده‌اند [۸]. علاوه بر ارزیابی‌های مرسوم، در این مطالعه تفسیر دقیقی از داده‌های تصویربرداری الکتریکی چاه شامل شناسایی لایه‌بندی‌ها، طبقه‌بندی شکستگی‌های طبیعی، شکستگی‌های القایی و برون ریختگی‌های چاه، تحلیل شیب، تعیین جهت‌گیری، بازشدگی و تراکم شکستگی‌ها ارائه شده است. نتیجه این مطالعه موردی می‌تواند درک درستی از وضعیت شکستگی‌ها و انواع آن در مخزن را فراهم کند و چگونگی توزیع رژیم تنش حاکم به مخزن را توضیح دهد. همچنین سودمندی روند ساختارهای مشاهده شده در استنتاج جهات تنش و عوامل زمین‌ساختی مؤثر بر ایجاد انواع شکستگی‌ها و دقت نتایج به‌دست آمده مورد ارزیابی و بحث قرار گرفته است.

## زمین‌شناسی و موقعیت زمین‌ساختی منطقه

کمر بند کوهزایی زاگرس یک منطقه برخورد قاره‌ای فعال است که بخش عمده‌ای از همگرایی بین صفحات عربی-اوراسیا در ایران را از ۳۵ میلیون سال پیش در خود جا داده است [۹].

1. Insitu-Stress

2. Image Logs

(سازندهای سروک، سورگاه و ایلام مربوط به کرتاسه پسین)، گورپی (کرتاسه پسین)، پابده (پالئوژن)، آسماری (الیگومیوسن)، گچساران و آغاچاری (میوسن) هستند. سنگ مخزن میدان شامل سازند سروک بالایی، بخش احمدی و سازند سروک پایینی است. تحلیلها براساس داده‌های مربوط به دو سری چاه در سازند سروک میدان نفتی آذر می‌باشد که ستون چینه‌شناسی آن در **شکل ۱** نشان داده شده است. در چاه Wa داده‌های مورد تحلیل بیشتر سازند سروک پایینی و در چاه Wb بیشتر سازند سروک بالایی را در بر دارند. سازند سروک شامل آهک‌هایی با لایه‌بندی گرهی ریزدانه و میان لایه‌های مارن در قاعده و آهک‌های توده‌ای و ضخیم‌لایه در قسمت میانی و بالایی است. همان‌طور که در نقشه‌های زمین‌شناسی نشان داده شده است **[۱۳]**، ساختار چین در میدان به‌عنوان ادامه شمال‌غربی تاقدیس چنگوله در نظر گرفته می‌شود که گسل‌های اصلی منطقه شامل گسل زاگرس مرتفع (HZF)؛ گسل جبهه کوهستان (MFF)؛ گسل اصلی جوان زاگرس (MRF)؛ گسل اصلی معکوس زاگرس (MZRF) و گسل پیش‌ژرفای زاگرس (ZFF) می‌باشد. منطقه مورد مطالعه به شکل مستطیل نشان داده شده است **(شکل ۲)**. با این حال، به‌دلیل توسعه این تاقدیس روی بخش متفاوتی از پیش‌ژرفای زاگرس یک نام متفاوت، یعنی تاقدیس آذر، برای این ساختار پیشنهاد شده است **شکل ۳** انحنای امتداد اثر محوری ساختار چین در نزدیکی اتصال تاقدیس‌های چنگوله و آذر به‌وسیله شیب‌راه چنگوله قابل مشاهده است **[۱۴]**.

## روش کار

### تصحیحات تصاویر FMI

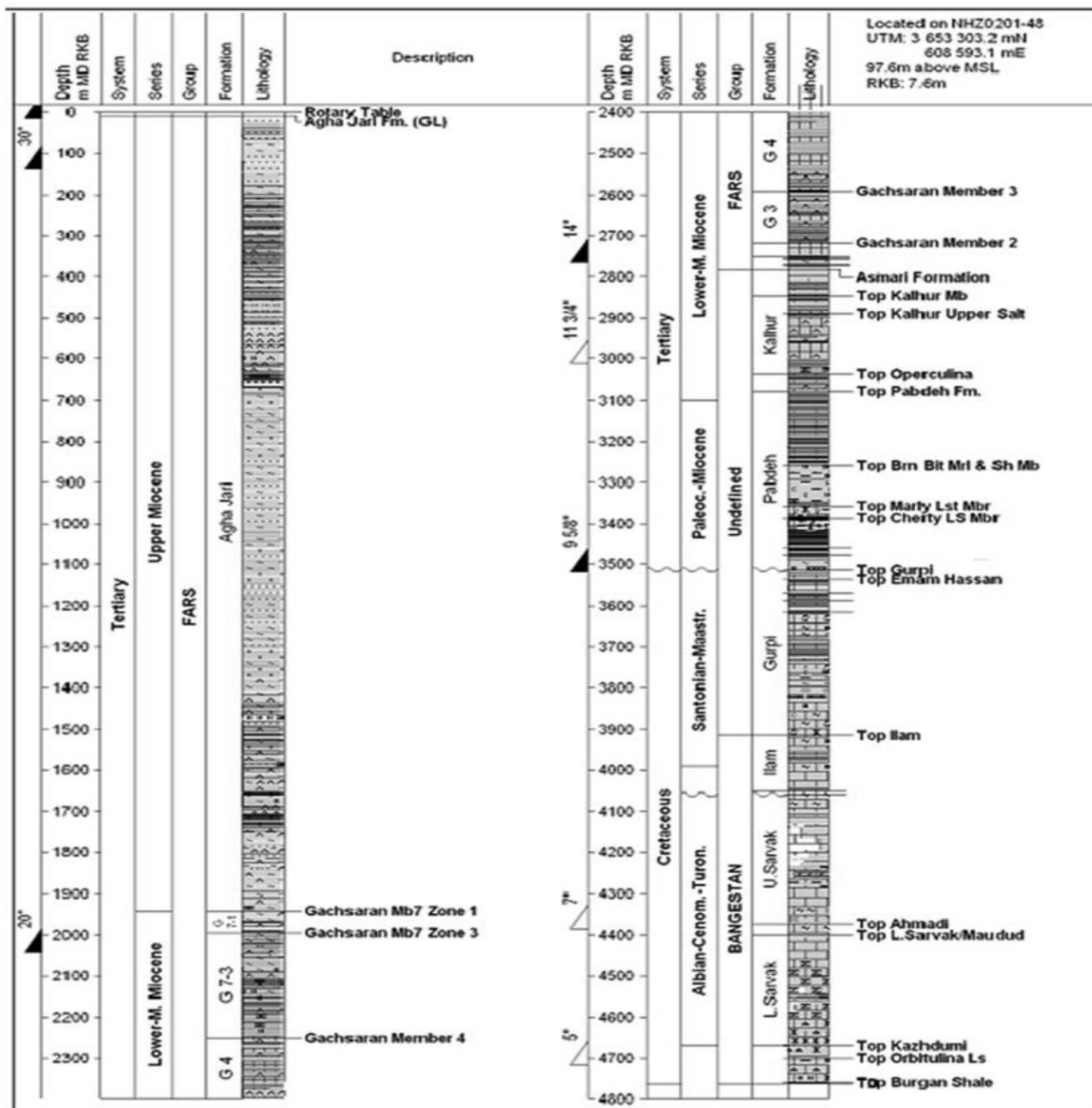
هدف اولیه پردازش کامپیوتری داده‌های خام مقاومتی، تبدیل داده‌های خام به بهترین حالت نمایش تصویری از چاه است.

در بین کمرندهای چین‌خورده-رانده، این کمرند دارای سریع‌ترین تغییر شکل بوده و از نظر لرزه‌ای همچنان فعال است **[۱۰]**. میدان نفتی مورد مطالعه در جنوب شهر مهران در استان ایلام و در بیرونی‌ترین قسمت از کمرند چین‌خورده ساده زاگرس در بلوک اکتشافی اناران واقع شده است که سازند سروک سنگ مخزن اصلی آن است. منطقه از لحاظ زمین‌شناسی، یک برآمدگی محدب در کمرند چین‌خورده-رانده زاگرس محسوب می‌شود **[۱۱]**. اکثر تاقدیس‌های منطقه از جمله تاقدیس میدان مورد مطالعه، تحت تأثیر منطقه گسلی بالارود واقع شده‌اند به نحوی که یکی از مشتقات گسل بالارود با روند خاور شمال‌خاور-باختر جنوب‌باختر و مؤلفه امتدادلغز چپ‌بر این میدان را متأثر نموده است. ساختار میدان، یک چین ملایم در بالای گسل پیش‌ژرفای زاگرس (ZFF)<sup>۱</sup> است **[۱۲]**. گسل جبهه کوهستان (MFF)<sup>۲</sup> با روند شمال‌باختر-جنوب‌خاور از شرق این میدان را تحت تأثیر قرار می‌دهد و به‌صورت کلی این میدان در قسمت پیش‌ژرفای زاگرس (ZF)<sup>۳</sup> قرار گرفته است. تاقدیس میدان، از نوع نامتقارن و هم‌روند با چین‌خوردگی کمرند کوهزایی زاگرس، دارای امتداد شمال‌غرب-جنوب‌شرق است که طبق مشاهدات نقشه‌های زیرسطحی، یال جنوب‌باختری آن دارای شیب بیشتری نسبت به یال شمال‌خاوری آن است. رخنمون‌های سطحی منطقه به‌طور عمده از بخش لِه‌بری سازند آغاچاری با مقدار کمتری کنگلومرای سازند بختیاری (پلیوسن) تشکیل شده‌اند. بخش لِه‌بری منطقه مورد مطالعه به‌طور کلی از توالی ماسه‌سنگ و سیلت‌استون قهوه‌ای روشن یکنواخت تا قرمز آجری با میان لایه‌های ماسه‌سنگ ریز دانه تشکیل شده است. عضو لِه‌بری بیشتر به‌عنوان سازند بختیاری پایینی یا لایه‌های فرسوده نام‌گذاری شده بود. با این حال به‌دلیل شباهت بیشتر آن با سازند آغاچاری، به این سازند نسبت داده شد. واحدهای سنگی زیرسطحی میدان شامل سازندهای گروه بنگستان

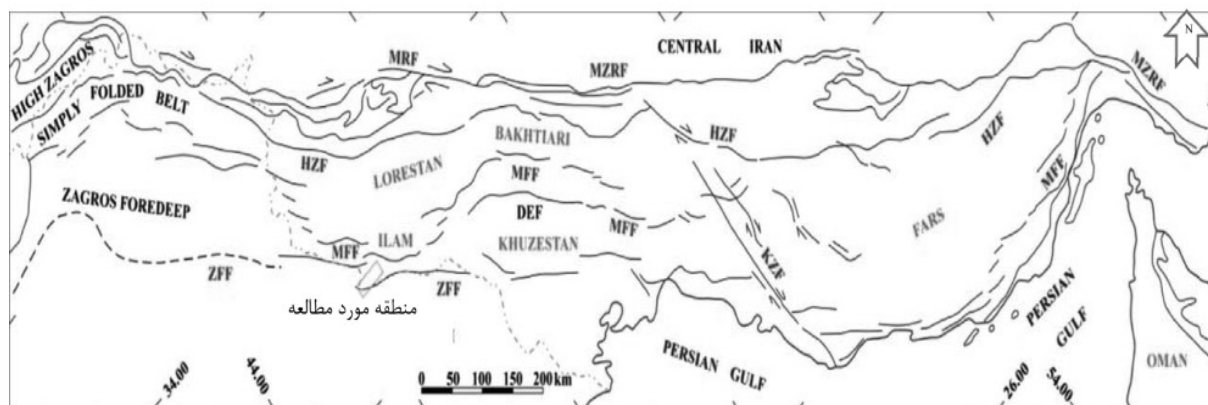
1. Zagros Foredeep Fault

2. Mountain Front Fault

3. Zagros Foredeep



شکل ۱ ستون چینه‌شناسی میدان آذر واقع در بلوک اناران [۵ و ۲۷]



شکل ۲ کمربند چین‌خورده-رانده زاگرس در جنوب غرب ایران و منطقه مورد مطالعه [۱۴]



شکل ۳ تصویر ماهواره‌ای سنتینل از منطقه مورد مطالعه

دارای ابزار موقعیت یابی قوی باشد (برای مثال، لاگ GR). این عمل توسط مازول انطباق عمق نرم افزار ژئولاگ انجام شد. دستگاه‌های با حرکت آزاد، راحت‌تر از دستگاه‌هایی که با نیروی زیاد به دیواره چاه فشار وارد می‌کنند، از میان چاه عبور می‌کنند. به همین دلیل ابزارهای شدیداً متمرکز (مثل ابزار FMI) به عنوان لاگ پایه انتخاب نمی‌شوند. در مرحله آخر تصحیحات، با اختصاص طیف رنگی روی داده‌های مقاومت برای به دست آوردن پیکسل‌های تصویری که معرف اندازه یک مجموعه خاص هستند، نرمال سازی تصویر انجام می‌شود. دو نوع نرمال سازی استاتیک و دینامیک روی تصویر انجام می‌شود. در نرمال سازی استاتیکی، طیف غالب رنگ‌ها (۱۲۸) در یک پنجره روی کل داده‌های چاه توزیع شده است. این روش به صورت کلی نمایش خوبی از داده‌ها را فراهم کرده و تغییرات مقاومت را برجسته می‌سازد. به هنجار سازی با وضوح بالاتر از طریق فرآیند نرمال سازی دینامیکی به دست می‌آید که در آن طیف رنگ غالب (تا ۱۲۸) بر روی پنجره‌ای با طول یک متری توزیع شده و با جابه‌جایی منظم پنجره به کل بازه داده‌ها اعمال می‌شود.

آماده کردن و استاندارد سازی مناسب داده‌ها با استفاده از الگوریتم‌های تصحیح خاصی به دست می‌آید. پردازش داده‌های FMI در نرم افزار ژئولاگ نسخه ۸، با استفاده از کشو تصاویر گمانه (WBI) انجام شد. برای تصحیح تصاویر خام، از مازول اصلی اصلاح سرعت با استفاده از زمان ثبت تصویر، شتاب و سرعت ابزار در هر عمق محاسبه شد. برای جلوگیری از محاسبه نادرست متغیرها گیر کردن دستگاه به دیواره چاه در زمان ثبت تصویر، تشخیص داده می‌شود. سپس با رفع بهم ریختگی‌ها، تصویر تصحیح شده از لحاظ سرعت، به عنوان ورودی در مراحل بعدی مورد استفاده قرار می‌گیرد. سپس تصویر با توجه به شمال چاه، جهت یابی شده است. هنگامی که دستگاه‌های نمودار گیری به طور متوالی به داخل چاه رانده می‌شوند همیشه تفاوت‌هایی در عمق، از دستگاهی به دستگاه دیگر و از رانشی به رانش دیگر به دلیل کشش تفاضلی کابل رخ می‌دهد. کشیدگی می‌تواند هنگام گیر کردن رشته ابزار حفاری و یا توقف موقت و آویزان بودن آن در چاه اتفاق بی‌افتد. قبل از ادامه پردازش داده‌ها همه عمق‌ها باید با لاگ پایه (عمق مرجع) انطباق داده شوند. لاگ پایه از دستگاهی انتخاب می‌شود که

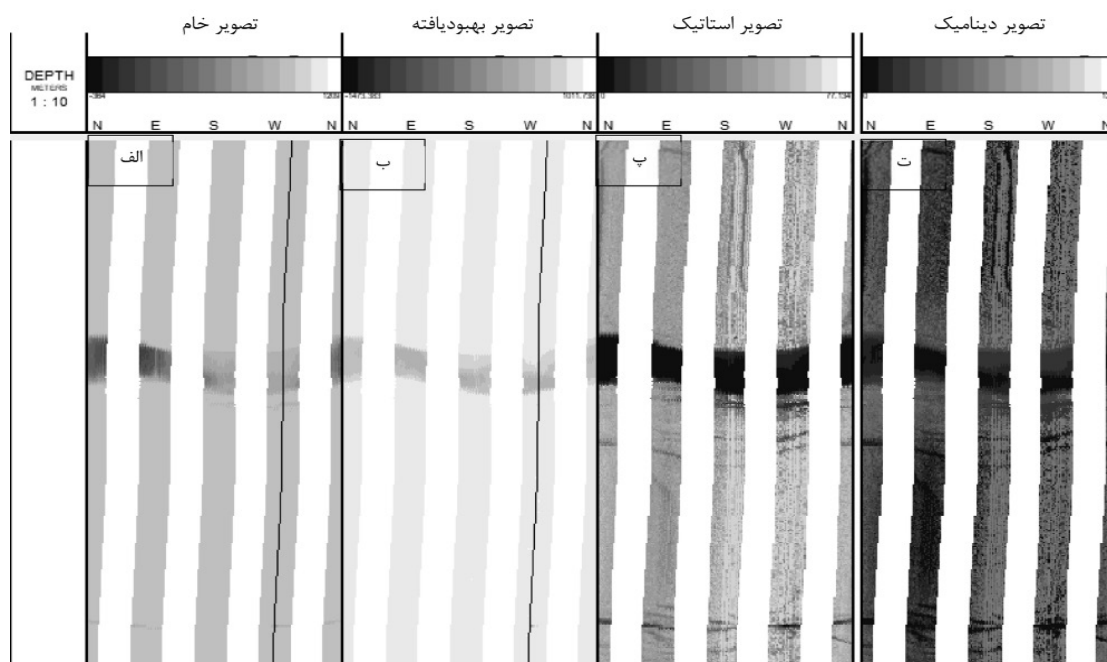


شیب، مرز لایه‌بندی، شکستگی و هر ساختار صفحه‌ای دیگری را ممکن می‌سازد. شکستگی‌های القایی ناشی از حفاری و برون ریخت‌های دیواره چاه<sup>۱</sup> نیز در بیشتر مواقع به‌راحتی با این تصاویر قابل تشخیص هستند. پیک کردن شیب به‌صورت دستی با استفاده از یک موج سینوسی با دامنه و آزمون متناسب با ویژگی‌های ساختاری بر روی تصویر انجام شد. پایین‌ترین نقطه گودی موج سینوسی، بیانگر جهت شیب بوده که عمود بر آن (بلندترین نقطه قله موج) امتداد به‌دست می‌آید [۱۵]، (شکل ۵). تمام تفاسیر شیب با استفاده از ترکیبی از تصاویر نرمال‌شده استاتیک و دینامیک همراه با نمودارهای گاما-ری، مقاومت ویژه و لاگ قطر سنج (کلیپر لاگ) انجام شده است. در تصاویر ریز مقاومت سازندی، شکستگی‌هایی که ویژگی‌های رسانایی را دارند (که با رنگ‌های تیره نشان داده می‌شوند) شکستگی باز رسانا<sup>۲</sup> نامیده می‌شوند.

بنابراین تصاویر نرمال‌شده، تصویری بهینه از داده‌های مقاومت را تولید می‌کنند و به‌طور معمول در تفسیر نمودارها باهم استفاده می‌شوند و همان‌طور که دیده می‌شود در تصویر دینامیک رگه و شکستگی محسوس‌تر و در تصویر استاتیک تغییر لایه‌بندی بهتر دیده می‌شود (شکل ۴).

#### طبقه‌بندی دستی ساختارها روی تصویر FMI

تحلیل و تفسیر ساختارها با استفاده از FMI به‌منظور طبقه‌بندی شکستگی‌های طبیعی، مصنوعی (حاصل از حفاری)، لایه‌بندی، دستیابی به هندسه آنها (امتداد، جهت آزمون و شیب)، تراکم و تعیین دقیق باز یا بسته بودن شکستگی‌ها انجام می‌شود. با توجه به حساسیت اندازه‌گیری بالای ابزارهای تصویربرداری از چاه، شکستگی‌های طبیعی با اطمینان بالایی قابل تشخیص هستند. پردازش تصاویر FMI با طبقه‌بندی ساختارها و پیک کردن شیب‌ها با استفاده از تصاویر به‌هنگارسازی شده ادامه یافت. پیک کردن شیب، امکان محاسبه زاویه



شکل ۴ مراحل تصحیح تصویر در چاه مورد مطالعه: الف) تصویر خام اولیه با اعمال تصحیح سرعت، ب) تصویر بهبود یافته قبل از برابر سازی دکمه‌ها و (پ و ت) به‌ترتیب تصویر استاتیک و دینامیک پس از اعمال فرآیند به‌هنگار سازی روی تصویر خام اولیه

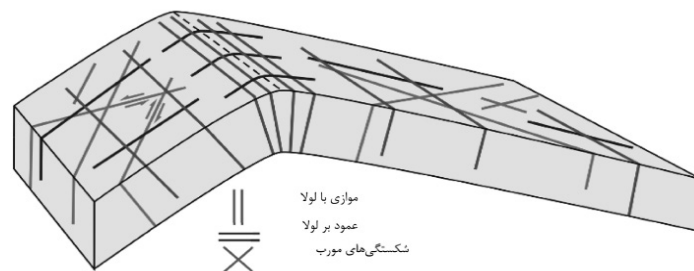
1. Borehole Breakouts
2. Conductive Fractures



این شکستگی‌ها بعداً به دو نوع رسانی‌ای پیوسته و ناپیوسته براساس ظاهر و پیوستگی آنها در طول قطر چاه طبقه‌بندی شده‌اند. شکستگی‌های القایی و برون ریخت‌ها نیز بیشتر قائم و نزدیک به قائم بوده و در تصویر جهت شیب یا مقدار شیب ندارند، اما امتداد آنها را می‌توان شناسایی و برای نشان دادن جهت حداکثر و حداقل تنش افقی، استفاده کرد.

## FMI تفسیر ساختاری

شکستگی‌ها در کمربندهای چین‌خورده-رانده می‌توانند قبل یا پس از چین‌خوردگی ایجاد شوند که می‌توان با استفاده از معیارهایی مانند ارتباط بین جهت‌گیری شکستگی‌ها و محور چین و زاویه شیب شکستگی نسبت به لایه‌بندی زمان ایجاد شکستگی‌ها را تشخیص داد (۱۶ و ۱۷). در این مطالعه دسته‌بندی شکستگی‌ها براساس مدل پرایس و کاسگارف (۱۸ و ۱۹)، براساس جهت‌گیری



شکل ۶ مجموعه شکستگی ها در تاق‌دیس‌های نامتقارن در طبقه‌بندی پرایس (پرایس ۱۹۶۶ [۱۸]؛ اصلاح شده توسط پرایس و کاسگاروف، ۱۹۹۰ [۱۹])

- شکستگی‌های رسانی پیوسته: نوع غالب شکستگی‌ها در بازه مورد بررسی که به‌طور کامل چاه را به‌صورت سینوسی و حداکثر پیوستگی در تصویر FMI قطع می‌کنند، شکستگی‌های رسانی پیوسته هستند (شکل ۷-ب)). این شکستگی‌ها شاید شکستگی‌های ناپیوسته‌ایی که توسط چاه در یک مقطع پیوسته برش داده شده‌اند را به‌صورت رسانی پیوسته نشان دهند، درحالی که با فاصله گرفتن از مجاورت چاه ممکن است ناپیوسته باشند. به‌طور کلی براساس میزان گستردگی و بازشدگی شکستگی دو نوع شکستگی‌های بزرگ و متوسط رسانی پیوسته در این بازه تشخیص داده شدند که به‌ترتیب به‌عنوان مثال برای چاه Wa دارای فراوانی ۱۲ و ۳۴ عدد با محدوده شیب از ۵۵° تا ۷۵° هستند. آمارهای این شکستگی‌ها در بازه مورد مطالعه، جهت‌گیری غالب امتداد NW-SE و آزمون NE را نشان می‌دهند (شکل ۸-ب)). این جهت‌گیری‌ها تبعیت این شکستگی‌ها از روند ساختاری اصلی منطقه (NW-SE)، همان‌طور که در توضیحات زمین‌شناسی بحث شده را نشان می‌دهند در دو چاه مورد مطالعه تبعیت می‌کنند.

- شکستگی‌های رسانی ناپیوسته: در مقایسه با شکستگی‌های رسانی پیوسته، این شکستگی‌ها که به‌صورت خطی ظاهر می‌شوند، به‌طور کامل دیواره را قطع نمی‌کنند (شکل ۷-ب)). شکستگی حتی اگر ناپیوسته باشد، به‌صورت سینوسی با رأس و گودی در تصویر مشاهده می‌شود.

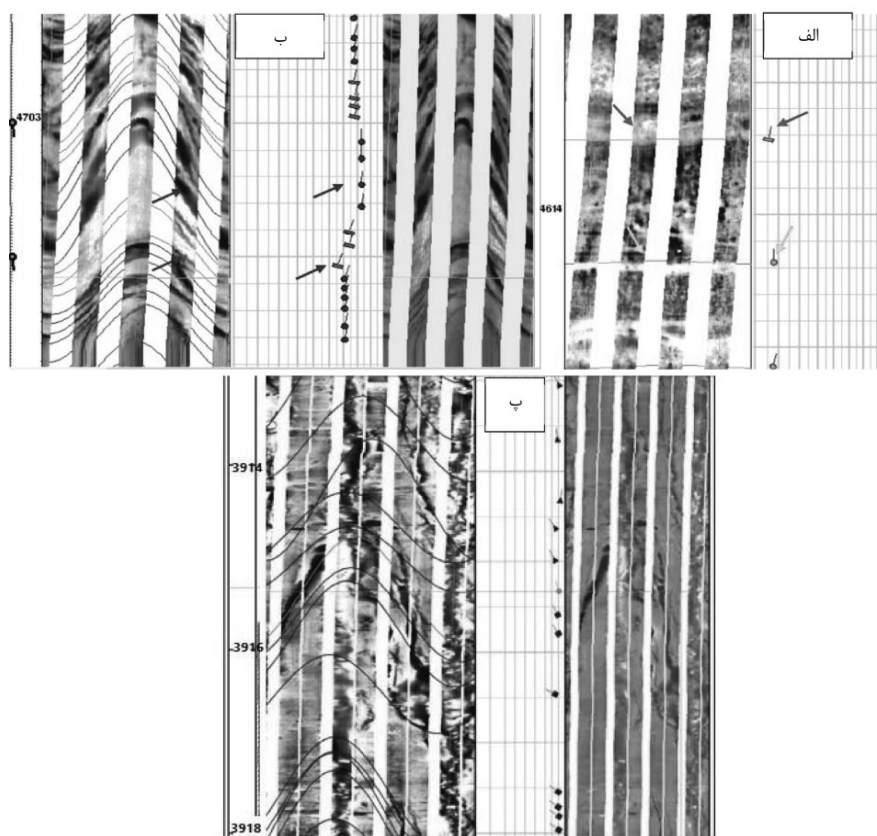
آنالیز شکستگی‌ها شامل طبقه‌بندی، جهت‌گیری، بازشدگی و چگالی شکستگی‌ها برای بازه عمقی ۴۱۵۸ تا ۴۷۵۰ m انجام شد.

### شکستگی‌های طبیعی و لایه‌بندی

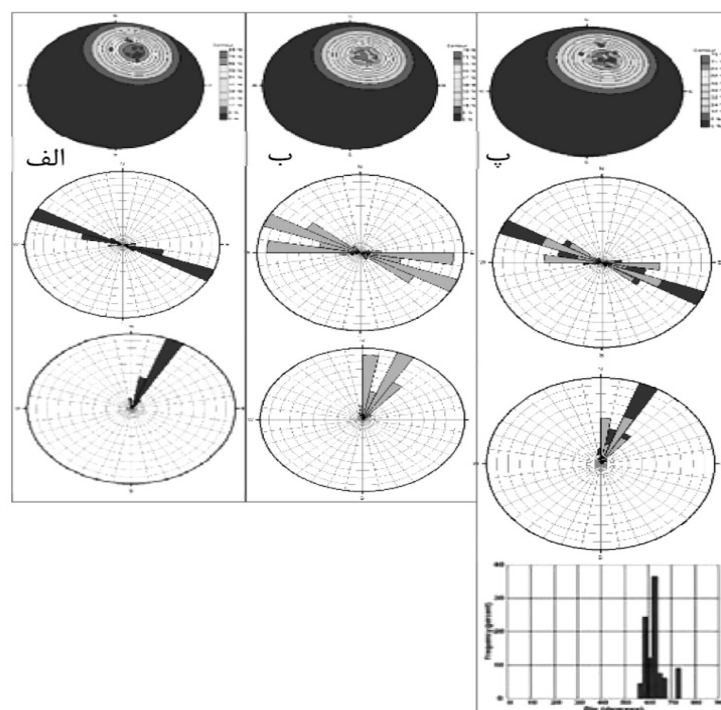
اکثر شکستگی‌ها در سازند سروک پایینی و بالایی توسعه یافته‌اند و شکستگی‌های شناسایی‌شده به‌طور انحصاری رسانی هستند (که باز در نظر گرفته می‌شوند). شکستگی‌های رسانی (که بسته در نظر گرفته می‌شوند) در بازه مورد مطالعه شناسایی نشدند. شکستگی‌های رسانی به‌صورت پیوسته و ناپیوسته طبقه‌بندی شدند؛ به این صورت که شکستگی‌های با طول مشاهده شده  $50\% >$  و  $50\% \leq$  به‌ترتیب جزو شکستگی رسانی پیوسته و ناپیوسته روی تصویر چاه در نظر گرفته شدند. انواع شکستگی، ریخت‌شناسی و جهت‌گیری آنها در زیر شرح داده شده‌اند:

- لایه‌بندی‌ها: اختلاف مقاومت الکتریکی ناشی از تغییر بافت یا ترکیب لایه‌ها، باعث می‌شود دو طرف لایه‌ها توسط یک نوار خطی به نام مرز لایه‌بندی در نمودارهای تصویری به‌نچار شده با تغییر رنگ از هم تفکیک شوند. به‌عنوان مثال در چاه Wa، ۲۲ عدد لایه‌بندی مطمئن (HC) با مرز واضح و هموار و ۷۳ عدد لایه‌بندی نامطمئن (LC) با مرزهای مبهم، ناصاف و غیرهموار تفسیر شد (شکل ۷-الف)). امتداد غالب لایه‌بندی‌ها و همچنین لامینیشن‌ها NW-SE و عمود بر محور فشارش یا تنش بیشینه افقی با شیب از محدوده صفر تا ۱۵° است.





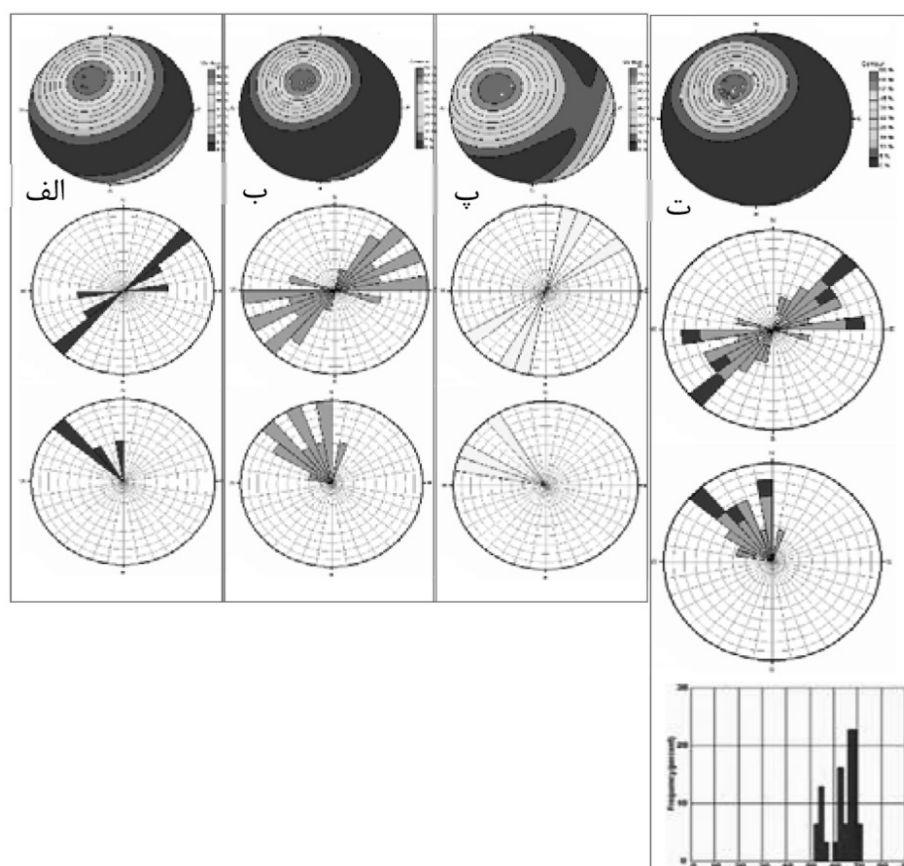
شکل ۷ الف) لایه‌بندی: نمودار بچه قورباغه‌ای مستطیلی معرف لایه‌بندی نامطمئن و نمودار بچه قورباغه‌ای دایره‌ای معرف لایه‌بندی مطمئن، ب) شکستگی: شکستگی رسنای پیوسته با نمودار بچه قورباغه‌ای دایره‌ای و رسنای ناپیوسته با مستطیل نشان داده شده است. (چاه Wa) و پ) شکستگی رسنای پیوسته با نمودار بچه قورباغه‌ای دایره‌ای و رسنای ناپیوسته با مستطیل نشان داده شده است (چاه Wb در سازند سروک بالایی)



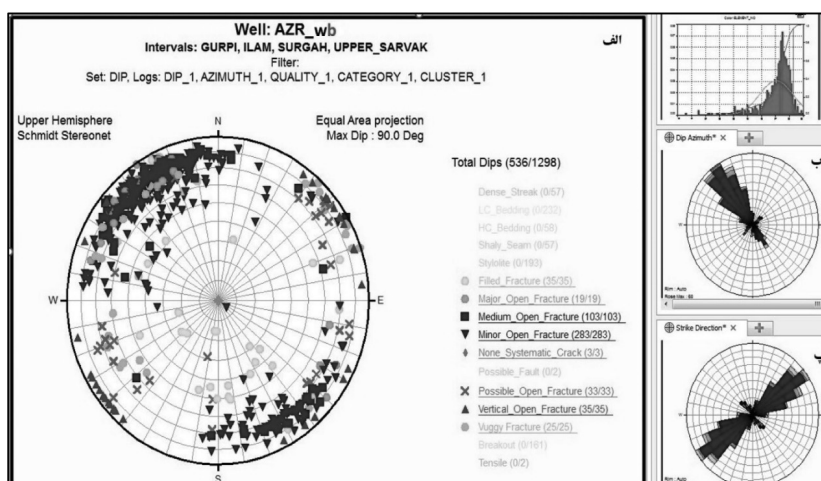
شکل ۸ ترسیم آماری شکستگی‌های پیوسته رسانا، الف) شکستگی بزرگ پیوسته رسانا، ب) شکستگی پیوسته متوسط رسانا، پ) کل شکستگی‌های پیوسته رسانا در چاه Wa. (از بالا به پایین شامل نمودار قطبی، امتداد، آزمون و شیب)

شد، هم‌راستا با تنش افقی بیشنه و عمود بر روند ساختاری عمده منطقه (راستای شمال غرب- جنوب شرق) است (شکل ۱۰). همان‌طور که در نتایج آماری شکستگی‌ها اعم از امتداد و شیب آنها در چاه Wb مشاهده می‌شود، جهت یافتگی شکستگی‌های موجود در سازندهای گورپی، ایلام، سورگاه و سروک بالایی در چاه Wb مشابه الگوی مشاهده شده در چاه Wa بوده و جهت گیری امتداد غالب NE-SW و آزمون NW را نشان می‌دهد. بنابراین برای تحلیل تنش‌های افقی در ناحیه در اعماق ۳ تا ۵ هزار متر جهت یافتگی تقریباً همسو با نتایج تحلیل‌های تکتونیک سطحی ناحیه می‌باشد. البته مقادیر فراوانی امتداد شکستگی‌ها در دو چاه با توجه به موقعیت آن‌ها در تاق‌دیس متفاوت‌تر دیده می‌شود. (اشکال ۹ و ۱۰).

این شکستگی‌ها می‌توانند به‌طور مطمئن با منشأ طبیعی در نظر گرفته شوند. درجایی که شکستگی ناپیوسته باشد و منحنی خطی روند شبه سینوسی داشته باشد، اما رأس و گودی موج سینوسی را توصیف نکند، ممکن است شکستگی ناشی از حفاری باشد، یا به‌طور احتمالی، یک شکستگی بسته باشد که تا حدی توسط فرآیند حفاری باز شده است. این شکستگی‌ها در سه دسته شکستگی‌های بزرگ، متوسط و کوچک، به‌ترتیب با فراوانی ۴، ۲۳ و ۳ عدد با محدوده شیب از ۵۰ تا ۷۵° تشخیص داده شدند. ترسیم آماری در طول این فاصله، جهت‌گیری امتداد غالب NE-SW و آزمون NW را نشان می‌دهند، که در اشکال ۸ و ۹ نشان داده شده‌اند. این جهت‌گیری، همان‌طور که در توضیحات زمین‌شناسی منطقه‌ای بحث



**شکل ۹** ترسیم آماری شکستگی‌های ناپیوسته رسانا. الف) شکستگی بزرگ ناپیوسته رسانا، ب) شکستگی ناپیوسته متوسط رسانا، پ) شکستگی ناپیوسته کوچک رسانا و ت) کل شکستگی‌های ناپیوسته رسانا در چاه Wa. (از بالا به پایین شامل نمودار قطبی، امتداد، آزمون و شیب)



شکل ۱۰ ترسیم آماری انواع شکستگی‌ها و فراوانی آنها در چاه Wb الف) ترسیم شکستگی‌های موجود در سازندهای گورپی، ایلام، سورگاه و سروک بالایی (نمودار قطبی)، ب) آزمون شیب شکستگی‌ها و پ) کل امتداد شکستگی‌های رسانا

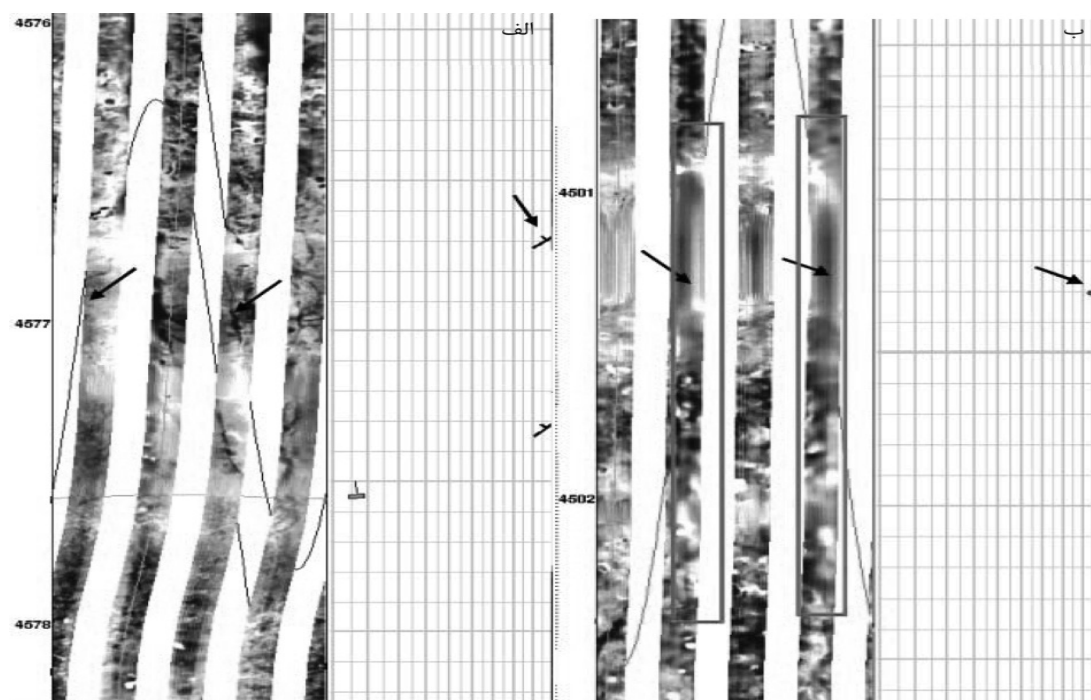
و کششی) را از خود نشان می‌دهند. سنگ‌ها می‌توانند هم تنش‌های فشارشی و هم تنش‌های برشی را تحمل کنند، اما سیال پرکننده (گل حفاری) چاه تنها می‌تواند تنش فشاری را تحمل کند. در نتیجه، تراکم تنش‌ها در اطراف چاه به دو صورت دیده می‌شود: تنش حلقوی<sup>۱</sup> یا تنش مماسی<sup>۲</sup> وقتی وزن گل خیلی کم است (به‌عنوان مثال، تنش شعاعی= وزن گل- فشار منفذی)، حداکثر تنش حلقوی خیلی بیشتر از تنش شعاعی بوده و منجر به برون ریخت چاه شده و بالعکس با افزایش تنش شعاعی و کاهش تنش حلقوی ناشی از افزایش وزن گل حفاری شکستگی القایی ایجاد می‌شود (شکل ۱۱- الف و ب). به‌طور کلی، در چاه‌های عمودی و یا چاه‌های با مقدار انحراف کم و نزدیک به عمود، محور طولیل‌شدگی چاه با روند کمینه تنش افقی ( $S_{hmin}$ ) و امتداد شکستگی‌های ناشی از عملیات حفاری نیز با روند بیشینه تنش افقی ( $S_{Hmax}$ ) هم‌راستا می‌باشند. با این حال، این فرضیه ممکن است برای چاه‌های انحرافی به‌ویژه چاه‌هایی که با هیچ یک از دو تنش افقی هم‌راستا نیستند، درست نباشد. در چنین چاه‌هایی، جهت‌گیری برون ریخت‌های چاه و شکستگی‌های القایی ممکن است

- شکستگی‌های باز احتمالی: تعدادی از ساختارهای خطی را که از حالت موج سینوسی و امتداد غالب شکستگی‌های رسانای ناپیوسته طبیعت می‌کردند و در خلاف جهت رگچه‌های رسانای شیلی بودند، اما دارای ویژگی‌هایی از جمله گسترش و وضوح پایین و گاهی قرارگیری در عمق‌های با تراکم شکستگی کم بودند، به‌عنوان شکستگی‌های باز احتمالی طبقه‌بندی شدند.

#### آنالیز تنش درجا

سطح زیرین پوسته زمین به‌ندرت در شرایط تنش لیتواستاتیک (با تنش‌های برابر در همه جهات؛ یعنی  $\sigma_1 = \sigma_2 = \sigma_3$ ) باقی می‌ماند. به‌طور کلی، تعادل حالت‌های تنش با حرکات صفحات زمین‌ساختی مختل می‌شود و منجر به شکل‌گیری یک سیستم تنش منطقه‌ای می‌شود که ممکن است خود به‌طور جزئی، کامل و یا انطباقی توسط تنش‌های محلی مرتبط با گسل، چین‌خوردگی، گنبدزایی، آتشفشانی و غیره کنترل شود. جهت‌گیری چنین تنش‌های محلی ممکن است به‌طور ناگهانی در فواصل کوتاه در هر منطقه تغییر کند. حتی این تغییرات می‌تواند در امتداد منطقه یک چین و یا گسل هم مشاهده شود. چاه‌های حفاری‌شده در نواحی تحت تنش‌های نامتعادل با نفوذ گل حفاری به لایه‌های چاه، اغلب دو نوع شکستگی (برشی

1. Hoop Stress  
2. Radial Stress



شکل ۱۱ (راست الف) شکستگی‌های القایی حاصل از عملیات حفاری در چاه Wa و (ب) برون ریخت‌های دیواره چاه

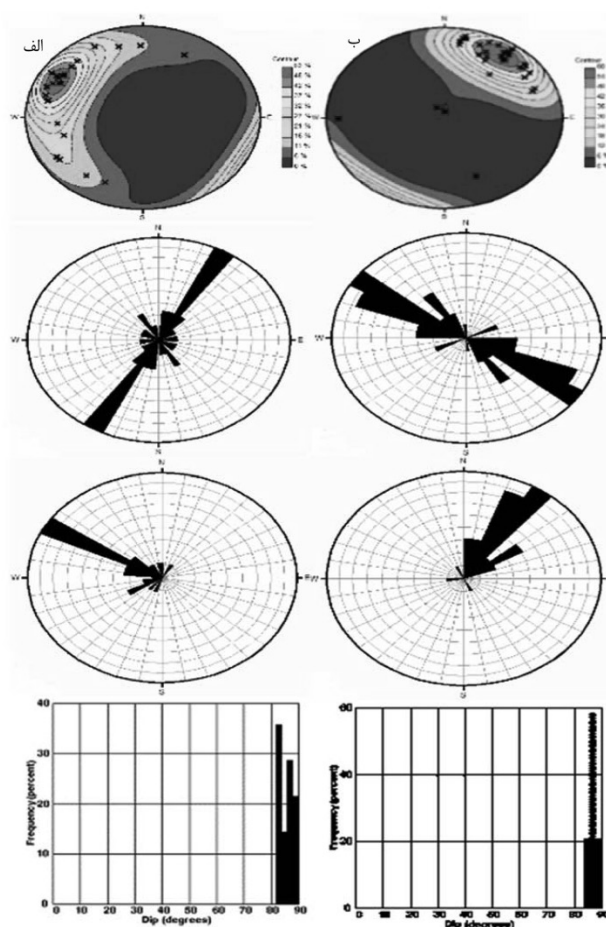
نامتقارن است (شکل ۱۴-الف). در واقع بیشتر چین‌خوردگی‌هایی که در کمربند چین‌خورده ساده زاگرس وجود دارند نامتقارن هستند، به‌طوری‌که دامنه جنوب باختری تاقدیس‌ها پرشیب‌تر از دامنه شمال خاوری آنها می‌باشند. از مهم‌ترین ساز و کارهای ناحیه‌ای در ارتباط با تشکیل چین‌های نامتقارن در این کمربند، ایجاد برش در منطقه گسیخته گروه متحرک پایینی (سری هرمز به سن پروتروزوئیک) است، به این صورت که در طی چین‌خوردگی، گروه مقاوم (توالی شیل و ماسه و به‌طور فرعی سنگ‌های کربناته از کامبرین تا میوسن) نسبت به پی‌سنگ به‌طور نسبی به‌سمت جنوب باختری حرکت کرده است؛ به‌نحوی که ایجاد یک برون ریخت ناقص سبب کشیده شدن یکی بر روی دیگری شده است (شکل ۱۴-ب). همگرایی و برخورد اولیه ورقه عربی به ایران مرکزی به کرتاسه میانی-پسین نسبت داده می‌شود [۲۰ و ۲۱]. که این همگرایی به فرورانش حاشیه شرقی نئوتتیس به زیر ایران مرکزی منجر شده است [۲۲ و ۲۳] (شکل ۱۵-الف).

جهت‌گیری واقعی دو تنش افقی را نشان ندهند، زیرا هر سه تنش اصلی (عمودی و دو افقی) به‌طور مایل به چاه عمل می‌کنند. هر دو شکستگی‌های القایی (ناشی از عملیات حفاری) و گسیختگی‌های چاه در بازه عمقی مورد مطالعه، توسعه یافته‌اند. ترسیم آماری شکستگی‌های القایی، جهت‌گیری امتداد غالب NE-SW را نشان می‌دهد (شکل ۱۲ الف)، همچنین ترسیم آماری برون ریخت‌های چاه، امتداد غالب NW-SE را نشان می‌دهد (عمود بر امتداد شکستگی‌های القایی). هر دو چاه مورد مطالعه در واقع عمودی هستند، با شیب بسیار کم ( $4/6^\circ$ ) جنوب غربی. بنابراین، با اطمینان بالایی امتداد شکستگی‌های القایی و برون ریخت‌های چاه به‌ترتیب روندهای بیشینه و کمینه تنش افقی را نشان می‌دهند (شکل ۱۳).

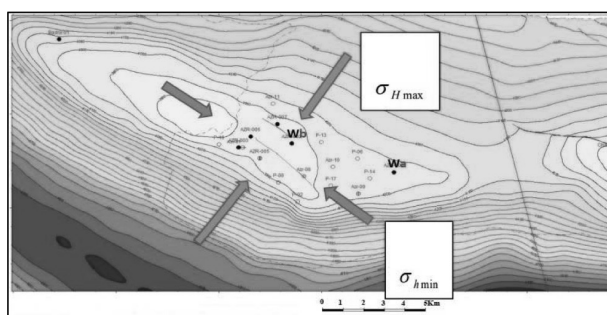
## بحث

همان‌طور که در بخش زمین‌شناسی و زمین‌ساخت منطقه نیز اشاره شد، چین‌خوردگی رخ داده در این میدان براساس نقشه زیرسطحی (UGC) یک چین

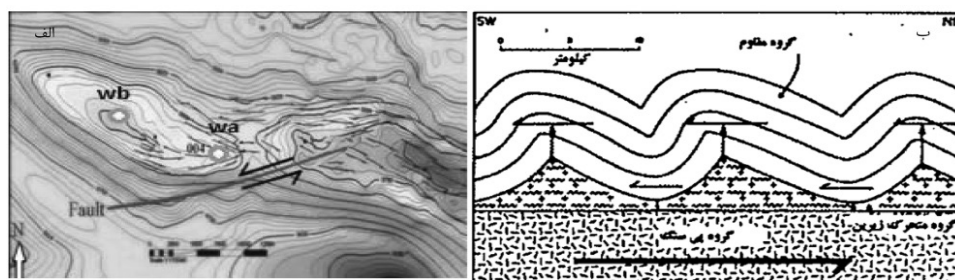




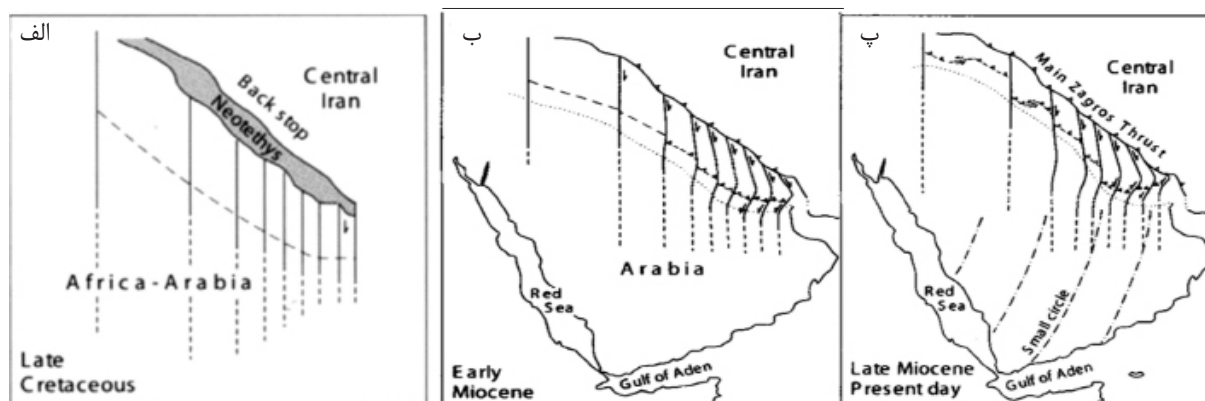
شکل ۱۲ (چپ) الف) شکستگی‌های القایی و ب) برون ریخت‌های چاه



شکل ۱۳ نقشه جهت‌گیری تنش‌های افقی حداکثر و حداقل ( $\sigma_{Hmax}$  و  $\sigma_{hmin}$ ) براساس مطالعات لرزه‌ای ناحیه در محدوده مورد مطالعه و موقعیت دو چاه مورد مطالعه



شکل ۱۴ الف) نقشه زیرسطحی از سازند سروک میدان و جابه‌جایی محور ناقدیس نامتقارن مورد مطالعه (غربی) به همراه موقعیت چاه‌ها و ب) ناقدیس‌های نامتقارن که توسط نیروی برشی در منطقه گسیخته شده‌اند (اقتباس از کلمن-سد، ۱۹۷۸ [۲۸]). در این تصویر نقش گسلش نادیده گرفته شده است.



شکل ۱۵ مدل شماتیکی تکامل کمربند زاگرس. الف) فرورانش حاشیه نئوتتیس به زیر ایران مرکزی در کرتاسه پایانی، ب) ادامه هم‌گرایی منجر به کوتاه‌شدن پی سنگ زاگرس با رانش عمودی از طریق گسل‌های رانده در امتداد NW-SE و رانش جانبی با چرخش بلوک‌های محصورشده با گسل تقسیم‌بندی کرد که از شمال‌باختر به جنوب‌خاور در امتداد کمربند زاگرس افزایش می‌یابد و پ) وضعیت کنونی ساختارهای زاگرس [۲۹]

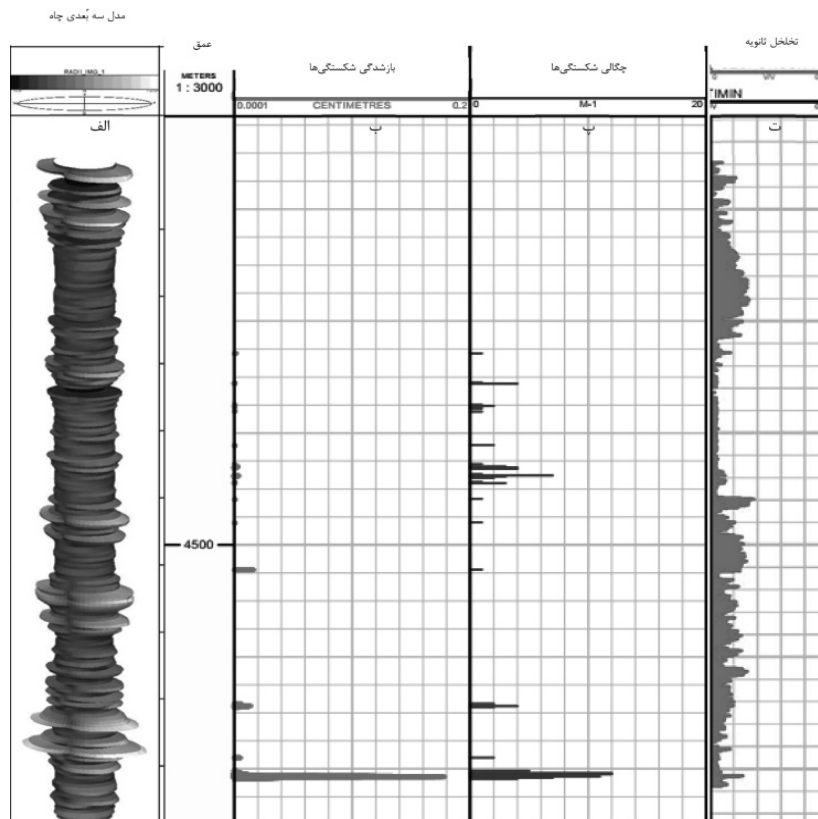
هرزروی بالای گل حفاری از نتایج به‌دست آمده قبلی [۲۷]، باعث ایجاد ساختاری با رژیم فشاری متناوب و پیچیده در میدان شده است که می‌توان آن را جزو پیچیده‌ترین میدان نفتی از لحاظ زمین‌شناسی در ایران به‌شمار آورد، در نتیجه هر چاه از این میدان دارای تاریخچه زمین‌شناسی منحصر به فرد و متفاوت خود است. اطلاعات به‌دست آمده از لاگ تصویری در دو چاه مورد مطالعه، امتداد شکستگی‌های القایی را که مبین بیشترین تنش افقی هستند، N30E تا N50E و کمابیش هم‌راستا با روند کلی فشارش وارده به صفحه ایران از جانب ورقه عربی را نشان می‌دهد. همچنین امتداد برون ریخت‌های هر دو چاه معرف کمترین تنش افقی، N60W تا N40W و عمود بر روند تنش افقی بیشینه به‌دست آمده است، در صورتی که تنش افقی بیشینه و کمینه به‌دست آمده از لاگ تصویری در تعداد دیگری از چاه‌های مطالعه‌شده در یال غربی و دور از جنوب میدان، هم به‌ترتیب روند N50E و N40W را نشان می‌دهند [۲۷]. با این نتایج روند تنش‌ها در چاه Wa، اختلاف امتداد حدود ۲۰° درجه به‌صورت چپ‌گرد نسبت به سایر چاه Wb و سایر چاه‌ها را دارد. امتداد دسته II شکستگی‌های طبیعی در چاه Wa نیز تقریباً در همین راستا است.

ادامه تغییر شکل به‌صورت چین‌خوردگی-راندگی در طول فاز اصلی کوه‌زایی زاگرس در اواخر دوره میوسن شروع و براساس اطلاعات لرزه‌خیزی، این تغییرشکل هم‌چنان فعال بوده و ادامه دارد [۲۳ و ۲۴]. پس از ایجاد زمین درز زاگرس، ادامه هم‌گرایی بین ورقه عربی و ایران منجر به چرخش بلوک‌های پی‌سنگی محدود به گسل شده (شکل ۱۵- ب و پ و در طول مراحل بعدی، چرخش خلاف جهت عقربه ساعت بلوک‌ها به نوبه خود باعث حرکت راست‌گرد گسل‌های با راستای NW-SE در مجاور محور اصلی راندگی زاگرس شده است. در مقابل، حرکت چپ‌گرد در امتداد گسل‌های با روند NE-SW به دلیل چرخش ساعت‌گرد بلوک‌های گسلی شدت یافته است [۲۵]. چین‌خوردگی این میدان نیز متأثر از گسلش امتدادلغز چپ‌بر (از مشتقات گسل بالارود) با خمش چرخشی از این روند تکاملی تبعیت می‌کند. چرخش محور تاقدیس نشانگر فعالیت پی‌سنگی این گسل بوده که اختلاف عمق پی‌سنگی در دو طرف گسل اصلی بالارود می‌تواند باعث تشدید حرکت راست‌لغز چپ‌گرد آن و ایجاد گسل‌های فرعی با این مکانیسم شده باشد [۲۶]. تغییرات جهت تنش بیشینه و کمینه در ساختمان میدان، جابجایی محور تاقدیس در اثر عملکرد گسل امتداد لغز چپ‌بر، توسعه شکستگی و در نتیجه

ایجادشده توسط لایه‌بندی ایجاد شوند و به‌طور حتمی به مجموعه شکستگی‌های اولیه (پیش از چین‌خوردگی) مرتبط نیستند. شکستگی‌های دسته III شکستگی‌های مورب مزدوج نسبت به لولای چین هستند که امتدادهای ENE-WSW و WNW-ESE را شامل می‌شوند زمان تشکیل مجموعه شکستگی‌های مورب در چین بعد از تشکیل شکستگی‌های موازی و عمود بر محور چین پیشنهاد می‌شود. نحوه تشکیل این شکستگی‌ها ممکن است مربوط به فعالیت مجدد در حین تغییر جهت تنش اطراف گسل‌های پی‌سنگی باشند، همان‌طور که در نقاط دیگر کمر بند چین‌خورده-رانده زاگرس پیشنهاد شده است [۳۱ و ۳۲]. از طرفی، می‌توانند به‌دلیل کوتاه‌شدگی کمابیش عمود بر لایه‌بندی و کشش جانبی در طول خمش چین (به‌خصوص در قسمت جنوبی چین و در هر دو یال شرقی و غربی) ایجاد شوند. تفسیر دوم به بهترین نحو با موقعیت و امتداد غالب همراه با توسعه دیر هنگام مجموعه شکستگی‌های مورب مزدوج متناسب است. شکستگی‌های دسته III و تا حدی دسته II، می‌توانند در مرحله‌ای از خمش چپ‌گردی هم در تشکیل و هم در تغییر جهت تأثیر گرفته باشند. به‌دلیل قرار گرفتن چاه Wa در جنوب‌شرق میدان و یال کم‌شیب خاوری چین، انتظار می‌رفت که چگالی شکستگی‌های مخزنی نسبت به نتایج چاه‌های یال غربی منجمله چاه Wb کمتر باشد، اما برخلاف انتظار تراکم بالای شکستگی‌ها مخزنی به‌ترتیب در سازند سروک پایینی، بخش احمدی و سروک بالایی مشاهده شد. بازشدگی شکستگی‌ها نیز از  $0/0001$  تا  $0/175$  cm متفاوت بود که بیشترین میزان بازشدگی در شکستگی‌های سروک پایینی بوده و غالب این شکستگی‌ها را نوع I تشکیل می‌دهد و در چاه Wb بیشترین شکستگیها در سروک بالایی دیده می‌شود. همچنین تراکم شکستگی در چاه Wa  $3/67$  (M/1) به‌دست آمد (شکل ۱۶).

که این امر را می‌توان به فعالیت‌های منطقه‌ای بعد از چین‌خوردگی و متاثر از گسلش امتداد لغز چپ‌بر نسبت داد درحالی‌که در چاه Wb متفاوت‌تر است. سه مرحله شکستگی مخزنی در تاق‌دیس و در چاه‌های مورد مطالعه در ارتباط با چین‌خوردگی - راندگی - خمش پیشنهاد شده است که اجزای مختلف شبکه شکستگی‌ها را از نظر هندسه و رفتار دینامیکی توصیف می‌کند: شکستگی‌های نوع I در چاه، با توجه به موازی بودن با محور لولا و همچنین روند کمابیش موازی با لایه‌بندی جزو شکستگی‌های طولی می‌باشند. این شکستگی‌ها در طی فشرده‌شدن ساختمان به موازات خط فروانش صفحه عربی به زیر صفحه ایران مرکزی و کشش قوس خارجی چین به موازات روند تنش افقی حداقل ایجاد شده‌اند. وجود دو گسل نرمال موازی با امتداد این دسته از شکستگی‌ها و همچنین قرار گرفتن اکثر شکستگی‌های پیوسته باز در این دسته، صحت روند پیشنهادی تشکیل این شکستگی‌ها را محتمل‌تر می‌کند که هم‌زمان با چین‌خوردگی و در حین رشد چین تشکیل شده باشند. در نتیجه شکستگی‌های نوع I را با اطمینان زیاد می‌توان شکستگی‌های مرتبط با چین‌خوردگی اولیه در میوسن پیشین دانست. شکستگی‌های نوع II، با روند کلی NE-SW بیشتر باز و ناپیوسته و جزو شکستگی‌های نسبت به چین محسوب می‌شوند، زیرا کمابیش عمود بر محور لولای چین گسترش دارند. شکستگی قبل از چین‌خوردگی برای این دسته از شکستگی‌ها پیشنهاد می‌شود که توسط تنش‌های دور از میدان و در طول برخورد ورقه عربی به اوراسیا در حوضه پیش‌بوم تشکیل شده‌اند. شکستگی‌های مشابهی در نقاط دیگری از زاگرس مشاهده شده‌اند (برای مثال منابع [۳۰ و ۳۱]). علاوه‌بر این، نا همسان‌گردی مکانیکی می‌تواند باعث ایجاد شکستگی شود. شکستگی‌های عمود بر لایه‌بندی می‌توانند با ناهمسان‌گردی مکانیکی

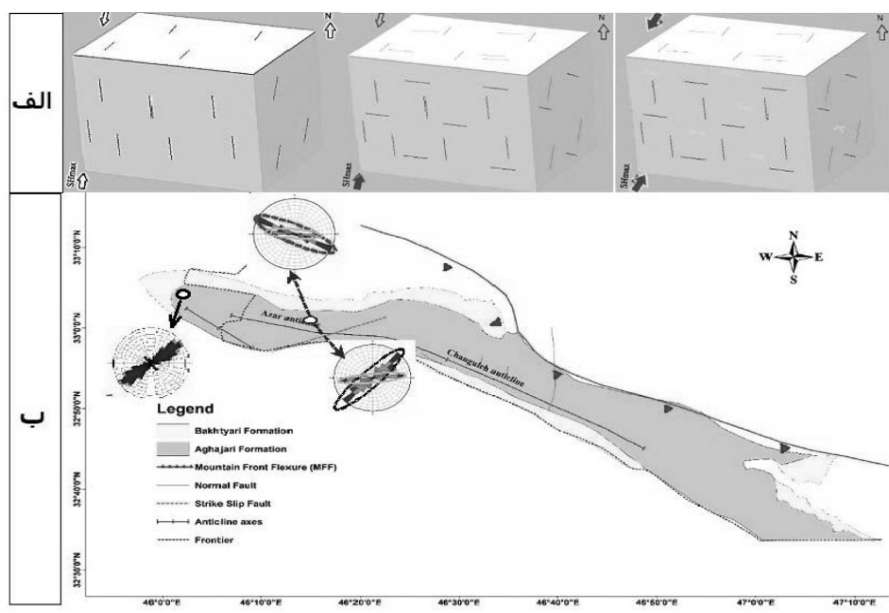




شکل ۱۶ الف) مدل ۳D از چاه به صورت کامل و در حالت غیر آزمون، ب) بازشدگی شکستگی‌ها، پ) چگالی شکستگی‌ها و ت) تخلخل ثانویه به دست آمده در چاه مورد مطالعه

شکستگی‌های بسته نسبت به شکستگی‌های باز سن بیشتری دارند. همچنین شکستگی‌های جوان معمولاً ضمن اینکه شکستگی‌های قدیمی را قطع نمی‌کنند، به یکدیگر نزدیکتر هستند، در نتیجه شکستگی‌های عرضی قدیمی تر از شکستگی‌های طولی و شکستگی‌های طولی نیز سن بیشتری نسبت به شکستگی‌های مورب دارند (شکل ۱۷). این نتایج می‌تواند به صورت مستقیم تأثیر زمین ساخت فعال محلی و به خصوص اثر گسل امتدادلغز چپ‌بر در نزدیکی چاه Wa را در مقایسه با چاه Wb دورتر از گسل نشان دهد. همچنین می‌توان رسوب‌گذاری هم‌زمان با زمین‌ساخت را به عنوان مهم‌ترین عامل کنترل‌کننده در شکل‌گیری میدان نفتی مورد مطالعه را براساس سن رسوب‌گذاری، شروع عملکرد زمین ساخت منطقه‌ای و محلی و هندسه شکستگی‌های زیرسطحی به دست آمده، در نظر گرفت.

به طور کلی می‌توان گفت شکستگی‌های دارای پرشدگی کهن‌ترین شکستگی‌ها براساس ویژگی‌های یک سنگ و محیطی که سنگ در آن قرار دارند، هستند [۱۹]، اما در این چاه‌ها شکستگی‌های پرشده یا بسته مشاهده نشد. این عامل را می‌توان به دو دلیل نسبت داد؛ اول با توجه به اینکه این چاه‌ها به صورت عمودی حفر شده و ابزار تصویرگر به داخل آن رانده شده است و همچنین نزدیکی جنس گل حفاری استفاده شده به سنگ میزبان در سازند سروک، امکان مشاهده این شکستگی‌ها را پایین آورده است. برای مشاهده و بررسی بیشتر این شکستگی‌ها می‌توان با حفر چاه‌های انحرافی و راندن ابزار تصویرگر به داخل چاه، شکستگی‌های بسته را در صورت وجود با دقت بالایی تشخیص داد. دلیل دوم هم می‌تواند سن نسبتاً جدید ایجاد شکستگی‌ها در میدان باشد، چراکه طبق الگوی پرایس و کاسگاروف ۱۹۹۰،



شکل ۱۷ الف) مدل مفهومی مراحل تشکیل شکستگی‌های میدان به‌دست آمده از نتایج شکستگی‌های واقعی در چاه‌های مورد مطالعه: از چپ به راست به‌ترتیب شکستگی‌های قبل از چین‌خوردگی (نوع II)، شکستگی‌های مربوط به چین‌خوردگی اولیه (نوع I) و شکستگی‌های نوع III مربوط به مراحل بعدی تغییر راستای تنش بعد از چین‌خوردگی؛ ب) نقشه زمین‌شناسی تاکدیس میدان و موقعیت چاه‌ها، خط‌چین‌های بیضی شکل قرمز، سیاه و زرد روی استریونتها به‌ترتیب امتداد شکستگی‌های نوع I، II و III را نشان می‌دهند

### نتیجه‌گیری

این مطالعه در یکی از میادین نفتی پیچیده از نظر زمین‌شناسی انجام شده که در مقایسه با دیگر چاه‌های نفت در ایران پیچیدگی زمین‌ساختی زیادی در ارتباط با شکستگی‌ها نشان می‌دهد. در اغلب موارد دسترسی به اطلاعات زیر سطحی و ساختاری به‌دلیل محدودیت‌ها و هزینه‌ها غیرممکن می‌شود. اما در شرایطی که اطلاعات زیر سطحی و به‌خصوص درون چاهی فراهم شود می‌توان براساس روش‌های مناسب با تحلیل داده‌های زیر سطحی تحلیل‌های با ارزشی از ساختار زمین‌شناسی ناحیه و ژئو دینامیک پوسته فوقانی انجام داد. از آنجائی‌که اطلاعات شکستگی‌ها وضعیت زمین‌ساختی در عمق‌های چند هزار متر را در بر دارند بنابراین مقایسه آنها با شرایط زمین‌شناسی سطحی ناحیه می‌تواند روند تغییرات زمین‌ساختی عمقی را نیز براساس تغییرات شرایط لیتو استاتیک آشکار کند. در این راستا و در این مطالعه با توجه به نتایج به‌دست آمده از لاگ‌های چاه‌های مورد مطالعه،

شکستگی‌ها کمابیش در کل بازه بررسی شده مشاهده شدند اما بیشترین توسعه را در سازند سروک پایینی و سروک بالایی داشتند. به‌طوری‌که شکستگی‌های رسانای پیوسته در این چاه‌ها نوع غالب شکستگی‌ها هستند. در هر دو چاه ترسیم آماری این شکستگی‌ها، جهت‌گیری امتدادی غالب NW-SE و آزیموت NE با دامنه اختلاف شیب از ۵۵ تا ۷۵° را نشان می‌دهند. شکستگی‌های رسانا ناپیوسته نیز دارای امتداد NE-SW، با آزیموت NW هستند که مقدار شیب شان از حدود ۵۰ تا ۷۵° متغیر است. هر دو شکستگی‌های ناشی از حفاری و برون ریخت‌های چاه در بازه مورد مطالعه در چاه‌ها توسعه یافته‌اند. شکستگی‌های ناشی از حفاری امتداد غالب NE-SW (N50E تا N30E) را نشان می‌دهند که نسبت به امتداد NW-SE (N120) برون ریخت‌های چاه عمود می‌باشند. هر دو چاه مورد مطالعه اساساً عمودی هستند، بنابراین امتداد شکستگی‌های القایی و برون ریخت‌های چاه‌ها با قطعیت بالا با روندهای بیشینه و کمینه

تنش افقی کنونی (به ترتیب) هم خوانی دارند. شکستگی‌های طبیعی براساس روندشان نسبت به محور لولای چین به سه دسته تقسیم شدند: دسته I شامل شکستگی‌هایی هم‌روند با راستای محور چین و کمابیش موازی با لایه‌بندی بوده و جزو شکستگی‌های طولی محسوب می‌شوند که به احتمال زیاد این دسته از شکستگی‌ها در چین‌خوردگی اولیه، به موازات خط فرورانش و تنش افقی کمینه تشکیل شده‌اند. دسته II شکستگی‌هایی را شامل می‌شود که امتدادشان نسبت به محور چین و لایه‌بندی کمابیش عمود و هم‌راستا با تنش افقی بیشینه کنونی هستند. این دسته به‌طور احتمالی مربوط به مرحله قبل از چین‌خوردگی در طول برخورد ورقه عربی به ایران مرکزی و همچنین متأثر از ناهمسان‌گردی مکانیکی لایه‌بندی هستند. دسته III نیز شامل شکستگی‌هایی با امتدادهای ENE-WSW و WNW-ESE است که به‌صورت مورب مزدوج نسبت به

محور چین قرار گرفته‌اند. به‌طور احتمالی بعد از تشکیل شکستگی‌های I و II و بدلیل فعالیت مجدد گسل‌های پی‌سنگی زاگرس از جمله گسل امتدادلغز چپ‌بر در میدان و کشش جانبی در طول خمش چین، این مجموعه شکستگی تشکیل شده باشند. مقایسه نتایج تحلیل شکستگی‌ها در دو چاه و وجود اختلاف در آزمون آنها نشان‌دهنده نقش تنشی گسل چپ بر نزدیک‌تر به چاه Wa و تأثیر استرین پارٹیشنینگ در فاصله فزون‌تر (حدود ۵ km) در چاه Wb را نشان می‌دهد. هم‌چنین نتایج کمی داده‌ها، تراکم بالای شکستگی‌های طبیعی و روندهای مختلف آنها در سارند مخرنی میدان سروک، حاکی از زمین ساخت فعال ناحیه‌ای و محلی می‌باشند. با توجه به پیچیدگی‌های ساختاری ناحیه اعم از چین‌خوردگی و فعالیت گسل‌های مهم ناحیه در فازهای مختلف براساس سن سازند مورد مطالعه، پیچیدگی‌های زمین‌ساختی مشاهده شده در این مطالعه دور از انتظار نمی‌بود.

## مراجع

- [1]. Zoback M.D., 2007. Reservoir Geomechanics, Cambridge University Press, Cambridge, New York.
- [2]. Fellgett, M. W., Kingdon, A., Williams, J. D. O., and Gent, C. M. A. (2018). Stress magnitudes across UK regions: new analysis and legacy data across potentially prospective unconventional resource areas. Mar. Pet. Geol. 97, 24–31.
- [3]. Nelson EJ, Meyer JJ, Hillis RR, Mildren SD (2005) Transverse drilling-induced tensile fractures in the West Tuna area, Gippsland Basin, Australia: implications for the in-situ stress regime, International Journal of Rock Mechanics and Mining Sciences, 42: 361–371.
- [4]. Rider M H (2002) The geological interpretation of well logs, Second Edition, Rider-French Consulting Ltd.
- [۵]. خوشبخت ف، معاریان ح، محمدنیا م (۱۳۸۸) مقایسه شکستگی‌ها در یک موقعیت ساختاری یکسان در یک میدان نفتی، با استفاده از لاگ تصویری. فصل‌نامه علمی-پژوهشی علوم زمین، ۱۹، ۷۳: ۶۵-۷۰.
- [6]. Tingay M, Reinecker J, Müller B (2008) Borehole breakout an drilling induced fracture analysis from image logs, World Stress Map Project, Guidelines, Image Logs, World Stress Map Project, 1: 8.
- [7]. Assous S, Elkington P, Clark S (2014) Automated detection of planar geological features in borehole images, Geophysics, 79, 1: 11–19, doi.org/10.1190/geo2013-0189.1.
- [8]. Al-Rubaie A, Ben Mahmud H (2020) A numerical investigation on the performance of hydraulic fracturing in naturally fractured gas reservoirs based on stimulated rock volume, Journal of Petroleum Exploration and Production.
- [9]. Allen M B, Armstrong H A (2008) Arabia–Eurasia collision and the forcing of mid-Cenozoic global cooling, Palaeogeogr. Palaeoclim, Palaeoecol, 265, 1–2: 52–58, doi.org/10.1016/j.palaeo.2008.04.021.
- [10]. Nelson R A (2001) Geologic analysis of naturally fractured reservoirs, Gulf Professional Publishing, United Kingdom, 332.
- [11]. Talbot C J, Alavi M (1996) The past of a future syntaxis across the Zagros, Geological Society, London, Special Publications, 100: 89–109, doi.org/10.1144/GSL.SP.1996.100.01.08.

- [12]. Berberian M (1995) Master blind thrust faults hidden under the Zagros folds: active basement tectonics and surface morphotectonics, *Tectonophysics*, 241, 3-4: 193-224, doi.org/10.1016/0040-1951(94)00185-C.
- [13]. Macleod J H (1972) Geological Map of Mehran, Scale 1:100,000. NIOC New York.
- [14]. Gassemi M, Asadollah S (2015) Active surface cracking in Aghajari Formation of the Azar oil field, Zagros, western Iran, *Marine and Petroleum Geology*, 68: 498-508, doi.org/10.1016/j.marpetgeo.2015.09.011.
- [15]. Geolog Tutorial of GEOLOG Software, the USA.
- [16]. Bellahsen N, Fiore P, Pollard D D (2006) The role of fractures in the structural interpretation of Sheep Mountain Anticline, Wyoming, *Journal of Structural Geology*, 28, 5: 850-867, doi.org/10.1016/j.jsg.2006.01.013.
- [17]. Ameen M S, Buhidma I M, Rahim Z (2010) The function of fractures and in-situ stresses in the Khuff reservoir performance, onshore fields, Saudi Arabia, *AAPG Bull*, 94, 27: 60.
- [18]. Price N (1966) Fault and joint development in brittle and semi-brittle rock, Pergamon Press, Oxford, 176.
- [19]. Price N, Cosgrove J (1990) Analysis of Geological Structures, Cambridge University Press, Cambridge, 502.
- [20]. Falcon N L (1969) Problems of the relationship between surface structure and deep displacements illustrated by the Zagros range, In: P. KENT, G. Satterthwaite and A. SPENCER (Eds.), Time and Place Orogeny, Geological Society of London, 3: 9-22, doi.org/10.1144/GSL.SP.1969.003.01.0.
- [21]. Stocklin J (1974) Possible ancient continental margins in Iran, In: C. BURK and C. DRAKE (Eds.), Geology of Continental Margins, Springer-Verlag, New York, 873-877.
- [22]. Haynes S J, McQuillan H (1974) Evolution of the Zagros suture zone, southern Iran, *Geological Society of America Bulletin*, 85, 5: 739-744, doi.org/10.1130/0016-7606(1974)85<739:EOTZSZ>2.0.CO;2.
- [23]. Stoneley R (1981) The geology of the Kuh-e Dalneshin area of southern Iran, and its bearing on the evolution of southern Tethys, *Journal of the Geological Society London*, 138, 5: 509-526.
- [24]. Alavi M (1994) Tectonics of the Zagros orogenic belt of Iran: new data and interpretations, *Tectonophysics*, 229, 3-4: 211-238, doi.org/10.1016/0040-1951(94)90030-2.
- [25]. Stoecklin J (1968) Structural history and tectonics of Iran: a review, *AAPG bulletin*, 52, 7: 1229-1258, doi.org/10.1306/5D25C4A5-16C1-11D7-8645000102C1865D.
- [۲۶]. باسره م، فرضی پور ع، صفایی ه، خانه ز ر (۱۳۹۱) تأثیر وضعیت پی سنگ بر ساختارهای سطحی مجاور گسل بالارود در کمربند چین خورده رانده زاگرس براساس مدل سازی تجربی تکتونیک، سی و یکمین گردهمایی علوم زمین، ۹.
- [۲۷]. شوراب، یوسفی موسوی (۲۰۱۸) تحلیل توسعه شکستگی ها وابسته به چین خوردگی و تعیین جهت تنش های برجا در سازند سروک در یکی از میادین نفتی غرب. زمین ساخت، ۲، ۶: ۵۵-۶۸.
- [28]. Colman- Sad S P (1978) Fold development in Zagros simply fold belt, Southwest Iran, *The American Association of petroleum Geologists Bulletin*, 62, 6: 984-1003, doi.org/10.1306/C1EA4F81-16C9-11D7-8645000102C1865D.
- [29]. Hessami K, Koyi H A, Talbot C J (2001b) The significance of strike slip faulting in the basement of the Zagros fold - thrust belt, *Journal of Petroleum Geology*, 24, 1: 5-28.
- [30]. Casini G, Gillespie P A, Verges J, Romaine I, Fernandez N, Casciello E, Saura E, Mehl C, Homke S, Embry J C, Aghajari L, Hunt D W (2011) Sub-seismic fractures in foreland fold and thrust belts: insight from the Lurestan Province, Zagros Mountains, Iran, *Petroleum Geoscience Search Dropdown Menu*, 17, 263e282, doi.org/10.1144/1354-079310-043.
- [31]. Tavani S, Storti F, Soleimany B, Fallah M, Munoz J P, Gambini R (2011) Geometry, kinematics and fracture pattern of the Bangestan anticline, Zagros, SW Iran, *Geological Magazine*, 148, 5-6: 964-979.
- [32]. Fard I A, Braathen A, Mokhtari M, Alavi S A (2006) Interaction of the Zagros fold thrust belt and the arabian-type, deep-seated folds in the Abadan Plain and the Dezful Embayment, SW Iran, *Petroleum Geoscience*, doi.org/10.1144/1354-079305-706.

# مطالعه و بررسی آزمایشگاهی عملکرد ژل هیبریدی به منظور کنترل هرزروی سیالات حفاری در سازندهای شکاف دار

رسول ناظمی، سیاوش عاشوری\* و جمشید مقدسی

گروه مهندسی نفت، دانشکده نفت اهواز، دانشگاه صنعت نفت، اهواز، ایران

تاریخ دریافت: ۱۴۰۱/۰۵/۰۹ تاریخ پذیرش: ۱۴۰۱/۰۸/۱۰

## چکیده

ژل‌هایی که در ابتدا ویسکوزیته پایینی دارند و بعد از مدتی شبکه سه‌بعدی مستحکمی تشکیل می‌دهند، می‌توانند به‌صورت موفقیت‌آمیزی در کنترل هرزروی سیالات حفاری به‌کار گرفته شوند. ژل هیبریدی، از یک ژل پلیمر کراس لینک شده به‌عنوان فاز پیوسته و یک سیال پایه روغنی به‌عنوان فاز داخلی تشکیل می‌شود. ژل هیبریدی به‌دلیل استفاده کمتر از پلیمر و کراس لینکر، هزینه کمتری نسبت به ژل پلیمرهای مرسوم دارد و خواص آن به‌راحتی قابل کنترل می‌باشد. این مقاله در دو بخش نتایج آزمایشگاهی و مدل‌سازی تجربی با استفاده از روش سطح پاسخ بررسی می‌شود. برای ارزیابی رفتار ژل در شرایط مختلف تعدادی پارامتر شامل زمان شروع تشکیل ژل، زمان نهایی ژل شدن، سرعت تشکیل شبکه ژل تعریف و مقایسه شدند. ابتدا، تأثیر پارامترهایی مانند pH، دما و شوری بر عملکرد ژل و نیز پایداری ژل با زمان مورد بررسی و ارزیابی قرار گرفت. سپس با تست‌های پایداری دینامیکی، حداکثر میزان فشاری که ژل در شکاف می‌تواند تحمل کند تا از هرزروی بیشتر سیال حفاری جلوگیری کند، اندازه‌گیری شد. در نهایت، برای بررسی آسیب وارده به سازند توسط ژل هیبریدی، میزان گسیختگی ژل با زمان در هیدروکلرید اسید ۱۵ و ۲۸٪ حجمی اندازه‌گیری شد. نتایج آزمایشگاهی نشان می‌دهد که ژل‌های هیبریدی به‌دلیل انعطاف‌پذیری بالا در طراحی، استحکام مناسب و عدم آسیب به سازند، می‌توانند عملکرد مناسبی برای مقابله با هرزروی حین حفاری و تکمیل چاه داشته باشند. از روش سطح پاسخ براساس طراحی Box-Behnken برای پیش‌بینی ویسکوزیته نهایی ژل هیبریدی به‌عنوان تابعی از دما، pH و شوری استفاده شد و مدل پیش‌بینی شده با حل مدل برازش درجه دوم به‌دست آمد. رابطه پیشنهادی، ویسکوزیته ژل هیبریدی را با دقت ۸۸٪، در محدوده پارامترهای ورودی مورد استفاده پیش‌بینی می‌کند.

**کلمات کلیدی:** هرزروی، سیالات حفاری، ژل هیبریدی، آسیب سازند، روش سطح پاسخ

## مقدمه

مهم‌ترین موضوعات و چالش‌ها در صنعت حفاری است که به‌علت از دست رفتن سیالات حفاری و نیز زمان مفید در حین حفاری یا سیمانکاری چاه ها موجب افزایش هزینه‌های عملیات می‌شود [۱]. هرزروی گل به‌دلیل عواملی از قبیل اختلاف فشار

جریان کنترل‌نشده گل حفاری به داخل یک سازند، هرزروی جریان نامیده می‌شود. هرزروی از



شکاف‌های بزرگ استفاده کرد و از ژل ضعیف تر در سازندهایی با تراوایی کمتر یا شکاف‌های کوچکتر استفاده می‌شود [۱۰]. ژل‌های کراس لینک شده می‌توانند در برابر هرزروی در سازندهای ماسه سنگی تخلیه شده، سازندهای غیر متراکم و نیز در مسدود کردن شکستگی‌ها و حفرات غار مانند در سازندهای کربناتی موثر باشند [۱۱ و ۱۲]. از ژل‌هایی با قابلیت انحلال در اسید می‌توان برای مخازن استفاده کرد [۱۳]. مختاری و همکاران، بر روی تأثیر عواملی مانند غلظت پلیمر، کنترل کننده pH، زمان اختلاط ژل و shear history، بر رفتار ژل پلیمر ساخته شده با زانتان و بورات مطالعه کردند. آنها مشاهده کردند که افزایش pH و غلظت پلیمر روند ژل شدن را تسریع می‌کند و shear history بر زمان شروع تشکیل ژل تأثیر نمی‌گذارد اما با افزایش زمان مخلوط شدن پلیمر و اتصال‌دهنده عرضی، زمان شروع ژل شدن<sup>۲</sup> کاهش می‌یابد [۱۴]. برای ژل‌های هیبریدی، فاز پیوسته ژل کراس لینک شده است و با افزودن یک فاز داخلی در کسر حجمی بین ۰/۳ تا ۰/۷، ویسکوزیته افزایش می‌یابد. فاز خارجی شامل پلیمر و کراس لینکر است و از گازوئیل، روغن سنتزی یا نفت می‌توان به عنوان فاز داخلی استفاده کرد. ویسکوزیته ژل‌های هیبریدی را می‌توان با تغییر مقدار پلیمر و کراس لینکر در فاز آبی و یا تغییر کسر حجمی فاز داخلی به مقدار مطلوب و استحکام مورد نظر رساند. یکی از مزایای ژل هیبریدی در مقایسه با ژل پلیمرها این است که با کاهش غلظت پلیمر و کراس لینکر مورد استفاده در ساخت ژل، میزان آسیب به سازند ناشی از حضور ژل در شکاف‌ها بعد از عملیات حفاری کاهش می‌یابد [۱۵ و ۱۶]. کاکادجیان و همکاران، بر روی ژل‌های امولسیون روغن در آب به عنوان سیال شکافزنی هیدرولیکی مطالعه کردند.

ستون سیال حفاری داخل چاه و فشار سیال داخل سازند، وجود شکاف‌ها در سازند و سازندهایی با تراوایی بالا رخ می‌دهد [۲]. مشکل هرزروی در ۷۵٪ از چاه‌های حفاری شده رخ می‌دهد و مشکلاتی از قبیل پایداری و کنترل چاه، تمیزکاری چاه و گیر کردن لوله‌ها برخی از حوادث پیش‌بینی شده ناشی از هرزروی هستند [۳ و ۴].

به‌طور کلی، شدت هرزروی را می‌توان به سه گروه هرزروی ناچیز (کمتر از ۲۵ bbl/h)، هرزروی متوسط (بین ۲۵ bbl/h تا ۱۰۰ bbl/h) و هرزروی شدید (بیشتر از ۱۰۰ bbl/h) تقسیم‌بندی کرد [۵]. مواد مرسوم کنترل‌کننده هرزروی<sup>۱</sup> در سه دسته ذرات دانه‌ای (پوست گردو، لایمستون و پوست صدف)، ذرات ورقه‌ای (میکا و ساقه نیشکر) و فیبرها قرار می‌گیرند. علاوه بر این مواد از ژل پلیمرها، سیمان، گانک پیل (بنتونیت و گازوئیل) و مواد شکل‌پذیر مانند لاستیک و رابرها در کنترل هرزروی سیال حفاری به داخل سازندها استفاده می‌شود [۶]. ژل پلیمرها از یک پلیمر و یک اتصال‌دهنده عرضی (کراس لینکر) تشکیل می‌شود. عمل کراس لینکینگ به پیوند و اتصال شاخه‌های پلیمرها به هم توسط اتصال‌دهنده عرضی گفته می‌شود که موجب تشکیل یک ژل با شبکه سه‌بعدی می‌شود. ژل پلیمرها در ابتدا ویسکوزیته پایینی دارند و بعد از مدتی یک ژل با ساختار سه‌بعدی مستحکم تشکیل می‌دهند [۷]. مزیت این ژل‌ها این است که می‌توانند برای اهدافی مانند مسدود کردن سازندهای آبی و ناحیه‌های مختلف، عملیات شکافزنی و تحریک چاه، استحکام و پایداری چاه و کنترل هرزروی مورد استفاده قرار گیرد. مزیت دیگر این ژل‌ها این است که می‌توان از آنها برای جلوگیری از هرزروی در گل‌های پایه آبی و پایه روغنی استفاده کرد [۸ و ۹]. انتخاب ژل پلیمر مناسب برای مقابله با هرزروی مهم است و به‌طور مستقیم بر نتیجه عملیات تأثیر می‌گذارد. ژل‌هایی با استحکام بیشتر را می‌توان در مخازنی با

1. Conventional lost Circulation Materials

2. Gelation Time

دما، شوری (کلسیم کلرید) و pH بر عملکرد ژل مورد بررسی قرار گرفت و سپس با استفاده از روش سطح پاسخ بر مبنای طراحی Box-Behnken، مدل سازی برای پیش بینی ویسکوزیته نهایی ژل هیبریدی انجام شد. برای بررسی عملکرد ژل در کنترل هرزروی از تست های پایداری دینامیکی استفاده شد. در این تست حداکثر فشار قابل تحمل ژل برای جلوگیری از هرزروی سیال حفاری در شکاف ها اندازه گیری شد. در ادامه پایداری ژل با زمان، شیه سازی رفتار ژل حین پمپاژ و نیز میزان گسیختگی ژل با زمان در هیدروکلرید اسید برای بررسی آسیب وارده به سازند توسط ژل، اندازه گیری و ارزیابی شد.

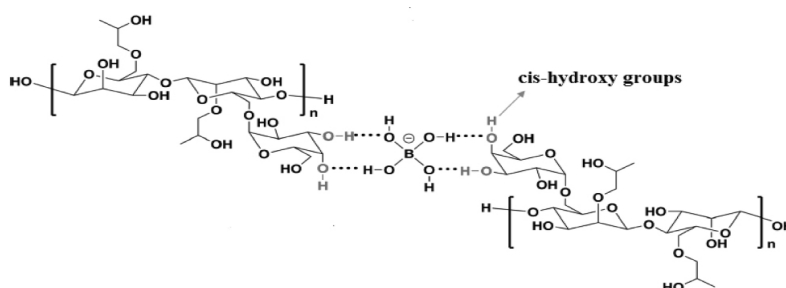
### مواد

ایجاد اتصال عرضی بین پلیمرها منجر به تشکیل ژل هایی با ویسکوزیته دلخواه و نیز کاهش مقدار پلیمر مصرفی شود. برای ساخت ژل هیبریدی از گوار به عنوان پلیمر و بوراکس به عنوان کراس لینکر استفاده شد. سازوکار و تشکیل اتصال عرضی بین پلیمرها براساس هیدرولیز بوراکس ( $\text{Na}_2\text{B}_4\text{O}_7 \cdot 10\text{H}_2\text{O}$ ) به آنیون های  $\text{B}(\text{OH})_4^-$  است. همان طور که در شکل ۱ نشان داده شده است، یون مونوبورات می تواند پیوندهای هیدروژنی با عامل های cis-hydroxy پلیمر گوار تشکیل دهد و بنابراین باعث اتصال پلیمرها و تشکیل یک شبکه ژل شود [۱۹]. مزیت ژل های کراس لینک شده با بورات، سرعت کراس لینکینگ قابل کنترل و پایداری حرارتی مناسب برای استفاده در مخازن است [۲۰].

در این مطالعه از پلیمر پلی ساکارید بدون کراس لینکر به عنوان عامل ویسکوزیته دهنده فاز خارجی استفاده شد و نسبت های مختلف محلول پلیمر به روغن ۵۰/۵۰، ۶۰/۴۰ و ۷۰/۳۰ را بررسی کردند. آنها نشان دادند که تأثیر غلظت پلیمر بر افزایش ویسکوزیته امولسیون بیشتر از افزودن درصد روغن به عنوان فاز داخلی است و نیز ساختار ژل با استفاده از اکسید کننده های معمولی شکسته می شود که این منجر به کاهش آسیب به سازند می شود [۱۵].

سایکس و همکاران، بر روی ژل پلیمر امولسیون شده در کنترل لایه های آبد به منظور ازدیاد برداشت از مخازن مطالعه کردند. ژل امولسیونی از پلی آکریل آمید و پلی اتیلن آمین به عنوان فاز آبی و دیزل به عنوان فاز روغنی استفاده شد. ژل پلیمر امولسیون شده، به صورت امولسیون آب در روغن بود که در شرایط دمای مخزن، ژل مستحکمی تشکیل می داد. آنها نشان دادند که ژل پلیمر امولسیون شده برای کنترل لایه های آبد مؤثر است و می تواند در مخازن با درجه حرارت بالا استفاده شود [۱۷ و ۱۸].

به طور کلی افزودن فاز داخلی پایه روغنی مانند گازوئیل به ژل موجب کاهش هزینه (کاهش مقدار پلیمر و کراس لینکر مصرف شده برای رسیدن به ویسکوزیته مطلوب) و افزایش ماندگاری ژل (عدم تخریب پلیمر توسط باکتری ها) می شود و از طرفی بعد از عملیات حفاری حذف ژل از داخل شکاف های سازند آسان تر است. همه این موارد از مزیت های ژل امولسیونی نسبت به ژل پلیمرهای مرسوم است. در این مقاله، کاربرد ژل هیبریدی برای کنترل و کاهش هرزروی و تأثیر پارامترهای مختلف شامل



شکل ۱ پلیمر اتصال عرضی شده با یون بورات [۱۸].



ویسکومتر دوار ۳۵ Fann استفاده شد. در این روش، ویسکوزیته ظاهری<sup>۴</sup> (AV) ژل در ۳ rpm در فواصل زمانی مشخص ثبت می‌شود و رفتار ژل با زمان بررسی می‌شود. برای بررسی عملکرد ژل در شرایط مختلف، تأثیر پارامترهای دما، شوری و pH مورد بررسی قرار گرفت. محدوده‌های مورد مطالعه برای این پارامترها در **جدول ۱** نشان داده شده است. در این مقاله از گوار با درصد وزنی ۱/۷۵ و بوراکس با درصد وزنی ۰/۷۵ فاز پیوسته استفاده شده است. دانسیته ژل هیبریدی طراحی شده توسط دستگاه mud balance مقدار ۷/۹ lb/bbl اندازه‌گیری شد.

### نتایج و بحث

پلیمرها توسط کراس لینکر با گذشت زمان به‌صورت عرضی پیوند می‌خورند تا ژل با استحکام مناسبی به‌دست آید. یکی از مهم‌ترین مسائل در طراحی ژل هیبریدی دستیابی به ویسکوزیته نهایی قابل قبول با یک زمان شروع ژل شدگی و سرعت کراس لینکینگ مناسب است. **شکل ۲** ژل هیبریدی در مرحله کراس لینکینگ و تصویر میکروسکوپی آن را نشان می‌دهد.

در این مطالعه از گازوئیل و یا روغن سنتزی به‌عنوان فاز داخلی ژل هیبریدی و برای تشکیل امولسیون از امولسیفایر DME استفاده شد. علاوه‌بر نوع پلیمر و کراس لینکر، عوامل متعددی مانند pH، دما، شوری در عملکرد نهایی ژل تأثیرگذار هستند. برای بررسی دقیق رفتار ژل، پارامترهایی مانند زمان شروع و تشکیل ژل<sup>۱</sup> (IGT)، زمان نهایی ژل شدن<sup>۲</sup> (FGT)، سرعت کراس لینکینگ و تشکیل شبکه ژل<sup>۳</sup> (CR) به شرح زیر تعریف می‌شود:

- زمان شروع ژل شدن (IGT): زمانی است که افزایش سریع در ویسکوزیته ژل مشاهده می‌شود. قبل از IGT، تغییرات ویسکوزیته کم است
  - زمان نهایی ژل شدن (FGT)، زمانی است که ویسکوزیته ژل به مقدار نهایی خود نزدیک می‌شود و تغییر میزان ویسکوزیته به‌میزان قابل توجهی کاهش می‌یابد. اندازه‌گیری این زمان دشوار بوده و دقیق نیست.
  - سرعت کراس لینکینگ (CR)، به نرخ افزایش ویسکوزیته و روند منحنی بین IGT و FGT گفته می‌شود.
- برای اندازه‌گیری ویسکوزیته ژل هیبریدی از

**جدول ۱** ترکیب امولسیون ژل برای تست‌های مختلف

پارامتر مورد بررسی	پلیمر و کراس لینکر (%wt)	نسبت فاز آب به گازوئیل	pH	غلظت کلسیم کلرید (ppm)	دما (°C)
pH	۲/۲۵	۵۰/۵۰	۹	۰	۳۵
			۱۱		
			۱۲		
دما	۲/۲۵	۵۰/۵۰	۱۱	۰	۳۵
					۵۰
					۷۰
شوری	۲/۲۵	۵۰/۵۰	۱۱	۰	۳۵
				۵۰۰۰	
				۱۰۰۰۰	

1. Initial Gelation Time
2. Final Gelation Time
3. Crosslinking Rate
4. Apparent Viscosity



شکل ۲ الف تصویر میکروسکوپی ژل هیبریدی و ب) ژل هیبریدی در مرحله کراس لینکینگ

### تأثیر pH بر رفتار و عملکرد ژل

ویسکوزیته نهایی ژل نشان دهنده کیفیت ژل تشکیل شده است. ایجاد یک محیط قلیایی برای آزادسازی یون‌های بورات از بوراکس برای اتصال عرضی بین پلیمرها و تشکیل ژل ضروری است [۲۱]. بنابراین کراس لینکینگ پلیمرها با بوراکس وابسته به pH است و بدون افزودن کنترل کننده pH به نمونه‌ها، شبکه ژل تشکیل نمی‌شود [۱۴].

**شکل ۳** تأثیر pH‌های مختلف بر روی رفتار ژل هیبریدی را نشان می‌دهد. همان‌طور که در **شکل ۳** نشان داده شده است، با افزایش pH از ۹ به ۱۲ سرعت کراس لینکینگ و همچنین ویسکوزیته نهایی افزایش می‌یابد. این بدان دلیل است که با افزایش pH، یون‌های بورات بیشتری برای اتصال پلیمرها در دسترس است و شبکه نهایی ژل قوی‌تر می‌شود. تفاوت نسبتاً کمی بین ویسکوزیته نهایی در pH ۱۱ و ۱۲ به این دلیل است که حداکثر مقدار بورات مورد نیاز برای اتصال عرضی در دسترس است و یون‌های بورات بیشتر فقط سرعت کراس لینکینگ را بهبود می‌بخشد.

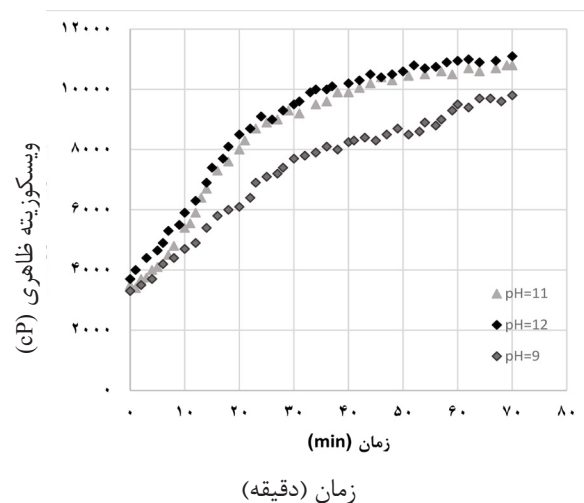
### تأثیر دما بر رفتار و عملکرد ژل

تأثیر دما بر کراس لینکینگ نسبتاً پیچیده است. با توجه به مطالعه انجام شده توسط کروجف و همکاران روی تعادل یون بورات، نتیجه گرفتند یون‌های بورات بیشتری در دمای بالاتر و در یک pH ثابت موجود است [۲۲]، که با نتایج به دست آمده توسط هریس و همکاران در تضاد است [۲۳].

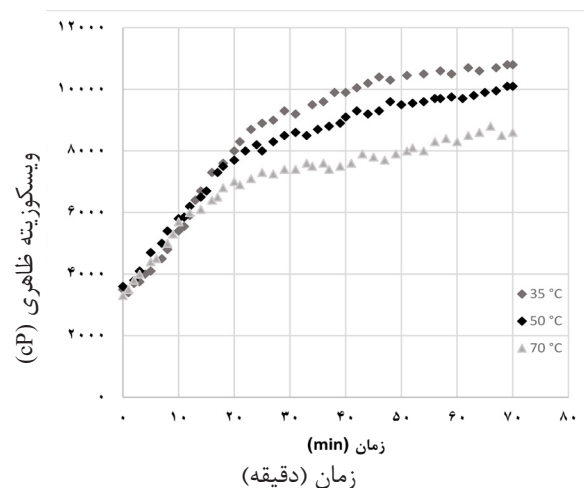
**شکل ۴** تأثیر دما بر رفتار ژل هیبریدی ساخته شده با پلیمر گوار را نشان می‌دهد. سرعت کراس لینکینگ تابعی از غلظت یون بورات و همچنین انرژی فعال‌سازی برای تشکیل پیوند است. بنابراین، در دماهای بالاتر، یون‌های بورات بیشتر و انرژی بیشتری برای واکنش اتصال عرضی پلیمرها در دسترس است [۱۴]. از سوی دیگر، با افزایش دما، ویسکوزیته پلیمر کاهش می‌یابد، که به دلیل تخریب پلیمر در دماهای بالا است. البته دما بر ویسکوزیته فاز داخلی (گازوئیل) تأثیر می‌گذارد اما این تغییرات ویسکوزیته فاز داخلی تأثیر کمی بر ویسکوزیته ژل هیبریدی دارد. با توجه به **شکل ۴**، با افزایش دما ویسکوزیته نهایی ژل به میزان قابل توجهی کاهش می‌یابد و سرعت کراس لینکینگ تقریباً ثابت می‌ماند اما زمان رسیدن ژل به ویسکوزیته نهایی کوتاه‌تر می‌شود.

### تأثیر کلسیم کلرید بر رفتار و عملکرد ژل

کاتیون‌ها می‌توانند با پلیمرهای آنیونی و طبیعی واکنش داده و با رسوب پلیمر در محلول باعث کاهش ویسکوزیته ژل شود. این کاهش ویسکوزیته با غلظت کاتیون‌ها رابطه مستقیم دارد و هر چه غلظت کاتیون‌ها بیشتر باشد، این کاهش ویسکوزیته بیشتر است [۲۴]. از طرف دیگر، یون‌های دو ظرفیتی موجود در آب تمایل دارند که در شرایط pH بالا با یون‌های هیدروکسید (OH) واکنش داده و با تشکیل رسوب، pH سیال را کاهش دهند.



شکل ۳ تأثیر pH بر روی رفتار ژل هیبریدی



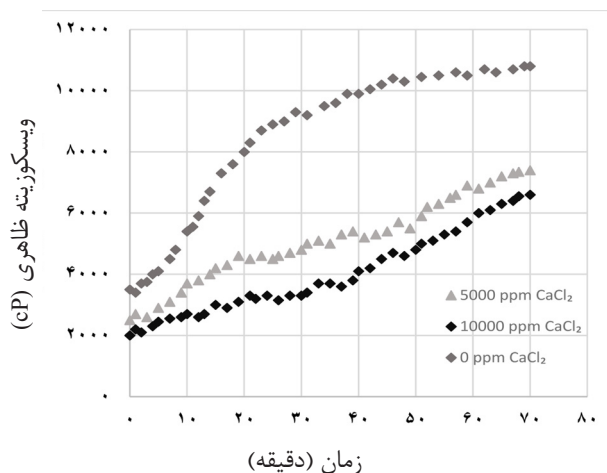
شکل ۴ تأثیر دما بر رفتار ژل هیبریدی

شروع تشکیل ژل به تأخیر می‌افتد و نرخ کراس لینکینگ به‌طور قابل توجهی کاهش می‌یابد. از آنجایی که ویسکوزیته اولیه ژل تابعی از ویسکوزیته پلیمر است با حمله کاتیون‌ها به این پلیمرهای زیستی، ویسکوزیته اولیه ژل هیبریدی کاهش می‌یابد. علاوه‌بر این، کیفیت نهایی ژل به‌دلیل کاهش میزان کراس لینکینگ کاهش می‌یابد و ژل با سرعت کمتری تشکیل می‌شود، بنابراین زمان رسیدن به ویسکوزیته نهایی طولانی‌تر خواهد بود.

#### تأثیر نوع فاز داخلی بر ویسکوزیته ژل

از دیزل و روغن سنتزی برای بررسی تأثیر ویسکوزیته فاز داخلی بر رفتار ژل استفاده شد.

بنابراین، کاهش یون‌های هیدروکسید محلول باعث می‌شود یون‌های بورات کمتری برای کراس لینکینگ در دسترس باشد. با توجه به کاهش ویسکوزیته پلیمرها در حضور نمک‌ها و رقابت بین کراس لینکرها و کاتیون‌های دو ظرفیتی مانند یون‌های کلسیم برای کراس لینکینگ با زنجیره‌های پلیمری، ارزیابی عملکرد ژل در حضور کاتیون‌های دو ظرفیتی بسیار مهم است [۲۵ و ۲۶]. برای بررسی اثرات شوری، از غلظت‌های مختلف کلسیم کلرید در ترکیب ژل هیبریدی استفاده شد و سپس ویسکوزیته برحسب زمان برای هر غلظت به‌منظور بررسی عملکرد ژل اندازه‌گیری شد. همان‌طور که در شکل ۵ مشاهده می‌شود، با افزایش غلظت شوری، زمان



شکل ۵ تأثیر غلظت کلسیم کلرید بر رفتار ژل هیبریدی

عوامل مورد بررسی و (cp) تعداد تکرار آزمایش برای نقطه مرکزی است. برای بررسی سه پارامتر در سه سطح، طراحی Box-Behnken حداکثر کارایی را در تحلیل و پیش‌بینی پاسخ دارد. بعلاوه، تعداد آزمایش‌های انجام شده در این مورد در مقایسه با دیگر طرح‌ها بسیار کمتر است. طرح پیشنهادی Box-Behnken برای مدل‌سازی سطح پاسخ با سه پارامتر نیاز به ۱۵ آزمایش دارد [۲۷ و ۲۸ و ۲۹]. در مطالعه حاضر، طراحی Box-Behnken با سه پارامتر، pH، دما و غلظت کلسیم کلرید به‌عنوان متغیرهای مستقل برای پیش‌بینی ویسکوزیته نهایی ژل هیبریدی در شرایط مختلف، مورد مطالعه قرار گرفت. محدوده و سطوح سه متغیر مستقل در جدول ۲ ارائه شده است.

#### برازش رابطه چند جمله‌ای مرتبه دوم

برای پیش‌بینی رابطه بین نتایج آزمایشگاهی براساس مدل طراحی آزمایشگاهی Box-Behnken و متغیرهای ورودی از مدل روابط چند جمله‌ای مرتبه دوم استفاده شد رابطه شماره ۱ برای پیش‌بینی ویسکوزیته ژل هیبریدی در بازه تعیین شده برای پارامترهای ورودی است:

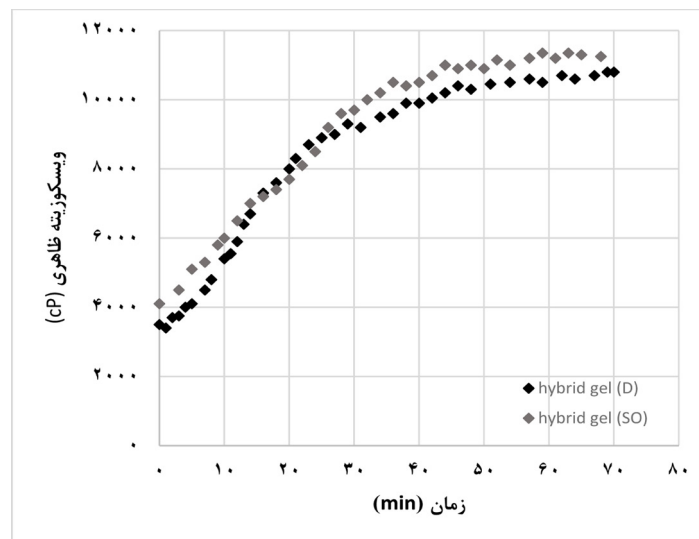
ویسکوزیته دیزل (D) و روغن سنتزی<sup>۱</sup> (SO) در دما و فشار محیط، به‌ترتیب ۴ و ۳۱ cP اندازه‌گیری شد. شکل ۶ تأثیر تغییر نوع فاز داخلی بر عملکرد ژل هیبریدی ساخته شده با پلیمر گوار را نشان می‌دهد. با توجه به شکل ۶، ویسکوزیته ژل تابعی مستقیم از ویسکوزیته فاز داخلی نیست و تغییر نوع فاز داخلی تنها می‌تواند ویسکوزیته نهایی ژل را تغییر دهد. ترکیب سیال فاز داخلی و نیز وجود سورفکتانت طبیعی در آن می‌تواند بر پایداری ژل امولسیونی تأثیر بگذارد.

#### مدل ریاضی

روش سطح پاسخ<sup>۲</sup> (RSM) شامل تکنیک‌های ریاضی و آماری است که برای مطالعه ارتباط بین پاسخ و متغیرهای ورودی مورد استفاده قرار می‌گیرد و برای مدل‌سازی و تجزیه و تحلیل مسائل مهندسی مفید است. مزیت اصلی استفاده از روش سطح پاسخ ارزیابی تأثیر پارامترهای متعدد و فعل و انفعالات آنها با یکدیگر در تولید پاسخ‌ها است. طرح آزمایش Box-Behnken به‌طور عمومی برای مدل‌های سطح پاسخ مرتبه دوم مورد استفاده قرار می‌گیرد. در طراحی Box-Behnken با توجه به تعداد پارامترهای مورد بررسی، تعداد آزمایش‌های مورد نیاز (N) از رابطه  $N = k^2 + k + cp$  به‌دست می‌آید، که (k) تعداد

1. Synthetic Oil

2. Response Surface Methodology



شکل ۶ تاثیر نوع فاز داخلی بر رفتار ژل هیبریدی

جدول ۲ سطوح مورد بررسی پارامترهای ورودی

پارامتر	سطح پایین	سطح بالا
دما (°C)	۳۰	۷۰
pH	۹	۱۲
غلظت کلسیم کلرید (ppm)	۰	۱۰۰۰۰

و تأثیر شرایط ترکیبی برهم‌کنش پارامترها استفاده می‌شود. ضرایب با مقادیر P-value کوچکتر از ۰/۰۵ تأثیر قابل توجهی بر پاسخ دارند. نتایج ANOVA برای مدل درجه دوم سطح پاسخ در **جدول ۳** ارائه شده است. عواملی با P-value بالای ۰/۰۵ می‌توانند بدون تأثیر بر پیش‌بینی مدل حذف شوند. با توجه به **جدول ۳**، مقدار P-value برای مدل کمتر از سطح معنی دار ۰/۰۵ است، که نشان می‌دهد مدل توسعه یافته قابل قبول است. از طرفی مقدار P-value برای lack of fit مقدار ۰/۱۲۱ است که نشان می‌دهد تاحدودی عدم تناسب غیر قابل توجهی در سطح معنی دار ۰/۰۵ وجود ندارد و مدل پیش‌بینی شده مورد قبول است. دقت مدل با مقایسه ضرایب همبستگی<sup>۱</sup> ( $R^2$ ) و مقادیر ضریب همبستگی تعدیل شده<sup>۲</sup> ( $adj R^2$ ) تجزیه و تحلیل می‌شود. این معیارها برای بررسی میزان نزدیک بودن مدل به داده‌های اندازه‌گیری شده هستند.

1. R-Squared  
2. Adjusted R-Squared

(۱)

$$\sqrt{\text{Final viscosity (cP)}} = 33/98672 + 9/43282 \times \text{pH} + 0/57517 \times \text{Temperature (}^\circ\text{C)} - 5/07331 \times 10^{-3} \times \text{Ca-Cl}_2 \text{ concentration (ppm)} - 0/047445 \times \text{pH} \times \text{Temperature (}^\circ\text{C)} + 6/7480 \times 10^{-5} \times \text{pH} \times \text{CaCl}_2 \text{ concentration (ppm)} + 2/17274 \times 10^{-5} \times \text{Temperature (}^\circ\text{C)} \times \text{CaCl}_2 \text{ concentration (ppm)} - 0/26541 \times \text{pH}^2 - 3/16218 \times 10^{-3} \times \text{Temperature (}^\circ\text{C)}^2 + 8/4647 \times 10^{-8} \times \text{CaCl}_2 \text{ concentration (ppm)}^2$$

#### نتایج ANOVA و مدل رگرسیون

این که آیا یک مدل درجه دوم معنی دار است یا خیر را می‌توان از طریق نتایج ANOVA تعیین کرد. مطالعه ANOVA تجزیه و تحلیل مفصلی مانند اهمیت و سهم پارامترهای ورودی در پاسخ خروجی را ارائه می‌دهد. همچنین اثرات دو فاکتور بر هم، مربع یک فاکتور و میزان خطا را بر پاسخ‌های خروجی ارائه می‌دهد. برای بررسی معنادار بودن مدل، مقدار P-value و lack of fit برای مدل بررسی می‌شود. مقدار P-value برای تعیین اهمیت ضرایب

جدول ۳ نتایج آنالیز واریانس برای مدل درجه دو

P-value	F-value	Mean Square	Sum of Squares	Source
۰/۰۰۰۱	۱۵۹/۸۲	۱۵۰/۱۲	۱۳۵۱/۰۵	مدل
۰/۰۰۰۸	۶۳/۶۳	۵۹/۹۱	۵۹/۹۱	pH :A
۰/۰۰۱۴	۵۸۴/۱	۵۴/۴۰	۵۴/۵۶	B: دما
۰/۰۰۰۱	۱۲۵۹/۰۳	۱۷۱۲/۴۶	۱۱۸۲/۴۶	C: غلظت کلسیم کلرید
۰/۰۳۲۴	۸/۶۷	۸/۱۰۲	۸/۱۰۲	AB
۰/۳۴۴۱	۱/۰۶۷	۱/۰۲۱	۱/۰۲۱	AC
۰/۰۰۵۶	۱/۲۶۰	۱۸/۸۶	۱۸/۸۶	BC
۰/۲۸۹۶	۱/۴۵	۱/۳۲	۱/۳۲	A <sup>2</sup>
۰/۰۵۴۰	۶/۲۹	۵/۱۹	۵/۹۱	B <sup>2</sup>
۰/۰۰۸۵	۱۷/۶۹	۱۵/۴۴	۱۶/۵۳	C <sup>2</sup>
-	-	۰/۹۷	۴/۸۷	Residual
۰/۱۲۱	۳/۹۰	۱/۳۴	۴/۱۶	Lack of Fit
-	-	۰/۳۲	۰/۶۱	Pure Error

۷ تا ۹ نشان داده شده است، نمودارهای سطح پاسخ با ترسیم دو فاکتور در محدوده مربوط به خود رسم شده‌اند، درحالی‌که فاکتور سوم در مقدار متوسط ثابت نگه داشته می‌شود (۱۰/۵) برای pH، ۵۰ C°، برای دما یا ۵۰۰۰ ppm برای غلظت کلسیم کلرید).

#### تأثیر Shear history بر رفتار ژل

به‌منظور شبیه‌سازی رفتار ژل حین پمپاژ و پایین رفتن داخل لوله حفاری در عملیات کنترل هرزروی، نمونه به‌مدت ۱۰ min در دور ۲۰۰ RPM تحت shear قرار گرفت. سپس ویسکوزیته با زمان در نرخ برشی ۳ RPM اندازه‌گیری شد تا وضعیت ژل در داخل سازند شبیه‌سازی شود. شکل ۱۰ نشان می‌دهد که shear history ایجاد شده برای شبیه‌سازی حرکت ژل در حین پمپاژ، سرعت کراس لینکینگ و ویسکوزیته نهایی را افزایش می‌دهد و زمان رسیدن به ویسکوزیته نهایی را کاهش می‌دهد.

#### پایداری ژل با زمان

برای کنترل موفقیت‌آمیز هرزروی گل، پایداری و استحکام ژل در داخل شکاف برای یک دوره زمانی خاص مهم است.

مقدار یک برای  $R^2$  نشان دهنده ارتباط قوی بین متغیرهای مستقل و وابسته است. وقتی این دو مقادیر نزدیک به یکدیگر و نیز به مقدار یک نزدیک باشند، مدل از نظر آماری معنی‌دار است. در جدول ۴ ضرایب همبستگی برای رابطه درجه دو آورده شده است. در مدل ارائه شده مقدار  $R^2$  و  $adj R^2$  نزدیک به ۱ است که نشان‌دهنده مناسب بودن مدل برای پیش‌بینی ویسکوزیته ژل هیبریدی است.

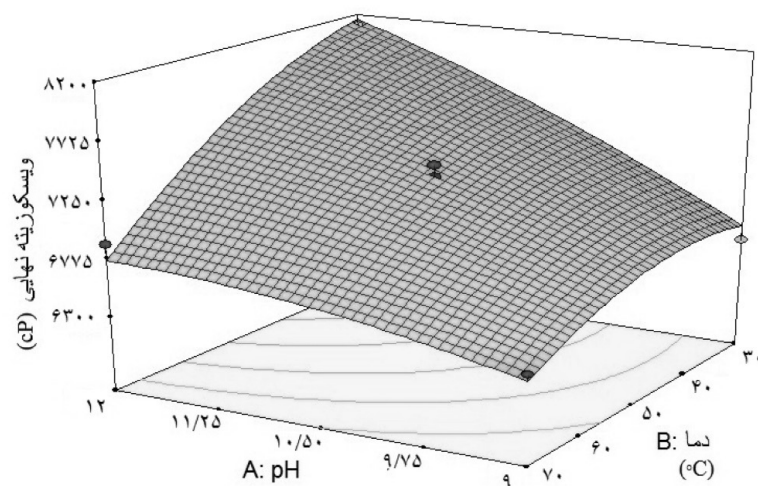
جدول ۴ ضرایب همبستگی مدل درجه دو

Predicted R-Squared	Adjusted R-Squared	R-Squared	مدل
۰/۸۸	۰/۸۹	۰/۹۱	Quadratic

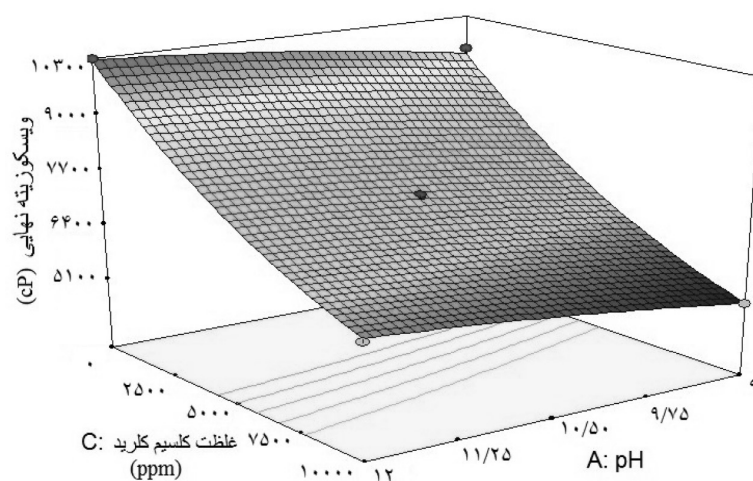
#### سطوح پاسخ سه‌بعدی

نمودارهای سطح پاسخ سه‌بعدی به‌صورت تابعی از دو پارامتر متفاوت و ثابت نگه داشتن پارامتر سوم در سطحی مشخص، در درک تأثیر پارامترهای اصلی و برهم‌کنش بین دو پارامتر مفید هستند. بنابراین، به‌منظور درک بهتر نتایج، نمودارهای سطح پاسخ سه‌بعدی برای مدل پیش‌بینی شده در شکل‌های ۷ تا ۹ ارائه شده است. همان‌طور که در شکل‌های

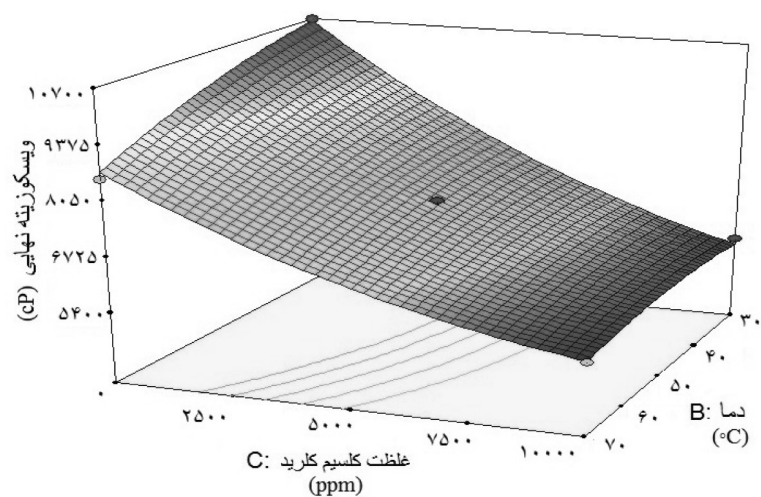




شکل ۷ منحنی سه بعدی تأثیر هم‌زمان دما و pH روی ویسکوزیته نهایی ژل هیبریدی در غلظت کلسیم کلرید ۵۰۰۰ ppm

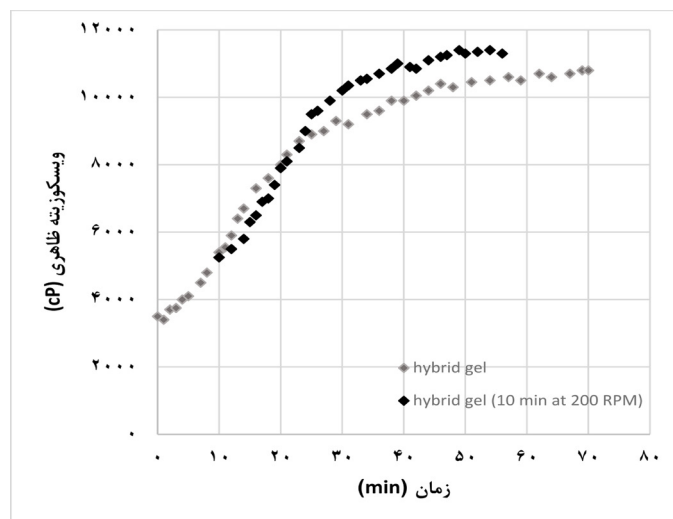


شکل ۸ منحنی سه بعدی تأثیر هم‌زمان غلظت کلسیم کلرید و pH روی ویسکوزیته نهایی ژل هیبریدی در دمای ۵۰ °C



شکل ۹ منحنی سه بعدی تأثیر هم‌زمان غلظت کلسیم کلرید و دما روی ویسکوزیته نهایی ژل هیبریدی در pH برابر با ۱۰/۵





شکل ۱۰ تأثیر shear history بر روی رفتار ژل هیبریدی

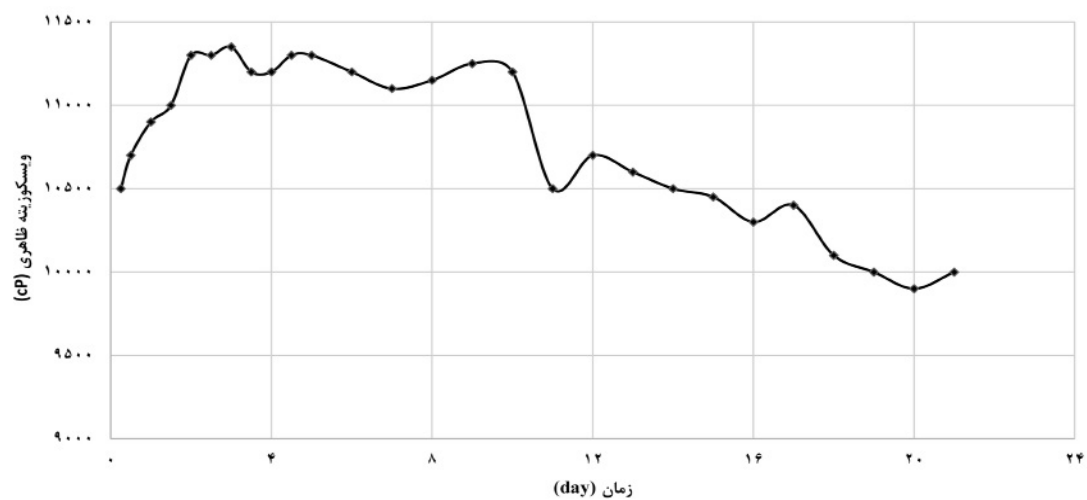
به داخل شکاف تزریق می‌شود و استحکام ژل با اندازه‌گیری فشار در ورودی شکاف تجزیه و تحلیل می‌شود تا حداکثر فشاری را که ژل می‌تواند در برابر هرزروی تحمل کند، به دست آید. شکل ۱۳ پروفایل فشار و ماکزیمم فشار سیل‌بندی شکاف را برای ژل هیبریدی نشان می‌دهد. با توجه به شکل ۱۳، وجود کلسیم کلرید در آب مورد نیاز برای ساخت ژل هیبریدی باعث کاهش استحکام ژل می‌شود و بنابراین حداکثر فشار قابل تحمل ژل درون شکاف به مقدار قابل توجهی کاهش می‌یابد. آسیب سازند

وجود ژل در داخل سازند یا شکاف در حین جریان دادن چاه می‌تواند باعث آسیب سازند شود. مواد مختلفی برای از بین بردن شبکه ژل با تقسیم مولکول‌های پلیمری به قطعات کوچکتر و یا با جدایش اتصال عرضی بین ساختار ژل، مورد استفاده قرار می‌گیرند [۳۰]. هیدروکلریک اسید (HCl) پرکاربردترین اسید برای گسیختگی شبکه ژل و حذف آن از داخل سازند و شکاف‌ها است [۳۱]. از هیدروکلریک اسید در دو غلظت ۱۵ و ۲۸٪ حجمی برای ارزیابی میزان گسیختگی ژل با زمان استفاده شد.

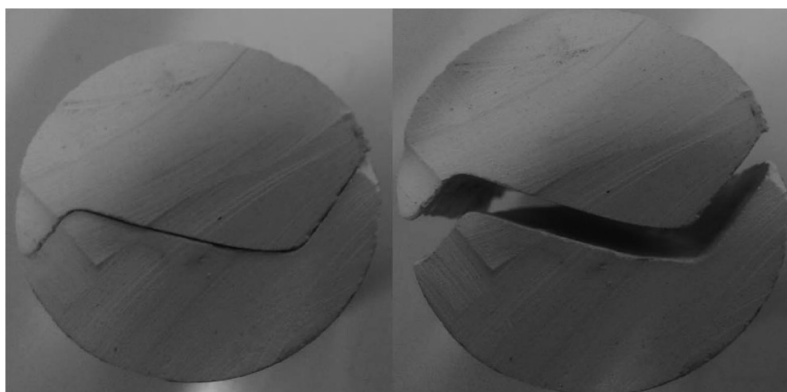
برای ارزیابی دوام و پایداری ژل در سازند، ویسکوزیته ژل به مدت ۲۱ روز در شرایط محیط اندازه‌گیری شد. شکل ۱۱ تغییرات ویسکوزیته ژل هیبریدی در طول ۲۱ روز را نشان می‌دهد. با توجه به شکل ۱۲، تغییرات ویسکوزیته با گذشت زمان کم است و ژل از پایداری و استحکام کافی در این دوره برخوردار است.

#### پایداری دینامیک ژل در سازندهای شکاف‌دار

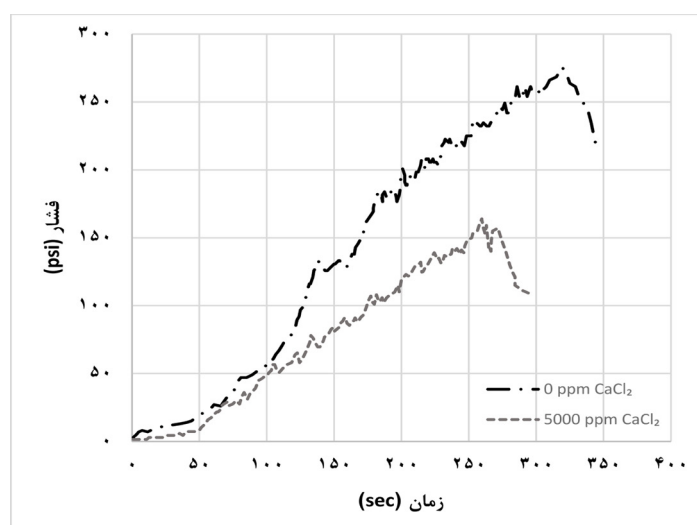
هدف از آزمایش پایداری دینامیک ژل، ارزیابی میزان اختلاف فشاری است که ژل‌ها در شکاف می‌توانند تحمل کنند تا از هرزروی بیشتر سیال جلوگیری شود. به عبارت دیگر، مقاومت ژل در برابر فشار سیال حفاری است. به دلیل اینکه به دست آوردن مغزه‌های طبیعی حاصل از حفاری چاه‌ها هزینه بالایی دارد، برای شبیه‌سازی سازندهای شکاف‌دار و بررسی عملکرد ژل درون شکاف، مغزه شکاف‌دار طراحی و ساخته شد. هدف از ساخت مغزه‌های کربناته در آزمایشگاه، امکان آزمایش در شرایط نزدیک به ایده آل و شبیه‌سازی ماتریس سنگ کربناته طبیعی است. شکل ۱۲ مغزه شکاف‌دار کربناته ساخته شده با عرض شکاف یک میلی متری در وسط را نشان می‌دهد. ژل پس از رسیدن به ویسکوزیته نهایی



شکل ۱۱ پایداری ژل با زمان



شکل ۱۲ مغزه شکافدار کربناته ساخته شده با عرض شکاف ۱ mm



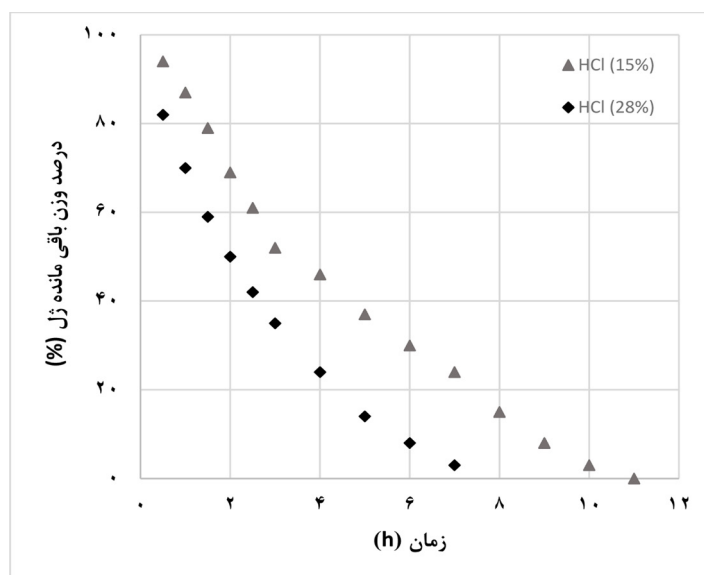
شکل ۱۳ استحکام ژل در برابر فشار داخل شکاف

مراحل اندازه‌گیری درجه تخریب ژل‌ها به شرح زیر است:

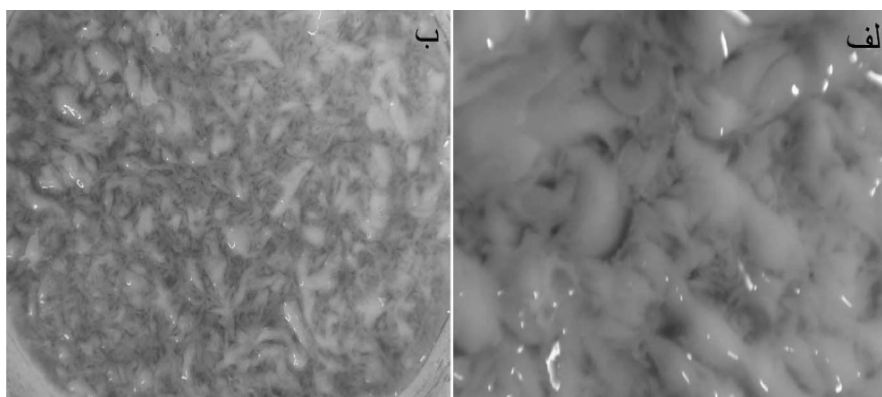
ابتدا ۱۰ گرم ژل در ۳۰ سی سی محلول اسید در غظت مورد نظر در بطری‌های شیشه‌ای نگه‌داری می‌شود و سپس وزن ژل باقی‌مانده براساس برنامه زمان بندی شده اندازه‌گیری می‌شود و میزان گسیختگی ژل با محاسبه درصد وزن باقی‌مانده<sup>۱</sup> (WRP) از فرمول شماره ۲ تعیین می‌شود [۳۲].

(۲)  $WRP = (W_a)/(W_i) \times 100\%$   
 $W_a$  وزن اندازه‌گیری شده ژل پس از زمان مشخص و  $W_i$  وزن اولیه ژل هیبریدی است. شکل ۱۴ میزان

WRP ژل هیبریدی در هیدروکلریک اسید ۱۵ و ۲۸٪ حجمی را با زمان نشان می‌دهد. همان‌طور که در شکل ۱۴ نشان داده شده است، با افزایش غظت اسید از ۱۵ به ۲۸، نرخ گسیختگی ژل افزایش و زمان تجزیه کامل ژل کوتاه‌تر می‌شود. زمان گسیختگی کامل ژل‌ها در اسید ۲۸ و ۱۵٪ حجمی به ترتیب در حدود ۷ و ۱۱ ساعت اندازه‌گیری شد. انحلال و گسیختگی کامل ژل هیبریدی در اسید نشان‌دهنده عدم آسیب سازند ناشی از حضور ژل است. شکل ۱۵ تصویر ژل گسیخته شده در هیدروکلریک اسید ۱۵ و ۲۸٪ حجمی را نشان می‌دهد.



شکل ۱۴ مقدار گسیختگی ژل با زمان در هیدروکلریک اسید



شکل ۱۵ الف) ژل گسیخته شده در هیدروکلریک اسید ۱۵٪ حجمی؛ ب) ژل گسیخته شده در هیدروکلریک اسید ۲۸٪ حجمی

## نتیجه‌گیری

افزودن فاز داخلی پایه روغنی مانند گازوئیل به ژل موجب کاهش هزینه تمام شده و افزایش ماندگاری ژل به دلیل عدم تخریب پلیمرها توسط باکتری‌ها می‌شود که از مزیت‌های ژل هیبریدی نسبت به ژل پلیمرها است. در این مقاله، تأثیر پارامترهای مختلف بر روی ژل هیبریدی به منظور کنترل هرزروی گل حفاری مورد بررسی قرار گرفت و نتایج به دست آمده به شرح زیر است:

- یکی از پارامترهای موثر بر عملکرد ژل، pH است. با افزایش pH، ویسکوزیته و نرخ کراس لینکینگ افزایش می‌یابد و زمان رسیدن ژل به ویسکوزیته نهایی کاهش می‌یابد.
- با افزایش دما، نرخ کراس لینکینگ تقریباً ثابت می‌ماند اما ویسکوزیته ژل و زمان رسیدن ژل به ویسکوزیته نهایی کاهش می‌یابد.
- حضور کلسیم کلرید ویسکوزیته اولیه ژل، سرعت کراس لینکینگ و ویسکوزیته نهایی ژل را کاهش می‌دهد. بنابراین کلسیم کلرید می‌تواند به عنوان یک عامل تأخیردهنده در کراس لینکینگ برای

ژلهایی با غلظت بالای پلیمر استفاده شود.

- با افزایش غلظت کلسیم کلرید، عملکرد ژل امولسیون و استحکام ژل در کنترل هرزروی به میزان قابل توجهی کاهش می‌یابد و نیز زمان رسیدن ژل به استحکام نهایی به تعویق می‌افتد.
- نتایج آزمایشگاهی نشان داد که ژل هیبریدی را می‌توان به راحتی با هیدروکلریک اسید از سازند حذف کرد که نشان‌دهنده خواص غیر مخرب ژل امولسیونی است.
- ویسکوزیته فاز داخلی تأثیر کمی بر ویسکوزیته نهایی ژل دارد و از مواد پایه روغنی مختلفی می‌توان به عنوان فاز داخلی ژل امولسیونی استفاده کرد.

برای پیش‌بینی ویسکوزیته نهایی ژل روش سطح پاسخ Box- Behnken مورد بررسی قرار گرفت. نتایج آنالیز واریانس نشان داد که مدل می‌تواند داده‌های آزمایشگاهی را با دقت مناسبی پوشش دهد و مقادیر بالای ضریب همبستگی ( $R^2$ ) و ضریب همبستگی تعدیل شده ( $adj R^2$ ) نشان دهنده ارتباط قوی بین مقادیر پیش‌بینی شده و داده‌های آزمایشگاهی است.

## مراجع

- [1]. Luzardo J, Oliveira E P, Derks P W J, Nascimento R V, Gramatges A P, Valle R, Inderberg K (2015) Alternative lost circulation material for depleted reservoirs, In OTC Brasil, OnePetro, doi.org/10.4043/26188-MS.
- [2]. Zhong H, Shen G, Yang P, Qiu Z, Jin J, Xing X (2018) Mitigation of lost circulation in oil-based drilling fluids using oil absorbent polymers, Materials, 11, 10: 2020.
- [3]. Al Menhali S, Abdul Halim A O, Al Menhali S (2014) Curing losses while drilling and cementing, Society of Petroleum Engineers.
- [4]. Nasiri A, Ameri Shahrabi M, Keshavarz Moraveji M (2018) Experimental investigation of the performance of different lost circulation materials and introducing a new type of eco-friendly lost circulation additive, Petroleum Research, 28, 97-3: 47-58, 10.22078/PR.2018.2874.2334.
- [5]. Alsaba M, Nygaard R, Hareland G (2014) Review of lost circulation materials and treatments with an updated classification, AADE National Technical Conference and Exhibition, Houston, 15-16
- [6]. Ashoori S, Bahari Moghadam M, Nazemi R, Nooripoor V, Ahmadabadi M (2022) Dynamically evaluating the performance of naturally occurring additives to control lost circulation: on the effect of lost circulation material type, Particle-Size Distribution, and Fracture Width. SPE Journal, 1-23.
- [7]. Hashmat M D, Sultan Abdullah S, Saifur R, Hussain S M (2016) Crosslinked polymeric gels as loss circulation materials: an experimental study, Paper presented at the SPE Kingdom of Saudi Arabia Annual Technical Symposium and Exhibition.
- [8]. Jia H, Chen H, Guo S (2017) Fluid loss control mechanism of using polymer gel pill based on multi-cross-linking during overbalanced well workover and completion, Fuel, 210: 207-216.
- [9]. Hamza A, Shamlooh M, Hussein I A, Nasser M, Salehi S (2019) Polymeric formulations used for loss circulation materials and wellbore strengthening applications in oil and gas wells: A review, Journal of Petroleum Science and Engineering, 180: 197-214.
- [10]. Ay A, Gucuyener I H, Kök M V (2014) An experimental study of silicate-polymer gel systems to seal

- shallow water flow and lost circulation zones in top hole drilling, *Journal of Petroleum Science and Engineering*, 122: 690-699
- [11]. Wang H, Sweatman R, Engelman B, Deeg W, Whitfill D, Soliman M (2008) Best practice in understanding and managing lost circulation challenges, *SPE Drill Completion*, 23, 2: 168e75.
- [12]. Jiang G, Deng Z, He Y, Li Z, Ni X (2019) Cross-linked polyacrylamide gel as loss circulation materials for combating lost circulation in high temperature well drilling operation, *Journal of Petroleum Science and Engineering*, 181: 106250.
- [13]. Malmir P, Hashemi A, Soltani Soulgani B (2019) Experimental study of polymer injection on enhanced oil recovery from heavy oil reservoirs and determination of optimum injection concentration, *Journal of Petroleum Research*, 29, 98-3: 120-130, doi: 10.22078/pr.2019.3503.2602.
- [14]. Mokhtari M, Ozbayoglu M E (2010) Laboratory Investigation on gelation behavior of xanthan cross-linked with borate intended to combat lost circulation, In *SPE Production and Operations Conference and Exhibition, OnePetro*, <https://doi.org/10.2118/136094-MS>.
- [15]. Kakadjian S, Rauseo O, Marquez R, Gabay R, Tirado Y, Blanco J (2001) Crosslinked emulsion to be used as fracturing fluids, In *SPE International Symposium on Oilfield Chemistry, OnePetro*, <https://doi.org/10.2118/65038-MS>.
- [16]. Roodhart L P, Davies D R (1987) Polymer emulsion: the revival of a fracturing fluid, In *SPE/DOE Joint Symposium on Low Permeability Reservoirs, OnePetro*, <https://doi.org/10.2118/16413-MS>.
- [17]. Saikia T, Sultan A, Barri A, Shamsan A (2020) Emulsified polymer gel pickering emulsion for conformance control: emulsion formulation, stability and coreflooding investigation, In *SPE International Conference and Exhibition on Formation Damage Control. OnePetro*, <https://doi.org/10.2118/199237-MS>.
- [18]. Saikia T, Sultan A, Barri A A, Khamidy N I, Shamsan A A, Almohsin A, Bataweel M (2020) Development of pickering emulsified polymeric gel system for conformance control in high temperature reservoirs, *Journal of Petroleum Science and Engineering*, 184: 106596, <https://doi.org/10.1016/j.petrol.2019.106596>.
- [19]. Gao S, Guo J, Nishinari K (2008) Thermoreversible konjac glucomannan gel cross-linked by borax, *Carbohydrate Polymers*, 72, 2: 315-325, <https://doi.org/10.1016/j.carbpol.2007.08.015>.
- [20]. Fan H, Gong Z, Wei Z, Chen H, Fan H, Geng J Dai C (2017) Understanding the temperature-resistance performance of a borate cross-linked hydroxypropyl guar gum fracturing fluid based on a facile evaluation method, *RSC advances*, 7, 84: 53290-53300, <https://doi.org/10.1039/C7RA11687J>.
- [21]. Harris P C, Batenburg D V (2000) A comparison of freshwater and seawater-based borate crosslinked fracturing, Paper SPE 50777 presented at International Symposium of Oilfield Chemistry held in Houston, Texas, USA, 16-19, <https://doi.org/10.2118/50777-MS>.
- [22]. Kruijf A S, Roodhart L P, Davies D R (1993). Relation between chemistry and flow mechanics of borate-crosslinked fracturing fluids, *SPE Journal of Production and Facilities*, <https://doi.org/10.2118/25206-PA>.
- [23]. Harris P C (1993) Chemistry and rheology of borate-crosslinked fluids at temperatures to 300°F", *Journal of Petroleum Technology*, 45, 03: 264-269, <https://doi.org/10.2118/24339-PA>.
- [24]. Sedaghatzadeh M, Shahbazi K, Pourafshary P, Razavi S A (2019) The effect of cations on gelation of cross-linked polymers, *Petroleum Exploration and Development*, 46, 4: 826-832, [https://doi.org/10.1016/S1876-3804\(19\)60241-7](https://doi.org/10.1016/S1876-3804(19)60241-7).
- [25]. Esmailirad N, White S, Terry C, Prior A, Carlson K (2016) Influence of inorganic ions in recycled produced water on gel-based hydraulic fracturing fluid viscosity, *Journal of Petroleum Science and Engineering*, 139: 104-111, <https://doi.org/10.1016/j.petrol.2015.12.021>.
- [26]. Li L, Al-Muntasheri G A, Liang F (2016) A review of crosslinked fracturing fluids prepared with produced water, *Petroleum*, 2, 4: 313-323, <https://doi.org/10.1016/j.petlm.2016.10.001>.
- [27]. Ferreira S C, Bruns R E, Ferreira H S, Matos G D, David J M, Brandão G C, Dos Santos W N L (2007) Box-Behnken design: an alternative for the optimization of analytical methods. *Analytica chimica acta*, 597, 2: 179-186, <https://doi.org/10.1016/j.aca.2007.07.011>.
- [28]. Khuri A I, Mukhopadhyay S (2010) Response surface methodology, *Wiley Interdisciplinary Reviews: Computational Statistics*, 2, 2: 128-149, doi: <https://doi.org/10.1002/wics.73>.
- [29]. Montgomery D C (2017) Design and analysis of experiments, John Wiley and sons.
- [30]. Al-Muntasheri G A, Li L, Liang F, Gomaa, A.M. **Concepts in cleanup of fracturing fluids used unconventional reservoirs: A literature review**, *SPE Production and Operations*, 33, 02: 196-213, <https://doi.org/10.2118/186112-PA>.
- [31]. Almubarak T, Ng J H C, AlKhalidi M, Panda S, Nasr-El-Din H A (2020) Insights on potential formation damage mechanisms associated with the use of gel breakers in hydraulic fracturing, *Polymers*, 12, 11: 2722, <https://doi.org/10.3390/polym12112722>.
- [32]. Zhou E (2019) Breaker evaluation and formation damage remediation of re-crosslinkable preformed particle gel (RPPG). M.S. in Petroleum Engineering, Geosciences and Geological and Petroleum Engineering. Missouri University of Science and Technology.

# مطالعه جذب سطحی متان درون منافذ کانی کلسیت در مخازن شیل گازی با روش شبیه‌سازی مولکولی

سعید بابائی<sup>۱\*</sup>، مهدی استادحسن<sup>۲،۳،۴</sup>، سید علی معلمی<sup>۵</sup>، مهراب رشیدی<sup>۶</sup>، حسن قاسم‌زاده<sup>۱</sup> و علی کدخدائی<sup>۷</sup>

۱- گروه ژئوتکنیک، دانشکده مهندسی عمران، دانشگاه صنعتی خواجه نصیرالدین طوسی، تهران، ایران

۲- موسسه نفت و گاز غیرمتعارف، دانشگاه نفت شمال شرقی، داکینگ، چین

۳- موسسه علوم زمین، دانشگاه کیل، کیل، آلمان

۴- گروه زمین‌شناسی، دانشکده علوم، دانشگاه فردوسی مشهد، ایران

۵- پردیس پژوهش و توسعه صنایع بالادستی نفت، پژوهشگاه صنعت نفت، تهران، ایران

۶- مدیریت اکتشاف شرکت ملی نفت ایران، تهران، ایران

۷- گروه علوم زمین، دانشکده علوم طبیعی، دانشگاه تبریز، ایران

تاریخ دریافت: ۱۴۰۰/۱۲/۲۲ تاریخ پذیرش: ۱۴۰۱/۰۲/۰۲

## چکیده

محاسبه صحیح میزان جذب سطحی مطلق سیال متان درون نانومنافذ مخازن شیل گاز به‌منظور تخمین حجم گاز درجا یکی از کلیدی‌ترین پارامترها است. در مطالعات آزمایشگاهی تنها هم‌دمای جذب سطحی اضافی به‌صورت مستقیم قابل اندازه‌گیری است و برای محاسبه هم‌دمای جذب سطحی مطلق، نیاز به معلوم بودن پارامتر چگالی جذب شده می‌باشد. بدین منظور در اکثر مطالعات با استفاده از مقداری ثابت برای این پارامتر و با به کار بردن مدل جذب لانگمویر، هم‌دمای جذب سطحی مطلق محاسبه می‌شود. در پژوهش حاضر با استفاده از روش شبیه‌سازی مولکولی به مطالعه دقیق‌تر نحوه محاسبه چگالی جذب شده در کانی کلسیت پرداخته شده است. بدین منظور سیال متان درون کانی کلسیت با اندازه منفذ ۴ nm در دماهای ۳۰ °C و ۹۰ °C و فشار تا ۵۰ MPa شبیه‌سازی و به بررسی اثرات دما و فشار در مقدار جذب سطحی و چگالی جذب شده پرداخته شده است. این مطالعه نشان داد که مقدار جذب سطحی، با افزایش فشار و دما، به‌ترتیب افزایش و کاهش می‌یابد. همچنین نتایج حاکی از آن است که استفاده از مدل جذب لانگمویر با چگالی جذب شده ثابت، برای تخمین جذب سطحی مطلق مقادیر کمتری نسبت به مقدار واقعی از خود نشان می‌دهد و با افزایش فشار، این خطا افزایش می‌یابد و استفاده از چگالی جذب شده به‌دست آمده از شبیه‌سازی مولکولی به‌منظور تبدیل هم‌دمای جذب سطحی اضافی به مطلق می‌تواند نتایج قابل قبولی ارائه دهد.

**کلمات کلیدی:** شیل گازی، جذب سطحی، کلسیت، لانگمویر، شبیه‌سازی مولکولی

\*مسئول مکاتبات

s.babaei@email.kntu.ac.ir

آدرس الکترونیکی

شناسه دیجیتال: (DOI:10.22078/PR.2022.4762.3136)



## مقدمه

مرکزی توسط مدیریت اکتشاف شرکت ملی نفت ایران صورت گرفت [۸-۶].

یکی از اصلی‌ترین گام‌ها در اکتشاف و مطالعه مخازن گازی، تخمین حجم گاز درجا<sup>۱</sup> است. در مخازن شیل گازی، سیال می‌تواند به سه صورت (۱) گاز آزاد در درزها، (۲) جذب شده بر روی سطح مواد آلی و غیرآلی، (۳) به صورت حل شده در ماده آلی (کروژن<sup>۲</sup>، آسفالتین)، نفت و آب حضور داشته باشد [۹ و ۱۰]. برخلاف مخازن متعارف [۱۱ و ۱۲]، در مخازن غیرمتعارف وجود اندازه منافذ بسیار ریز و در مقیاس نانو (۵۰-۲ nm) [۱۳ و ۱۴]، باعث می‌شود که ۲۰ تا ۸۵٪ گاز موجود در مخازن گاز شیل به صورت جذب سطحی در مواد آلی و غیرآلی حضور یابد [۱۵]. پیچیدگی‌های مخازن شیل گازی، همچون اندازه منافذ در مقیاس نانو و افزایش برهم‌کنش سیال گازی با دیواره منفذ باعث ایجاد چالش‌های جدی در تخمین حجم گاز درجا می‌شود. همچنین، مخازن شیل گازی متشکل از مواد مختلف، مانند مواد آلی (کروژن)، کانی‌های رسی (مونت موریلونیت، ایلیت، کائولنیت)، کلسیت، کوآرتز و ... است که هر ماده سهم به‌سزایی در ظرفیت جذب گاز دارد [۱۶]. با توجه به تنوع مواد تشکیل‌دهنده شیل در یک مخزن با مخزن‌های دیگر و عدم مطالعات تفصیلی در مخازن شیل گازی ایران، مطالعه دقیق و شناخت رفتار جذب سیال در مواد غالب تشکیل‌دهنده مخزن شیل گازی برای تخمین و محاسبه اولیه ظرفیت حجم گاز درجا ضروری است. نتایج آنالیزهای پراش پرتو ایکس<sup>۷</sup> برای مخازن شیل مارسلوس<sup>۸</sup> و ایگل فورد<sup>۹</sup> به ترتیب حدود ۸۰ و ۴۰٪ کلسیت را نشان می‌دهد [۱۷].

در اکثر جوامع، مصرف سوخت‌های فسیلی همچنان زیاد است و سهم سوخت‌های فسیلی در ترکیب انرژی جهانی بسیار قابل توجه است. طبق گزارش آژانس بین‌المللی انرژی<sup>۱</sup>، قرن حاضر متعلق به عصر طلایی گاز طبیعی است و ما در حال حاضر شاهد رشد چشم‌گیر بازار گاز به عنوان سوخت کلیدی برای تولید انرژی، حمل و نقل و بخش صنعتی در سراسر جهان هستیم. گاز طبیعی پاک‌ترین سوخت فسیلی است. آژانس بین‌المللی انرژی پیش‌بینی می‌کند که رشد سهم گاز طبیعی در انرژی دو برابر سریع‌تر از سایر سوخت‌های فسیلی خواهد بود و تقریباً ۴۰٪ از گاز تولید شده از منابع گازهای غیرمتعارف خواهد بود [۱]. در این راستا، منابع گاز غیرمتعارف، مانند شیل گازی<sup>۲</sup>، متان موجود در لایه‌های زغالی<sup>۳</sup> و هیدرات‌های گاز طبیعی، موضوعات داغ تحقیقاتی در حوزه انرژی و سوخت هستند. رونق شیل گازی در اوایل دهه ۲۰۰۰، یک اتفاق مهم برای صنعت نفت و گاز بوده است. از آن زمان، تحقیق و توسعه شیل گازی نیز با رشد تصاعدی در مقیاس جهانی همراه شده است [۲ و ۳]. به عنوان مثال، مخازن متراکم گازی<sup>۴</sup> و شیل گازی بیش از ۷۵٪ از تولید گاز طبیعی در ایالات متحده را تشکیل می‌دهند و تا سال ۲۰۵۰، این گاز می‌تواند بیش از ۹۰٪ از کل تولید گاز ایالات متحده را تشکیل دهد [۴]. کشور چین در حال حاضر دومین استخراج‌کننده بزرگ شیل گازی پس از ایالات متحده است و همراه با انقلاب شیل گازی در جهان در حال پیشروی است [۵]. شرایط و ویژگی‌های زمین‌شناسی کاملاً متفاوت و منحصربه‌فرد شیل گازی در هر مخزن باعث می‌شود مطالعات دقیق و جامع از جنبه‌های مختلف در هر مخزن انجام گردد. در ایران نیز با توجه به اهمیت مخازن غیرمتعارف، مطالعات اولیه به منظور بررسی و پی‌جویی مقدماتی منابع شیل گازی در حوضه‌های رسوبی زاگرس، کپه داغ و ایران

1. International Energy Agency (IEA)

2. Shale Gas

3. Coalbed Methane

4. Tight Gas

5. Gas In Place (GIP)

6. Kerogen

7. X-ray Diffraction

8. Marcellus

9. Eagle Ford

سطحی مطلق با استفاده از قانون گیبس، نیاز به داشتن چگالی جذب شده سیال است. با توجه به محدوده قرارگیری عمق مخازن شیل (فشار و دمای مخزن)، سیال همواره در حالت فوق بحرانی قرار دارد و محاسبه چگالی جذب شده به صورت مستقیم با کارهای آزمایشگاهی در نانومنافذ غیر ممکن است [۲۵]. در نتیجه در مطالعات آزمایشگاهی معمولاً از دو روش با فرضیات ساده برای محاسبه چگالی جذب شده استفاده می شود [۲۶]: (الف) استفاده از یک مقدار ثابت برابر با چگالی مایع متان ( $423 \text{ kg/m}^3$ )، (ب) مقدار چگالی جذب شده به عنوان یک پارامتر متغیر در نظر گرفته شده و با استفاده از برازش کردن رابطه ۳ با نتایج همدمای جذب سطحی اضافی محاسبه می گردد.

مطالعات آزمایشگاهی برای اندازه گیری جذب سطحی نتایج ارزشمندی ارائه می دهند، اما همان طور که اشاره شد این نتایج دارای محدودیت هایی هستند. یکی از ابزارهایی که می تواند مکمل کارهای آزمایشگاهی در زمینه مطالعه جذب سطحی مخازن شیل گازی باشد استفاده از شبیه سازی های مولکولی [۲۷] می باشد که قادر است برخی از محدودیت های مطالعات آزمایشگاهی را برطرف کند. در این روش، پدیده ها در مقیاس نانو شبیه سازی می شوند و می توان مستقیماً همدمای جذب سطحی مطلق و چگالی جذب شده را محاسبه کرد [۲۶، ۲۸ و ۲۹]. به عنوان مثال، قاسمزاده و همکاران [۲۶] به بررسی نحوه تبدیل همدمای جذب سطحی اضافی به مطلق متان درون گرافن در اندازه منافذ، دما و فشارهای مختلف پرداختند و نشان دادند، نحوه محاسبه چگالی جذب شده تأثیر به سزایی در تخمین مقدار جذب سطحی مطلق دارد. در ادامه قاسمزاده و بابائی [۳۰] و لیو و همکاران [۳۱] به ترتیب به بررسی مدل های جذب در تخمین ظرفیت جذب مطلق متان و اتان پرداختند.

همچنین، وفایی و همکاران [۷] نشان دادند بعضی از نمونه های سازند شیل گازی گرو، می تواند تا ۹۷٪ کلسیت داشته باشد. با توجه به اینکه کلسیت یکی از مؤلفه های غالب مخازن شیل گازی ایران است، شناخت دقیق ساز و کار جذب سطحی سیال در این ماده می تواند در تخمین بهتر ظرفیت حجم گاز درجا در مخازن شیل گازی ایران و ادامه اکتشافات کمک کند. اکثر اندازه گیری های آزمایشگاهی جذب سطحی، تا فشار متوسط (تا ۱۵ MPa) انجام می گیرد و اندازه گیری در فشارهای بالا نیازمند تجهیزات گران قیمت و پیشرفته است [۱۸]. در حالی که محدوده فشار مخازن شیل می تواند تا ۵۰ MPa نیز باشد [۱۹ و ۲۰]. همچنین، مطالعات آزمایشگاهی تنها می توانند جذب سطحی اضافی را به صورت مستقیم محاسبه کنند، در حالی که برای تخمین گاز درجا نیاز به دستیابی به جذب سطحی مطلق است [۱۶ و ۱۸]. در نتیجه از رابطه قانون گیبس [۲۱] (رابطه ۱) و استفاده از مدل های همدمای جذب همچون مدل لانگمویر [۲۲ و ۲۳] (رابطه ۲) اقدام به تخمین جذب سطحی مطلق می شود. جذب سطحی اضافی برابر با مقدار کل سیال درون منفذ منهای چگالی توده سیال در دما و فشار مشابه است در حالی که جذب سطحی مطلق برابر با چگالی لایه جذب شده در سطح جاذب است [۲۴].

$$n_{ex} = n_{ab} \left(1 - \frac{\rho_g}{\rho_{ad}}\right) \quad (1)$$

$$n_{ab} = \frac{n_{max} K_0 P}{1 + K_0 P} \quad (2)$$

که در رابطه ۱،  $n_{ex}$  جذب سطحی اضافی،  $n_{ab}$  جذب سطحی مطلق،  $\rho_g$  چگالی توده گاز و  $\rho_{ad}$  چگالی جذب شده است. در رابطه ۲،  $n_{max}$  حداکثر ظرفیت جذب،  $K_0$  ثابت لانگمویر و  $P$  فشار می باشد. با جایگزین کردن رابطه ۲ در رابطه ۱، رابطه ۳ به دست می آید.

$$n_{ex} = \frac{n_{max} K_0 P}{1 + K_0 P} \left(1 - \frac{\rho_g}{\rho_{ad}}\right) \quad (3)$$

مطابق رابطه ۳، برای محاسبه همدمای جذب

نتایج نشان داد استفاده از حجم جذب شده نتایج بهتری نسبت به استفاده از مدل‌های جذب برای تخمین جذب مطلق ارائه می‌دهد. در نتیجه در این مطالعه با توجه به اهمیت مخازن شیل گازی در ایران با استفاده از روش شبیه‌سازی مولکولی به بررسی مکانیزم جذب سطحی، به‌منظور شناخت بهتر تخمین ظرفیت حجم گاز درجا پرداخته خواهد شد.

روش‌های شبیه‌سازی مولکولی به دو دسته دینامیک مولکولی<sup>۱</sup> و مونت کارلو<sup>۲</sup> تقسیم می‌شوند [۳۲]. تاکنون مطالعات زیادی با استفاده از روش‌های دینامیک مولکولی و مونت کارلو برای جذب سطحی در مخازن شیل گازی انجام شده است. همچنین با توجه به اینکه متان، حدود ۹۴٪ مؤلفه تشکیل‌دهنده گاز شیل است [۳۳]، بیشتر مطالعات انجام شده به بررسی جذب سطحی متان در سنگ‌های مختلف تمرکز داشته‌اند. با این حال، مطالعات بسیار کمی در مورد جذب سطحی متان در کانی کلسیت صورت گرفته است. به‌عنوان مثال، ژانگ و همکاران [۳۴] با استفاده از شبیه‌سازی دینامیک مولکولی و نظریه تابع چگالی<sup>۳</sup> به مطالعه جذب سطحی متان و کربن‌دی‌اکسید در سه نوع پلی‌مورف کلسیم کربنات<sup>۴</sup> (آراگونیت، واتریت و کلسیت) پرداختند. نتایج نشان داد جذب سطحی کربن‌دی‌اکسید نسبت به متان در این کانی‌ها بیشتر است. همچنین، قدرت جذب سطحی متان به‌صورت آراگونیت < واتریت < کلسیت و جذب سطحی کربن‌دی‌اکسید به‌صورت واتریت < آراگونیت < کلسیت است. اسپرا و فرانکو<sup>۵</sup> [۳۵] با استفاده از شبیه‌سازی دینامیک مولکولی و روش نمد<sup>۶</sup> به بررسی تأثیر گرادیان دما در مقدار جذب سطحی سیالات متان، پنتان و ترکیب متان/پنتان در کلسیت پرداختند. در این مطالعه، اندازه منفذ nm ۳/۵ و دما در دیواره‌های کلسیت به‌ترتیب ۴۲۵ K و ۳۲۵ انتخاب شد تا اثر گرادیان دما ارزیابی گردد. آنها نتیجه گرفتند مقدار ظرفیت جذب سطحی، علاوه‌بر فشار و دما به گرادیان دما نیز وابسته

است و گرادیان دما می‌تواند تأثیر به‌سزایی در ظرفیت جذب سطحی بگذارد. راویپتی و همکاران [۳۶]، با استفاده از شبیه‌سازی GCMC<sup>۷</sup> به بررسی تأثیر تزریق کربن‌دی‌اکسید به‌منظور استخراج سیال گازی در کانی کلسیت با اندازه منفذ nm ۳/۹۳۷ پرداختند. در این مطالعه دماهای ۲۷۵، ۲۹۵، ۳۱۵ و ۳۵۰ K و فوگاسیته کربن‌دی‌اکسید تا ۱۰۷ Pa انتخاب شد. در این مطالعه برای بررسی جذب سطحی رقابتی بین سیال‌ها، فوگاسیته سیال پایه به‌عنوان مثال متان ثابت در نظر گرفته شد و سپس با افزایش فوگاسیته کربن‌دی‌اکسید به بررسی مقدار جذب سطحی پرداخته‌اند. بدین منظور جذب سطحی کربن‌دی‌اکسید، کربن‌دی‌اکسید/متان و کربن‌دی‌اکسید/متان/آب در کلسیت مورد مطالعه قرار گرفت. نتایج نشان داد در فوگاسیته متان برابر ۵ MPa و در غیاب کربن‌دی‌اکسید، مقدار جذب سطحی متان کم است که بیانگر عدم تمایل زیاد جذب متان به کلسیت (۱۰۴) دارد. در ادامه با تزریق و افزایش مقدار کربن‌دی‌اکسید، مقدار جذب سطحی متان کاهش پیدا می‌کند که بیانگر قدرت جذب سطحی بیشتر کربن‌دی‌اکسید نسبت به متان است. همچنین، آن‌ها مشاهده کردند که در غیاب کربن‌دی‌اکسید، با توجه به مقدار کم آب در منفذ (۱۰۰ Pa = فوگاسیته آب)، ظرفیت جذب سطحی آب بیشتر از متان می‌باشد. در نتیجه تمایل جذب سطحی آب در کلسیت بیش از کربن‌دی‌اکسید و متان (آب < کربن‌دی‌اکسید < متان) است. مطالعات انجام گرفته در ادبیات فنی، نتایج ارزشمندی ارائه می‌دهند با این حال، در هیچ یک از مطالعات انجام گرفته، به بررسی محاسبه چگالی جذب شده و نحوه محاسبه هم‌دمای جذب سطحی مطلق متان در کانی کلسیت نپرداخته‌اند.

1. Molecular Dynamics (MD)

2. Monte Carlo (MC)

3. Density Function Theory (DFT)

4. CaCO<sub>3</sub> Polymorphs

5. Spera and Franco

6. Non-Equilibrium Molecular Dynamics (NEMD)

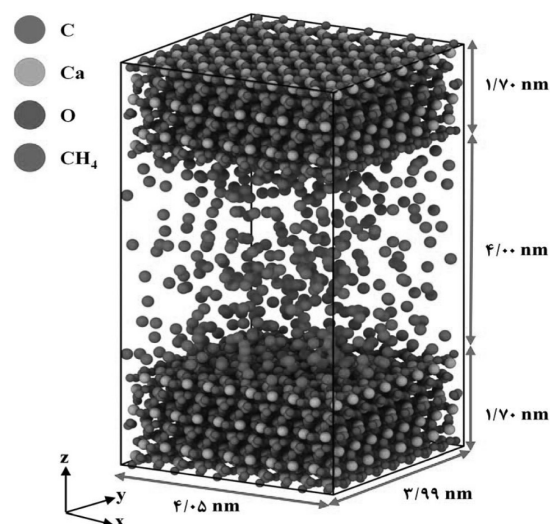
7. Grand Canonical Monte Carlo

نظر شده است. شرایط مرزی متناوب<sup>۱</sup> تنها در جهت x و y در نظر گرفته شده است و در جهت z برای به حداقل رساندن اثرات غیرفیزیکی ناشی از برهم‌کنش بین تصاویر متناوب، از شرایط مرزی متناوب استفاده نشده است [۴۰ و ۴۱]. با توجه به اینکه در میدان نیروی متان، بار الکتریکی صفر است، تنها نیروهای واندروالسی در این شبیه‌سازی در نظر گرفته شده است. بدین منظور، پتانسیل لnard-جونز<sup>۲</sup> (۱۲-۶) با شعاع قطع ۱/۴ nm [۳۸] برای برهم‌کنش ذرات انتخاب شد و از برهم‌کنش‌های بین ذرات بعد از شعاع قطع صرف نظر شده است [۲۶]. همچنین، از قانون اختلاط<sup>۳</sup> لورنتز-برتولت<sup>۴</sup> [۴۲] برای برهم‌کنش اتم‌های مختلف باهم استفاده شده است. در این پژوهش از نرم‌افزار متن باز لمپس<sup>۵</sup> [۴۳] و روش شبیه‌سازی هیبردی GCMC/MD [۲۶] برای مطالعه جذب سطحی استفاده شده است. در شبیه‌سازی GCMC، پتانسیل شیمیایی، حجم و دما در طی شبیه‌سازی ثابت است [۳۲]. برای محاسبه پتانسیل شیمیایی، ابتدا چندین شبیه‌سازی در شرایط توده و بدون حضور کلسیت درون جعبه شبیه‌سازی با ابعاد ۵ nm × ۵ nm × ۵ nm و با شعاع قطع ۱/۴ nm همراه با تصحیح دنباله<sup>۶</sup> [۴۴] برای برهم‌کنش‌های لnard-جونز انجام شده است. در این شبیه‌سازی‌ها، پتانسیل شیمیایی با مقادیر مختلف به‌عنوان پارامتر ورودی لحاظ شده و سپس بعد از به تعادل رسیدن شبیه‌سازی، فشار سیستم اندازه‌گیری شده است. سپس رابطه‌ای بین پتانسیل شیمیایی و فشار نوشته شده و پتانسیل شیمیایی فشارهای مدنظر انتخاب می‌شود [۴۵]. دلیل استفاده از هیبرد دینامیک مولکولی با هنگرد<sup>۷</sup> NVT با GCMC، به‌دلیل به تعادل رسیدن سریع و کنترل بهتر دمای سیستم است [۲۶].

در نتیجه در مطالعه مذکور با شبیه‌سازی مولکولی سیال متان درون کانی کلسیت با اندازه منفذ ۴ nm، به بررسی اثر دما، نحوه محاسبه چگالی جذب شده و صحت‌سنجی مدل هم‌دمای جذب لانگمویر برای محاسبه مقدار جذب سطحی مطلق تا فشار ۵۰ MPa پرداخت خواهد شد.

### شبیه‌سازی مولکولی

در این پژوهش، از کانی کلسیت (۱۰۴)، استفاده شده است که پایدارترین سطح کانی کلسیت می‌باشد [۳۷]. ابعاد جعبه شبیه‌سازی به‌صورت سه بعدی در شکل ۱ نشان داده شده است.



شکل ۱ ابعاد جعبه شبیه‌سازی

در این مطالعه، اندازه منفذ ۴ nm می‌باشد که این فاصله از مرکز به مرکز اتم‌های داخلی منفذ اندازه‌گیری شده است. یکی از اساسی‌ترین و مهم‌ترین بخش‌های شبیه‌سازی انتخاب میدان نیروی مناسب است. در این مطالعه برای سیال متان از میدان نیروی TraPPE-UA [۳۸] و برای کلسیت از میدان نیروی توسعه داده شده توسط ژائو و همکاران [۳۹] استفاده شده است که سازگاری خوبی این میدان‌های نیرو با همدیگر دارند [۳۵ و ۳۷]. برای کاهش هزینه محاسباتی، کلسیت به‌صورت صلب در نظر گرفته شده و از حرکت و ارتعاشات آن صرف

1. Periodic Boundary Condition
2. Lennard\_Jones
3. Mixing Rule
4. Lorentz\_Berthelot
5. LAMMPS
6. Tail Correction
7. Ensemble

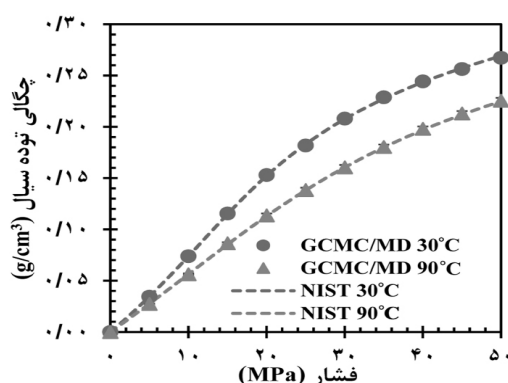
برای دو دمای ۳۰ و ۹۰ °C در فشارهای مختلف به دست آمده از شبیه سازی GCMC/MD رسم شده است. در هر دو دما، در هر سمت دیواره و نزدیکی کلسیت دو پیک مشاهده می شود که بیانگر تشکیل دو لایه جذب شده در هر سطح دیواره می باشد. با توجه به اینکه با دور شدن از سطح کلسیت، مقدار برهم کنش سیال با دیواره کاهش می یابد، مقدار پیک لایه دوم کم تر از لایه اول است. همچنین، عرض هر لایه تشکیل شده در شکل ۳، برابر ۰/۳۸ nm است که این مقدار برابر با قطر مولکول متان است [۲۶ و ۴۸]. به علاوه، در مرکز منفذ، مقدار چگالی سیال برابر با مقدار چگالی توده متان، در دما و فشار یکسان است که بیانگر آن است که در مرکز کلسیت، برهم کنش دیواره با سیال ناچیز بوده و دیواره هیچ اثری بر سیال ندارد. در نتیجه در منفذ با اندازه ۴ nm، جذب سطحی و گاز آزاد تشکیل می شود که مطابق یافته های سایر محققین برای سیال متان درون گرافن [۲۶ و ۴۸] و کانی های رسی [۴۹] است. همچنین با مقایسه دما ۳۰ و ۹۰ °C در شکل ۳، مشاهده می شود که با افزایش دما، در یک فشار یکسان مقدار چگالی کاهش می یابد و این امر به خاطر ماهیت جذب سطحی فیزیکی سیال است که خاصیتی گرمازا [۵۰ و ۵۱] است و باعث می شود جذب سیال در دماهای کمتر بیشتر باشد.

در این مطالعه به ازای هر ۱۰۰۰ گام با گام زمانی fs ۱ در هنگرد NVT، یک سیکل GCMC انجام می شود. هر سیکل GCMC، شامل ۵۰۰ حرکت اضافه/حذف ذرات و ۵۰۰ حرکت انتقالی است. لازم به ذکر است در این مطالعه از ترموستات نوزه-هوور<sup>۱</sup> [۴۶] برای کنترل دما استفاده شده است. زمان کل شبیه سازی ۱۰ ns انتخاب شده است که ۵ ns اول، برای به تعادل رسیدن سیستم و ۵ ns آخر برای محاسبه خروجی ها استفاده شده است. در این مطالعه، مبنای به تعادل رسیدن سیستم براساس نمودار انرژی و نوسان تعداد مولکول های متان با زمان می باشد به طوری که بعد از به تعادل رسیدن سیستم، تعداد مولکول های متان حول مقدار متوسطی در نوسان بوده که نشان دهنده تعادل خوب سیستم است [۳۲]. لازم به ذکر است در این پژوهش از الگوریتم متروپلیس<sup>۲</sup> برای شبیه سازی GCMC استفاده شده است. برای صحت سنجی روش شبیه سازی و میدان نیرو، نتایج هم دمای چگالی توده متان در دو دمای ۳۰ و ۹۰ °C با نتایج آزمایشگاهی (NIST)<sup>۳</sup> [۴۷] مقایسه شد. مطابق شکل ۲، نتایج شبیه سازی GCMC/MD، دقت خوبی دارد که بیانگر درستی روند مطالعه و روش انتخابی در این پژوهش است.

## نتایج و بحث

### پروفایل چگالی

در شکل ۳، پروفایل چگالی متان با اندازه منفذ ۴ nm



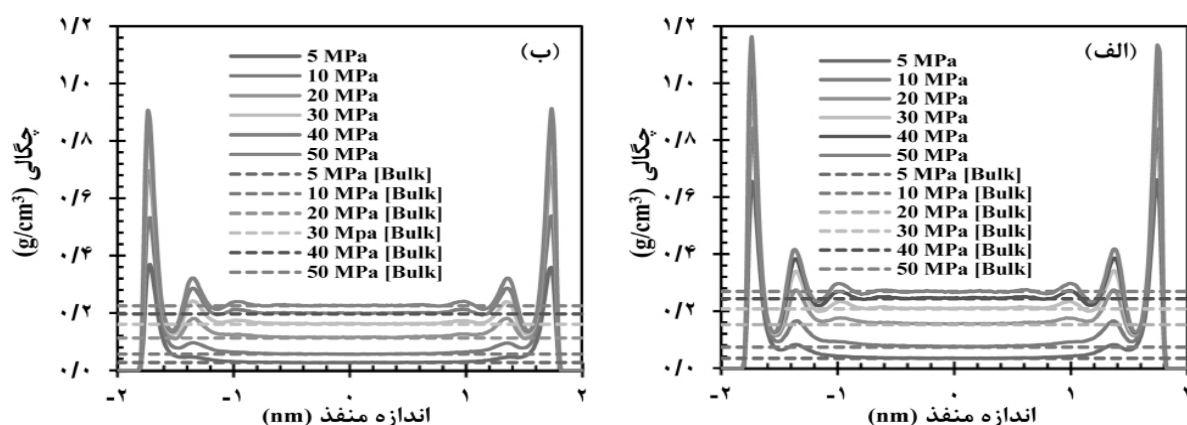
شکل ۲ مقایسه نتایج هم دمای چگالی توده متان به دست آمده از نتایج شبیه سازی مولکولی با نتایج آزمایشگاهی [۴۷]

1. Nosé-Hoover Thermostat

2. Metropolis

3. National Institute of Standards and Technology





شکل ۳ پروفایل چگالی متان در دماهای الف) ۳۰ و ب) ۹۰ °C در اندازه منفذ ۴ nm

چگالی توده سیال در فشار و دمای یکسان بیشتر و همواره کمتر از چگالی مایع متان است. مشابه چگالی جذب شده لایه اول، چگالی جذب شده لایه دوم نیز از چگالی توده سیال در تمامی فشارها بیشتر است. یکی از اصلی ترین فرضیات مدل همدمای جذب لانگمویر بیان می کند که تنها یک لایه جذب شده به صورت همگن در سطح جاذب تشکیل می شود [۲۲ و ۲۳]. درحالی که نتایج ارائه شده در اشکال ۳ و ۴، بیانگر نادرست بودن این فرض در مخازن شیل گازی است و باعث می شود استفاده از مدل لانگمویر برای محاسبه همدمای جذب متان در کلسیت از لحاظ فیزیکی منطبق بر واقعیت نباشد.

#### همدمای جذب سطحی اضافی

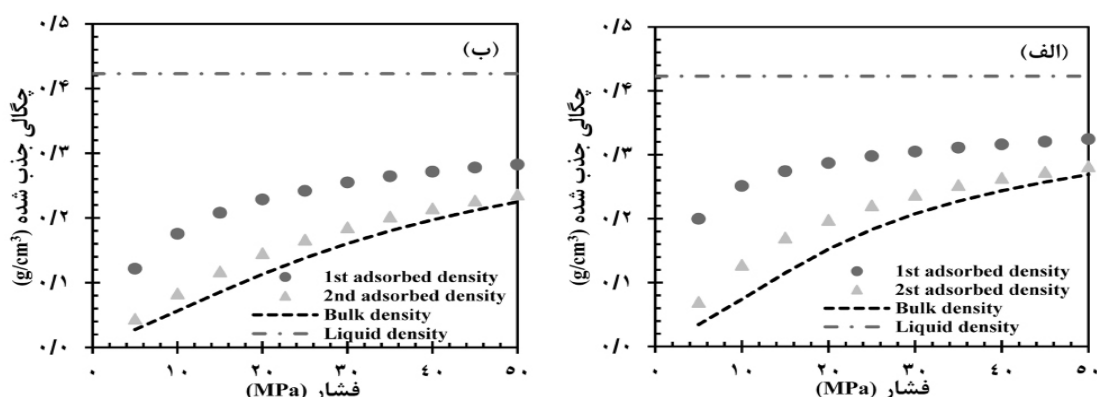
در این بخش، همدمای جذب سطحی اضافی مشابه روش حجمی در آزمایشگاه مطابق رابطه ۴ محاسبه گردیده است [۴۹].

$$n_{ex} = n_t - \rho_g V_{ac} \quad (4)$$

که  $n_t$  مقدار کل ذرات سیال درون منفذ و  $V_{ac}$  حجم قابل دسترس است. در این بخش برای محاسبه حجم قابل دسترس از مولکول متان با قطر ۰/۳۸ nm با استفاده از نرم افزار PoreBlazer v.4 [۵۲] استفاده شده است.

#### چگالی جذب شده متان

همان طور که قبلاً اشاره شد، در اکثر مطالعات جذب سطحی، چگالی جذب شده متان یک مقدار ثابت در نظر گرفته می شود [۶ و ۱۸]. در شکل ۴، چگالی جذب شده متان در لایه اول و دوم با استفاده از پروفایل چگالی متان محاسبه و رسم شده است. چگالی جذب شده در لایه اول، برابر نقطه شروع از عرض مؤثر (عرض مؤثر = حجم قابل دسترس منفذ سطح کلسیت) منفذ تا گودی بین لایه اول و دوم در پروفایل چگالی متان است. همچنین، چگالی جذب شده در لایه دوم لایه دوم برابر با میانگین چگالی بین گودی اول و دوم در پروفایل چگالی متان است. با توجه به نیروهای دافعه بین متان و کلسیت، سیال متان از یک مقدار مشخص بیشتر نمی تواند به کلسیت نزدیک شود و حجم قابل دسترس منفذی که سیال متان درون کلسیت می تواند حضور داشته باشد از حجم کل منفذ کمتر است. طبق شکل ۴، مشاهده می شود با افزایش فشار مقدار چگالی جذب شده افزایش و با کاهش دما، کاهش می یابد. در نتیجه ثابت در نظر گرفتن چگالی جذب شده متان در مخازن شیل گازی برای محاسبه جذب سطحی مطلق فرضی نادرست است. همچنین، چگالی جذب شده لایه اول همواره از



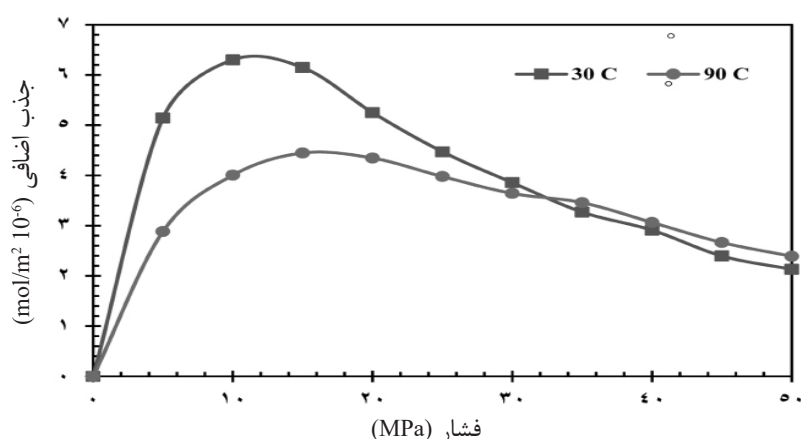
شکل ۴ چگالی جذب شده متان لایه اول و دوم در دماهای الف (۳۰ °C و ب) ۹۰ °C در اندازه منفذ ۴ nm

لازم به ذکر است که برای محاسبه حجم قابل دسترس از سطح کونولی<sup>۱</sup> [۵۳] استفاده شده است. همان‌طور که در شکل ۵، مشاهده می‌شود با افزایش فشار، همدمای جذب سطحی اضافی افزایش و سپس روند نزولی دارد. دلیل این امر به خاطر اختلاف چگالی جذب شده با چگالی توده سیال است. در فشارهای پایین، اختلاف این دو چگالی باهم زیاد است و همین امر باعث می‌شود که روند همدمای جذب سطحی اضافی صعودی باشد، اما با افزایش فشار این اختلاف کاهش یافته و باعث روند نزولی همدمای جذب سطحی اضافی می‌شود. همچنین مشابه بخش قبلی، با افزایش دما همدمای جذب سطحی اضافی کاهش یافته و دما نتیجه منفی در مقدار جذب سطحی اضافی دارد. با این حال، در فشارهای بالا این روند برعکس شده و مقدار همدمای جذب سطحی اضافی در دمای بالاتر، بیشتر می‌شود.

#### همدمای جذب مطلق

یکی از پارامترهای کلیدی برای تخمین گاز درجا محاسبه همدمای جذب سطحی مطلق است. در اکثر مطالعات آزمایشگاهی جذب در مخازن شیل، از مدل جذب لانگمویر [۶، ۱۶، ۱۸ و ۴۸] برای تخمین همدمای جذب مطلق استفاده می‌شود. در این مطالعه، نیز برای ارزیابی دقت مدل لانگمویر برای تخمین مقدار جذب مطلق، نتایج این مدل با نتایج شبیه‌سازی مولکولی مقایسه شده است. برای محاسبه پارامترهای مدل لانگمویر از روش حداقل

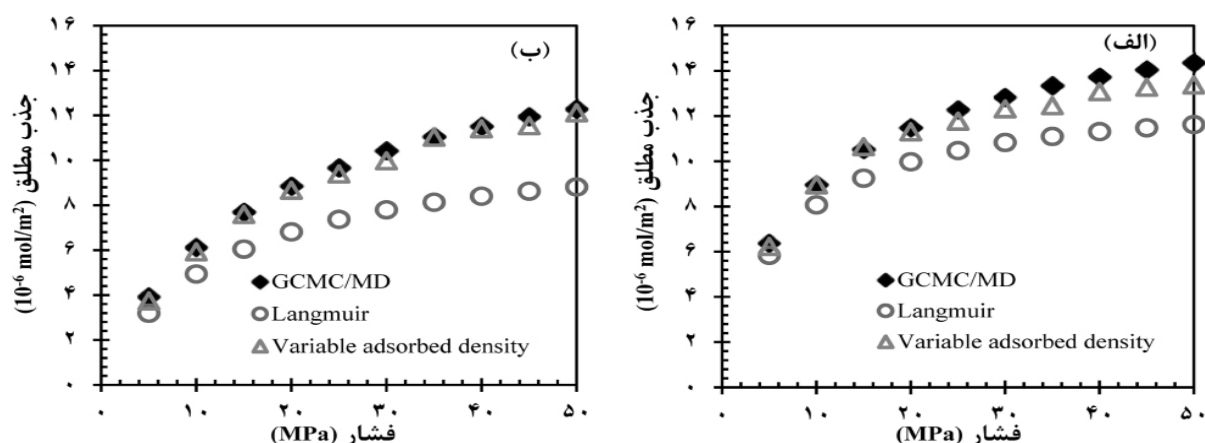
خطای مربعات استفاده شده است. پارامترهای مدل لانگمویر برای دو دمای مختلف در جدول ۱ ارائه شده است که با دقت خوبی با همدمای جذب سطحی به‌دست آمده از شبیه‌سازی مولکولی برازش شده است. همان‌طور که مشاهده می‌گردد در این مطالعه چگالی جذب شده در هر دو دما کمتر از چگالی مایع متان است. با این حال، بعضی از مطالعات پیشین، چگالی جذب شده متان با این روش را بیشتر از چگالی مایع متان ارائه داده است [۶] که بیانگر عدم مفهوم فیزیکی چگالی به‌دست آمده است [۲۶ و ۵۴]. در شکل ۶ نتایج به‌دست آمده از مدل لانگمویر با نتایج شبیه‌سازی برای محاسبه همدمای جذب سطحی مطلق با هم مقایسه شده است. همان‌طور که مشاهده می‌گردد، مدل لانگمویر تخمین کمتری از مقدار جذب مطلق را نشان می‌دهد و با افزایش فشار این اختلاف بیشتر می‌شود به‌طوری‌که در فشار ۵۰ MPa، این اختلاف برای دمای ۳۰ °C و ۹۰ °C به ترتیب ۱۹٪ و ۳۹٪ است. در نتیجه استفاده از مدل لانگمویر، می‌تواند باعث تخمین نادرست از گاز درجا در مخازن شیل گازی باشد. همچنین در شکل ۶ برای مقایسه بیشتر، با استفاده از رابطه ۱ و با در نظر گرفتن چگالی جذب شده به‌صورت متغیر و تابعی از فشار و دما که در شکل ۴ نشان داده شده است از شبیه‌سازی مولکولی همدمای جذب سطحی رسم گردید.



شکل ۵ همدمای جذب اضافی در دماهای ۳۰ و ۹۰ °C در اندازه منفذ ۴ nm

جدول ۱ مشخصات پارامترهای مدل لانگمویر

RSME	R <sup>2</sup>	$\rho_{ad}$ (kg/m <sup>3</sup> )	$K_0$ (MPa <sup>-1</sup> )	$n_{max}$ (10 <sup>-6</sup> mol/m <sup>2</sup> )	دما (°C)
۰/۰۸۹۰	۰/۹۹۶۰	۰/۳۲۹۱	۰/۱۶۲۲	۱۳/۰۵۹۴	۳۰
۰/۰۵۶۵	۰/۹۹۲۸	۰/۳۱۲۱	۰/۰۸۲۱	۱۰/۹۷۰۶	۶۰



شکل ۶ مقایسه نتایج همدمای جذب مطلق به دست آمده از نتایج شبیه سازی مولکولی با مدل جذب لانگمویر در دماهای ۳۰ و ۹۰ °C در اندازه منفذ ۴ nm

دمای ۳۰ و ۹۰ °C و فشار تا ۵۰ MPa پرداخت شده است که مهم ترین نتایج این پژوهش به صورت زیر است:

۱- نتایج بیان گر وابسته بودن چگالی جذب شده به فشار و دما می باشد. بنابراین در نظر گرفتن یک مقدار ثابت برای چگالی جذب شده به منظور تبدیل همدمای جذب سطحی اضافی به مطلق فرضی نادرست است.

نتایج حاکی این است که استفاده از چگالی متغیر که تابعی از فشار، دما و جنس جاذب است، می تواند پیش بینی مناسبی برای تخمین حجم گاز درجا داشته باشد.

### نتیجه گیری

در این پژوهش با استفاده از شبیه سازی مولکولی GCMC/MD، به بررسی جذب سطحی متان درون کانی کلسیت (۱۰۴) با اندازه منفذ ۴ nm، در دو

مطلق پیش‌بینی می‌کند. این اختلاف خطا با افزایش فشار بیشتر شده و برای دمای ۳۰ و ۹۰ °C در فشار ۵۰ MPa این خطا به ترتیب برابر ۱۹ و ۳۹٪ است.

۵- مطابق نتایج پیشنهاد می‌شود از چگالی جذب شده به دست آمده از شبیه‌سازی مولکولی برای تبدیل هم‌دمای جذب سطحی اضافی به مطلق متان درون کلسیت استفاده شود.

### تشکر و قدردانی

از مدیریت اکتشاف شرکت ملی نفت ایران و پژوهشکده بهره‌وری صنعت نفت دانشگاه صنعتی خواجه نصیرالدین طوسی بابت حمایت و همکاری‌های لازم در انجام این مطالعه کمال تشکر و قدردانی را داریم.

۲- فشار و دما به ترتیب تاثیر مستقیم و معکوس در مقدار جذب سطحی دارد و با افزایش دما، مقدار ماکزیمم جذب سطحی اضافی متان به سمت فشارهای بالا میل پیدا می‌کند. با این حال، مقدار جذب سطحی مطلق حتی تا فشار ۵۰ MPa روند صعودی دارد.

۳- نتایج به دست آمده از پروفایل چگالی متان برای اندازه منفذ ۴ nm حاکی از این است که در کانی کلسیت، دو لایه جذب شده در هر سمت دیواره تشکیل می‌شود و فرض یک لایه جذب سطحی شده مدل لانگمویر از نظر فیزیکی و مفهومی برای متان درون کلسیت درست نمی‌باشد.

۴- مدل هم‌دمای جذب لانگمویر، علی‌رغم دقت خوب در برازش شدن با نتایج هم‌دمای جذب سطحی اضافی، مقدار کمتری را برای جذب سطحی

### مراجع

- [1]. Energy Information Administration (2011) WEO Special Report: Are we entering a golden age?. <https://www.iea.org/reports/weo-special-report-are-we-entering-a-golden-age>.
- [2]. Linga P, Chen G, Liang W, Lu Y, Peng S (2021) Virtual Special Issue of Recent Research Advances in China: Unconventional Gas, Energy and Fuels, 35, 13: 10341–10346, doi.org/10.1021/acs.energyfuels.1c01663.
- [۳]. کدخدائی ایلخچی ر، رضایی ر، موسوی حرمی سر، کدخدائی ایلخچی ع (۱۳۹۶) بررسی لایه‌های زغالی درون ماسه‌سنگ‌های گازی میدان ویچرنج واقع در حوضه پرت، استرالیای غربی. پژوهش نفت. ۲۷: ۷۰-۶۰.
- [4]. U.S. Energy Information Administration (EIA) (2022). <https://www.eia.gov/analysis/studies/worldshalegas>.
- [5]. Sun C, Nie H, Dang W, Chen Q, Zhang G, Li W, Lu Z (2021) Shale gas exploration and development in China: current status, geological challenges, and future directions, Energy and Fuels, 35, 8: 6359–6379.
- [6]. Shabani M, Moallemi S A, Krooss B M, Amann-Hildenbrand A, Zamani-Pozveh Z, Ghalavand H, Littke R (2018) Methane sorption and storage characteristics of organic-rich carbonaceous rocks, Lurestan province, southwest Iran, International Journal of Coal Geology, 186: 51–64.
- [7]. Vafaie A, Habibnia B, Moallemi S A (2015) Experimental investigation of the pore structure characteristics of the Garau gas shale formation in the Lurestan Basin, Iran, Journal of Natural Gas Science and Engineering, 27: 432–442, doi.org/10.1016/j.jngse.2015.06.029.
- [8]. Kamali M R, Rezaee M R (2012) Identification and evaluation of unconventional hydrocarbon reserves: examples from Zagros and Central Iran Basins, Journal of Petroleum Science and Technology, 2, 1: 27–36.
- [9]. Etminan S R, Javadpour F, Maini B B, Chen Z (2014) Measurement of gas storage processes in shale and of the molecular diffusion coefficient in kerogen, International Journal of Coal Geology, 123: 10–19, doi.org/10.1016/j.coal.2013.10.007.
- [10]. Rani S, Padmanabhan E, Prusty B K (2019) Review of gas adsorption in shales for enhanced methane recovery and CO<sub>2</sub> storage, Journal of Petroleum Science and Engineering, 175: 634–643, doi.org/10.1016/j.petrol.2018.12.081.
- [11]. Ghoreishian Amiri S A, Sadrnejad S A, Ghasemzadeh H (2017) A hybrid numerical model for multiphase fluid flow in a deformable porous medium, Applied Mathematical Modelling, 45: 881–899, doi.org/10.1016/j.apm.2017.01.042.
- [12]. Ghasemzadeh H, Pasand M S (2019) An elastoplastic multiscale, Multiphysics mixed geomechanical model for oil reservoirs using adaptive mesh refinement methods, International Journal for Multiscale Computational Engineering, 17, 4: 385–409, doi: 10.1615/IntJMultCompEng.2019029774.

- [13]. Hall F E, Chunhe Z, Gasem K A M, Robinson R L, Dan Y (1994) Adsorption of pure methane, nitrogen, and carbon dioxide and their binary mixtures on wet fruitland coal, SPE Eastern Regional Meeting, doi.org/10.2118/29194-MS.
- [14]. Jian X, Liu R, Tang S, Lin W, Zhang Q, Jia L (2017) Pore Characteristics of the Upper Carboniferous Taiyuan Shale in Liaohe Depression. *Journal of Petroleum Science and Technology*, 7, 3: 67–83, doi:10.22078/J PST.2017.803.
- [15]. Curtis J B (2002) Fractured shale-gas systems, *Am Assoc Pet Geol Bull.* 86, 11: 1921–1938.
- [16]. Pang W, Wang Y, Jin Z (2021) Comprehensive review about methane adsorption in shale nanoporous media, *Energy and Fuels*, 35, 10: 8456–8493, doi.org/10.1021/acs.energyfuels.1c00357.
- [17]. Clarkson C R, Solano N, Buřtin R M, Buřtin A M M, Chalmers G R L, He L, Melnichenko Y B, Radliński A P, Blach T P (2013) Pore structure characterization of North American shale gas reservoirs using USANS/SANS, gas adsorption, and mercury intrusion, *Fuel*, 103: 606–616, doi.org/10.1016/j.fuel.2012.06.119.
- [18]. Tang X, Ripepi N, Luxbacher K, Pitcher E (2017) Adsorption Models for Methane in Shales: Review, Comparison, and Application, *Energy and Fuels*, 31, 10: 10787–10801, doi.org/10.1021/acs.energyfuels.7b01948.
- [19]. Yang F, Xie C, Xu S, Ning Z, Krooss B M (2017) Supercritical methane sorption on organic-rich shales over a wide temperature range, *Energy and Fuels*, 31, 12: 13427–13438, doi.org/10.1021/acs.energyfuels.7b02628.
- [20]. Zhao T, Li X, Ning Z, Zhao H, Li M (2018) Molecular simulation of methane adsorption on type II kerogen with the impact of water content, *Journal of Petroleum Science and Engineering*, 161: 302–310, doi.org/10.1016/j.petrol.2017.11.072.
- [21]. Gibbs J W (1878) On the equilibrium of heterogeneous substances, *American Journal of Science*, s3-16(96), 441–458.
- [22]. Swenson H, Stadie N P (2019) Langmuir's theory of adsorption: a centennial review, *Langmuir*, 35, 16: 5409–5426, doi.org/10.1021/acs.langmuir.9b00154.
- [23]. Langmuir I (2002) The Adsorption of gases on plane surfaces of glass, mica ad platinum, *Journal of the American Chemical Society*, 40, 9: 1361–1403, doi.org/10.1021/ja02242a004.
- [24]. Brandani S, Mangano E, Sarkisov L (2016) Net, excess and absolute adsorption and adsorption of helium, *Adsorption*, 22, 2: 261–276.
- [25]. Li J, Chen Z, Wu K, Wang K, Luo J, Feng D, Qu S, Li X (2018) A multi-site model to determine supercritical methane adsorption in energetically heterogeneous shales, *Chemical Engineering Journal*, 349: 438–455, doi.org/10.1016/j.ccej.2018.05.105.
- [26]. Ghasemzadeh H, Babaei S, Tesson S, Azamat J, Ostadhassan M (2021) From excess to absolute adsorption isotherm: The effect of the adsorbed density, *Chemical Engineering Journal*, 425: 131495, doi.org/10.1016/j.ccej.2021.131495.
- [27]. Wang T, Tian S, Li G, Zhang L, Sheng M, Ren W (2021) Molecular simulation of gas adsorption in shale nanopores: A critical review, *Renewable and Sustainable Energy Reviews*, 149: 111391, doi.org/10.1016/j.rser.2021.111391.
- [28]. Pang W, He Y, Yan C, Jin Z (2019) Tackling the challenges in the estimation of methane absolute adsorption in kerogen nanoporous media from molecular and analytical approaches, *Fuel*, 242: 687–698, doi.org/10.1016/j.fuel.2019.01.059.
- [29]. Liu Y, Li H A, Tian Y, Jin Z, Deng H (2018) Determination of the absolute adsorption/desorption isotherms of CH<sub>4</sub> and n-C<sub>4</sub>H<sub>10</sub> on shale from a nano-scale perspective, *Fuel*, 218: 67–77, doi.org/10.1016/j.fuel.2018.01.012.
- [۳۰]. قاسم‌زاده ح، بابائی س (۱۴۰۱) تعیین جذب مطلق هم‌دما در مخازن شیل گازی. نشریه علمی ژئومکانیک

نفت. ۵: ۱۶–۱۸، doi: 10.22107/JPG.2022.336239.1162

- [31]. Liu B, Babaei S, Bai L, Tian S, Ghasemzadeh H, Rashidi M, Ostadhassan M (2022) A dilemma in calculating ethane absolute adsorption in shale gas reservoirs: A theoretical approach, *Chemical Engineering Journal*, 450, P3: 138242, doi.org/10.1016/j.ccej.2022.138242.
- [32]. Alavi S (2020) *Molecular simulations: fundamentals and practice*, Wiley.
- [33]. Kalkreuth W, Holz M, Casagrande J, Cruz R, Oliveira T, Kern M, Levandowski J, Rolim S (2008) The Coal bed Methane (CBM) potential of the Santa Terezinha coal field - 3D modeling and evaluation of exploration well CBM001-ST-RS. *Rev. Bras. Revista Brasileira de Geociencias*, 38, 2: 3–17.
- [34]. Zhang M, Li J, Zhao J, Cui Y, Luo X (2020) Comparison of CH<sub>4</sub> and CO<sub>2</sub> adsorptions onto calcite (10.4), aragonite (011)Ca, and vaterite (010)CO<sub>3</sub> surfaces: An MD and DFT investigation, *ACS Omega*, 5, 20: 11369–11377, doi.org/10.1021/acsomega.0c00345.
- [35]. Spera M B M, Franco L F M (2021) The effect of thermal gradients on adsorption. *Fuel*, 295, 120553, doi.org/10.1016/j.fuel.2021.120553.



- [36]. Ravipati S, Santos M S, Economou I G, Galindo A, Jackson G, Haslam A J (2021) Monte carlo molecular simulation study of carbon dioxide sequestration into dry and wet calcite pores containing methane, *Energy and Fuels*, 14: 11393–11402.
- [37]. Wang S, Feng Q, Javadpour F, Yang Y B (2016) Breakdown of fast mass transport of methane through calcite nanopores, *Journal of Physical Chemistry C*, 120, 26: 14260–14269, doi.org/10.1021/acs.jpcc.6b05511.
- [38]. Martin G M, Siepmann J I (1998) Transferable potentials for phase equilibria. 1. united-atom description of n-alkanes, *The Journal of Physical Chemistry B*, 2569–2577.
- [39]. Xiao S, Edwards S A, Gräter F (2011) A New transferable forcefield for simulating the mechanics of  $\text{CaCO}_3$  Crystals, *Journal of Physical Chemistry C*, 115, 41: 20067–20075, doi.org/10.1021/jp202743v.
- [40]. Ho T A, Striolo A (2015) Water and methane in shale rocks: Flow pattern effects on fluid transport and pore structure, *AIChE Journal*, 61(9), 2993–2999, doi: 10.1007/978-3-319-47003-05.
- [۴۱]. فاضل عبدالآبادی ب، علیزاده مجرد ع ا (۱۳۹۶) مطالعه رفتار جذب و خواص دینامیکی مخلوط هیدروکربن-آب-گاز اسیدی در فضای نانوحفرات کربناته و کائولینیتی با استفاده از روش شبیه‌سازی دینامیک مولکولی. پژوهش نفت، ۲۷: ۸۲-۹۱، pr.2017.2001.1960، doi: 0.22078d/
- [42]. Lorentz H A (1881) Ueber die anwendung des satzes vom virial in der kinetischen theorie der gase, *Annalen Der Physik*, 248, 1: 127–136.
- [43]. Thompson A P, Aktulga H M, Berger R, Bolintineanu D S, Brown W M, Crozier P S, in 't Veld P J, Kohlmeyer A, Moore S G, Nguyen T D, Shan R, Stevens M J, Tranchida J, Trott C, Plimpton S J (2022) LAMMPS - a flexible simulation tool for particle-based materials modeling at the atomic, meso, and continuum scales, *Computer Physics Communications*, 271: 108171, doi.org/10.1016/j.cpc.2021.108171.
- [44]. Jablonka K M, Ongari D, Smit B (2019) Applicability of tail corrections in the molecular simulations of porous materials, *Journal of Chemical Theory and Computation*, 15, 10: 5635–5641, doi.org/10.1021/acs.jctc.9b00586.
- [45]. Huang L, Zhou W, Xu H, Wang L, Zou J, Zhou Q (2021) Dynamic fluid states in organic-inorganic nanocomposite: Implications for shale gas recovery and  $\text{CO}_2$  sequestration, *Chemical Engineering Journal*, 411, 128423, doi.org/10.1016/j.cej.2021.128423.
- [46]. Nosé S (1998) A unified formulation of the constant temperature molecular dynamics methods, *The Journal of Chemical Physics*, 81, 1: 511, doi.org/10.1063/1.447334.
- [47]. NIST Standard Reference Database Number 69, <https://webbook.nist.gov/chemistry>.
- [48]. Pang W, Jin Z (2020) Methane absolute adsorption in kerogen nanoporous media with realistic continuous pore size distributions, *Energy and Fuels*, doi.org/10.1021/acs.energyfuels.0c01886.
- [49]. Tian Y, Yan C, Jin Z (2017) Characterization of methane excess and absolute adsorption in various clay nanopores from molecular simulation, *Scientific Reports*, 7, 1: 1–21, doi.org/10.1021/acs.energyfuels.0c01886.
- [50]. Chen G, Zhang J, Lu S, Pervukhina M, Liu K, Xue Q, Tian H, Tian S, Li J, Clennell M B, Dewhurst D N (2016) Adsorption Behavior of Hydrocarbon on Illite, *Energy and Fuels*, 30, 11: 9114–9121, doi.org/10.1021/acs.energyfuels.6b01777.
- [51]. Wang S, Feng Q, Javadpour F, Hu Q, Wu K (2019) Competitive adsorption of methane and ethane in montmorillonite nanopores of shale at supercritical conditions: A grand canonical Monte Carlo simulation study, *Chemical Engineering Journal*, 355: 76–90, doi.org/10.1016/j.cej.2018.08.067.
- [52]. Sarkisov L, Bueno-Perez R, Sutharson M, Fairen-Jimenez D (2020) Materials informatics with poreblazer v4.0 and the CSD MOF database, *Chemistry of Materials*, 32: 9849–9867, doi.org/10.1021/acs.chemmater.0c03575.
- [53]. Chen G, Lu S, Zhang J, Xue Q, Han T, Xue H, Tian S, Li J, Xu C, Pervukhina M (2017) Keys to linking GCMC simulations and shale gas adsorption experiments, *Fuel*, 199: 14–21, doi.org/10.1016/j.fuel.2017.02.063.
- [54]. Tang X, Ripepi N, Rigby S, Mokaya R, Gilliland E (2019) New perspectives on supercritical methane adsorption in shales and associated thermodynamics, *Journal of Industrial and Engineering Chemistry*, 78: 186–197, doi.org/10.1016/j.jiec.2019.06.015.

# اثر خواص هندسی شکاف بر جریان و حساسیت سنجی دینامیک پارامترهای شکاف در مخازن شکاف‌دار

علی سبحانی اوغاز و محمد امامی نیری\*

مهندسی مخازن هیدروکربنی، انستیتو مهندسی نفت، دانشکده مهندسی شیمی، دانشکده‌گان فنی دانشگاه تهران، ایران

تاریخ دریافت: ۱۴۰۱/۰۵/۲۹ تاریخ پذیرش: ۱۴۰۱/۰۹/۱۳

## چکیده

در این تحقیق به مطالعه جامع پارامترهای هندسی شکاف و حساسیت‌سنجی آنها به وسیله مدل گسسته شکاف و روش المان محدود پرداخته شد. هدف این مقاله آنالیز سه‌بعدی شکاف در مخزن است. ما به دنبال اثرگذارترین پارامترهای شکاف بر رفتار جریانی سیال مخزن هستیم. در این مطالعه با طراحی آزمایشاتی اثرگذاری پارامترهای شکاف بر رفتار جریان سیال مخزن در دو حالت شکاف منفرد و شبکه شکاف بررسی گردید. در این شبیه‌سازی‌ها با ثابت نگه داشتن همه پارامترها به جزء یکی و تغییر گام به گام آن، روند تغییرات جریان سیال با تغییر یک به یک پارامترهای شکاف اندازه‌گیری و آنالیز شد. نتایج بررسی‌ها بازه حساسیت پارامترهای هندسی شکاف را تعیین و جایگاه نسبی هر کدام را از نظر اثرگذاری بر جریان سیال مخزن مشخص کرد. طبق آنالیزها بازه حساسیت شدت شکاف‌دار شدن بین ۶ تا ۳۰ شکاف است. این بازه برای شیب و جهت‌گیری شکاف به ترتیب بین  $0^\circ$  تا  $90^\circ$  و  $0^\circ$  تا  $135^\circ$  درجه است. همچنین بیشترین تغییرات در جریان سیال را در طول شکاف بین ۰/۱۴ m تا ۰/۸۴ m و بازشدگی شکاف بین ۰/۱ mm تا ۰/۰۱ mm مشاهده شد. آنالیز تغییرات تراوایی دینامیک برحسب پارامترهای شکاف نشان داد که بازشدگی شکاف تنها پارامتری است که با کاهش آن نه تنها اثر مثبت شکاف ناچیز می‌شود بلکه شکاف می‌تواند نقش منفی به عنوان مانع را در برابر جریان سیال ایفا کند. آنالیز حساسیت‌سنجی نشان داد که برای یک شکاف بازشدگی و جهت‌گیری مهم‌ترین پارامترها هستند ولی در شبکه شکاف شدت شکاف‌دار شدن و بازشدگی شکاف‌ها اثرگذارترین پارامترها بر جریان سیالات مخزنی هستند.

**کلمات کلیدی:** مخازن شکاف‌دار، آنالیز حساسیت‌سنجی، رفتار جریانی شبکه شکاف در مخازن شکاف‌دار، حساسیت جریان به پارامترهای شکاف در یک محیط شکاف‌دار، تراوایی دینامیک در یک مخزن شکاف‌دار

## مقدمه

است که دارای شکاف (ناپیوستگی‌های صفحه‌ای) است. این شکاف‌ها توسط طبیعت (سازوکارهای طبیعی مثل چین‌خوردگی، گسل، جمع‌شدگی حجم و ...) در سازند ایجاد شده‌اند.

مخزن شکاف‌دار طبیعی، سازند حاوی هیدروکربنی

درصد بالایی از نفت دنیا، به‌ویژه خاورمیانه در مخازن شکاف‌دار واقع شده است [۱]. حجم زیادی از این هیدروکربن‌ها هرگز تولید نمی‌شوند. دلیل این مسئله هم عدم وجود دانش کافی در روش‌شناسی تولید از این گونه مخازن و ناهمگنی بسیار زیاد آنها است [۲]. ریشه این مشکل را می‌توان در عدم شناخت کافی از پارامترهای شکاف به‌صورت منفرد و یا در سیستم شکاف یافت. مدل‌های محیط دوگانه، روش متداول برای شبیه‌سازی سیستم‌های شکاف‌دار هستند و به‌طور گسترده‌ای در صنعت مورد استفاده قرار می‌گیرند [۳]. بارن‌بلات و همکاران [۴] مدل تخلخل دوگانه<sup>۱</sup> را برای جریان تک فازی در مخازن شکاف‌دار معرفی کردند. در این مدل، خمیره سنگ نقش ذخیره‌سازی سیالات مخزنی را بر عهده دارد و سیالات از خمیره به شکاف‌ها و از شکاف‌ها به سمت چاه‌ها جریان دارد. با وجود اینکه در بسیاری از شبیه‌سازیهای مخازن شکاف‌دار از مدل‌های تخلخل و تراوایی دوگانه استفاده می‌شود، حضور همگن شکاف‌ها در سراسر مخزن (بر طبق پیش‌فرض مدل‌های مذکور) توسط مشاهدات و بررسی‌های رخنمون‌ها تأیید نمی‌شود [۵ و ۶].

مدل‌های گسسته شکاف<sup>۲</sup> نوع دیگری از مدل‌ها برای شبیه‌سازی سیستم شکاف‌ها هستند. این مدل‌ها با در نظر گرفتن اثر هر شکاف منفرد بر روی جریان سیال در مخزن، نمایش بهتری نسبت به سایر مدل‌ها ارائه می‌دهند. اکثر این مدل‌ها برای مدل‌سازی بهتر هندسه و مکان شکاف‌ها از شبکه‌بندی بدون شکل استفاده می‌کنند [۳]. درواقع روند استفاده از مدل‌های گسسته برای مخازن شکاف‌دار از زمان ارائه روش المان محدود شروع شده است [۷]. مطالعات فراوانی با استفاده از مفاهیم ذکر شده درباره جنبه‌های مختلف مخازن شکاف‌دار طبیعی، مدل‌سازی و شناسایی خواص آنها صورت گرفته است تا اصلی‌ترین عوامل مؤثر بر جریان در این مخازن و عدم قطعیت مرتبط با آنها را بررسی کند. اولین مطالعات انجام شد و در

آن لانگ و ویترسپون [۸] اثبات کردند که هندسه شکاف‌ها، جریان سیال در مخزن را به شدت تحت تأثیر قرار می‌دهد. می و همکاران با استفاده از شبیه‌سازی عددی مدل گسسته شکاف، تأثیر بازشدگی شکاف را بر روی رفتار جریانی سیال در مخزن مورد بررسی قرار دادند [۹]. لیانگ و همکاران [۱۰] اثر پارامترهای مختلف شکاف را به‌صورت کمی بر روی تراوایی مخزن مورد بررسی قرار دادند. در این مطالعه بر اهمیت پارامترهای جهت‌گیری و طول شکاف تأکید شد و بازه حساسیت بازشدگی شکاف مشخص گردید. نامداری و همکاران [۱۱] تأثیر تراوایی خمیره و چگالی شکاف‌دار شدن را بر روی الگوی جریان در مخزن و تراوایی کلی بررسی کردند. در پژوهش آنها اثر الگوی توزیع چگالی شکاف و باز شدگی شکاف بر روی تراوایی نهایی مخزن مطالعه شد. در مطالعه‌ای که اقلی و همکاران [۱۲] انجام دادند تأثیر پارامترهای شکاف بر تراوایی و تخلخل مخزن را به‌وسیله اطلاعات لاگ و مقاطع نازک بررسی کردند. نتایج حاصل نشان داد که مهم‌ترین پارامتر برای تعیین خواص مخزن به‌ویژه تراوایی، بازشدگی شکاف است. در مطالعه‌ای دیگر گنگ و رسن با ساخت یک مدل دو بعدی از یک مخزن شکاف‌دار و استفاده از توزیع‌های مختلف (توانی، لاگ‌نرمال و وابسته به طول شکاف) برای بازشدگی شکاف به بررسی رفتار جریان سیال در مخزن پرداختند [۱۳]. کاراتالو و همکاران نیز مطالعه دیگری در زمینه آنالیز حساسیت پارامترهای شکاف ترتیب دادند. این پژوهش که با ساخت تعدادی مدل زمین‌شناسی شروع شد و با تغییر پارامترهای شکاف در هر مدل ادامه یافت مؤید مطالعات قبلی درباره تأثیر فراوان بازشدگی شکاف و شدت شکاف دار شدن بود [۱۴]. در مطالعه‌ای که انجام شد کانگ و چن [۱۵] تأثیر خواص زبری سطح شکاف را بر روی رسانایی شکاف مورد بررسی قرار دادند.

1. Dual Porosity Model

2. Discrete Fracture Model

پارامترهای هندسی شکاف در نمودار گردباد آنالیز حساسیت‌سنجی انجام شد و اثرگذارترین پارامترهای شکاف در حالت منفرد و شبکه‌ای شناسایی گردید. با بررسی و تحلیل اثر پارامترهای شکاف به اهمیت برخی پارامترهای هندسی شکاف ازجمله جهت‌گیری شکاف‌ها پرداخته شد که در پژوهش‌های گذشته کمتر مورد توجه بود. این پارامتر که کنترل‌کننده جهت جریان در مخزن است در انتخاب بهینه محل چاه‌ها در مخزن واقعی نقش تعیین‌کننده‌ای دارد.

### روش‌شناسی پژوهش

همان‌طور که ذکر شد مدل‌سازی گسسته شکاف اثر هر شکاف منفرد را به‌طور جداگانه برروی جریان سیال در مخزن در نظر می‌گیرد و بدین ترتیب نسبت به سایر روش‌های مدل‌سازی مخازن شکافدار مدل دقیق‌تری از مخزن شکافدار ارائه می‌کند.

### توصیف مدل

در این مطالعه، با ساخت دو مدل گسسته از یک تک شکاف و یک شبکه شکاف با توزیع نسبتاً تصادفی، سعی در مطالعه و بررسی دقیق‌تری از خواص شکاف گردیده است. بدین منظور یک مدل مخزن سنتزی مکعبی با اندازه یال  $1\text{ m}$  که  $2$  چاه در دو طرف قطر وجه بالایی مکعب، با شعاع  $m$   $0.1$  و به ضخامت  $1\text{ m}$  حفر شده است، تولید گردید. فشار اولیه مخزن برابر  $1\text{ bar}$  است و شرایط مرزی بدین صورت است که یک چاه تولیدی با فشار  $0.5\text{ bar}$  و دیگری تزریقی با فشار  $1\text{ bar}$  است و هر دو به‌صورت فشار ثابت در حال فعالیت هستند. سیال مخزن و چاه تزریقی، آب با چگالی  $\text{kg/m}^3$   $1000$  و گرانش  $\text{Pa.s}$   $0.001$  بوده و جریان تک‌فاز برقرار است. سنگ مخزن مشابه مقاله لیانگ [۱۰] دارای تخلخل و تراوایی به‌ترتیب  $30\%$  و  $10\text{ mD}$  است.

این کار به‌وسیله شبیه‌سازی عددی رفتار جریان سیال در داخل شکاف‌ها صورت گرفت. نتایج نشان داد که در مورد شکاف‌ها با سطوح زیر، قانون مکعبی<sup>۱</sup> رسانایی شکاف را بیش از حد برآورد می‌کند. برخی دیگر از پژوهش‌گران با استفاده از نظریه تراوش<sup>۲</sup> به حساسیت‌سنجی پارامترهای شکاف پرداختند. ازجمله این محققین می‌توان به ژانگ و سندرسون و هورکسکنز اشاره کرد [۱۶ و ۱۷]. آن‌ها با استفاده از نظریه تراوش میزان اتصال<sup>۳</sup> و به‌هم پیوستگی سیستم‌های شکاف با خواص هندسی متفاوت را به‌دست آوردند و به حساسیت‌سنجی پارامترهای شکاف پرداختند. در پژوهشی جدیدتر، جعفری و بابادگلی با ترکیب نظریه تراوش و هندسه فرکتالی<sup>۴</sup> برای شکاف‌ها، روشی جدید را برای تخمین تراوایی معادل سیستم شکاف پیشنهاد کردند. نتایج پژوهش آن‌ها نشان داد که طول و شدت شکاف‌ها بیشترین اثرگذاری را بر تراوایی معادل سیستم شکاف دارند [۱۸]. در مطالعات ذکر شده با تمرکز بر پارامترهای شکاف سعی شده بود که اثر هر کدام برروی رفتار دینامیک سیال موجود در مخزن شکافدار بررسی شود. در تحقیقات مذکور دو یا سه پارامتر شکاف انتخاب و تأثیر هر کدام برروی تولید از مخزن مطالعه شده بود. همچنین در اکثر این بررسی‌ها طراحی‌های لازم برای تعیین بازه حساسیت هر پارامتر و سپس انجام آنالیز حساسیت‌سنجی صورت نگرفته بود. در بیشتر این مقالات تأکید لازم بر برخی از پارامترهای شکاف مثل جهت‌گیری شکاف نشده بود و اهمیت این پارامترها پنهان مانده بود. در این پژوهش با مطالعه جامع پارامترهای هندسی شکاف‌ها در حالت منفرد و در سیستم شبکه‌ای دید کاملی از اثر هر کدام از این پارامترها بر رفتار جریانی سیال مخزن به‌دست آمد. با دانستن بازه حساسیت<sup>۵</sup> و اندازه‌گیری اثر پارامترهای هندسی شکاف بر جریان سیال در مخزن ضرایب حساسیت پارامترهای شکاف محاسبه شدند. با مقایسه ضرایب حساسیت

1. Cubic Law

2. Percolation Theory

3. Connectivity

4. Fractal Geometry

5. Sensitivity Interval

بسیار تراوا ایجاد کرده‌اند. نحوه توزیع شکاف‌ها مشابه مطالعه لیانگ [۱۰] می‌باشد. در حالت پایه بازشدگی شکاف‌ها را برابر ۱ mm در نظر گرفته شده است. طول شکاف‌ها با هم برابر و مساوی m ۰/۱۵ است و جهت‌گیری شکاف‌ها به صورت کاملاً تصادفی انتخاب شده است. در ساخت مدل مصنوعی و در نظر گرفتن خواص سنگ و سیال آن عمدتاً از داده‌های مقالاتی استفاده شده است که در گذشته در بحث آنالیز حساسیت‌سنجی شکاف پژوهش کرده‌اند [۱۰]. قراردادی شکاف‌ها در این مخزن نیز به صورت تصادفی انجام شده است به طوری که نقطه میانی هر شکاف روی محور x و زاویه آن با محور x توسط یک تابع تصادفی مشخص شده است. نقطه میانی هر شکاف روی محور y توسط توابع ریاضی  $y=x^{5/0}$  و  $y=x^2$  محاسبه شده است تا بتوان دو دسته شکاف در بین چاه تزریقی و تولیدی داشت. این مسئله بر پیچیدگی مدل سیستم شکاف‌ها افزود و مدل ما را بیش از پیش به مدل واقعی نزدیک کرد.

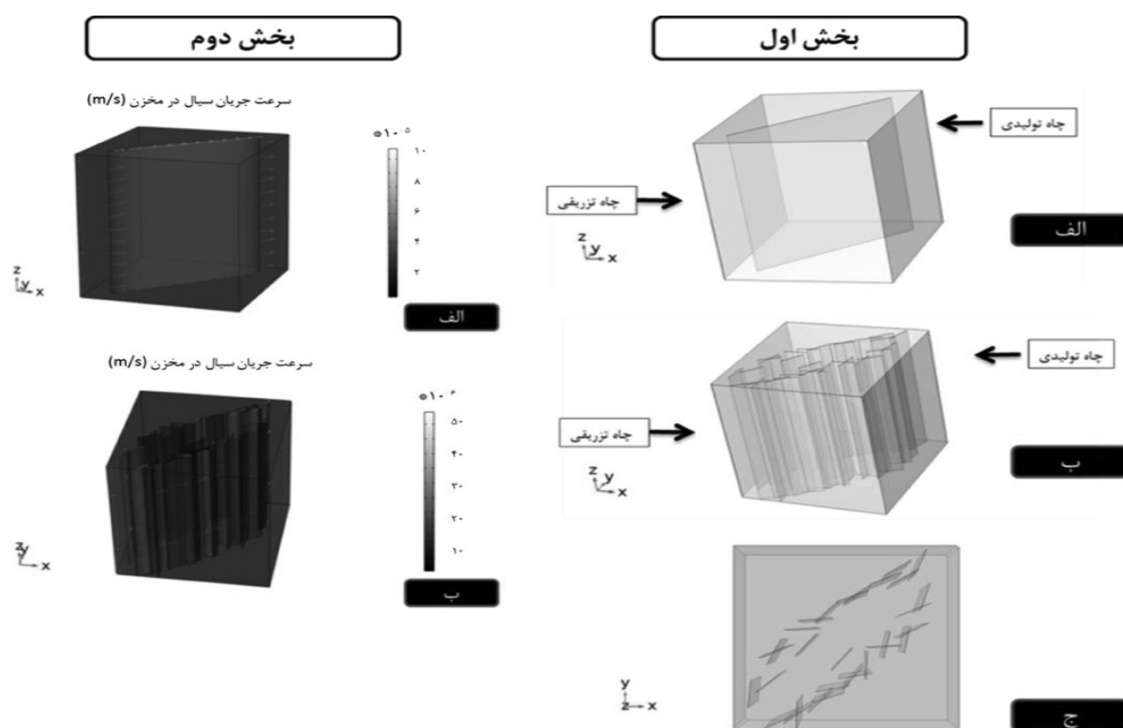
سنگ و سیال هر دو تراکم‌ناپذیرند و جریان سیال در مخزن به صورت جریان دارسی تک‌فازی است.

### مدل تک شکاف

در مدل تک شکاف، مخزن سنتزی با ویژگی‌های مذکور فقط حاوی یک صفحه شکاف مربعی شکل با طول ۱ m است که با فاصله یکسان از چاه‌های تولیدی و تزریقی و موازی قطر وجه بالایی مکعب واقع شده است. بازشدگی این شکاف برابر ۱ mm و شیب آن  $90^\circ$  می‌باشد. ساختار مخزن در مدل تک شکاف را می‌توان در بخش اول **شکل ۱** قسمت الف مشاهده کرد.

### مدل شبکه شکاف

همان‌طور که در بخش اول **شکل ۱** قسمت ب مشاهده می‌شود، در مدل شبکه شکاف، شکاف‌هایی با طول کمتر و تعداد بیشتر از مدل تک شکاف را در بین چاه تزریقی و تولیدی شاهد هستیم. طبق بخش اول **شکل ۱** قسمت ج شکاف‌ها به صورت دو بخش مجزا بین چاه تزریقی و تولیدی قرار گرفته‌اند و دو مسیر تقریباً موازی و نسبتاً



**شکل ۱** بخش اول (ساختار مدل الف) تک شکاف و (ب) شبکه شکاف از گوشه و (ج) از بالا و بخش دوم (مقایسه سرعت سیال در خمیره و شکاف در مدل الف) تک شکاف و (ب) شبکه شکاف



## روابط جریان

جریان سیال در محیط متخلخل یک مخزن معمولی از رابطه دارسی پیروی می کند. رابطه ۱ که نشان دهنده فرمول دارسی برای چاه است تعیین کننده دبی چاه تولیدی با دانستن ضخامت و شعاع چاه و خواص سنگ و سیال مخزن می باشد. با اطلاع داشتن از دبی خروجی چاه و با جایگذاری رابطه ۲ در رابطه ۱، می توان به رابطه ۳ رسید و مقدار تراوایی دینامیک میانگین را محاسبه کرد. در این مقاله از این پارامتر با نام های تراوایی دینامیک و تراوایی میانگین و تراوایی برآیند خمیره و شکاف نیز یاد می شود. طبق رابطه ۳ با ثابت ماندن خواص سیال و سنگ به جزء تراوایی در جریان یکنواخت، می توان به این نتیجه رسید که با افزایش دبی چاه، تراوایی دینامیک میانگین نیز افزایش می یابد. بنابراین اگر با حضور یک شکاف با خواص مشخص در مخزن دبی چاه تولیدی ۲۰٪ افزایش یابد بدین معنی است که برآیند تراوایی دینامیک بین خمیره و شکاف نسبت به خمیره ۲۰٪ بیشتر شده است.

$$Q = \frac{\pi k h (P_{inj} - P_0)}{\mu \ln \left( \frac{r_e}{r_w} \right)} \quad (1)$$

$$Q = \frac{Q_m}{\rho} \quad (2)$$

$$k = \frac{\mu \ln \left( \frac{r_e}{r_w} \right) Q_m}{\rho \pi h (P_{inj} - P_0)} \quad (3)$$

در بخش دوم شکل ۱ افزایش سرعت سیال در درون شکاف ها را نسبت به بقیه نقاط مخزن شاهد هستیم. با توجه به تزریق و تولید مداوم از چاه ها، آن هم با فشار ثابت، ابعاد کوچک مخزن و در نهایت تراکم ناپذیر بودن سنگ و سیال در مدل ما، جریان در مخزن به سرعت به حالت جریان یکنواخت (پایا) تبدیل می شود. در این مطالعه برای مدل سازی و شبیه سازی مدل های تک شکاف و شبکه شکاف از نرم افزار کامسول استفاده شده است. این نرم افزار برای حل روابط جریان در یک سیستم متخلخل

شکاف دار فرمول زیر را گسسته سازی و حل می کند. برای رابطه پیوستگی در خمیره و شکاف به ترتیب داریم:

$$\rho S_p = \frac{\partial p}{\partial t} + \nabla \cdot (\rho u) = Q_m \quad (4)$$

$$d_f = \frac{\partial}{\partial t} (\epsilon_f \rho) + \nabla_T \cdot (d_f \rho u) = d_f Q_m \quad (5)$$

$$k_f = \frac{d_f^2}{12} \quad (6)$$

## طراحی آزمایشات حساسیت سنجی

آزمایشاتی را مطابق جدول ۱ طراحی کردیم تا اثر پارامترهای طول، بازشدگی، جهت گیری و شیب شکاف را برای مدل تک شکاف و پارامترهای مذکور به همراه شدت شکاف خوردگی برای شبکه شکاف را بر دبی چاه تولیدی بررسی کنیم. در طراحی آزمایشات از آنالیز حساسیت سنجی تک عاملی بهره گرفته شد. این طراحی بدین شکل است که در هر مرتبه همه عوامل مؤثر بر نتیجه شبیه سازی به جزء یکی ثابت نگه داشته می شود و سپس با تغییر آن عامل تغییرات خروجی شبیه سازی رصد می شود. در نهایت اثر هر کدام از عوامل بر نتیجه شبیه سازی با هم مقایسه می شوند. با توجه به رابطه ۱، در جریان پایا دبی چاه تولیدی رابطه مستقیم با تراوایی دینامیک میانگین دارد. پس اگر با تغییر یکی از پارامترهای شکاف دبی چاه تولیدی نصف شود به این معناست که تراوایی برآیند خمیره و شکاف ۵۰٪ کاهش یافته است. این مفهوم به وسیله تغییر پارامتر تراوایی در مدل تخلخل یگانه و شبیه سازی آن مورد تأیید قرار گرفته است. فرآیند اعتبارسنجی بدین صورت بود که با مشاهده بهبود ۲۹٪ تولید پس از حضور شکاف در مدل مخزن تک شکاف، در محیط تخلخل یگانه تراوایی را ۲۹٪ افزایش داده و دبی تولیدی مدل را با دبی تولیدی مدل شکاف دار مقایسه کرده و نتیجه یکسانی را شاهد بودیم. از نرم افزار Comsol Multiphysics 6.0 برای انجام شبیه سازی ها استفاده گردید.

جدول ۱ آزمایشات مربوط به مدل تک شکاف\_ شبکه شکاف

عدد	جهت گیری (°)	طول (m)	بازشدگی (mm)	شیب (°)	شدت شکاف	دبی جرمی (kg/s) * ۱۰ <sup>۵</sup>	تراوایی کل (mD)
۱	—	—	—	—	—	۷/۸-۷/۸	۱۰-۱۰
۲	۴۵-۴۵	۰/۱۵-۱	۰/۰۰۱-۰/۰۰۱	۹۰-۹۰	۳۰-۱	۱۱/۰۳۷-۱۱/۲۹	۱۲/۶۹-۱۲/۹۸
۳	۰-۰	۰/۱۵-۱	۰/۰۰۱-۰/۰۰۱	۹۰-۹۰	۳۰-۱	۹/۲۵۱-۹/۰۵	۱۰/۶۳-۱۰/۴۱
۴	۹۰-۹۰	۰/۱۵-۱	۰/۰۰۱-۰/۰۰۱	۹۰-۹۰	۳۰-۱	۹/۲۳۲-۹/۰۷	۱۰/۶۱-۱۰/۴۳
۵	۱۳۵-۱۳۵	۱-۱۵/۰	۰/۰۰۱-۰/۰۰۱	۹۰-۹۰	۳۰-۱	۸/۸۶۴-۸/۷	۱۰/۱۹-۹/۹۸
۶	۴۵-۴۵	۰/۱۴-۰/۰۵	۰/۰۰۱-۰/۰۰۱	۹۰-۹۰	۳۰-۱	۸/۹۸۱-۸/۷۲	۱۰/۳۲-۱۰/۰۳
۷	۴۵-۴۵	۰/۲۸-۰/۱	۰/۰۰۱-۰/۰۰۱	۹۰-۹۰	۳۰-۱	۹/۷۷۸-۸/۸۵	۱۱/۲۴-۱۰/۱۷
۸	۴۵-۴۵	۰/۴۲-۱۵/۰	۰/۰۰۱-۰/۰۰۱	۹۰-۹۰	۳۰-۱	۱۱/۰۳۷-۹/۰۵	۱۲/۶۹-۱۰/۴۰
۹	۴۵-۴۵	۰/۵۶-۰/۲	۰/۰۰۱-۰/۰۰۱	۹۰-۹۰	۳۰-۱	۱۲/۳۴۵-۹/۳۲	۱۴/۱۹-۱۰/۷۱
۱۰	۴۵-۴۵	۲۵/۰-۷/۰	۰/۰۰۱-۰/۰۰۱	۹۰-۹۰	۳۰-۱	۱۳/۴۲۲-۹/۷۱	۱۵/۴۳-۱۱/۱۷
۱۱	۴۵-۴۵	۳/۰-۸۴/۰	۰/۰۰۱-۰/۰۰۱	۹۰-۹۰	۳۰-۱	۱۴/۶۰۱-۱۰/۳۱	۱۶/۷۸-۱۱/۸۵
۱۲	۴۵-۴۵	۰/۱۵-۹۸/۰	۰/۰۰۳-۰/۰۰۱	۹۰-۹۰	۳۰-۱	۱۱/۰۴-۱۱/۱۶	۱۲/۶۹-۱۲/۸۳
۱۳	۴۵-۴۵	۰/۱۵-۱۲/۱	۰/۰۰۱-۰/۰۰۱	۹۰-۹۰	۳۰-۱	۱۱/۰۳۷-۱۲/۷۲	۱۲/۶۹-۱۴/۶۳
۱۴	۴۵-۴۵	۰/۱۵-۲۶/۱	۰/۰۰۰۵-۰/۰۰۱	۹۰-۹۰	۳۰-۱	۱۱/۰۳۶-۱۶/۶۳	۱۲/۶۹-۱۹/۱۳
۱۵	۴۵-۴۵	۰/۱۵-۴/۱	۰/۰۰۰۱-۰/۰۰۱	۹۰-۹۰	۳۰-۱	۱۰/۹۸۳-۶۲/۱۱	۱۲/۶۲-۷۱/۴۲
۱۶	۴۵-۴۵	۰/۱۵-۱	۰/۰۰۰۰۵-۰/۰۰۳	۹۰-۹۰	۳۰-۱	۱۰/۶۸۷-۱۱/۲۹	۱۲/۲۸-۱۲/۹۸
۱۷	۴۵-۴۵	۰/۱۵-۱	۰/۰۰۰۰۱-۰/۰۰۱	۹۰-۹۰	۳۰-۱	۸/۷۷-۱۱/۲۸۵	۱۰/۰۸-۱۲/۹۷۶
۱۸	۴۵-۴۵	۰/۱۵-۱	۰/۰۰۰۰۱-۰/۰۰۰۰۵	۹۰-۹۰	۳۰-۱	۸/۶۳۳-۱۱/۲۸۴	۹/۹۲-۱۲/۹۷۵
۱۹	۴۵-۴۵	۰/۱۵-۱	۰/۰۰۰۰۰۱-۰/۰۰۰۰۱	۹۰-۹۰	۳۰-۱	۸/۶۳۲۸-۱۱/۰۹	۹/۹۲-۱۲/۷۵
۲۰	۴۵-۴۵	۰/۱۵-۱	۰/۰۰۱-۰/۰۰۰۰۵	۹۰-۹۰	۶-۱	۹/۰۸۷-۱۱/۲۸	۱۰/۴۴-۱۱/۸۲
۲۱	۴۵-۴۵	۰/۱۵-۱	۰/۰۰۱-۰/۰۰۰۰۱	۹۰-۹۰	۱۲-۱	۹/۴۳۷-۸/۷۳	۱۰/۸۵-۱۰/۰۴
۲۲	۴۵-۴۵	۰/۱۵-۱	۰/۰۰۱-۰/۰۰۰۰۰۱	۹۰-۹۰	۱۸-۱	۱۰-۸/۷	۱۱/۴۹-۹/۹۹
۲۳	۴۵-۴۵	۰/۱۵-۱	۰/۰۰۱-۰/۰۰۰۰۰۰۱	۹۰-۹۰	۲۴-۱	۱۰/۰۷۹-۸/۷	۱۱/۵۹-۹/۹۹
۲۴	۴۵-۴۵	۰/۱۵-۱	۰/۰۰۱-۰/۰۰۰۱	۹۰-۰	۳۰-۱	۱۱/۰۳۷-۹/۹۹	۱۲/۶۹-۱۱/۴۹
۲۵	۴۵-۴۵	۰/۱۵-۱	۰/۰۰۱-۰/۰۰۰۱	۰-۳۰	۳۰-۱	۹/۴۷۵-۱۰/۱۲	۱۰/۸۹-۱۱/۶۳
۲۶	۴۵-۴۵	۰/۱۵-۱	۰/۰۰۱-۰/۰۰۰۱	۴۵-۳۰	۳۰-۱	۹/۴۹۹-۱۰/۳۲	۱۰/۹۲-۱۱/۸۶
۲۷	۴۵-۴۵	۰/۱۵-۱	۰/۰۰۱-۰/۰۰۰۱	۴۵-۶۰	۳۰-۱	۹/۷۶۳-۱۰/۶۳	۱۱/۲۲-۱۲/۲۲
۲۸	۴۵-۴۵	۰/۱۵-۱	۰/۰۰۱-۰/۰۰۰۱	۶۰-۹۰	۳۰-۱	۱۰/۱۸-۱۱/۲۹	۱۱/۷-۱۲/۹۸
۲۹	۴۵-...	۰/۱۵-...	۰/۰۰۱-...	۹۰-...	۳۰-...	۱۱/۰۳۷-...	۱۲/۶۹-...

## بحث

یک سیستم سه بعدی است. این تحقیق مهم ترین پارامترهای شکاف را بررسی می کند و بازه حساسیت این پارامترها را تشخیص می دهد.

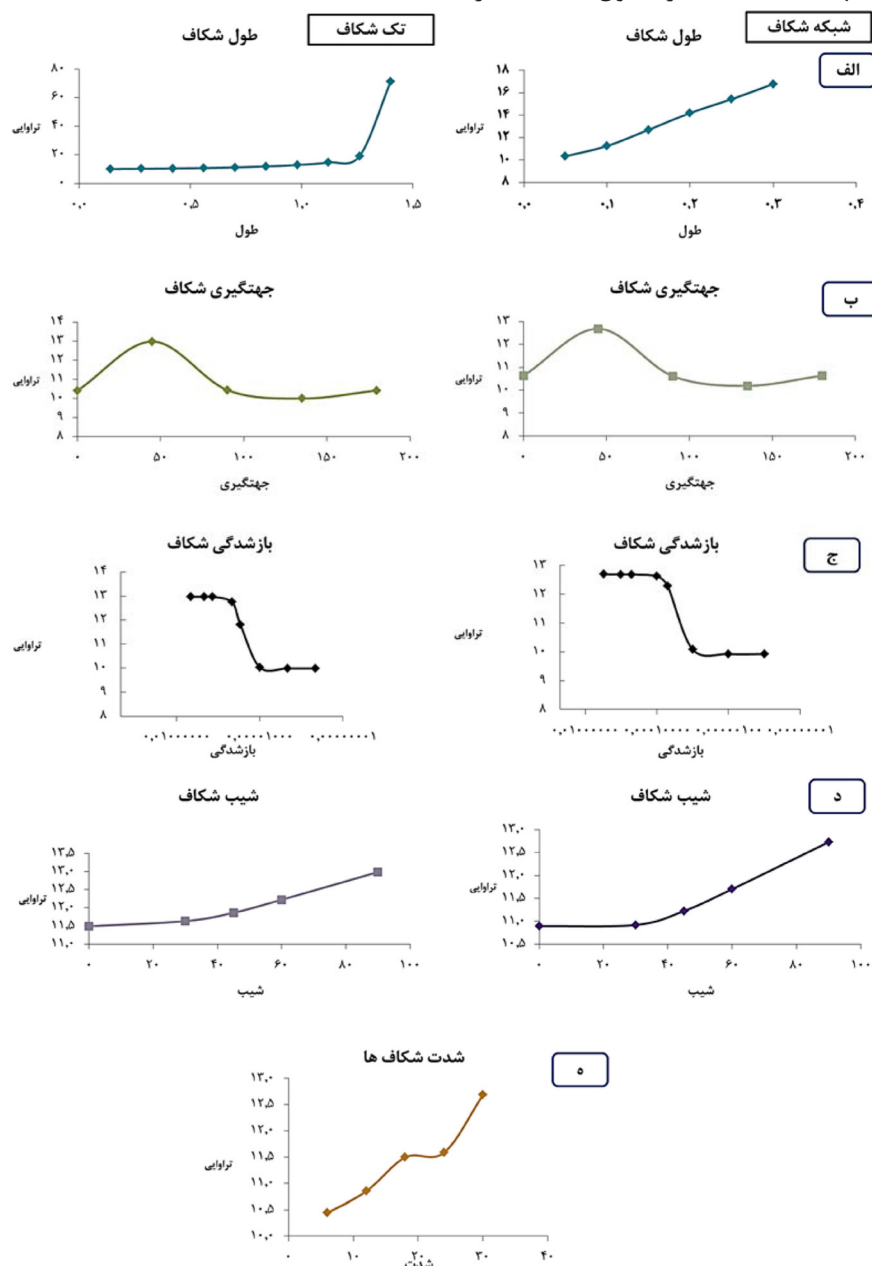
طبق آنچه در بخش های قبل توضیح داده شد هدف ما در این مقاله مطالعه پارامترهای شکاف در

رسانایی کل مخزن طراحی و انجام شده است. در هر مرحله از آزمایش پس از تغییر طول شکاف دبی جرمی چاه تولیدی اندازه‌گیری گردید طبق رابطه ۳ دبی جرمی را به تراوایی میانگین ربط داده و برای هر مرحله تراوایی میانگین محاسبه شد. نتایج تغییرات تراوایی میانگین مخزن با تغییر طول شکاف را برای حالت‌های تک‌شکاف و شبکه‌شکاف در شکل ۲ الف مشاهده می‌کنید.

سپس با دانستن بازه حساسیت این پارامترها و اثر آن‌ها بر روی تراوایی جامع کل مخزن آنالیز حساسیت‌سنجی انجام می‌دهد

### طول شکاف

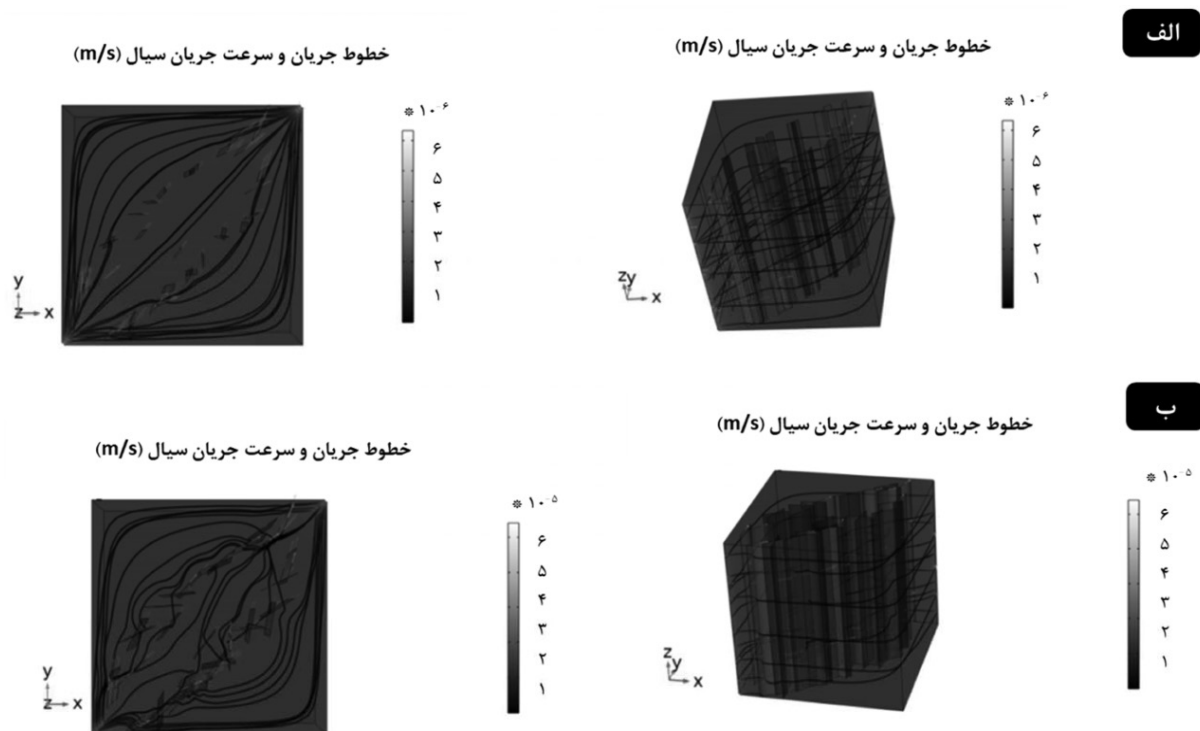
طبق تعریف ارائه شده در [۱۹]، طول شکاف برابر است با مجموع طول کل شکاف‌ها به ازای واحد مساحت دیواره شکاف. طبق جدول ۱، آزمایشات ۶ تا ۱۵ و ۶ تا ۱۱ به ترتیب برای تک‌شکاف و شبکه شکاف‌ها جهت مطالعه اثر طول شکاف بر



شکل ۲ تغییرات تراوایی دینامیک مخزن برحسب (الف) طول و (ب) جهت‌گیری و (ج) بازشدگی و (د) شیب و (ه) شدت شکاف‌دار شدن شکاف‌ها در مدل تک‌شکاف و شبکه شکاف

طول شکاف را در بازه  $0/14$  m تا  $1$  m و یا در حالت مطمئن تر تا حداکثر  $0/84$  m در نظر بگیریم. درمورد شبکه شکافها، بازه‌ی طول شکاف را بین  $0/05$  m تا  $0/30$  m در نظر گرفتیم. طبق انتظار با افزایش طول شکافها طول مسیر ترجیحی برای عبور سیالات افزایش یافته و به تبع آن دبی چاههای تولیدی و تراوایی میانگین مخزن افزایش یافت که در **شکل ۲-الف** مشاهده می‌کنید. در مقادیر بالای طول شکاف به علت افزایش نسبت ابعاد شکافها به ابعاد مخزن و دور شدن از فضای واقعی یک شبکه شکاف در مخزن شکافدار شاهد مقادیر بیش از حد تولید سیال و در نتیجه آنها مقادیر غیرمنطقی تراوایی میانگین مخزنی هستیم. بنابراین با در نظر گرفتن بازه حساسیت بین  $0/05$  m تا  $0/1$  m و یا حتی  $0/15$  m از نتایج منطقی آزمایشات برای حساسیت‌سنجی پارامترهای شکاف استفاده گردید. **شکل ۳** که نقشه سرعت و خطوط جریان را برای این پارامتر در مدل شبکه شکاف نشان می‌دهد توصیفات ما را تأیید می‌کند.

طبق این شکل روند افزایشی است چون با افزایش طول شکاف طول مسیر پرتراوا و ترجیحی برای سیالات مخزن طولانی تر می‌شود. در آزمایشاتی که طول تک‌شکاف بیشتر از  $0/84$  m یا  $1$  m است تراوایی برآیند مخزن به طور ناگهانی افزایش شدیدی می‌یابد. دلیل این رخداد این است که با افزایش طول شکاف به مقادیر بیشتر از مقادیر مذکور، بخش‌های انتهایی شکاف به چاههای تولیدی و تزریقی بسیار نزدیک می‌شود و سیال تزریقی به مخزن با عبور از فاصله بسیار کمی از خمیره به علت جذابیت زیاد مسیر ترجیحی شکاف وارد شکاف شده و با سرعت بسیار زیاد خود را از آن طرف شکاف به چاه تولیدی می‌رساند و بخش بزرگی از جریان سیال از طریق شکاف انجام می‌شود. پس با حذف شدن بخش قابل توجهی از خمیره، از مسیر جریان سیال مخزن برآیند تراوایی مخزن به شدت افزایش می‌یابد. این رخداد باعث می‌شود که نتایج ما در مقادیر طول شکاف بیشتر از  $0/84$  m تا  $1$  m غیرمنطقی باشد و بازه حساسیت



**شکل ۳** نقشه سرعت سیال در مخزن و خطوط جریان برای پارامتر طول شکاف در مدل شبکه شکاف برای اندازه طول شکاف (الف)  $0/05$  m و (ب)  $0/15$  m

## جهت‌گیری شکاف

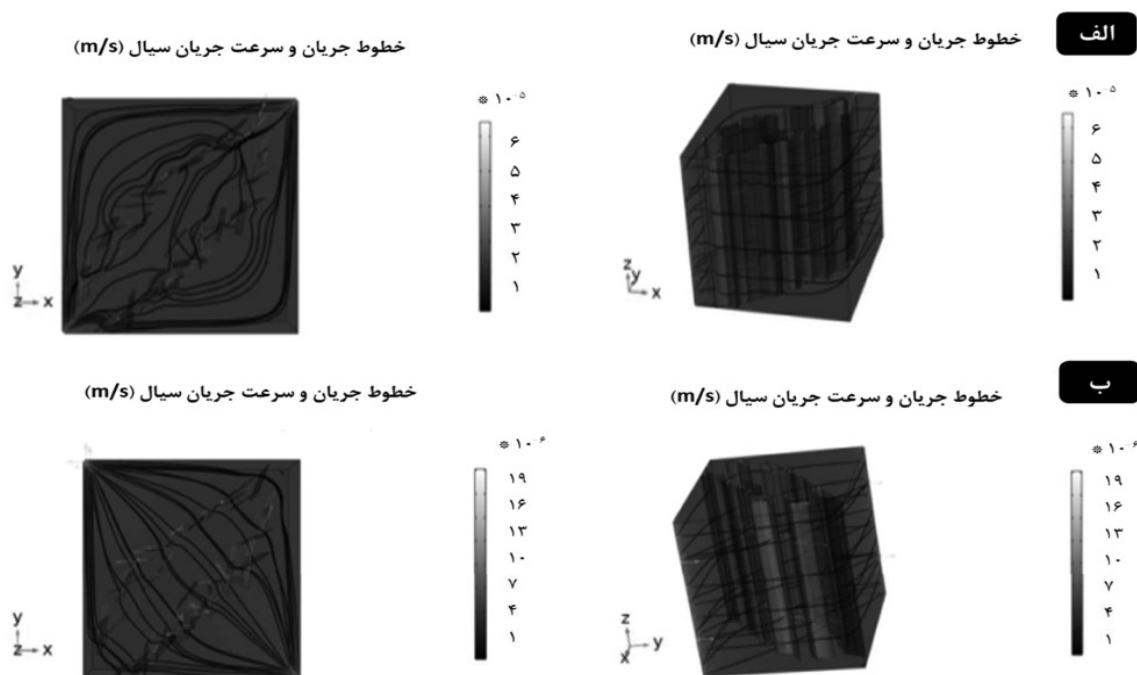
طبق پژوهش‌های صورت‌گرفته در [۲۰] جهت‌گیری شکاف پارامتری است که یک تک شکاف را به محیط اطراف آن وصل می‌کند. بنا بر توضیحات ذکر شده هر شکاف در مدل گسسته شکاف به‌صورت صفحه مشخص می‌شود. برای توصیف صفحه شکاف از دو پارامتر زاویه شیب و آزمون شیب استفاده می‌شود. در این تحقیق از این دو پارامتر با نام‌های شیب شکاف و جهت‌گیری شکاف یاد می‌شود براساس **جدول ۱** آزمایشات ۲ تا ۵ مربوط به تأثیر جهت‌گیری شکاف بر تراوایی میانگین مخزن است. **شکل ۲-ب** به‌ترتیب از چپ به راست تغییرات تراوایی را نسبت به جهت‌گیری تک‌شکاف و شبکه شکاف‌ها نشان می‌دهد. با توجه به این‌که شکاف ایجاد کننده یک مسیر پرتراوا برای جریان سیال هستند هر چقدر که زاویه‌ای بین صفحه شکاف و جهت حرکت سیال مخزن کمتر باشد سیالات بیشتری از داخل آن عبور کرده و شکاف اثر بیشتری در بهبود تراوایی خواهد داشت. هنگامی که صفحه شکاف با صفحه XZ زاویه ۴۵° می‌سازد، جهت‌گیری شکاف موازی صفحه مواصلاتی چاه تزریقی و تولیدی می‌شود. پس جهت‌گیری شکاف منطبق بر جهت حرکت سیال شده و برآیند تراوایی دینامیک مخزن حداکثر می‌شود. با انحراف از زاویه ۴۵° تأثیر شکاف در رساندن سیال از چاه تزریقی و تولیدی کاهش یافته به‌طوری‌که در جهت‌گیری ۱۳۵°، اثر شکاف در بهبود رسانایی در حالت تک شکاف ناچیز و در حالت شبکه شکاف حداقل می‌شود. این نکته درباره اهمیت بالای جهت‌گیری شکاف، نشان از مهم بودن مکان چاه‌ها در مخزن دارد. به‌طوری‌که با قرار دادن چاه‌ها در مکان مناسب می‌توان جریان سیال را به شکلی کنترل کرد که زاویه‌ای کمی با جریان دسته شکاف‌های غالب در مخزن داشته باشد و دبی چاه‌های تولیدی افزایش یابد. با توجه به روند صعودی و سپس نزولی تغییرات تراوایی با

جهت‌گیری شکاف برای اندازه‌گیری بازه حساسیت این پارامتر از اختلاف زاویه جهت‌گیری شکاف با جهت حرکت سیال استفاده شد. به‌طوری‌که وقتی جهت شکاف و جهت سیال موازی هستند اختلاف زاویه جهت‌ها حداقل شده (برابر صفر می‌شود) تراوایی حداکثر می‌شود و وقتی جهت شکاف و حرکت سیال عمود برهم هستند تراوایی حداقل می‌شود. **شکل ۴** که سرعت و خطوط جریان را برای شبکه شکاف در دو حالت حدی جهت‌گیری شکاف (یعنی موازی و عمود بر جهت سیال) نشان می‌دهد حاکی از آن است که در حالت جهت‌گیری شکاف موازی جهت حرکت سیال خطوط جریان بیشتر تحت تأثیر شکاف بوده و سرعت سیال در داخل شکاف بیشتر است.

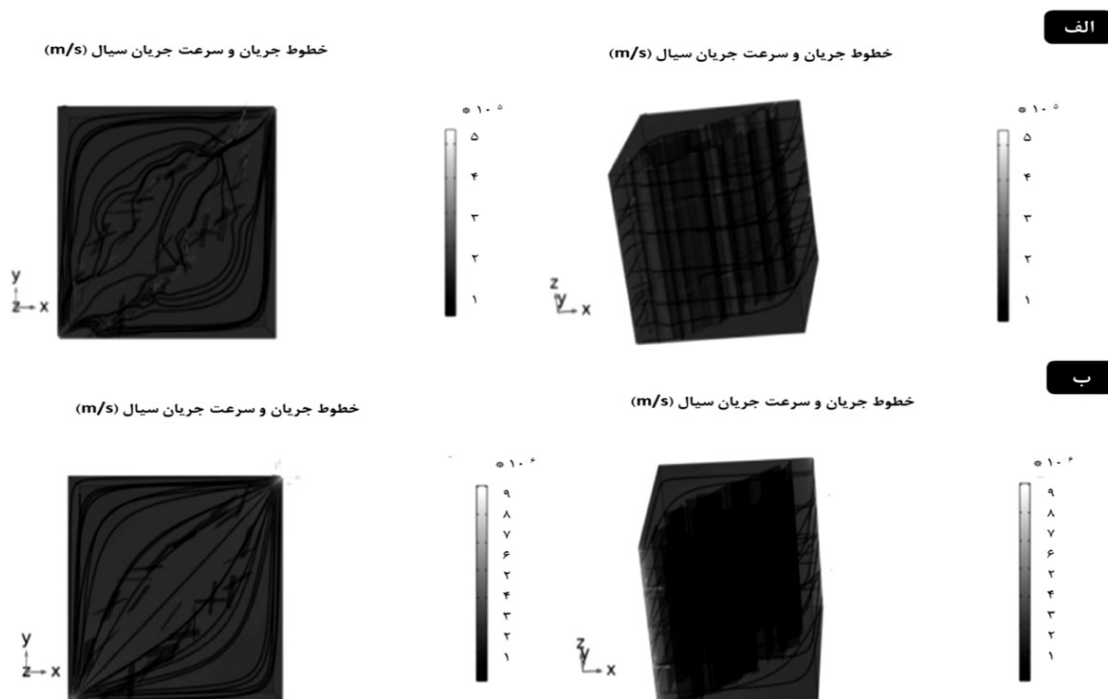
## بازشدگی شکاف

طبق تحقیقات قبلی [۲۰] باز شدگی شکاف به‌عنوان فاصله عمودی بین دیواره‌های شکاف در نظر گرفته می‌شود. براساس **جدول ۱** آزمایشات ۱۶ تا ۲۳ و ۱۲ تا ۱۹ به‌ترتیب مربوط به بررسی اثر باز شدگی شکاف برای حالت‌های تک شکاف و شبکه شکاف می‌باشند. نتایج این آزمایشات در **شکل ۲-ج** نمایان است. طبق رابطه ۶ انتظار داریم که با افزایش باز شدگی شکاف تراوایی شکاف به‌طور قابل‌توجهی افزایش یابد. همان‌طور که در **شکل ۵** می‌بینید با زیاد شدن تراوایی شکاف اثر آن در برآیند تراوایی خمیره و شکاف قابل‌پیش‌بینی است. این افزایش در بازه ۰/۱ mm تا ۰/۱ mm به‌وضوح دیده می‌شود ولی این تغییرات در مقادیر خارج از این بازه ملموس نیست. علت این است که با توجه به ابعاد و شرایط مخزن شدت جریان سیال آن‌قدر زیاد نیست که بتواند در شکاف‌هایی با باز شدگی بیشتر از ۰/۱ mm از کل ظرفیت آن استفاده کند و رسانایی سیال عبوری را نسبت به مقادیر کمتر باز شدگی شکاف به‌طور قابل‌ملاحظه‌ای افزایش دهد.





شکل ۴ نقشه سرعت سیال و خطوط جریان در مدل شبکه شکاف برای حالت‌های جهت‌گیری الف (۴۵° و ب) (۱۳۵°)



شکل ۵ نقشه سرعت سیال و خطوط جریان برای مدل شبکه‌شکاف و بازشدگی‌های الف) ۱ m و ب) ۰/۱ mm

که بتواند سیال را از سراسر مخزن به سمت شکاف جذب کند. شکل ۵ که نشان‌دهنده سرعت سیال و خطوط جریان در مدل‌هایی با مقادیر کم و زیاد باز شدگی شکاف است گواهی بر این مسئله است.

همین‌طور در مقادیر باز شدگی شکاف کمتر از ۰/۰۱ mm اختلاف تراوایی شکاف و خمیره نسبت به شکاف‌های مراحل قبل (که دارای باز شدگی بیشتری بودند) بسیار کمتر است و در حدی نیست

شکاف پرشیب یا کم‌شیب باشد به‌ترتیب روی تراوایی عمودی یا افقی تأثیر بیشتری دارد. اغلب مخازن نفتی مساحت زیادی دارند اما ضخامت آن‌ها نسبت به طول و عرض آنها کوچک‌تر است. پس در یک مخزن واقعی، سیال برای رسیدن به چاه تولیدی باید مسیر افقی بسیار بیشتری را نسبت به مسیر عمودی طی کند. بنابراین وقتی اکثر شکاف‌ها کم‌شیب باشند سیال راحت‌تر حرکت می‌کند. اما در مخزن سنتزی مکعبی ما که طول یال‌های افقی و عمودی آن برابرند این مزیت مطرح نیست. طبق **شکل ۶** با توجه به عمودی بودن چاه‌ها در این مطالعه شکاف‌های عمودی سطح مقطع مشترک بیشتری با چاه دارند و بهتر می‌توانند سیالات را به سمت چاه تولیدی گسیل کنند.

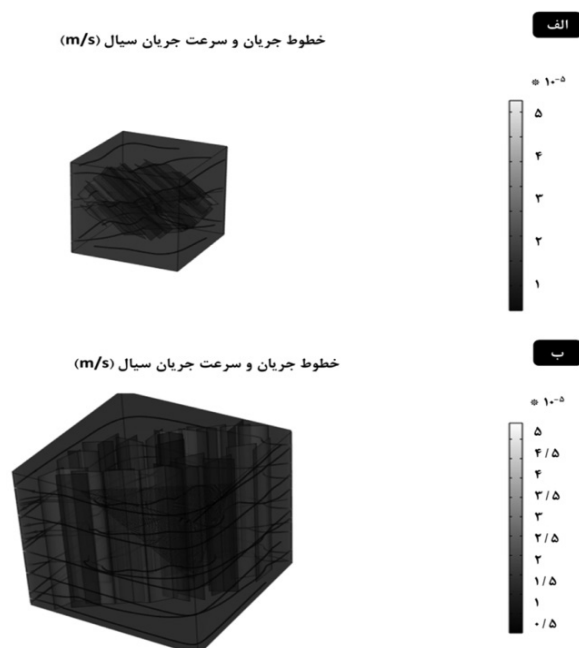
#### شدت شکاف‌دار شدن و تقاطع بین شکاف‌ها

به‌میزان شکاف‌دار شدن یا تعداد شکاف‌ها در جرم مشخص سنگ، شدت یا چگالی شکاف‌دار شدن می‌گویند [۲۱]. با توجه به **شکل ۲-ه**، که آزمایش‌های ۲۰ تا ۲۴ **جدول ۱** برای شبکه شکاف‌ها را نشان می‌دهد.

به همین دلیل تأثیر شکاف در بهبود حرکت سیال قابل توجه نیست. کاهش باز شدگی شکاف در آزمایشات تا جایی ادامه پیدا می‌کند که تراوایی شکاف از تراوایی خمیره اطراف آن کمتر شده و به‌عنوان یک مانع در برابر جریان سیال عمل می‌کند. با توجه به توضیحات مذکور بازه حساسیت باز شدگی شکاف در مدل ساخته شده بین ۰/۰۱ mm تا ۰/۱ mm است.

#### شیب شکاف

طبق تعریف بیان شده در [۲۰] شیب شکاف همان زاویه صفحه شکاف با سطح افق است. در جدول ۱ آزمایشات ۲۴ تا ۲۸ و ۲۵ تا ۲۹ به‌ترتیب برای تک‌شکاف و شبکه شکاف‌ها طراحی شده‌اند. در این آزمایشات شیب شکاف در بازه ۰° تا ۹۰° درجه تغییر می‌کند و به تبع آن تراوایی میانگین مخزن در بازه ۱۱/۴ mD تا ۱۲/۹۷ mD متغیر است. همان‌طوری که در **شکل ۲-د** می‌بینید، با افزایش شیب شکاف دبی جرمی چاه تولیدی و تراوایی دینامیک مخزن افزایش می‌یابد. می‌دانیم شکاف باعث بهبود برآیند تراوایی مخزن می‌شود، حال اگر این



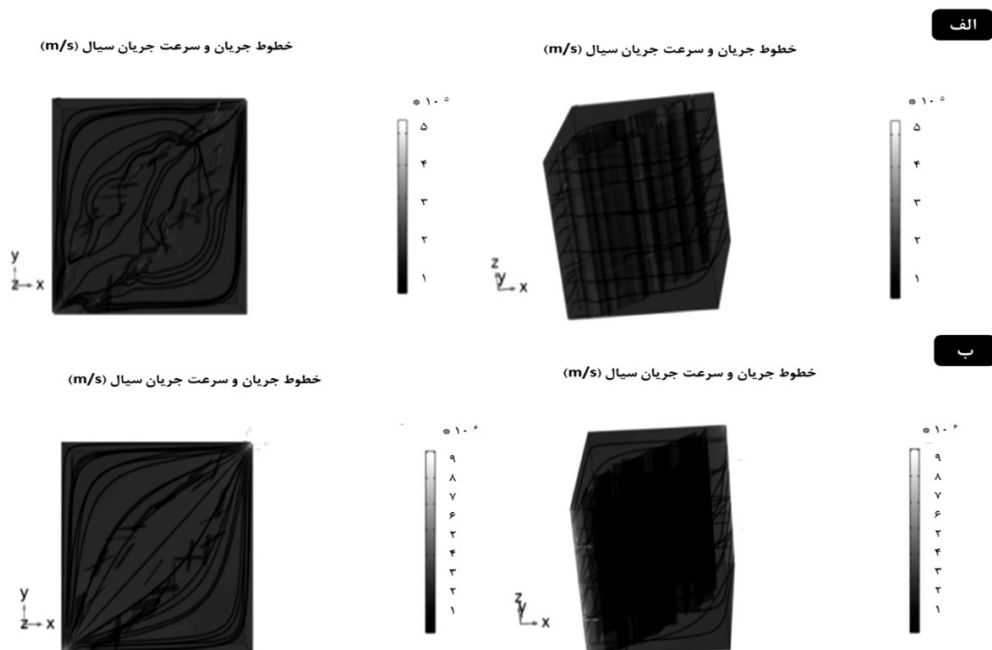
شکل ۶ نقشه سرعت سیال برای مدل شبکه شکاف و شیب‌های الف) ۰° و ب) ۹۰°

دلیل این مسئله را باید در پیوستگی سیستم شبکه شکاف جستجو کرد به گونه ای که هرچه تقاطع بین شکافها بیشتر باشد و مسیر پر تراوایی که شبکه شکاف ایجاد می کند پیوستگی بیشتری داشته باشد اثر شبکه شکاف بر برآیند جریان سیال در مخزن بیشتر می شود. اما اگر ما تعداد زیاد شکاف داشته باشیم ولی تقاطع شکافها کافی نباشد و پیوستگی لازم به این شکافها فراهم نشود مسیر پر تراوایی که تأثیر زیادی بر جریان سیالات داشته باشد به وجود نمی آید. همان طور که در شکل ۸ قابل مشاهده می باشد.

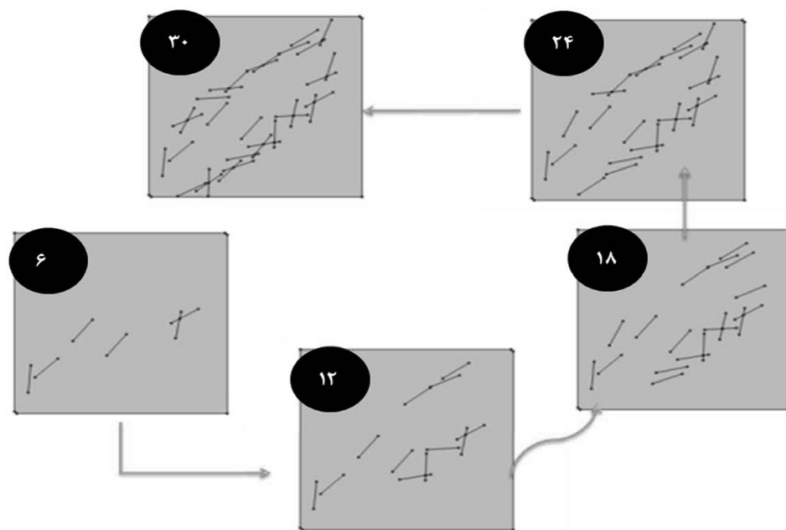
#### آنالیز حساسیت سنجی و نمودار گردباد<sup>۱</sup>

با توجه به آنالیزهای صورت گرفته بر مهم ترین پارامترهای هندسی شکاف و به دست آوردن بازه حساسیت آنها می توان اثرگذارترین پارامترها را یافت. این امر به وسیله آنالیز حساسیت سنجی انجام شده و به شکل نمودار گردباد نمایش داده می شود. در این پژوهش از ضرایب حساسیت سنجی برای مقایسه ای حساسیت تولید از مخزن نسبت به پارامترهای شکاف استفاده شد.

شدت شکاف دار شدن با تراوایی دینامیک مخزن رابطه مستقیم دارد. دلیل این مسئله اینست که با افزایش شدت شکاف دار شدن، تعداد شکافها بیشتر شده و مسیر پر تراوای طولانی تر و پیوسته تری ایجاد می شود. در این تحقیق به دلیل اندازه و مساحت یکسان شکافها، پارامتر تعداد شکاف می تواند نماینده خوبی برای پارامتر شدت شکاف دار شدن باشد. برای جلوگیری از بایس حاصل از تصمیم محقق تغییر پارامتر شدت شکاف دار شدن، به صورت تصادفی انجام شده است. در کمترین و بیشترین حالت تعداد شکافها، تنها ۶ و ۳۰ شکاف در مخزن داریم و تراوایی به ترتیب برابر  $10/8 \text{ mD}$  و  $12/68 \text{ mD}$  است شکل ۷ شاهد افزایش تمرکز خطوط جریان و سرعت سیال در مدل با شدت شکاف دار شدن بیشتر هستیم. آن چه نظر ما را در مورد شکل ۲ جلب می کند این است که در بازه ۶ تا ۱۸ شکاف و همین طور ۲۴ تا ۳۰ شکاف روند صعودی نمودار تراوایی بر حسب شدت شکاف دار شدن بسیار مشهود است اما در بازه ۱۸ تا ۲۴ شکاف ما شاهد روند تیز صعودی نیستیم.



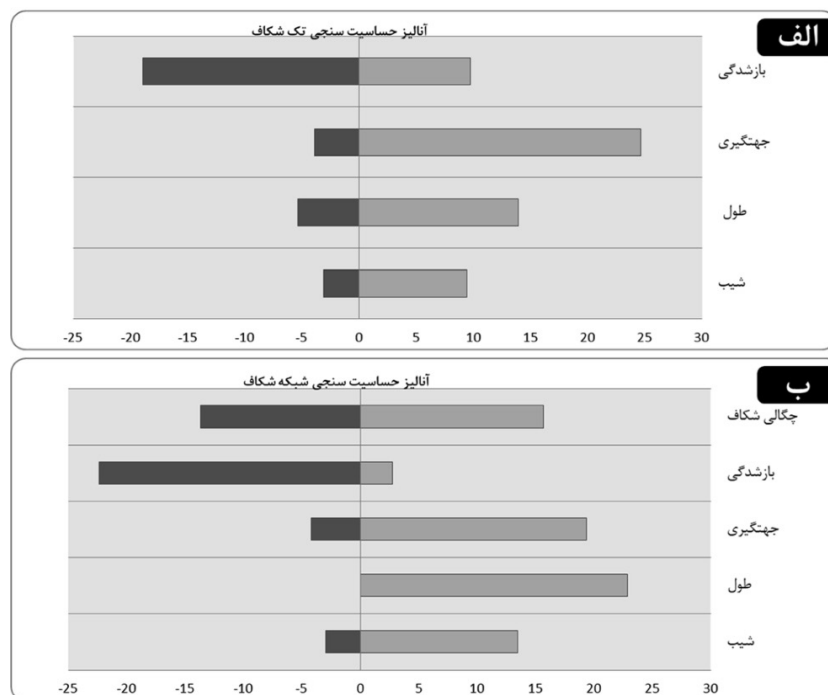
شکل ۷ نقشه سرعت سیال و خطوط جریان برای مدل شبکه شکاف و تعداد شکافهای الف) ۳۰ و ب) ۶۰



شکل ۸ نحوه افزایش پیوستگی با افزایش شدت شکافدار شدن برای مدل گسسته شکاف

ابعاد معادل به ابعاد شکافها اثر آنها بر بهبود جریان به ترتیب کاهش یا افزایش می‌یابد. در مدل ساخته شده دو چاه در دو طرف قطر وجه بالایی مدل مکعبی قرار دارند که بیشترین فاصله‌ی ممکن را از هم دارند و شکافها در بین آن دو قرار دارند. کاهش فاصله چاهها از هم باعث نزدیکی بیشتر آنها به شکافها شده و دبی چاه تولیدی افزایش می‌یابد. در صورت گسترش مدل و افزایش فاصله چاهها، آنها از محدوده شکافدار مخزن دور شده و تولید از مخزن کاهش می‌یابد. در مورد سایر خواص چاهها از جمله جهت آنها، در صورتی که با تغییر این خواص فاصله چاهها از شکافها کاهش یابد تولید افزایش می‌یابد. درباره خمیره، با افزایش خواص مخزنی آن سهم بیشتری در جریان سیال خواهد داشت و در کل باعث تولید بیشتر از مخزن می‌شود. برعکس با کاهش خواص مخزنی خمیره جریان در آن کاهش یافته و نقش و اهمیت شکافها افزایش می‌یابد.

در این روش با بدون بعد کردن پارامتر مورد بررسی و نتایج شبیه‌سازی و سپس تقسیم تغییرات نتایج بر تغییرات پارامترهای شکاف نسبت به حالت پایه ضرایب حساسیت‌سنجی پارامترها محاسبه می‌گردد. با مقایسه ضریب حساسیت‌سنجی پارامترها، اثرگذارترین پارامترها مشخص می‌شوند. طبق شکل ۹ که نمودار گردباد پارامترهای شکاف را برای حالت تک شکاف و شبکه شکاف نشان می‌دهد مهم‌ترین پارامترهای مؤثر بر تراوایی دینامیک یک سیستم تک شکاف بازشدگی و جهت‌گیری شکاف هستند. در مورد شبکه شکافها پارامتر شدت شکافدار شدن هم به مجموعه پارامترهای بسیار مهم شکاف افزوده می‌شود. در مورد سایر خواص تأثیرگذار مخزن می‌توان این چنین گفت که با تغییر اندازه مدل، نسبت ابعاد مدل به ابعاد شکاف تغییر کرده و اثر شکاف بر جریان سیال کاهش یا افزایش می‌یابد به‌طور کلی حضور شکاف باعث بهبود جریان سیال در مدل می‌شود اما با افزایش یا کاهش نسبت



شکل ۹ نمودار گردباد برای پارامترهای مدل الف) تک شکاف و ب) شبکه شکاف

### نتیجه گیری

در این پژوهش مطالعه جامعی بر روی پارامترهای هندسی شکاف انجام شد. بازه حساسیت پارامترهای شکاف تعیین و در این بازه حساسیت عملکرد مخزن نسبت به این پارامترها اندازه گیری گردید. در انتها مهم ترین پارامترهای شکاف در حالت منفرد و در سیستم شبکه شکاف برای مدل مد نظر مشخص شد. مهم ترین نتایج این مطالعه عبارت اند از: طول شکاف: پارامتر طول شکاف نقش مهمی در تأمین طول مسیر ترجیحی شکاف برای سیال دارد. هر چه طول شکاف بیشتر باشد سیالات طول بیشتری از مسیر خود را از طریق شکاف می گذرانند بازه حساسیت طول شکاف برای حالت تک شکاف بین  $0/14 \text{ m}$  تا  $0/84 \text{ m}$  و برای شبکه شکاف بین  $0/05 \text{ m}$  تا  $0/1 \text{ m}$  است. با آنالیز حساسیت سنجی در بازه های مذکور برای پارامتر طول شکاف این پارامتر در بین پارامترهای شکاف منفرد و شبکه شکاف به ترتیب در سومین و چهارمین جایگاه قرار گرفت. جهت گیری شکاف: بازه مورد بررسی برای این

پارامتر بین  $0^\circ$  تا  $135^\circ$  بود. در حالت جهت گیری  $45^\circ$  که جهت گیری شکاف بر جهت گیری جریان سیال منطبق بود عملکرد شکاف حداکثر می شد و در جهت گیری  $135^\circ$  کارایی شکاف حداقل بود. برای آنالیز حساسیت سنجی این پارامتر از اختلاف زاویه جهت گیری شکاف و جهت حرکت سیال استفاده کردیم. این پارامتر از  $0^\circ$  تا  $90^\circ$  متغیر بود. در سیستم های تک شکاف و شبکه شکاف به ترتیب این پارامتر دومین و سومین پارامتر هندسی مهم شکاف برای جریان سیال در مخزن است. باز شدگی شکاف: با توجه به رابطه ۶، این پارامتر اثرگذارترین ویژگی شکاف بر روی تراوایی شکاف است و با توجه به این که تراوایی شکاف مهم ترین اثر آن بر روی مخزن است انتظار می رود که این پارامتر حساس ترین پارامتر شکاف باشد. مشاهدات نشان داد که شدیدترین تأثیر این پارامتر بر تراوایی میانگین مخزن در بازه  $0/01 \text{ mm}$  تا  $0/1 \text{ mm}$  است. شیب شکاف: شیب شکاف تعیین می کند که شکاف تأثیر بیشتری روی تراوایی افقی یا تراوایی عمودی داشته باشد. در مخزن مکعبی مورد مطالعه



پژوهشی قرار داده است کمال تشکر را داریم. همچنین از آقای مهندس حسین حدادپور بابت راهنمایی‌های بی‌دریغش سپاس‌گزاریم.

### علائم و نشانه‌ها

- $d_f$ : بازشدگی شکاف (m)  
 $Q$ : دبی حجمی سیال مخزن در چاه تولیدی ( $m^3/s$ )  
 $\varepsilon_p$ : تخلخل شکاف (%)  
 $Q_m$ : دبی جرمی سیال مخزن در چاه تولیدی ( $kg/s$ )  
 $r_e$ : شعاع بیرونی مخزن (m)  
 $p$ : فشار سیال در مخزن (pa)  
 $h$ : ضخامت چاه در مخزن (m)  
 $r_w$ : شعاع چاه در مخزن (m)  
 $K$ : تراوایی کل/دینامیک مخزن ( $m^2$ )  
 $\rho$ : چگالی سیال مخزن ( $kg/m^3$ )  
 $k_f$ : تراوایی شکاف ( $m^2$ )  
 $S_p$ : تراکم‌پذیری کل ( $pa^{-1}$ )  
 $\mu$ : ویسکوزیته سیال مخزن (pa.s)  
 $t$ : زمان شبیه‌سازی جریان  
 $u$ : سرعت سیال در مخزن  
 $p_{inj}$ : فشار چاه تزریقی (pa)  
 $P_0$ : فشار اولیه مخزن (pa)

که یال‌های عمودی و افقی برابرنند، افقی بودن شکاف مزیتی ندارد درحالی‌که عمودی بودن شکاف باعث افزایش سطح مشترک چاه و شکاف شده و تولید را افزایش می‌دهد. پس از آنالیز حساسیت‌سنجی، این پارامتر در هر دو حالت تک شکاف و شبکه شکاف کم‌اهمیت‌ترین پارامتر تشخیص داده شد.

شدت شکاف‌دار شدن و تقاطع بین شکاف‌ها: هر چه تعداد شکاف‌ها در داخل مخزن بیشتر باشد، شدت شکاف‌دار شدن بیشتر است. البته که با افزایش تعداد شکاف‌ها مسیرهای تراوا در مخزن افزایش یافته و جریان سیال بهبود پیدا می‌کند اما نکته مهم دیگر تقاطع بین شکاف‌ها و پیوسته بودن مسیر ترجیحی ایجاد شده توسط آن‌هاست. در صورتی‌که افزایش تعداد شکاف‌ها موجب افزایش پیوستگی سیستم شکاف نشود تغییر قابل ملاحظه‌ای در رفتار جریانی سیال مخزن مشاهده نخواهد شد. بررسی‌ها نشان داد که این پارامتر اثرگذارترین خاصیت سیستم شکاف است.

### تشکر و قدردانی

از انستیتو مهندسی نفت دانشگاه تهران بابت همکاری‌ها و امکاناتی که در اختیار این گروه

### مراجع

- [1]. Akbari N, Moallemi A, Khoshbakht F (2017) Determination of fractures' properties in an oil field by utilizing estimation methods, Journal of Petroleum Research, 27, 96-1: 16-26.
- [2]. Sobhi G, Alizadeh N, Kiani M, Bashiri G (2007) Investigation and Comparison of Recovery Factors of Water and Gas Injection into One of the Fractured Reservoirs in South of Iran, Journal Petroleum Research (in persian), 17, 56, 94-105.
- [3]. Moinfar A, Varavei A, Sepehrnoori K, Johns R T (2013) Development of a coupled dual continuum and discrete fracture model for the simulation of unconventional reservoirs, in SPE Reservoir Simulation Symposium, 2, 978-994. doi: 10.2118/163647-ms.
- [4]. Barenblatt G I, Zheltov I P, Kochina I N (1960) Basic concepts in the theory of seepage of homogeneous liquids in fissured rocks [strata], Journal of applied mathematics and mechanics, 24, 5, 1286-1303, 1960, doi: 10.1016/0021-8928(60)90107-6.
- [5]. Johns R T, Jalali-Yazdi Y (1989) Comparison of pressure transient response in intensely and sparsely fractured reservoirs, SPE California Regional Meeting, 513-518: 1991, doi: 10.2118/18800-ms.
- [6]. Moinfar A, Narr W, Hui M H, Mallison B, Lee S H (2011) Comparison of discrete-fracture and dual-permeability models for multiphase flow in naturally fractured reservoirs, in SPE Reservoir Simulation Symposium, 2: 1410-1426, doi: 10.2118/142295-ms.
- [7]. Wei S, Kao J, Jin Y, Shi C, Xia Y, Liu S (2021) A discontinuous discrete fracture model for coupled flow and geomechanics based on FEM, Journal of Petroleum Science and Engineering, 204: 1-14, 2021, doi: 10.1016/j.petrol.2021.108677.

- [8]. Long J C S, Witherspoon P A (1985) The relationship of the degree of interconnection to permeability in fracture networks, *Journal of Geophysical Research: Solid Earth*, 90: 3087–3098, 1985.
- [9]. Mi L, Jiang H, Li J, Li T, Tian Y (2014) The investigation of fracture aperture effect on shale gas transport using discrete fracture model, *Journal of Natural Gas Science and Engineering*, 21: 631–635, doi: 10.1016/j.jngse.2014.09.029.
- [10]. Liang B, Jiang H, Li J, Gong C (2016) A systematic study of fracture parameters effect on fracture network permeability based on discrete-fracture model employing Finite Element Analyses, *Journal of Natural Gas Science and Engineering*, 28: 711–722, doi: 10.1016/j.jngse.2015.12.011.
- [11]. Namdari S, Baghbanan A, Habibi M J (2016) Effects of matrix permeability and fracture density on flow pattern in dual porous rock masses, in *ISRM International Symposium - EUROCK*, 549–552. doi: 10.1201/9781315388502-94.
- [12]. Aghli G, Soleimani B, Tabatabai S S, Zahmatkesh I (2017) Calculation of fracture parameters and their effect on porosity and permeability using image logs and petrophysical data in carbonate Asmari reservoir, SW Iran, *Arab. Arabian Journal of Geosciences*, 10, 12: 1–14, doi: 10.1007/s12517-017-3047-4.
- [13]. Gong J, Rossen W R (2017) Modeling flow in naturally fractured reservoirs: effect of fracture aperture distribution on dominant sub-network for flow, *Petroleum Science*, 14, 1: 138–154, doi: 10.1007/s12182-016-0132-3.
- [14]. Karatalov N, Stefaniak A, Vaughan L (2017) DFN modeling aided reservoir characterization, in *Abu Dhabi International Petroleum Exhibition and Conference*, 1–13, doi: 10.2118/188641-ms.
- [15]. Kong B, Chen S (2018) Numerical simulation of fluid flow and sensitivity analysis in rough-wall fractures, *Journal of Petroleum Science and Engineering*, 168, 546–561, doi: 10.1016/j.petrol.2018.04.070.
- [16]. Zhang X, Sanderson D J (2002) Numerical modelling and analysis of fluid flow and deformation of fractured rock masses.
- [17]. Hürxkens C C M J (2011) The sensitivity of the 3D connectivity in a multi-scale fracture network to variations in distribution parameters: a case study from petra, Jordan, [Online], Available: <http://repository.tudelft.nl/view/ir/uuid%3A4c621d54-7484-447a-a46a-3d47e8a5bca3>.
- [18]. Jafari A, Babadagli T (2013) Relationship between percolation-fractal properties and permeability of 2-D fracture networks, *International Journal of Rock Mechanics and Mining Sciences*, 60: 353–362, doi: 10.1016/j.ijrmms.2013.01.007.
- [19]. Ran Q, Wang Y, Sun Y, Yan L, Tong M (2014) Identification and prediction of fractures in volcanic reservoirs, in *volcanic gas reservoir characterization*, Elsevier, 203–271. doi: 10.1016/b978-0-12-417131-2.00006-5.
- [20]. Van Golf-Racht T D (1982) Fracture detection and evaluation,” in *Developments in Petroleum Science*, 12, 51–109. doi: 10.1016/S0376-7361(08)70336-4.
- [21]. Fox A, Forchhammer K, Pettersson A, La Pointe P, Lim D H (2012) Geological discrete fracture network model for the olkiluoto site, Eurajoki, Finland, 31.

# تعیین مشخصات جریان‌های دو فازي نفت- آب توسط شبکه عصبی کانولوشنی جریانی

سید امیر پوریا صادق صمیمی، علی اسفندیاری بیات\* و سید ابوالقاسم امامزاده  
گروه مهندسی نفت، دانشکده نفت و مهندسی شیمی، دانشگاه آزاد اسلامی، واحد علوم و تحقیقات، تهران، ایران

تاریخ دریافت: ۱۴۰۱/۰۵/۳۰ تاریخ پذیرش: ۱۴۰۱/۰۸/۱۷

## چکیده

تا به امروز، مدل‌های مکانیکی و روابط تجربی مختلفی برای توصیف و مدل‌سازی سیستم‌های جریان دو فازي نفت- آب معرفی شده‌اند. اما، در اکثر این مدل‌ها و روابط پیشنهادی از مفروضات ساده با رویکرد حل تکرار شونده استفاده شده، که از دقت کافی جهت تخمین خصوصیات جریانی برخوردار نمی‌باشند. هدف از مطالعه حاضر، غلبه بر این مشکل با کمک توسعه یک شبکه عصبی کانولوشنالی جریانی از طریق یادگیری عمیق می‌باشد. بدین منظور، ۲۷۰ آزمایش جریانی شامل آزمایش‌های جریانی پراکنده آب در نفت، دو گانه پیوسته و پراکنده نفت در آب در دو حالت افقی و شیب دار (۳۰°) انجام گردیده است. شبکه عصبی بر روی ۷۰٪ این داده‌های آزمایشگاهی آموزش داده شد. لازم به توضیح است که از تصاویر الگوی جریانی دو بعدی به عنوان داده‌های ورودی و از الگوهای جریان و مقادیر کسر حجمی پسماند به عنوان داده‌های خروجی استفاده شده است. نتایج حاصل از این مطالعه نمایانگر آن است که مدل شبکه عصبی کانولوشنالی جریانی آموزش داده شده بر روی داده‌های آزمایشگاهی قادر است رژیم‌های جریان را با دقت ۹۱٪ و ۹۶٪ به ترتیب در جریان‌های افقی و شیبدار پیش‌بینی نماید. این مدل همچنین قادر است کسر حجمی پسماند را با یک خطای معقول ۱/۲۲٪ و ۰/۹۸٪ به ترتیب در جریان‌های افقی و شیبدار پیش‌بینی کند. از این‌رو می‌توان گفت که رویکرد پیشنهادی قادر به پیش‌بینی خودکار و دقیق رژیم جریان و کسر حجمی پسماند در جریان‌های افقی و شیبدار از طریق تصاویر جریان است.

**کلمات کلیدی:** جریان دو فازي، الگوی جریان نفت- آب، یادگیری عمیق، شبکه عصبی کانولوشنی جریانی، کسر حجمی پسماند

## مقدمه

جریان‌های دو فاز (یعنی مایع-مایع یا گاز-مایع) یک اتفاق معمول در صنایع نفت و پتروشیمی است. در یک سیستم دو فاز مایع-گاز، اختلاف چگالی و گرانشی فازها بیشتر از یک سیستم مایع-مایع است و بنابراین، رژیم‌های جریان کاملاً متفاوت هستند. بسیاری از مطالعات پیشین بر رفتار جریان دو فاز گاز-مایع متمرکز شده‌اند. به دلیل ماهیت پیچیده تعامل بین نفت و آب، فازها به صورت رقابتی در مسیر جریان می‌یابند و رژیم‌های جریان متفاوتی نسبت به یکدیگر ایجاد می‌کنند. این توزیع هندسی یا ساختار فضایی در داخل مسیر جریان، رژیم جریانی نام دارد [۱-۳]. رژیم جریانی یا الگوی جریان تابعی از خواص سیالات، دبی جریان و همچنین، شعاع و زبری لوله است [۴]. هر رژیم جریانی نشان‌دهنده ویژگی‌های منحصر به فردی است و جریان دو فاز را کنترل می‌کند [۵].

پس از آزمایش‌های تجربی، الگوی جریان (رژیم جریان) و کسرهای حجمی پسماند<sup>۱</sup> به‌عنوان دو عامل حیاتی می‌توانند با رویکردهای سنتی یا جدید (مانند یادگیری ماشین/عمیق) برای توصیف جریان ارزیابی شوند [۵ و ۲]. به رویکردهای سنتی برای تعیین ویژگی‌های جریان در طول دهه‌های گذشته، توجه زیادی شده است [۶-۷]. به طور معمول محققان رژیم‌های جریانی متفاوتی را در طی آزمایش‌های تجربی دریافته‌اند [۸ و ۳]. در این مطالعات تأثیرات طول، قطر، جهت و شیب لوله [۱ و ۸-۱۸]، خواص سیال و حضور عوامل کاهش‌دهنده افت فشار [۱۹-۲۵]، برروی الگوی جریان مورد بررسی قرار گرفته‌اند. در مطالعات فوق‌الذکر، الگوهای جریان مختلفی بر اساس شرایط آزمایشگاهی شناسایی شدند. تلاش‌هایی برای شناسایی کسر حجمی پسماند با رویکردهای سنتی نیز انجام شده است [۱۰ و ۱۴ و ۲۶]. کسر پسماند یک مایع، الگوی جریان را در لایه مرزی

مشوش می‌کند و نقش کلیدی در پیش‌بینی رفتار جریان و الگوی جریانی به ویژه در خطوط لوله افقی و شیب‌دار دارد [۲۷]. با توجه به محدودیت‌های آزمایشگاهی و عدم قطعیت در آزمایش‌های جریان دو فاز، محققان در حال بررسی الگوریتم‌های جدیدی برای توصیف و مدل‌سازی جریان به شیوه‌ای خودکار مانند روش‌های یادگیری ماشینی/عمیق<sup>۲</sup> هستند.

یادگیری عمیق شاخه‌ای از هوش مصنوعی می‌باشد که سعی بر آن دارد تا مسائل را از طریق روشی مشابه مغز انسان و بینایی او پردازش کند. یادگیری عمیق یا به طور کلی یادگیری ماشین کاربرد گسترده‌ای در زمینه‌های مختلفی مانند تشخیص الگو، بینایی ماشین، پردازش تصویر، تجزیه و تحلیل داده‌های حجمی و همچنین تشخیص جریان دو فاز دارد [۲۸-۳۱]. عزت آبادی‌پور و همکاران یک پرسپترون<sup>۳</sup> چندلایه برای استخراج الگوی جریان از خصوصیات و شرایط جریان بر اساس پایگاه داده جمع‌آوری شده پیشنهاد کردند [۳۲]. رئیسی و همکاران یک چارچوب مکانیک جریان پنهان<sup>۴</sup> را برای پیش‌بینی سرعت جریان و توزیع فشار با استفاده از داده‌های الگوی جریان توسعه داده‌اند. مدل آموزش داده شده، معادلات ناویر-استوکس را در یادگیری ماشین، رمزگذاری می‌کند و چالش محققان را در مورد تشخیص الگوی جریانی حل می‌کند [۳۳]. در تحقیقی دیگر، یک روش ماشین‌بردار پشتیبان<sup>۵</sup> برای پیش‌بینی الگوی جریان بدون تجزیه و تحلیل پارامترهای مؤثر ایجاد شده است [۳۴]. کانین و همکاران یک روش یادگیری ماشین جدید بر روی داده‌های آزمایشگاهی برای افزایش دقت روش‌های مکانیکی و مبتنی بر همبستگی پیشنهاد دادند [۳۵]. آنها روش جدیدی را برای محاسبه گرادیان فشار در

1. Holdup Fraction

2. Deep Learning

3. Perceptron

4. Hidden Flow Mechanics

5. Support Vector Machine (SVM)

یک جعبه ابزار پردازش تصویر، از قبل پردازش شده و سپس به یک بسته یادگیری عمیق وارد شده‌اند. مدل عمیق بر روی تصاویر جریان، آموزش داده شده و برای اعتبار سنجی قابلیت و توانمندی الگوریتم مورد آزمایش قرار داده شده است.

### مواد مورد نیاز و روش انجام کار

#### راه‌اندازی آزمایش

یک مجموعه آزمایشی برای ارزیابی جریان دو فازی نفت-آب در یک لوله شیشه‌ای با جنس پلکسی به طول ۱۴ m و قطر داخلی ۳ cm طراحی شد. ابعاد لوله انتخاب شده در محدوده اکثر مطالعات قبلی برای بررسی جریان‌های دوفازی است [۳۷-۳۹]. لوله یک بار به صورت افقی و سپس با زاویه ۳۰° قرار داده شد. راه‌اندازی آزمایش شامل دو واحد پمپاژ و دبی سنج، لوله شیشه‌ای از جنس پلکسی، یک واحد جداکننده، مجموعه‌ای از شیرهای بسته شونده سریع<sup>۲</sup> برای اندازه‌گیری پسماند و یک دوربین با سرعت بالا برای عکاسی از رژیم‌های جریانی است. روش‌های مختلفی برای گرفتن مقدار کسر حجمی پسماند وجود دارد که یکی از دقیق‌ترین آنها، استفاده از شیرهای بسته شونده سریع است [۴۰]. شیرهای بسته شونده سریع، بلافاصله بخش مورد نظر خط لوله را در طول آزمایش جدا می‌کنند. پس از استخراج و جداسازی کسر حجمی هر سیال در یک خط لوله، مقدار کسر حجمی پسماند محاسبه می‌شود. شکل ۱ آرایشی از نحوه آزمایش را نشان می‌دهد. آرایش ارائه شده یک به عنوان نقشه راه در ساخت و بهره‌وری از دستگاه مورد مطالعه می‌باشد. در این مطالعه از آب شیر با دانسیته  $0.995 \text{ g/cm}^3$  و ویسکوزیته  $1.01 \text{ cP}$  در دمای محیط و ویکسوزیته  $0.785 \text{ g/cm}^3$  و ویسکوزیته  $1.68 \text{ cP}$  در دمای محیط به‌عنوان نفت استفاده شد.

هر بخش از مسیر جریان از طریق سه مدل جایگزین بر اساس یادگیری ماشین بر روی داده‌های تجربی ارائه کردند. این مدل‌ها ابتدا کسر پسماند را محاسبه کرده و سپس الگوی جریان و گرادیان فشار را به‌دست می‌آورد. از آنجایی که این پیش‌بینی یک روش تکراری بوده، ماشین آموزش داده شده از تکرار صرف نظر کرده و پارامترها را در هر مرحله تخمین می‌زند. تحقیق دیگری بین مدل جایگزین و یادگیری ماشینی توسط کانین و همکاران انجام گردید [۳۵]. ویژگی‌های سیال و داده‌های سرعت، ورودی‌های مدل توسعه‌یافته و پاسخ افت فشار و کسر پسماند از خروجی‌های مدل مذکور بوده‌اند. گائو و همکاران یک شبکه عصبی کانولوشنی مبتنی بر کانال زمان<sup>۱</sup> را برای تخمین توقف در یک جریان دو فازی ارائه دادند. این الگوریتم یک روش نظارتی بود که داده‌های ورودی را از چهار حسگر رسانایی توزیع شده دریافت می‌کرد [۳۶]. بیشتر مطالعات قبلی اشاره شده بر روی سیستم‌های گاز-مایع متمرکز شده‌اند.

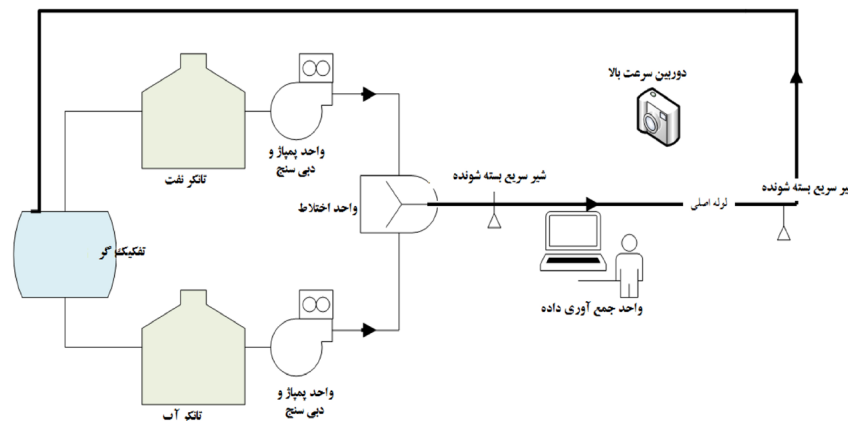
همان‌طور که معمولاً گفته می‌شود، الگوریتم‌های یادگیری عمیق اساساً برای استفاده از تصاویر برای بینایی کامپیوتر، استخراج ویژگی، پردازش بصری/تصویر، و تخمین پارامترها در زمینه‌های مختلف تحقیقاتی توسعه یافته‌اند. تا جایی که ما می‌دانیم، تلاشی‌های مختصر و ناکافی برای استفاده از تصاویر جریان دو فازی در برنامه‌های یادگیری عمیق برای توصیف جریان وجود دارد. مطالعه حاضر قابلیت یک الگوریتم یادگیری عمیق جدید توسعه یافته به نام شبکه عصبی مرسوم جریان<sup>۲</sup> را بر روی یک جریان نفت-آب دو فازی مشخص بررسی می‌کند. برای این هدف، رفتار جریان در یک لوله افقی و شیبدار با زاویه ۳۰° از طریق تصویربرداری از جریان بررسی گردیده است. در بخش آزمایشگاهی، نفت و آب به طور همزمان با سرعت‌های مختلف از ۰/۱ تا ۰/۹ m/s و کسرهای آب ورودی (بین ۱۸ و ۹۸٪) تنظیم شده‌اند. تصاویر گرفته شده از جریان از طریق

1. Multitask-based Temporal-channel-wise Convolutional Neural Network (MTCNN)

2. Flow Conventional Neural Network (FCNN)

3. Fast Closing Valves





شکل ۱ آرایشی تنظیمات آزمایش مورد استفاده در مطالعه حاضر

یافته و تصاویر جریان توسط یک دوربین سریع (دوربین دیجیتال کنون مدل Canon EOS M50) گرفته شده‌اند. سرعت تصویربرداری، سرعت فریم دوربین در عکس‌برداری‌ها برابر با ۳۶۰۰ فریم بر ثانیه می‌باشد.

#### شبکه‌های عصبی کانولوشنی

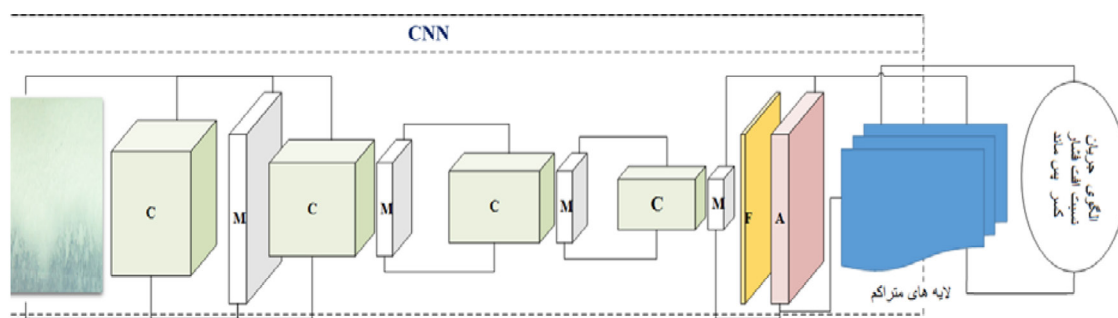
در مطالعه حاضر، یک مدل یادگیری عمیق که قادر به پیش‌بینی رژیم جریان و کسر پسماند مایع بر اساس تحلیل تصویر الگوی جریان ورودی و یادگیری فیزیک زیربنایی است، پیشنهاد شده‌است. مدل پیشنهادی پدیده‌ای فیزیکی را در لایه‌های شبکه تعبیه می‌کند. شبکه عصبی کانولوشنی به عنوان یکی از مشهورترین روش‌های یادگیری عمیق، قادر به تخمین پارامترهای فیزیکی غیرخطی براساس داده ورودی است [۴۱-۴۲]. یک شبکه عصبی کانولوشنی تصاویر ورودی را فیلتر می‌کند، ویژگی‌های سطح بالا را از طریق لایه‌های مختلف شبکه محاسبه می‌کند و به طور مداوم ابعاد تصویر ورودی را به یک کد کاهش می‌دهد تا بتواند مقدار خروجی را اندازه‌گیری کند. سپس خروجی شبکه عصبی از سه لایه نورونی متراکم عبور داده می‌شود تا ماشین قادر به پیش‌بینی ویژگی‌های ذکر شده در قالب نظارتی باشد. یادگیری تحت نظارت وظیفه‌ای است که مستقیماً یک ورودی را به یک خروجی

فازها در دبی‌های مختلف از  $0.1$  تا  $0.9$  m/s و کسرهای آب (بین  $0.18$  و  $0.98$ ) پمپ شده‌اند تا امکان جمع‌آوری یک مجموعه داده جامع فراهم گردد. عملاً ابتدا فاز نفتی جریان می‌یابد و آب به تدریج به خط وارد می‌شود تا به کسر فاز اولیه مطلوب برسد [۶]. کشش سطحی بین آب و کروزن  $17/2$  mN/m اندازه‌گیری شد. علاوه بر این، برای بررسی صحیح الگو، جریان باید کاملاً توسعه یافته و تثبیت شده باشد [۱۰]. مشخصات سرعت جریان کاملاً توسعه یافته، در طول جریان سیال تغییر نمی‌کند، بنابراین الگوی جریان در تمام جهات در مسیر پایدار می‌باشد. به طور کلی، معیاری به عنوان طول ورودی تعریف شده است، که شرایط کاملاً توسعه یافته را تعیین می‌کند. در این شرایط با در نظر داشتن خصوصیات لوله (طول و قطر لوله) و خصوصیات سیال عبوری، مقدار مشخصی از طول اولیه برای جریان عبوری نیاز است تا جریان کاملاً به صورت توسعه یافته باشد. طول ورودی لوله مورد نیاز، بخشی از لوله است که یک سیال پس از ورود به لوله در آن جریان می‌یابد و با شرایط کاملاً توسعه یافته مواجه می‌شود [۳]. در اینجا، توزیع جریان در داخل لوله به صورت بصری بررسی شده و طول لوله ورودی در حدود  $3/6$  m به صورت تجربی اندازه‌گیری گردید. پس از این طول، جریان به طور کامل توسعه

تصویر از چندین لایه عبور داده شده تا الگوی جریانی مورد نظر و کسر پسماند آن را به خروجی برساند. شبکه تحت نظارت طراحی شده به عنوان شبکه عصبی کانولوشنی جریانی<sup>۱</sup> نام‌گذاری می‌شود. شبکه مشخص شده در **شکل ۲** بیانگر لایه‌های اصلی اثرگذار بر روی آنالیزهای تصویر هستند. با عبور از هر لایه، مجموعه‌ای از اقدامات و توابع ریاضیاتی بر روی تصاویر اعمال می‌شوند تا ویژگی‌های تصویری را استخراج نمایند. جزئیات هریک از این لایه‌ها و اندازه تصویری ورودی که خروجی لایه قبلی می‌باشد نیز در **جدول ۱** ارائه شده است.

از طریق فرآیند آموزش، ترسیم می‌کند. در تمامی مطالعات حوزه یادگیری عمیق مشخص شده است که شبکه‌های عصبی کانولوشنی دقت عملکرد بالاتری نسبت به سایر روش‌ها در زمان کمتر یادگیری هستند. علت این مساله را می‌توان در مزیت این شبکه نسبت به سایر روش‌ها به دلیل در اختیار داشتن ابزار کانولوشن بین لایه‌های مختلف آنالیز تصویر دانست.

آرایش ساختار پیشنهادی در **شکل ۲** و در **جدول ۱** به تفصیل توضیح داده شده است. تصویر جریان دوفازی گرفته شده به عنوان ورودی وارد شبکه می‌شود.



**شکل ۲** ساختار طراحی شده برای شبکه عصبی کانولوشنی جریانی (M) بیشینه ادغام، (C) لایه کانولوشنی، (F) لایه ادغام<sup>۲</sup>، (A) فعال‌سازی تابع ReLU.

**جدول ۱** شرح جزئیات مدل شبکه عصبی کانولوشنی جریانی

لایه	نوع	اندازه ورودی	هسته <sup>۱</sup>	گزینه‌ها
۱	ورودی	$320 \times 320 \times 3$	-	عادی سازی
۲	لایه ادغام	$160 \times 160 \times 3$	-	$2 \times 2$ بیشترین پول
۳	لایه کانولوشنی	$80 \times 80 \times 6$	$3 \times 3$	$2 \times 2$ بیشترین پول
۴	لایه کانولوشنی	$40 \times 40 \times 12$	$3 \times 3$	$2 \times 2$ بیشترین پول
۵	لایه کانولوشنی	$20 \times 20 \times 18$	$3 \times 3$	$2 \times 2$ بیشترین پول
۶	کاملاً متصل	$1 \times 1 \times 1440$	-	لایه مسطح
۷	کاملاً متصل	$1 \times 1 \times 2$	-	فعال سازی ReLU
۸	خروجی	$1 \times 1 \times 2$	-	عادی سازی نشده

هر لایه کانولوشن با یک لایه ادغام حداکثر دنبال می‌شود تا اندازه داده‌ها را بدون از دست دادن اطلاعات قابل توجه، فشرده کند.

در شبکه عصبی کانولوشنی جریانی، بلوک شبکه عصبی از لایه‌های مختلفی تشکیل می‌شد که در آن‌ها هر یک عملکرد خاص خود را برای پردازش ویژگی‌های استخراج شده، دارند. سه لایه کانولوشن به تصویر کشیده شده، داده‌های ورودی را در هر مرحله برای استخراج ویژگی‌ها ادغام می‌کنند.

1. Flow Convolutional Neural Network (FCNN)

2. Flatten Layer

3. Kernel

را به صورت ابزارهای محاسباتی در اختیار کاربر قراردهند، اما این فرضیات معمولاً فرضیات ساده شونده هستند. در همین راستا همیشه استفاده از روش‌های آزمایشگاهی مطالعات مناسبی را در اختیار پژوهشگران قرار می‌دهند. در زمینه جریان دو فاز، به طور کلی نموداری به نام الگوی جریان/نقشه رژیم، نمای کلی از موقعیت‌های آزمایشی را که رژیم‌های جریان متفاوتی را تولید می‌کنند، نشان می‌دهد. نقشه رژیم جریان یک نمای کلی از مشاهدات آزمایشگاهی ارائه می‌دهد و شرایط مرزی را برای انتقال بین رژیم‌های جریان مختلف نشان می‌دهد [۱ و ۳ و ۲۶].

قبل از تولید نقشه جریان، لازم است جریان را از طریق طبقه‌بندی‌های فیزیکی دسته‌بندی کرد. رویکردهای مختلفی برای طبقه‌بندی جریان بر اساس شکل جریان یا سلطه نفت-آب وجود دارند [۳ و ۲۳ و ۲۶]. یک طبقه‌بندی موفق که توسط محققان قبلی اعمال شده است، الگوهای جریان را به سه دسته اصلی تقسیم می‌کند: طبقه‌بندی شده<sup>۵</sup> (فازها در لایه‌های جداگانه جریان می‌یابند)، پیوسته دوگانه<sup>۶</sup> (فازها به صورت لایه‌هایی که در فصل مشترک دوفاز، اختلاط دارند، یا در قالب حلقوی که یکی از فازها، دیگری را احاطه نماید) و رژیم‌های جریان پراکنده<sup>۷</sup> (یک فاز در فاز دیگر پراکنده است) [۲۶]. باید توجه داشت که الگوی جریان را می‌توان از طریق بررسی بصری، کاوشگرهای صوتی [۴۳]، سنسورهای رسانی [۴۰]، رفتار کاهش فشار [۶] و چگالی سنجی پرتو گاما چند پرتویی<sup>۸</sup> [۴۴] تعیین کرد. شکل الف<sup>۳</sup> نقشه رژیم جریان را در آزمایش‌های پیشنهادی نشان می‌دهد.

خروجی این لایه‌ها از یک تابع مسطح، عبور می‌کند که نوعی لایه کاملاً متصل است و در اندازه مناسب برای لایه‌های متراکم قرار می‌گیرد. لایه‌های کاملاً متصل، نورون‌ها را در یک لایه به نورون‌های لایه دیگر متصل می‌کنند. قبل از ارسال خروجی به لایه‌های متراکم، داده‌ها توسط توابع فعال‌سازی کنترل می‌شوند. واحدهای خطی اصلاح شده<sup>۱</sup> یا همان ReLU به‌عنوان تابع فعال‌سازی، خروجی‌های منفی نتایج کانولوشن را به صفر تبدیل می‌کند. مزیت این توابع در این است که جزئیات و ویژگی‌های بهتری نسبت به توابع خطی استخراج می‌نماید. از طریق پردازش تصویر و استخراج ویژگی، ساختارهای مختلف مورد ارزیابی قرار گرفته‌اند و فرمت فعلی با دقت مناسب، بهینه شده است. طرح‌های مختلف برای تنظیم دقیق ساختار مدل، آزمایش گردیدند. در هر طرح، پارامترهای قابل تنظیم در هر لایه از طریق یک الگوریتم بهینه‌سازی (بهینه‌ساز آدام<sup>۲</sup>) که از آنتروپی متقاطع باینری وزنی<sup>۳</sup> به عنوان تابع هدرفت<sup>۴</sup> استفاده می‌کند، اصلاح می‌شوند. یکی از مهمترین ویژگی‌های آنتروپی متقاطع باینری وزنی دقت آن‌ها در آموزش شبکه‌های از نوع دسته‌بندی می‌باشد.

$$BCE = \frac{1}{2} \sum_{i=1}^2 [m_i (-\log(p_i)) + (1-m_i) (-\log(1-p_i))] \quad (1)$$

در اینجا m مقدار واقعی به دست آمده از آزمایش و p تخمین مدل برای تحقق i است. حد بالای "2" در رابطه نشان می‌دهد که دو مجموعه داده الگوی جریان و کسر پسماند مایع وجود دارد. این نوع تابع هدرفت دقت یک طبقه‌بندی باینری را ارزیابی می‌کند و مقادیر بین ۰ و ۱ را برمی‌گرداند. در جدول ۱ اطلاعات دقیق در مورد لایه‌های مختلف موجود در ساختار بهینه‌شده برای شبکه عصبی کانولوشنی جریانی ارائه شده است.

## نتایج و بحث و بررسی

### نتایج مطالعه آزمایشگاهی

روش‌های مطالعاتی تجربی و مکانیکی همیشه در بردارنده فرضیاتی در مطالعات هستند که آنالیز

1. Rectified Linear Units (ReLU)

2. Adam

3. Weighted Binary Cross Entropy (WBCE)

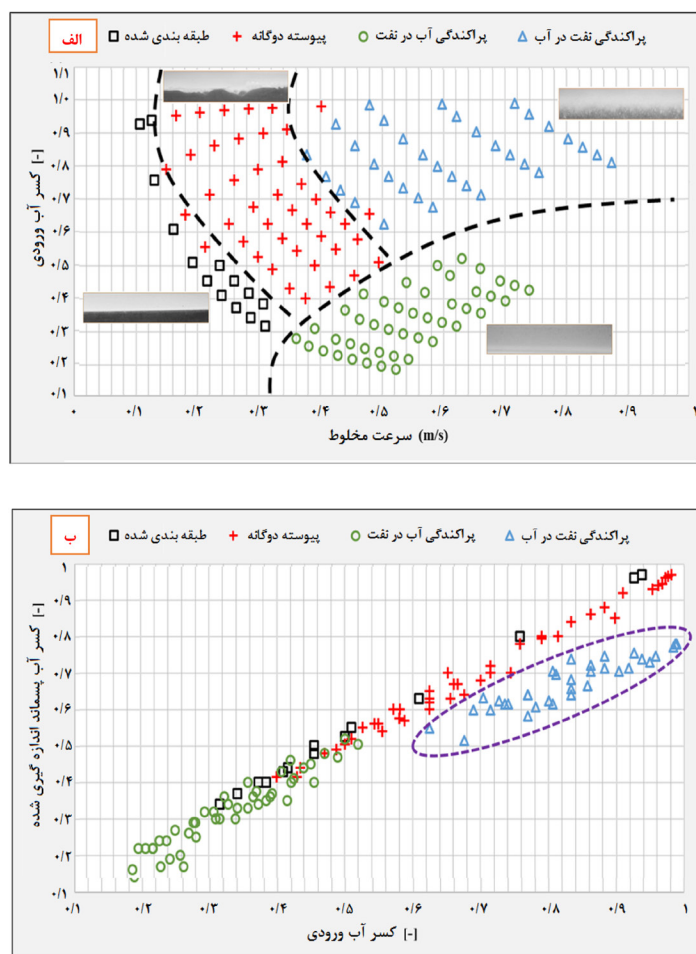
4. Loss Function

5. Stratified

6. Dual Continuous

7. Dispersed Flow

8. Multi-beam gamma-ray Densitometry



شکل ۳ (الف) نقشه الگوی جریان حاصل - لوله افقی و (ب) مقایسه بین کسر ورودی آب و کسر پسماند - لوله افقی

جریان‌های پراکنده یعنی جریان پراکنده نفت در آب زمانی که کسر ورودی آب زیاد بوده و جریان پراکنده آب در نفت زمانی که کسر ورودی آب کم بوده است، مشاهده گردید. به عبارت دیگر، زمانی که هریک از فازهای جریان در صد کمتری را در ورودی داشته است به وسیله فاز دیگر مخلوط و جریان یافته است. یکی دیگر از پارامترهای مورد بحث، کسر پسماند مایع است که با استفاده از درجه‌های بسته شونده سریع در تمام آزمایش‌ها اندازه‌گیری گردید. درجه‌های سریع شونده اندازه‌گیری دقیق مقدار کسر پسماند فازها را فراهم می‌سازد. مقایسه بین کسر ورودی آب و کسر پسماند آب در شکل ۳ نشان داده شده است. تقریباً بیشتر داده‌ها در یک روند خطی پخش می‌شوند. با این حال، در جریان پراکنده نفت در آب، کسر پسماند به دلیل تعامل

خط چین‌های کشیده شده در شکل موید جدایش‌های فازی است که مبنای بسیاری از مطالعات تشخیص نوع رژیم جریانی می‌باشد. علت این مساله در این نکته نهفته است که هر رژیم جریانی معمولاً عملکرد یکسانی از منظر رفتار مکانیکی از خود نشان می‌دهد. در نتیجه ضروری است تا تشخیص الگوی جریانی به طرز مناسبی انجام شود. در سرعت‌های پایین‌تر مخلوط، رژیم جریان طبقه‌بندی شده، الگوی جریان رایج در تمام کسرهای ورودی آب است.

در سرعت‌های متوسط مخلوط، جریان غالب پیوسته دوگانه است که در بخش‌های آب با کسر ورودی بالاتر از ۰/۵ شکل می‌گیرد. علت این مساله غلبه فاز آب در بحث اختلاف بین دانسیته دو سیال می‌باشد. علاوه بر این، در سرعت‌های مخلوط بالا،

نفت و آب و تمایل ترشوندگی شیشه پلکسی، از خط مستقیم منحرف می‌شود. این انحراف، در ناحیه بیضوی جداشده با نقطه چین نشان داده شده است. تمایل ترشوندگی در لوله‌های مورد مطالعه مساله‌ای است که تا کنون در اکثر روش‌های مکانیکی لحاظ نشده است. با آنالیز تصویری می‌توان این خلا مطالعاتی سایر روش‌های موجود را پاسخ داد.

علاوه بر آزمایش‌ها با لوله افقی، شرایط مشابه برای لوله‌های شیب‌دار  $30^\circ$  به سمت بالا اعمال شد. شکل ۴ الگوی جریان و کسر پسماند را در لوله شیب‌دار  $30^\circ$  نشان می‌دهد. در لوله شیب‌دار انتظار جدایش سیالات به دلیل اختلاف در تاثیر نیروی گرانش نیز می‌رود. همان‌طور که انتظار می‌رود، شیب به تفکیک بهتر مرزهای الگوی جریان، کمک می‌نماید. محققان پیشین نیز اعلام داشته‌اند که الگوهای جریانی پراکنده آب در نفت که به نیروی گرانش مربوط می‌شود، در سطوح شیب‌دار بهتر گسترش یافته‌اند [۱۵ و ۱۶]. علاوه بر این، برخی از نقاط که در جریان افقی با عنوان جریان طبقه‌بندی شده تعیین گردیدند، زمانی که شیب لوله تا  $30^\circ$  افزایش یافت، به جریان دوگانه پیوسته تبدیل گردیدند. تفاوت دیگر در کسر پسماند مایع بود که کاهش قابل توجهی در همه موارد به دلیل تاثیر گرانش داشته است. اضافه شدن نیروی گرانش به نوعی سبب فراهم شدن انسجام درون فازی برای هریک از فازها شده است که کسر پسماند مایع به همین دلیل کاهش یافته است.

#### آماده‌سازی پایگاه داده

پس از انجام تست‌های جامع آزمایشگاهی و طبقه‌بندی نوع جریان بر اساس تصاویر، مرحله بعدی تهیه و ارزیابی پایگاه داده است. همان‌طور که قبلاً ذکر شد، آزمایش‌های مختلفی در شرایط گوناگون برای ایجاد یک نقشه رژیم جریانی یا پایگاه داده جامع برای توصیف‌های بیشتر انجام شد. نتایج در یک قالب برداری حاوی تصاویر جریان دوتایی به عنوان ورودی و کد الگوی جریان و کسر پسماند

مایع به عنوان خروجی ذخیره گردیدند. در مطالعات جریان دو فازی، داده‌های چشمگیر الگوی نوع جریان است که از تصاویر استخراج می‌شود. شکل الف ۵ میانگین هیستوگرام برای مقادیر مقیاس خاکستری هر نوع رژیم جریانی را نشان می‌دهد. تفاوت بین این موارد و ارزیابی عملی از طریق آموزش‌های مختلف نشان می‌دهد که داده‌های تصویر برای تشخیص رژیم جریانی و کسر پسماند کافی است و نیازی به داده‌های بیشتر نیست. منظور از داده‌های بیشتر داده‌های مورد استفاده در مدل‌های تجربی و یا مکانیکی ارائه شده می‌باشد.









برای تهیه تصاویر برای یادگیری ماشین، تصویر باید در فرمت باینری یا همان دوتایی بوده که فقط شامل ۰ و ۱ می‌باشد. مدیریت تصویر از طریق الگوریتم باینری شده آتسو انجام می‌شود [۴۵]. مبنای آنالیز دوتایی سازی تصاویر به این نحو است که پس از انجام آزمایشات و تشخیص نوع الگوی جریانی، باینری سازی تصویر براساس الگوریتم اشاره شده انجام می‌شود تا همان تصویر به فرمت باینری و پس از بررسی مجدد توسط آزمایش‌گر جهت یادگیری شبکه عمیق آماده گردد. ساختار پایگاه داده آماده شده در جدول ۲ ارائه شده است. تست‌های آزمایشگاهی پایه، مبنای آماده‌سازی پایگاه داده بوده است. پایگاه داده تولید شده شامل تصویر الگوی جریان، نوع رژیم جریانی و کسر پسماند مایع برای هر یک از آزمایش‌های انجام شده است. تعداد کل داده‌های آزمایشگاهی ۲۷۰ عدد بوده که شامل جریان پراکنده آب در نفت، دوگانه پیوسته و پراکنده نفت در آب در دو زاویه شیب صفر و  $30^\circ$  می‌باشند.

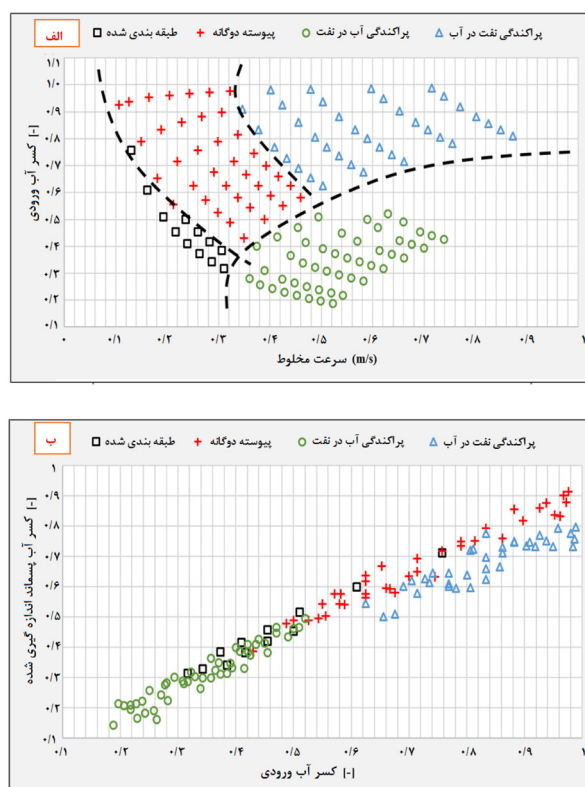
#### شبکه عصبی کانولوشنی جریانی آموزش دیده

مورد بعدی آموزش و بهینه‌سازی شبکه عصبی کانولوشنی جریانی و ارزیابی عملکرد شبکه آموزش دیده است. حدود ۷۰٪ پایگاه داده به صورت تصادفی برای آموزش شبکه و ۳۰٪ باقیمانده برای آزمایش انتخاب گردیدند.

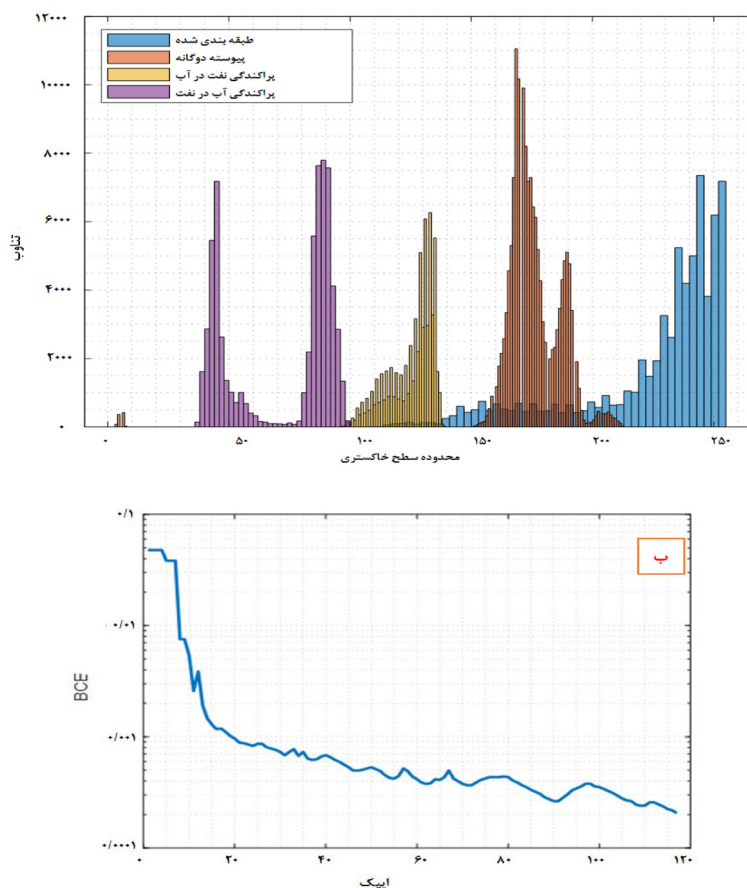


جدول ۲ ساختار پایگاه داده تهیه شده

داده ورودی		داده خروجی	
تصویر جریان	تصاویر باینری (دوتایی)	رژیم جریانی	پسماند آب
		طبقه بندی شده	۰/۴
		پیوسته دوگانه	۰/۵۵
		آب پراکنده در نفت	۰/۱۷
		نفت پراکنده در آب	۰/۷۲۵



شکل ۴ (الف) نقشه الگوی جریان حاصل - لوله شیبدار و (ب) مقایسه بین کسر ورودی آب و کسر پسماند - لوله شیبدار



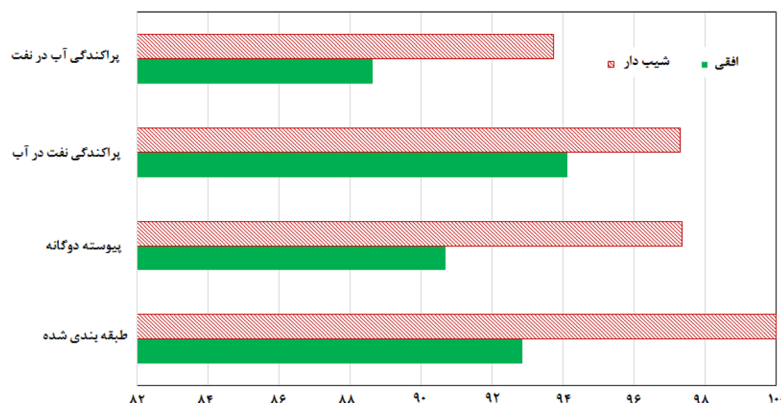
شکل ۵ (الف) نمودار هیستوگرام برای گروه‌های مختلف تصاویر موجود در پایگاه داده و (ب) کاهش عملکرد هدر رفت در طول فرآیند آموزش

کانولوشنی جریانی آموزش دیده را در پیش‌بینی رژیم جریانی از تصاویر الگوی جریان، نشان می‌دهد. در سیستم پراکنده آب در نفت در لوله افقی، دقت مدل به دلیل تار بودن تصاویر نسبت به سایر تصاویر، کمتر می‌باشد. به طور کلی، این مدل قادر به پیش‌بینی الگوی جریان افقی با دقت ۹۱٪ است. در مطالعه لوله شیبدار، نتایج به این دلیل که لوله شیبدار است و گرانش به شکل‌گیری رژیم‌های جریانی واضح‌تر، کمک می‌کند، از دقت بالاتری برخوردار می‌باشند. به طور کلی، دقت برای پیش‌بینی الگوی جریان در الگوهای جریانی شیبدار ۹۶٪ می‌باشد.

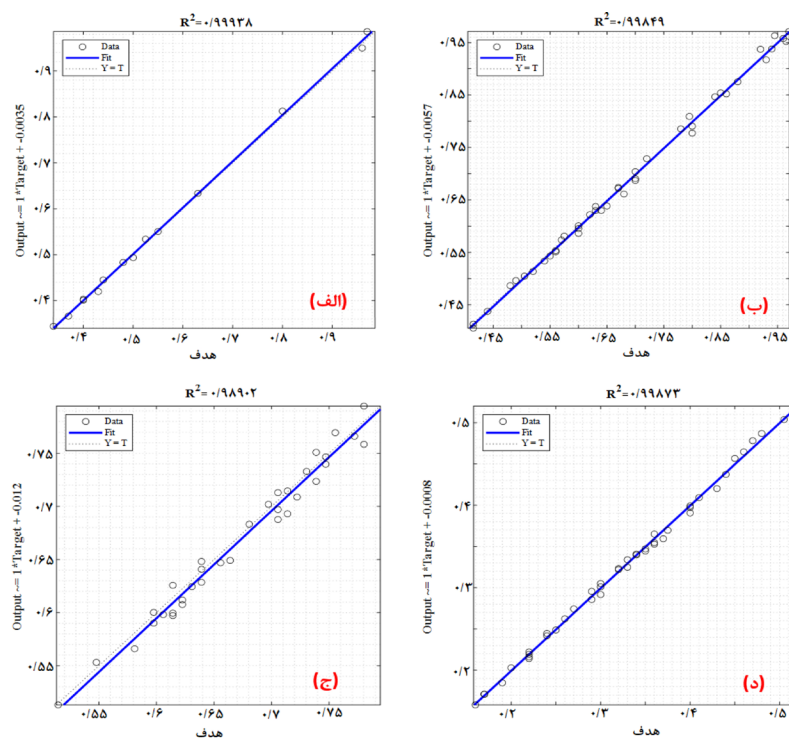
**شکل‌های ۷ و ۸** کسر پسماند ( $\alpha$ ) اندازه‌گیری شده و مقادیر پیش‌بینی شده را با هم مقایسه می‌کنند. نتایج نشان می‌دهد که مدل قادر به پیش‌بینی کسرهای پسماند با متوسط خطای نسبی مطلق (AARE)  $1/216\%$  و  $0/981\%$  به ترتیب برای خط لوله افقی و شیب  $30^\circ$  است. نحوه اندازه‌گیری متوسط خطای نسبی مطلق در فرمول شماره ۲ تعریف شده است:

$$AARE(\%) = 100 \times \frac{\sum_{i=1}^n |H_{measured_i} - H_{estimated_i}|}{n} \quad (2)$$

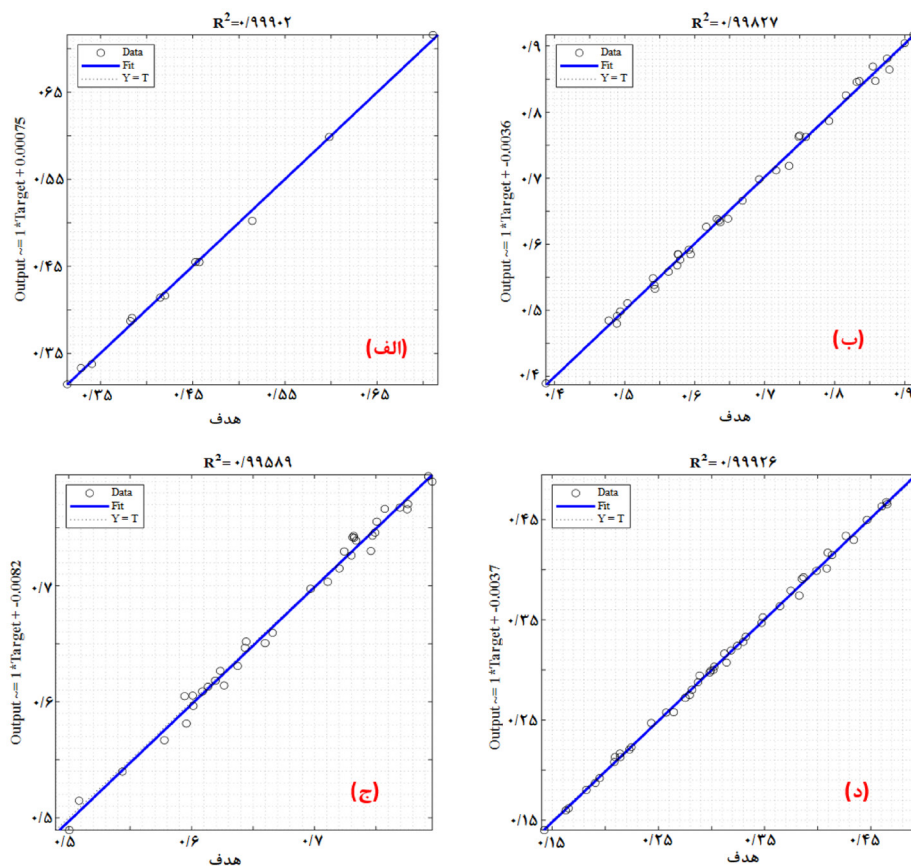
درصد تقسیم‌بندی بر اساس استاندارد مطالعات یادگیری عمیق انجام شده است. ساختار انتخاب شده برای شبکه عصبی کانولوشنی جریانی، بر اساس **جدول ۱**، به دلیل آزمایش طرح‌های مختلف و ارزیابی‌های آموزشی، مناسب‌ترین ساختار برای آموزش است. آموزش از طریق پردازنده گرافیکی در سیستمی با کارت گرافیک Nvidia GeForce GTX 1080 Ti که قابلیت حافظه محاسباتی آن ۱۱ گیگابایت و با فرکانسی حدود ۱۴۰۰ MHz است، انجام گردید. مدت زمان آموزش بر روی کارت گرافیک حدود ۴۰ h بوده است. **شکل ب ۵** کاهش عملکرد هدررفت شبکه آموزش دیده و کاهش تدریجی آن را در طول آموزش که باعث بهبود دقت مدل شده را نشان می‌دهد. منظور از کاهش عملکرد یا مقدار هدررفت، کاهش اختلاف بین نتایج به‌دست آمده از تشخیص شبکه عمیق و مقدار آزمایشگاهی می‌باشد. با کاهش اختلاف اشاره شده خطای محاسباتی کاهش یافته و شبکه آموزش دیده بر مبنای ساختار شبکه قابلیت تشخیص رژیم جریانی و کسر حجمی پسماند را دارد. برای بررسی دقت مدل، داده‌های آزمایش از طریق شبکه آموزش دیده منتقل می‌شوند و نتایج با اندازه‌گیری‌های آزمایشگاهی مقایسه گردیدند. در ادامه، نتایج تمامی نمونه‌های موجود در پایگاه داده ارائه شده است. **شکل ۶** دقت شبکه عصبی



شکل ۶ مقایسه دقت پلتفرم آموزش دیده در پیش‌بینی رژیم‌های جریانی مختلف



شکل ۷ مقایسه بین پسماند پیش‌بینی شده و اندازه‌گیری شده در خط لوله افقی: (الف) رژیم جریان طبقه‌بندی شده، (ب) رژیم جریان مداوم دوگانه، (ج) آب پراکنده در نفت و (د) نفت پراکنده در آب



شکل ۸ مقایسه بین پسماند پیش‌بینی شده و اندازه‌گیری شده در خط لوله شیبدار: (الف) رژیم جریان طبقه‌بندی شده، (ب) رژیم جریان مداوم دوگانه، (ج) آب پراکنده در نفت و (د) نفت پراکنده در آب

در اینجا  $n$  تعداد کل آزمایش‌ها است.  $\alpha_m$  پسماند اندازه‌گیری شده و  $\alpha_p$  پسماند برآورد شده توسط شبکه عصبی کانولوشنی جریانی است. پارامتر دیگری که تخمین زده شد، میانگین مربعات خطا (MSE) بود که برای پیش‌بینی دقت استفاده شد (معادله ۳).

$$MSE = \frac{\sum_{i=1}^n (H_{measured_i} - H_{estimated_i})^2}{n} \quad (3)$$

مقادیر میانگین مربعات خطا برای خط لوله افقی و شیبدار به ترتیب  $0.000736$  و  $0.000418$  محاسبه گردید. جدول ۳ مقادیر متوسط خطای نسبی مطلق و میانگین مربعات خطا را برای هر رژیم جریانی

جدول ۳ مقادیر متوسط خطای نسبی مطلق و میانگین مربعات خطا را برای هر رژیم جریانی

رژیم جریانی	پسماند- لوله افقی		پسماند- لوله شیبدار	
	میانگین مربعات خطا	متوسط خطای نسبی مطلق (%)	میانگین مربعات خطا	متوسط خطای نسبی مطلق (%)
طبقه بندی شده	۰/۰۰۰۰۵۹۱	۱/۰۸۹۹	۰/۸۶۶۶	۰/۰۰۰۰۲۴۶
پیوسته دوگانه	۰/۰۰۰۰۸۵۲	۱/۰۹۸۵	۱/۱۰۶۱	۰/۰۰۰۰۷۲۳
آب پراکنده در نفت	۰/۰۰۰۰۲۳۱	۱/۲۳۸۶	۰/۹۶۷۷	۰/۰۰۰۰۵۶۴
نفت پراکنده در آب	۰/۰۰۰۱۲۷	۱/۴۳۶۹	۰/۹۸۴۱	۰/۰۰۰۰۱۳۷

مدل‌های مکانیکی معمولاً جهت آنالیز افت فشار جریانی استفاده می‌شوند. این مدل‌ها معمولاً محدود به الگوی جریانی هستند، به عنوان نمونه روش مدل هموزن بیشتر برای جریانات پراکنده، مدل دو سیال و مدل دریافت فلاکس نیز عموماً برای جریان جدا شده به کار برده می‌شوند [۳۲].

به منظور مقایسه با روش‌های تجربی، از مدل‌سازی انتقال بین الگوهای جریان با روش ارائه شده توسط [۶] می‌پردازیم. در مطالعه ارائه شده با استفاده از فرمول ۴ جدایش بین فازهای جریانی انجام می‌شود.

$$V_w = aV_o + bV_o \left[ \left( \frac{V_o}{V_m} \right)^c \times \left( \frac{V_m \mu_m}{\sigma} \right)^d \right] \quad (4)$$

در این رابطه منظور از  $V_w$  سرعت فاز آب،  $V_o$  سرعت فاز نفت،  $V_m$  سرعت مخلوط،  $\mu_m$  ویسکوزیته ترکیب و  $\sigma$  کشش سطحی بین فازها می‌باشد. ضرایب  $a$ ,  $b$

شایان ذکر است مشکلی که باعث ایجاد انحراف و خطا در پیش‌بینی دقیق می‌شود، تار شدن تصاویر جریان در دبی‌های بالا در نزدیکی مرز بین الگوهای جریان مختلف است. با این حال، نتایج به‌دست آمده این ایده را تایید می‌کند که مدل در دبی‌های متوسط و پایین، دقیق‌تر است. منظور از تار شدن تصاویر اختلال فازی و درهم تنیدگی به وجود آمده در دبی‌های بالاتر است، که معمولاً در نزدیکی مرزهای جریانی مشخص می‌شود.

در ادامه به بررسی کیفیت مدل‌سازی داده‌های جریان افقی انجام شده در این مطالعه توسط روش یادگیری عمیق با مدل‌های تجربی (پیش‌بینی‌کننده رژیم جریانی) می‌پردازیم. از آنجایی که مدل‌های تجربی عمدتاً در جریانات افقی هستند، آنالیز را صرفاً برای جریان افقی انجام می‌دهیم. شایان ذکر است که



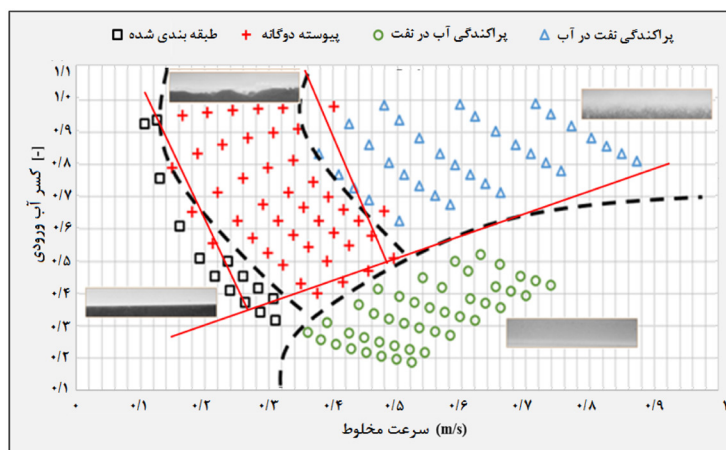
نتایج به دست آمده حکایت از دقت مناسب روش ارائه شده در جدایش فازی و قابلیت تطبیق با مرزبندی به روش های تجربی ارائه شده توسط سایر محققان این حوزه را دارد.

c, d نیز ثوابت تجربی به دست آمده هستند که در مقادیر آنها در **جدول ۴** ارائه شده است.

مقایسه بین نتایج این جدایش فازی با نتایج تحقیق به دست آمده در **شکل ۹** انجام شده است.

**جدول ۴** پارامترهای مورد استفاده جهت مدل سازی مرزبندی الگوهای جریان

پارامتر	پیوسته دوگانه - نفت پراکنده در آب	پیوسته دوگانه - آب پراکنده در نفت	طبقه بندی شده - پیوسته دوگانه
a	-۱/۲۲۴۶	۰	-۰/۹۴۱۵
b	۱/۲۸۹۹	۰/۱۴۵۱	۱/۳۵۵۹
c	-۰/۹۷۸۶	-۲/۲۸۶۳	-۱/۰۸۴۵
d	۰/۰۴۴۸	۰/۰۰۱۰	۰/۱۰۳۱



**شکل ۹** مقایسه بین مرزبندی انجام شده در مطالعه حاضر و مرزبندی الگوهای جریانی در مطالعه انجام شده توسط [۶]

## نتیجه گیری

در این مطالعه از یک روش امیدوارکننده به نام شبکه عصبی کانولوشنی جریانی که مبتنی بر یادگیری عمیق می باشد، جهت شناسایی و پیش بینی الگوهای جریان دو فازی آب-نفت در لوله های افقی و شیبدار، استفاده گردید. هدف اصلی این تحقیق ارائه بررسی جامع نقشه رژیم جریان و کسر پسماند در لوله های افقی و شیبدار (زاویه ۳۰°) با استفاده از مدل شبکه عصبی کانولوشنی جریانی بوده است. شبکه عصبی پیشنهادی در تشخیص الگوی جریان و تخمین پسماند کمک شایانی می نماید. مدل شبکه پیشنهادی قادر است الگوی جریان تصاویر ورودی را به ترتیب با دقت ۹۱٪ و ۹۶٪ برای جریان های

افقی و شیبدار پیش بینی نماید. تطابق بین رژیم های جریانی آزمایشگاهی و خروجی پیش بینی شده توسط شبکه عصبی، قابلیت و کارایی شبکه عصبی را برای تشخیص الگوهای جریان، تایید می نماید. همچنین کسر پسماند آب به ترتیب با دقت ۱/۲۲٪ و ۰/۹۸٪ برای جریان های افقی و شیبدار پیش بینی شده اند. نتایج نشان می دهد که مدل پیشنهادی به اندازه کافی دقیق و قابل اعتماد می باشد. از این رو، محققان با کمک مدل شبکه عصبی کانولوشنی جریانی قادر خواهند بود با استفاده از تصاویر جریان، رژیم های جریان را به طور دقیق طبقه بندی نموده و پسماند حاصله را تخمین بزنند.

## مراجع

- [1]. Beggs D H, Brill J P (1973) A study of two-phase flow in inclined pipes, *Journal of Petroleum Technology*, 25: 607–617, doi.org/10.2118/4007-PA.
- [2]. Carcione J M, Picotti S, Santos J E, Qadrouh A, Almalki H S (2014) Numerical simulation of two-phase fluid flow, *Journal of Petroleum Exploration and Production Technology*, 4: 233–243.
- [3]. Trallero J L, Sarica C, Brill J P (1997) A study of oil/water flow patterns in horizontal pipes, *SPE Production and Facilities*, 12, 03: 165–172, doi.org/10.2118/36609-PA.
- [4]. Kim H J, Kim G N, Kim Y J, Woo N S, Huh S C (2021) A study on the separation efficiency of in-line type subsea oil-water separator, *Journal of the Korean Society of Industry Convergence*, 24: 253–260, doi.org/10.21289/KSIC.2021.24.3.253.
- [5]. Hussein M M, Al-Sarkhi A, Badr H M, Habib M A (2019) CFD modeling of liquid film reversal of two-phase flow in vertical pipes, *Journal of Petroleum Exploration and Production Technology*, 9: 3039–3070.
- [6]. Shams R, Tavakoli A, Shad S (2017) Experimental investigation of two phase flow in horizontal wells: Flow regime assessment and pressure drop analysis, *Experimental Thermal and Fluid Science*, 88: 55–64, doi.org/10.1016/j.expthermflusci.2017.05.011.
- [7]. Li Z C, Fan C L (2020) A novel method to identify the flow pattern of oil–water two-phase flow, *Journal of Petroleum Exploration and Production Technology*, 10: 3723–3732.
- [8]. Kabiri Samani A R, Borghei S M (2010) Pressure loss in a horizontal two-phase slug flow, *Journal of Fluids Engineering*, 132: 7, doi.org/10.1115/1.4001969.
- [9]. Abubakar A, Al-Wahaibi Y, Al-Wahaibi T, Al-Hashmi A R, Al-Ajmi A, Eshtrati M (2018) Effect of pipe diameter on horizontal oil-water flow before and after addition of drag-reducing polymer part II: holdup and slip ratio, *Journal of Petroleum Science and Engineering*, 162: 143–149, doi.org/10.1016/j.petrol.2017.12.015.
- [10]. Angeli P, Hewitt GF (2000) Flow structure in horizontal oil–water flow, *International Journal of Multiphase Flow*, 26: 1117–1140, doi.org/10.1016/S0301-9322(99)00081-6.
- [11]. Baik S, Hanratty T J (2003) Effects of a drag reducing polymer on stratified gas–liquid flow in a large diameter horizontal pipe, *International Journal of Multiphase Flow*, 29, 11: 1749–1757, doi.org/10.1016/j.ijmultiphaseflow.2003.07.004.
- [12]. Burlutskii E (2018) CFD study of oil-in-water two-phase flow in horizontal and vertical pipes, *Journal of Petroleum Science and Engineering*, 162: 524–531, doi.org/10.1016/j.petrol.2017.10.035.
- [13]. Charles M E, Govier G T, Hodgson G W (1961) The horizontal pipeline flow of equal density oil-water mixtures, *The Canadian Journal of Chemical Engineering*, 39, 1: 27–36, doi.org/10.1002/cjce.5450390106.
- [14]. Edomwonyi-Otu L C, Angeli P (2015) Pressure drop and holdup predictions in horizontal oil–water flows for curved and wavy interfaces, *Chemical Engineering Research and Design*, 93: 55–65, doi.org/10.1016/j.cherd.2014.06.009.
- [15]. Hanafizadeh P, Hojati A, Karimi A (2015) Experimental investigation of oil–water two phase flow regime in an inclined pipe, *Journal of Petroleum Science and Engineering*, 136: 12–22, doi.org/10.1016/j.petrol.2015.10.031.
- [16]. Zhu Y, Wu X, Zhao R (2017) R32 flow boiling in horizontal mini channels: Part I. Two-phase flow patterns, *International Journal of Heat and Mass Transfer*, 115: 1223–1232, doi.org/10.1016/j.ijheatmasstransfer.2017.07.101.
- [۱۷]. میثاق ن، نیسانی سامانی ن، عبدالهی کاکرودی ع، علوی پناه س ک، بحرودی ع (۱۳۹۶) مدل‌سازی پهنه‌های اکتشاف نفتی با شبکه عصبی پرسپترون چند لایه (MLP) در GIS. پژوهش نفت، ۲۶، (۶–۹۵): ۱۶۰–۱۴۸. doi: 10.22078/pr.2017.724
- [18]. Bonizzi M, Issa R I (2003) A model for simulating gas bubble entrainment in two-phase horizontal slug flow, *International Journal of Multiphase Flow*, 29, 11: 1685–1717, doi.org/10.1016/j.ijmultiphaseflow.2003.09.001.
- [19]. Al-Wahaibi T, Smith M, Angeli P (2007) Effect of drag-reducing polymers on horizontal oil–water flows, *Journal of Petroleum Science and Engineering*, 57, 3–4: 334–346, doi.org/10.1016/j.petrol.2006.11.002.
- [20]. Abubakar A, Al-Wahaibi T, Al-Hashmi A R, Al-Wahaibi Y, Al-Ajmi A, Eshtrati M (2015) Influence of drag-reducing polymer on flow patterns, drag reduction and slip velocity ratio of oil–water flow in horizontal pipe, *International Journal of Multiphase Flow*, 73: 1–10, doi.org/10.1016/j.ijmultiphaseflow.2015.02.016.
- [21]. Wyatt N B, Gunther C M, Liberatore M W (2011) Drag reduction effectiveness of dilute and entangled xanthan in turbulent pipe flow, *Journal of Non-Newtonian Fluid Mechanics*, 166, 1–2: 25–31, doi.org/10.1016/j.jnnfm.2010.10.002.
- [22]. Shams R, Shad S (2019) Experimental study of two-phase oil–polymer flow in horizontal flow path, *Experimental Thermal and Fluid Science*, 100: 62–75, doi.org/10.1016/j.expthermflusci.2018.08.028.

- [23]. Nädler M, Mewes D (1997) Flow induced emulsification in the flow of two immiscible liquids in horizontal pipes, *International Journal of Multiphase Flow*, 23, 1: 55-68, doi.org/10.1016/S0301-9322(96)00055-9.
- [24]. Li H, Wong T N, Skote M, Duan F (2014) Non-Newtonian two-phase stratified flow with curved interface through horizontal and inclined pipes, *International Journal of Heat and Mass Transfer*, 74: 113-120, doi.org/10.1016/j.ijheatmasstransfer.2014.02.052.
- [25]. Langsholt M (2012) An experimental study on polymeric type DRA used in single-and multiphase flow with emphasis on degradation, diameter scaling and the effects in three-phase oil-water-gas flow, In 8th North American Conference on Multiphase Technology, OnePetro.
- [26]. Lovick J, Angeli P (2004) Experimental studies on the dual continuous flow pattern in oil-water flows, *International Journal of Multiphase Flow*, 30, 2: 139-157, doi.org/10.1016/j.ijmultiphaseflow.2003.11.011.
- [27]. Acharya T, Casimiro L (2020) Evaluation of flow characteristics in an onshore horizontal separator using computational fluid dynamics, *Journal of Ocean Engineering and Science*, 5, 3: 261-268, doi.org/10.1016/j.joes.2019.11.005.
- [28]. Rabbani A, Babaei M, Shams R, Da Wang Y, Chung T (2020) DeePore: A deep learning workflow for rapid and comprehensive characterization of porous materials, *Advances in Water Resources*, 146: 103787, doi.org/10.1016/j.advwatres.2020.103787.
- [29]. Goodfellow I, Bengio Y, Courville A (2016) *Deep learning*, MIT press.
- [30]. Ershadnia R, Amooie M A, Shams R, Hajirezaie S, Liu Y, Jamshidi S, Soltanian M R (2020) Non-Newtonian fluid flow dynamics in rotating annular media: Physics-based and data-driven modeling, *Journal of Petroleum Science and Engineering*, 185: 106641, doi.org/10.1016/j.petrol.2019.106641.
- [31]. Chang C W, Dinh N, Cetiner S M (2017) Physics-constrained machine learning for two-phase flow simulation using deep learning-based closure relation, In American Nuclear Society Winter Meeting, Washington, DC, 1749-1752.
- [32]. Ezzatabadipour M, Singh P, Robinson M D, Guillén-Rondon P, Torres C (2017) Deep learning as a tool to predict flow patterns in two-phase flow, arXiv preprint arXiv:1705.07117, doi.org/10.48550/arXiv.1705.07117.
- [33]. Raissi M, Yazdani A, Karniadakis G E (2018) Hidden fluid mechanics: A Navier-Stokes informed deep learning framework for assimilating flow visualization data, arXiv preprint arXiv:1808.04327.
- [34]. Guillén-Rondon P, Robinson M D, Torres C, Pereya E (2018) Support Vector Machine Application for Multiphase Flow Pattern Prediction, arXiv preprint arXiv:1806.05054 https://doi.org/10.48550/arXiv.1806.05054.
- [35]. Kanin E A, Osipov A A, Vainshtein A L, Burnaev E V (2019) A predictive model for steady-state multiphase pipe flow: Machine learning on lab data, *Journal of Petroleum Science and Engineering*, 180, 727-746, doi.org/10.1016/j.petrol.2019.05.055.
- [36]. Gao Z, Hou L, Dang W, Wang X, Hong X, Yang X, Chen G (2020) Multitask-based temporal-channelwise CNN for parameter prediction of two-phase flows, *IEEE Transactions on Industrial Informatics*, 17, 9: 6329-6336.
- [37]. Wang W, Gong J, Angeli P (2011) Investigation on heavy crude-water two phase flow and related flow characteristics, *International Journal of Multiphase Flow*, 37, 9: 1156-1164, doi.org/10.1016/j.ijmultiphaseflow.2011.05.011.
- [38]. Oshinowo T, Charles M E (1974) Vertical two-phase flow part I. Flow pattern correlations, *The Canadian Journal of Chemical Engineering*, 52, 1: 25-35, doi.org/10.1002/cjce.5450520105.
- [39]. Mukherjee H, Brill J P (1983) Liquid holdup correlations for inclined two-phase flow, *Journal of Petroleum Technology*, 35, 05: 1003-1008, doi.org/10.2118/10923-PA.
- [40]. Gao Z, Yang Y, Zhai L, Jin N, Chen G (2016) A four-sector conductance method for measuring and characterizing low-velocity oil-water two-phase flows, *IEEE Transactions on Instrumentation and Measurement*, 65, 7: 1690-1697, doi: 10.1109/TIM.2016.2540862.
- [41]. LeCun Y (1989) Generalization and network design strategies, *Connectionism in Perspective*, 19, 143-155: 18.
- [42]. LeCun Y, Bengio Y, Hinton G (2015) Deep learning, *Nature*, 521, 7553: 436-444.
- [43]. Albion K, Briens L, Briens C, Berruti F (2008) Flow regime determination in horizontal hydrotransport using non-intrusive acoustic probes, *The Canadian Journal of Chemical Engineering*, 86, 6: 989-1000, doi.org/10.1002/cjce.20112.
- [44]. Tjugum S A, Hjertaker B T, Johansen G A (2002) Multiphase flow regime identification by multibeam gamma-ray densitometry, *Measurement Science and Technology*, 13, 8: 1319, doi:10.1088/0957-0233/13/8/321.
- [45]. Otsu N (1979) A threshold selection method from gray-level histograms, *IEEE Transactions on Systems, Man, and Cybernetics*, 9, 1: 62-66.

# اسمومتری فشار بخار ۱-بوتیل-۳-متیل ایمیدازولیوم تیوسیانات در محلول آبی و پیش‌بینی آن با PC-SAFT

بهرنگ گل محمدی<sup>۱\*</sup> و محمد باقر مقیمی<sup>۲</sup>

۱- گروه شیمی فیزیک، دانشکده شیمی، دانشگاه تبریز، ایران

۲- گروه ریاضی، دانشکده علوم، دانشگاه محقق اردبیلی، اردبیل، ایران

تاریخ دریافت: ۱۴۰۰/۱۰/۱۸ تاریخ پذیرش: ۱۴۰۱/۰۸/۰۴

## چکیده

جداسازی بنزن و تیوفن از فرآورده‌های نفتی یکی از مهم‌ترین فرآیندهای تولید بنزین در صنعت نفت است. مایعات یونی بر پایه ایمیدازول و آنیون تیوسیانات به‌طور مؤثر در جداسازی بنزن و تیوفن به‌کار برده شده‌اند. این در صورتی است که مطالعات بنیادی نیز از سوی دیگر برای شناخت این گونه از مایعات یونی اهمیت خود را حفظ می‌کند. ضریب اسمزی مهم‌ترین کمیت برای سیستم الکترولیت است که می‌تواند برای توصیف رفتار و مطالعه برهم‌کنش‌های رخ داده در سیستم‌ها استفاده شود. از این رو، رفتار مایعات یونی به‌عنوان الکترولیت نیز از اهمیت خاصی برخوردار است چرا که این مواد به شدت آبدوست می‌باشند و این ممکن است شرایط طراحی فرآیند را دستخوش تغییرات بکند. از این رو در این کار ضریب اسمزی محلول آبی مایع یونی ۱-بوتیل-۳-متیل ایمیدازولیوم تیوسیانات (IL) در محدوده دمایی ۲۹۸/۱۵ - ۳۲۸/۱۵ با اسمومتری فشار بخار تا  $1 \text{ mol kg}^{-1}$  اندازه‌گیری شده است. فعالیت آب و کاهش فشار بخار آب تعیین شده است. مدل توسعه یافته پیتزر-آرچر برای همبستگی ضریب اسمزی تجربی و به‌دست آوردن میانگین ضریب فعالیت IL استفاده شد. میانگین انحراف استاندارد برای مقادیر ضریب اسمزی در سیستم باینری با مدل پیتزر-آرچر ۰/۱۲ است. همچنین از رابطه PC-SAFT و PC-SAFT حالت‌ها برای پیش‌بینی ضریب اسمزی استفاده شد.

**کلمات کلیدی:** مایع یونی، ضریب اسمزی، کاهش فشار بخار، ضریب فعالیت میانگین، PC-SAFT

## مقدمه

نظر، برخی از آن‌ها با پایه ایمیدازولیوم و مبتنی بر آنیون فلوئوردار مانند  $[\text{BF}_4]$  و  $[\text{PF}_6]$  به اجزای مهم فرآیند صنعتی تبدیل شدند [۸]. با این حال، سمی بودن این مایعات یونی مشکل اصلی و عمده آنها بود که کاربرد صنعتی آنها را محدود می‌کرد. با توجه به ادبیات، اثر آنیون بر سمیت پررنگ است و آنیون‌های معدنی سمی‌تر هستند [۹ و ۱۰].

در دهه گذشته، مایعات یونی در منابع برای موارد متعددی به‌کار برده شده‌اند [۵-۱۱]. روند رو به افزایش در تحقیقات منجر به افزایش کاربردهای صنعتی مایعات یونی شده است [۶ و ۷]. از این

\*مسئول مکاتبات  
آدرس الکترونیکی: b.golmohammadi@tabrizu.ac.ir  
شناسه دیجیتال: (DOI:10.22078/PR.2022.4706.3112)

تیوسینات به عنوان آنیون آلی دارای مزایای قابل قبولی است که فقط سمیت کمتری نسبت به آنیون های معدنی معادل آن دارد [۱۱ و ۱۲]. مایع یونی تیوسینات مبتنی بر ایمیدازولیوم با موفقیت برای استخراج ترکیبات آلی مثل بنزن و تیوفن استفاده شده است [۱۳ و ۱۴]. محلول آبی مایع یونی یکی از جدیدترین حلال ها برای استخراج محصولات بیولوژیکی مانند مولکول های زیستی، DNA، محصولات زیستی و فن آوری های پیشرفته است [۱۹-۱۵]. با توجه به روند روبه رشد کاربردهای صنعتی مایعات یونی، توسعه روش های عددی قابل اعتماد برای طراحی و بهینه سازی فرآیند صنعتی ضروری است. یکی از موفق ترین سری های مدل که در زمینه مایعات یونی پیشرو است، PC-SAFT است که توسط Sadowski و همکاران توسعه داده شد [۲۰-۲۵]. این مدل برای پیش بینی خواص فیزیکی سیستم های حاوی مایع یونی استفاده شده است. نتایج این مدل با خواص ترموفیزیکی اندازه گیری شده مانند چگالی و سایر خواص فیزیکی مطابقت خوبی داشت [۲۶ و ۲۷]. با توجه به نتایج ادبیات، PC-SAFT یک مدل قدرتمند برای طراحی و بهینه سازی

فرآیند صنعتی است. ضریب اسمزی مهم ترین مقدار برای سیستم الکترولیت است که می تواند برای تفسیر رفتار سیستم استفاده شود. با توجه به اهمیت سیستم های آبی مایعات یونی که قبلاً ذکر شد، به دست آوردن ضریب اسمزی این سیستم ها و گسترش آن در طیف وسیعی از شرایط فیزیکی مهم است. در این راستا، ضریب اسمزی آبی [BMIM][SCN] در محدوده دمایی ۲۹۸/۱۵-۳۲۸/۱۵ K بررسی شده است. همچنین، انواع مختلف مدل های PC-SAFT با مشارکت های مختلف برای پیش بینی ضریب اسمزی مورد استفاده قرار گرفتند.

## تجربی

### مواد شیمیایی

تمامی ترکیبات مورد استفاده در این کار از Merck خریداری شده و در جدول ۱ با اطلاعات مختصر آورده شده است. آب مورد استفاده در این کار آب مقطر دوبار تقطیر با رسانایی ویژه کمتر از  $1 \mu\text{S cm}^{-1}$  است. درصد خلوص مواد توسط شرکت سازنده گزارش شده است و مواد بدون خالص سازی اضافی مورد استفاده قرار گرفته است.

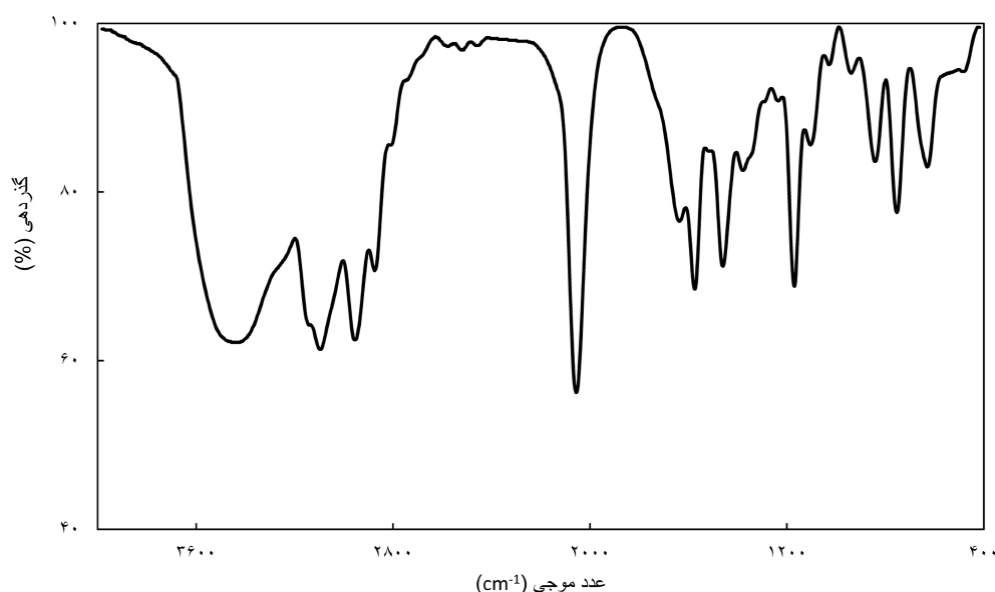
جدول ۱ مواد به کار رفته در این تحقیق

نام ماده	CAS	سازنده	درصد خلوص	روش خالص سازی	روش آنالیز
۱-متیل ایمیدازول	۶۱۶-۴۷-۷	مرک	>۰/۹۹	تقطیر	برگ آنالیز شرکت سازنده
۱-برموبوتان	۱۰۹-۶۵-۹	مرک	>۰/۹۹	-	برگ آنالیز شرکت سازنده
اتیل استات	۱۴۱-۷۸-۶	مرک	>۰/۹۹۵	-	برگ آنالیز شرکت سازنده
استون	۶۷-۶۴-۱	مرک	>۰/۹۹۵	-	برگ آنالیز شرکت سازنده
دی کلرومتان	۷۵-۰۹-۲	مرک	۰/۹۹	تقطیر دین-استارک	تیتراسیون کارل فیشر
پتاسیم تیوسینات	۳۳۳-۲۰-۰	مرک	>۰/۹۹	خشک شده در دمای ۳۱۸/۱۵ K	تیتراسیون کارل فیشر
سدیم کلرید	۷۶۴۷-۱۴-۵	مرک	>۰/۹۹۵	-	برگ آنالیز شرکت سازنده
پتاسیم کلرید	۷۴۴۷-۴۰-۷	مرک	>۰/۹۹۵	-	برگ آنالیز شرکت سازنده
۱-بوتی-۳-متیل ایمیدازولیوم تیوسینات ([BMIM][SCN])	۳۴۴۷۹۰-۸۷-۰	سنتزی	>۰/۹۳	استخراج-فیلتراسیون-سانتریفیوژ-تقطیر با روتاری	FT-IR-H <sup>۱</sup> NMR-تیتراسیون کارل فیشر
آب دیونیزه	۷۷۳۲-۱۸-۵			تقطیر	هدایت سنجی



شکل ۱ طیف <sup>1</sup>H NMR مایع یونی سنتزی ۱-بوتیل-۳-متیل امیدازولیم تیوسانات





شکل ۲ طیف FT-IR مایع یونی سنتزی ۱-بوتیل-۳-متیل ایمیدازولیوم تیوسیانات

بار تکرار شده و مقدار میانگین ثبت شده است. میانگین زمان برای هر اندازه‌گیری حدود ۵ min است. توضیحات دقیق اندازه‌گیری در کارهای قبلی ما ارائه شده است. [۳۰] عدم قطعیت استاندارد در سیگنال خروجی دستگاه  $\pm 4\%$  بود و حداکثر تغییرات در  $\pm 2\%$  درصد از مقدار اندازه‌گیری شده بود.

## نتایج و بحث

### ضرایب اسمزی تجربی و مشتقات

ضرایب اسمزی [BMIM][SCN] آبی برای محاسبه افت فشار بخار آب در محلول‌ها با استفاده از روابط زیر به‌دست آمده است.

$$\phi = -\frac{\ln a_w}{vmM_w} \quad (3)$$

$$\ln a_w = \ln\left(\frac{p}{p^*}\right) + \frac{(B_w - V_w^*)(p - p^*)}{RT} \quad (4)$$

$$\Delta p = p^* - p \quad (5)$$

که در آن  $a_w$ ،  $M_w$ ،  $B_w$ ،  $V_w^*$  و  $p^*$  به‌ترتیب فعالیت، جرم مولی، ضریب دوم ویرال، حجم مولی و فشار بخار آب خالص هستند. همچنین،  $p$  فشار بخار محلول را نشان می‌دهد. نمادها  $R$  و  $T$  به‌ترتیب برای ثابت گاز جهانی و دمای مطلق استفاده می‌شوند. مقادیر مربوط به  $B_w$ ،  $V_w^*$  و  $p^*$  از پژوهش‌های پیشین گرفته شده است [۳۲].

دستگاه با محلول‌های آبی NaCl کالیبره شده است. ضرایب اسمزی محلول‌های آبی NaCl با کمک رابطه توسعه یافته توسط Colin محاسبه شد [۲۹ و ۳۰].

$$\phi = 1 - A \frac{\sqrt{m_r}}{1 + 1.2\sqrt{m_r}} + Bm_r + Cm_r^2 + Dm_r^3 + Em_r^4 + Qm_r \exp(-2\sqrt{m_r}) \quad (1)$$

ضرایب این رابطه تابعی از دما است که در کار قبلی ما آورده شده است [۳۰]. همچنین، اعتبارسنجی داده‌ها با محلول‌های آبی KCl در دمای ۲۹۸/۱۵ K نسبت به داده‌های موجود در منابع انجام شد [۳۱]. نتایج این صحت‌گذاری در شکل ۳ آورده شده است که انحراف استاندارد نسبی به‌دست آمده برای داده تجربی ۱/۴٪ نسبت به داده‌های موجود در منبع مذکور است. ضرایب اسمزی تجربی محلول‌های آبی مایع یونی مورد مطالعه با مولالیت،  $m$ ، در تعادل براساس رابطه زیر به‌دست آمد.

$$\phi = \frac{\phi_r m_r v_r}{mv} \quad (2)$$

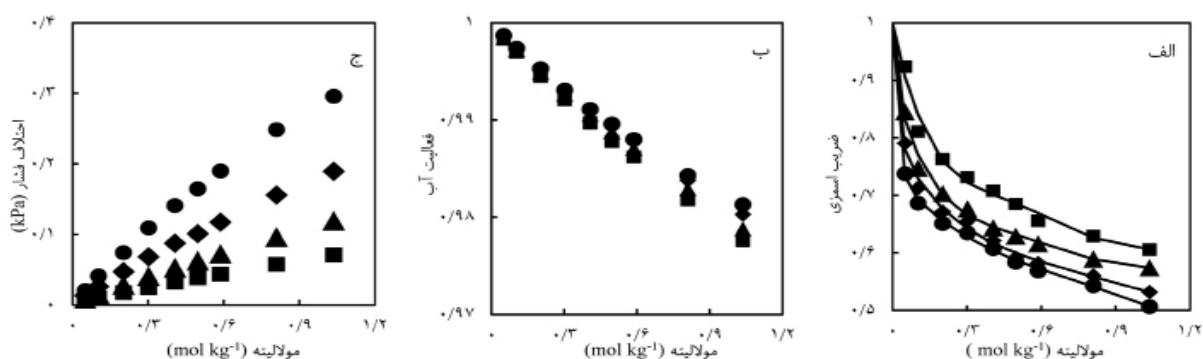
که در آن  $\phi$  و  $\phi_r$  ضرایب اسمزی،  $m$  و  $m_r$  مولالیت،  $v$  و  $v_r$  تعداد استوکیومتری الکترولیت مایع یونی و مرجع (NaCl) هستند که به‌ترتیب برای مرجع و مایع یونی برابر با ۲ می‌باشند. اندازه‌گیری هر نمونه ۶

ج) نشان داده شده است. همان‌طور که از شکل مشخص است، شیب کاهش فشار بخار با افزایش دما افزایش یافته است. مقایسه داده‌های ضریب اسمزی تجربی برای مایع یونی مورد مطالعه با دو مایع یونی با کاتیون یکسان و آنیون‌های برمید و تترافلوروبورات که در منابع با همین روش گزارش شده‌اند در شکل ۵ آورده شده است. همان‌طور که در شکل ۵ مشاهده می‌شود هر سه گونه روند مشابهی با شیب‌های متفاوت در تغییرات ضریب اسمزی با غلظت نشان داده‌اند. این مسئله ناشی از اختلاف در آنیون این گونه‌ها است.

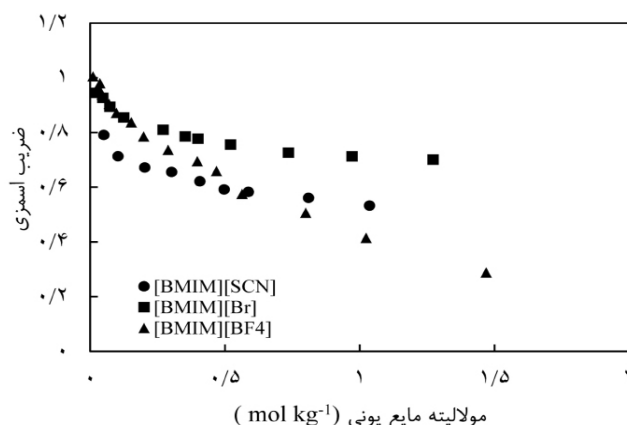
ضرایب اسمزی به‌دست آمده، فعالیت آب و مقادیر فشار بخار در سیستم‌های مورد مطالعه در جدول ۲ آورده شده است. ضرایب اسمزی در دماهای مختلف در مقابل مولالیت مایع یونی رسم شده‌اند و در شکل ۴ الف) آورده شده‌اند. این مقادیر با افزایش غلظت مایع یونی کاهش یافته است. نمودار مقادیر فعالیت آب در شکل ۴ ب) با غلظت مایع یونی در دماهای مختلف نشان داده شده است. فعالیت آب با افزایش مولالیت مایع یونی کاهش یافته است اما شیب تغییرات در دمای بالاتر کاهش یافته است. افت فشار بخار در مقابل مولالیت مایع یونی در دماهای مختلف در شکل ۴

جدول ۲ ضرایب اسمزی، فعالیت آب و کاهش فشار بخار آب در محلول‌های آبی از [BMIM][SCN] در دماهای مختلف

j	T = ۲۹۸/۱۵ K			T = ۳۰۸/۱۵ K			T = ۳۱۸/۱۵ K			T = ۳۲۸/۱۵ K		
$m_{IL}$	$\phi$	$a_w$	$\Delta p$	$\phi$	$a_w$	$\Delta p$	$\phi$	$a_w$	$\Delta p$	$\phi$	$a_w$	$\Delta p$
mol kg <sup>-1</sup>			kPa			kPa			kPa			kPa
۰/۰۵۰۴	۰/۹۲۴	۰/۹۹۸۳	۰/۰۰۵	۰/۸۴۶	۰/۹۹۸۵	۰/۰۰۹	۰/۷۹۱	۰/۹۹۸۶	۰/۰۱۴	۰/۷۳۸	۰/۹۹۸۷	۰/۰۲۱
۰/۱۰۳۴	۰/۸۱۱	۰/۹۹۷۰	۰/۰۱۰	۰/۷۴۸	۰/۹۹۷۲	۰/۰۱۶	۰/۷۱۳	۰/۹۹۷۳	۰/۰۲۶	۰/۶۸۶	۰/۹۹۷۴	۰/۰۴۱
۰/۲۰۲۳	۰/۷۶۳	۰/۹۹۴۵	۰/۰۱۸	۰/۷۰۴	۰/۹۹۴۹	۰/۰۲۹	۰/۶۷۲	۰/۹۹۵۱	۰/۰۴۷	۰/۶۵۱	۰/۹۹۵۳	۰/۰۷۴
۰/۳۰۲۱	۰/۷۳۲	۰/۹۹۲۱	۰/۰۲۵	۰/۶۷۷	۰/۹۹۲۷	۰/۰۴۱	۰/۶۵۶	۰/۹۹۲۹	۰/۰۶۸	۰/۶۳۵	۰/۹۹۳۱	۰/۱۰۹
۰/۴۰۶۷	۰/۷۰۸	۰/۹۸۹۷	۰/۰۳۳	۰/۶۴۴	۰/۹۹۰۶	۰/۰۵۳	۰/۶۲۱	۰/۹۹۰۹	۰/۰۸۸	۰/۶۰۸	۰/۹۹۱۱	۰/۱۴۱
۰/۴۹۶۶	۰/۶۸۵	۰/۹۸۷۸	۰/۰۳۹	۰/۶۳۰	۰/۹۸۸۸	۰/۰۶۳	۰/۵۹۱	۰/۹۸۹۵	۰/۱۰۱	۰/۵۸۴	۰/۹۸۹۶	۰/۱۶۵
۰/۵۸۷۰	۰/۶۵۶	۰/۹۸۶۲	۰/۰۴۴	۰/۶۱۶	۰/۹۸۷۱	۰/۰۷۳	۰/۵۸۳	۰/۹۸۷۸	۰/۱۱۷	۰/۵۶۹	۰/۹۸۸۰	۰/۱۹۰
۰/۸۰۹۸	۰/۶۲۹	۰/۹۸۱۸	۰/۰۵۸	۰/۵۹۰	۰/۹۸۲۹	۰/۰۹۷	۰/۵۶۰	۰/۹۸۳۸	۰/۱۵۶	۰/۵۴۳	۰/۹۸۴۳	۰/۲۴۹
۱/۰۳۶۴	۰/۶۰۶	۰/۹۷۷۶	۰/۰۷۱	۰/۵۷۵	۰/۹۷۸۸	۰/۱۲۰	۰/۵۳۲	۰/۹۸۰۳	۰/۱۹۰	۰/۵۰۷	۰/۹۸۱۳	۰/۲۹۶



شکل ۴ الف) ضریب اسمزی تجربی و مدل‌سازی پیتزر-آرچر گسترش مربوطه محلول آبی [BMIM][SCN] در دماهای مختلف، ب) فعالیت آب در محلول آبی [BMIM][SCN] براساس مولالیت مایع یونی در دماهای مختلف و ج) کاهش فشار بخار آب در مقابل مولالیت [BMIM][SCN] در دماهای مختلف: ۲۹۸/۱۵ K (■)، ۳۰۸/۱۵ K (▲)، ۳۱۸/۱۵ K (◆) و ۳۲۸/۱۵ K (●)



شکل ۵ مقایسه ضریب اسمزی تجربی محلول‌های آبی مایع یونی ۱-بوتیل-۳-متیل ایمیدازولیوم تیوسیانات با مایعات یونی ۱-بوتیل-۳-متیل ایمیدازولیوم برمید و ۱-بوتیل-۳-متیل ایمیدازولیوم تترافلوروبورات در دمای ۳۱۸/۱۵ K گزارش شده در منبع [۳۰]

مدل پیتزر یکی از مدل‌های موفق در همبستگی ضریب اسمزی است. همچنین می‌توان از آن برای تعیین ضریب فعالیت متوسط مایع یونی مورد مطالعه استفاده کرد. برای تعیین میانگین ضریب فعالیت از رابطه زیر استفاده شده است:

$$\ln \gamma_{\pm} = -A_{\phi} \left[ \frac{m^{1/2}}{1 + bm^{1/2}} + \frac{2}{b} \ln(1 + bm^{1/2}) \right] + m \quad (7a)$$

$$(2\beta^0 + A_1 + A_2) + \frac{m^2}{2} (3C^0 + A_3) \quad (7b)$$

$$A_1 = \frac{2\beta^{(1)}}{\alpha_1^2 m} \left[ 1 - \left( 1 + \alpha_1 m^{1/2} - \frac{\alpha_1^2 m}{2} \right) \exp(-\alpha_1 m^{1/2}) \right]$$

$$A_3 = \frac{2C^{(1)}}{\alpha_3^4 m^2} \quad (7c)$$

$$\left[ 6 - \left( 6 + 6\alpha_3 m^{1/2} + 3\alpha_3^2 m + \alpha_3^3 m^2 - \alpha_3^4 \frac{m^2}{2} \right) \exp(-\alpha_3 m^{1/2}) \right]$$

ضریب فعالیت میانگین مایع یونی در شکل ۶ در مقابل معکوس مولالیت مایع یونی در دماهای مختلف نشان داده شده است. این مقادیر با افزایش دما کاهش می‌یابد.

#### مدل پیش‌بینی ضریب اسمزی

مدل‌سازی ضریب اسمزی محلول‌های آبی [BMIM][SCN] با دو نسخه مختلف از رابطه حالت PC-SAFT انجام شده است.

گونه ۱-بوتیل-۳-متیل ایمیدازولیوم تیوسیانات که در این تحقیق مورد مطالعه قرار گرفته است شیب تغییرات ملایم‌تری نسبت به گونه‌های برمید و تترافلوروبورات از خود نشان داده است.

#### مدل‌سازی ترمودینامیکی

##### مدل همبستگی ضریب اسمزی

تعمیم آرچر مدل پیتزر برای همبستگی ضرایب اسمزی به‌دست آمده از [BMIM][SCN] آبی استفاده شد. [۳۰] شکل اصلی رابطه مربوطه به‌صورت زیر نشان داده می‌شود:

$$\phi - 1 = f^{\phi} + mB^{\phi} + m^2C^{\phi} \quad (8a)$$

$$f^{\phi} = -\frac{A^{\phi} I^{1/2}}{1 + bI^{1/2}} \quad (8b)$$

$$A^{\phi} = \left( \frac{1}{3} \right) \sqrt{2\pi N_A d_0} \left( \frac{e^2}{2\pi\epsilon_0 D_e K_B T} \right)^{3/2} \quad (8c)$$

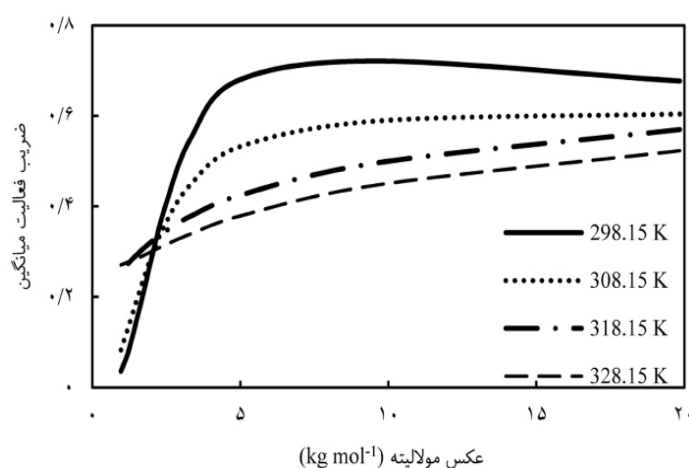
$$B^{\phi} = \beta^{(0)} + \beta^{(1)} \exp(-\alpha_1 I^{1/2}) + \beta^{(2)} \exp(-\alpha_2 I^{1/2}) \quad (8d)$$

$$C^{\phi} = C^{(0)} + C^{(1)} \exp(-\alpha_3 I^{1/2}) \quad (8e)$$

ضرایب  $\beta^{(0)}$ ،  $\beta^{(1)}$ ،  $\beta^{(2)}$ ،  $C^{(0)}$  و  $C^{(1)}$  پارامترهای برهم‌کنش یونی مدل هستند. همچنین،  $N_A$  و  $K_B$  نمادهای ثابت بولتزمن و عدد آووگادرو هستند. همه ثابت‌ها و متغیرهای دیگر در جای دیگر به تفصیل توضیح داده شده‌اند. [۳۰، ۳۳، ۳۴] نتایج برآزش ارزیابی شده برای ثابت‌ها در جدول ۳ با انحراف استاندارد مربوطه آورده شده است. تعمیم آرچر

جدول ۳ پارامترهای حاصل از برازش تعمیم آرچر مدل پیترز به همراه انحراف استاندارد آن‌ها.

Parameter	T= ۲۹۸/۱۵ K	T= ۳۰۸/۱۵ K	T= ۳۱۸/۱۵ K	T= ۳۲۸/۱۵ K
$\beta^{(0)}$	-۶/۷۹۵	-۳/۶۵۱	۰/۳۰۱	۰/۹۰۱
$\beta^{(1)}$	۱۲/۹۰۳	۶/۶۲۳	-۱/۲۶	-۲/۴۶
$\beta^{(2)}$	-۱۳/۲۶۲	-۱۸/۳۷۳	-۱۹/۴۴۹	-۲۶/۶۰۳
$C^{(0)}$	۲/۰۰۶	۱/۰۸۲	-۰/۱۰۱	-۰/۲۹۵
$C^{(1)}$	-۲۹۳/۴۷۵	-۱۹۳/۲۴۱	-۴۵/۹۹۲	-۲۲/۳۹۳
$\sigma$	۰/۰۱۷	۰/۰۱۳	۰/۰۱۲	۰/۰۰۶



شکل ۶ ضریب فعالیت میانگین مایع یونی در مقابل معکوس مولالیته مایع یونی در دماهای مختلف با تعمیم آرچر مدل پیترز

شکل کلی رابطه حالت را می‌توان با عبارت انرژی آزاد هلمهولتز با رابطه زیر نشان داد:

$$a = a^{hc} + a^{disp} + a^{assoc} + a^{dipole} + a^{ion} \quad (۸)$$

که در آن از hc و disp، اصطلاحاتی برای زنجیره سخت و پراکندگی استفاده می‌شود که در نسخه اصلی PC-SAFT آمده است [۲۰]. نماد assoc برای مشارکتی که از روابط اصلی SAFT استفاده می‌کند استفاده شد. [۳۵] در مورد سیستم‌های مورد مطالعه، از رویکرد 2B برای  $H_2O$  استفاده شد. [۳۶] dipole برای سهم قطبی (ممکن دوقطبی) اجزاء نمایش داده می‌شود [۳۷]. ion برای سهم الکترولیت و گونه‌های یونی در داخل محلول الکترولیت است [۲۳]. ضریب اسمزی را می‌توان با سری روابط زیر محاسبه کرد:

$$Z = 1 + \rho \left( \frac{\partial(a / K_B T)}{\partial \rho} \right) \quad (۹)$$

$$\frac{\mu_i}{K_B T} = \frac{a}{K_B T} + Z - 1 + \left( \frac{\partial(a / K_B T)}{\partial x_i} \right) - \sum_{k=1}^N x_k \left( \frac{\partial(a / K_B T)}{\partial x_k} \right) \quad (۱۰)$$

$$\ln \phi_i = \frac{\mu_i}{K_B T} - \ln Z \quad (۱۱)$$

$$\gamma_w = \frac{\phi_w x_w}{\phi_w^0} \quad (۱۲)$$

$$\phi = - \frac{\ln(x_w \gamma_w)}{10^{-3} M_w \sum_{i \neq w} \nu_i m_i} \quad (۱۳)$$

$\rho$  و  $Z$  به ترتیب چگالی عدد و ضریب تراکم‌پذیری هستند. همچنین،  $\mu_i$ ،  $\phi_i$ ،  $x_i$  و  $\nu_i$  به ترتیب پتانسیل شیمیایی، ضریب فوگاسیته، کسر مولی و تعداد گونه‌ها در هر حل شونده برای جزء  $i$  هستند. از شاخص  $w$  برای آب استفاده شد. ضریب فعالیت آب با  $\gamma_w$  و ضرایب فوگاسیته آب خالص و آب موجود در مخلوط در دمای معین به ترتیب با  $\phi_w^0$  و  $\phi_w$  نشان داده شده است.

داده‌ها و به‌دست آوردن پارامترهای یک ماده مورد استفاده قرار می‌گیرد که شامل داده‌های PVT و یا ضریب فعالیت میانگین حاصل از پتانسیومتری و یا اندازه‌گیری فشار بخار ماده خالص است (در مورد مایعات یونی تقریباً غیر ممکن است) که خارج از حیطه این مطالعه قرار دارند.

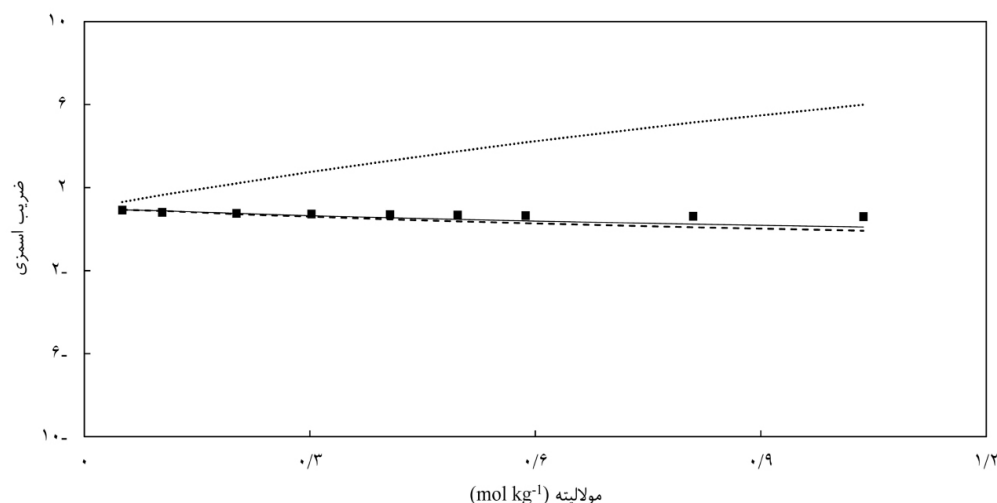
$$a = 2.7927 + 10.11 \exp(-0.01775T) - 1.417 \exp(-0.01146T) \quad (14)$$

نتایج پیش‌بینی ضریب اسمزی در یک ناحیه رقیق با PC-SAFT و PCP-SAFT (حاوی سهم قطبی) در شکل ۷ مقایسه شده است. روند تغییرات ضریب اسمزی با دما در PC-SAFT برخلاف نتایج تجربی است.

پارامترهای استفاده شده تعداد سگمان،  $m$ ، قطر سگمان،  $\sigma$ ، انرژی پراکندگی،  $\varepsilon/K_B$ ، انرژی تجمعی،  $\varepsilon^{A_i B_i}/K_B$ ، حجم تجمعی مؤثر،  $K^{A_i B_i}$  و گشتاور دوقطبی،  $\mu$  در جدول ۴ آورده شده است [۳۸]. این داده‌ها از طریق برازش داده‌های تجربی مانند دانسیته و ضریب فعالیت میانگین برای یون‌ها به‌دست می‌آید. برای این منظور بهترین گزینه استفاده از دانسیته در دما و فشار مختلف برای مایعات یونی است. از طرف دیگر برای مایع یونی مورد بررسی اطلاعات پارامترهای مدل در منابع موجود است [۲۶ و ۳۸]. از اطلاعات گزارش شده در جدول ۴ در محاسبات استفاده شده است. به‌طور کلی در مدل‌های مبتنی بر SAFT دو نوع داده برای برازش

جدول ۴ پارامترهای PC-SAFT آب و مایع یونی که در محاسبات استفاده شده است.

ترکیب	$m$	$\sigma$	$\varepsilon/K_B$	$\varepsilon^{A_i B_i}/K_B$	$K^{A_i B_i}$	$\mu$
		Å	K	K		D
PC-SAFT						
water	۱/۲۰۴۷	a	۳۵۳/۹۴۵	۲۴۲۵/۶۷	۰/۰۴۵۱	۱/۸۵۴۶
PC-SAFT						
[BMIM][SCN]	۱۰/۳۷۴۳	۳/۰۳	۲۴۶/۹۵	-	-	-
ePC-SAFT						
[BMIM] <sup>+</sup>	۲/۴۸۰۵	۳/۶۳۷	۲۱۸/۱۴۴	-	-	-
[SCN] <sup>-</sup>	۴/۵۴۷۹	۳/۳۵۷	۶۲۴/۲۴۳	-	-	-



شکل ۷ ضریب اسمزی تجربی در مقابل مولالیت [BMIM][SCN] در دمای ۲۹۸/۱۵ K (■) به همراه مقادیر پیش‌بینی شده از (—) PC-SAFT، (---) PCP-SAFT و (.....) ePC-SAFT

**جدول ۵** آورده شده است. نتایج نشان می‌دهد که ضریب اسمزی ممکن است انتخاب بهتری برای برآزش داده‌ها برای ارزیابی پارامترهای PC-SAFT باشد. این نتایج می‌تواند در پژوهش‌های شامل حذف آروماتیک‌ها از آب با روش‌های اسمزی مورد استفاده قرار گیرد که نمونه‌هایی از این قبیل در منابع مشاهده شده است [۳۹ و ۴۰].

در حالی که PC-SAFT در این مورد نتایج بهتری را نشان می‌دهد [۳۸]. نتایج به‌دست آمده از ePC-SAFT انحراف استاندارد بسیار بالاتری نشان می‌دهد که در مقایسه با دو مدل دیگر کارایی ضعیف‌تری دارد. برای مقایسه انحراف استاندارد برای هر یک از مدل‌ها در پیش‌بینی ضریب اسمزی محلول‌های مایع یونی مورد مطالعه در دماهای مورد بررسی در

**جدول ۵** انحراف استاندارد مدل‌های PC-SAFT، PC-SAFT و ePC-SAFT در دماهای مختلف و فشار ۸۷۲ hPa برای سیستم آبی ۱-بوتیل-۳-متیل ایمیدازولیوم تیوسیانات.

درصد انحراف نسبی				مدل
۳۲۸/۱۵ K	۳۱۸/۱۵ K	۳۰۸/۱۵ K	۲۹۸/۱۵ K	
۳/۷۹	۴/۱۰	۳/۹۶	۴/۳۲	PC-SAFT
۲/۲۰	۲/۳۵	۲/۶۸	۳/۱۳	PCP-SAFT
۱۴/۳۰	۱۴/۳۰	۱۴/۷۵	۱۴/۶۴	ePC-SAFT

### نتیجه‌گیری

ضریب اسمزی در رقت بی‌نهایت قابل قبول است. ضریب اسمزی [BMIM][SCN] آبی به‌صورت تجربی با استفاده از اسمومتری فشار بخار در دماها و فشارهای مختلف (۸۷۲ hPa) تعیین شد. یافته‌ها نشان می‌دهد که برهم‌کنش بین مایع یونی [BMIM][SCN] و آب با افزایش دما کاهش می‌یابد. یافته‌های این تحقیق برای روند و رفتار ضریب اسمزی مایع یونی [BMIM][SCN] با مایعات یونی با کاتیون مشابه و آنیون‌های برمید و تترافلوربورات در منابع مشابه است و با افزایش غلظت مایع یونی کاهش غیر خطی در ضریب اسمزی برای هر سه گونه مشاهده می‌شود.

ضریب اسمزی [BMIM][SCN] آبی به‌صورت تجربی با استفاده از اسمومتری فشار بخار در دماها و فشارهای مختلف (۸۷۲ hPa) تعیین شد. یافته‌ها نشان می‌دهد که برهم‌کنش بین مایع یونی [BMIM][SCN] و آب با افزایش دما کاهش می‌یابد. توسعه آرچر مدل پیتزر برای ارتباط موفقیت آمیز ضریب اسمزی تجربی استفاده شد. در نتیجه، از این مدل برای به‌دست آوردن میانگین ضریب فعالیت [BMIM][SCN] استفاده شد. همچنین برای سیستم‌های مورد مطالعه از مدل PC-SAFT استفاده شده است. نتایج PC-SAFT در پیش‌بینی

### مراجع

- [1]. Rahman M, Brazel C S (2006) Ionic liquids: New generation stable plasticizers for poly (vinyl chloride), Polymer Degradation and Stability, 91, 12: 3371-3382.
- [2]. Earle M J, Esperança J M, Gilea M A, Canongia Lopes J N, Rebelo L P, Magee J W, Widegren J A (2006) The distillation and volatility of ionic liquids, Nature, 439, 7078: 831-834.
- [3]. Matthias Maase, Peter Wasserscheid, Thomas Welton (2015) Industrial applications of ionic liquids, 1st edition, Springer., 1-386
- [4]. Brennecke J F, Maginn E J (2001) Ionic liquids: innovative fluids for chemical processing, American Institute of Chemical Engineers, AIChE Journal, 47, 11: 2384.
- [5]. Stevenson D G, Biswas A, Jane J L, Inglett G E (2007) Changes in structure and properties of starch of four botanical sources dispersed in the ionic liquid, 1-butyl-3-methylimidazolium chloride, Carbohydrate Polymers, 67, 1: 21-31.



- [6]. Toledo Hijo A A, Maximo G J, Costa M C, Batista E A, Meirelles A J (2016) Applications of ionic liquids in the food and bioproducts industries, *ACS Sustainable Chemistry and Engineering*, 4, 10: 5347-5369.
- [7]. Rogers R D, Seddon K R, Volkov S (Eds.) (2012) *Green industrial applications of ionic liquids*, Springer Science and Business Media, 92.
- [8]. Gutowski K E (2018) Industrial uses and applications of ionic liquids, *Physical Sciences Reviews*, 3: 5.
- [9]. Cvjetko M, Radošević K, Tomica A, Slivac I, Vorkapić-Furač J, Gaurina Srček V (2012) Cytotoxic effects of imidazolium ionic liquids on fish and human cell lines, *Arhiv za Higijenu Rada i Toksikologiju*, 63: 15–20.
- [10]. Ma Z, Yu J, Dai S (2010) Preparation of inorganic materials using ionic liquids, *Advanced Materials*, 22, 2: 261-285.
- [11]. Berthod A, Ruiz-Angel M J, Carda-Broch S (2008) Ionic liquids in separation techniques, *Journal of Chromatography A*, 1184, 1-2: 6-18.
- [12]. Holbrey J D, López-Martin I, Rothenberg G, Seddon K R, Silvero G, Zheng X (2008) Desulfurisation of oils using ionic liquids: Selection of cationic and anionic components to enhance extraction efficiency, *Green Chemistry*, 10: 87–92 .
- [13]. Gonfa G, Buštam M A, Muhammad N, Ullah S (2017) Effect of task specific thiocyanate based ionic liquids on relative volatility of cyclohexane and benzene azeotropic mixture, *Journal of Molecular Liquids*, 238: 208–14.
- [14]. Gonfa G, Ismail M, Buštam M A (2017) Benzene and cyclohexane separation using 1-butyl-3-methylimidazolium thiocyanate, *AIP Conference Proceedings*, American Institute of Physics Inc., 1877, 1: 020005, <https://doi.org/10.1063/1.4999855>.
- [15]. Gonzalez García E, Ressmann A K, Gaertner P, Zirbs R, Mach R L, Krska R, Bica K, Brunner K (2014) Direct extraction of genomic DNA from maize with aqueous ionic liquid buffer systems for applications in genetically modified organisms analysis, *Springer*, 406: 7773–84, <https://doi.org/10.1063/1.4999855>.
- [16]. Zhang B, Xie F, Shamshina J L, Rogers R D, McNally T, Halley P J, Truss R W, Chen L, Zhao S (2017) Dissolution of starch with aqueous ionic liquid under ambient conditions, *ACS Sustainable Chemistry and Engineering*, 5, 5: 3737-3741, <https://doi.org/10.1021/acssuschemeng.7b00784>.
- [17]. Chen R, Hempelmann R (2016) Ionic liquid-mediated aqueous redox flow batteries for high voltage applications, *Electrochemistry Communications*, 70: 56-59, <https://doi.org/10.1016/j.elecom.2016.07.003>.
- [18]. Li Z, Pei Y, Wang H, Fan J, Wang J (2010) Ionic liquid-based aqueous two-phase systems and their applications in green separation processes, *TrAC Trends in Analytical Chemistry*, 29, 11: 1336-1346, <https://doi.org/10.1016/j.trac.2010.07.014>.
- [19]. Li Z, Liu X, Pei Y, Wang J, chemistry M H G (2012) Design of environmentally friendly ionic liquid aqueous two-phase systems for the efficient and high activity extraction of proteins, *Green Chemistry*, 10, doi.org/10.1039/C2GC35890E.
- [20]. Gross J, Sadowski G (2001) Perturbed-chain SAFT: An equation of state based on a perturbation theory for chain molecules, *Industrial and Engineering Chemistry Research*, 40, 4: 1244-1260, doi.org/10.1021/ie0003887.
- [21]. Gross J, Sadowski G (2001) Perturbed-chain SAFT: An equation of state based on a perturbation theory for chain molecules, *Industrial and Engineering Chemistry Research*, 40, 4: 1244-1260, doi.org/10.1021/ie0003887.
- [22]. Gross J, Sadowski G (2002) Modeling polymer systems using the perturbed-chain statistical associating fluid theory equation of state, *Industrial and Engineering Chemistry Research*, 41, 5: 1084-1093, <https://doi.org/10.1021/ie010449g>.
- [23]. Cameretti L F, Sadowski G, Mollerup J M (2005) Modeling of aqueous electrolyte solutions with perturbed-chain statistical associated fluid theory, *Industrial and Engineering Chemistry Research*, 44, 9: 3355-3362, <https://doi.org/10.1021/ie0488142>.
- [24]. Ji X, Held C, Equilibria GS-FP (2014) Modeling imidazolium-based ionic liquids with ePC-SAFT. Part II. Application to H<sub>2</sub>S and synthesis-gas components, *Elsevier*, 335: 64-73, <https://doi.org/10.1016/j.fluid.2012.05.029>.
- [25]. Ji X, Held C, Sadowski G (2012) Modeling imidazolium-based ionic liquids with ePC-SAFT, *Fluid Phase Equilibria*, Elsevier, 335, 64-73, <https://doi.org/10.1016/j.fluid.2012.05.029>.
- [26]. Xiaoyan Ji (2016) Christoph Held, Modeling the density of ionic liquids with ePC-SAFT, *Fluid Phase Equilibria*, 410: 9-26, <https://doi.org/10.1016/j.fluid.2015.11.014>.
- [27]. Sun Y, Schemann A, Held C, Lu X, Shen G, Ji X (2019) Modeling thermodynamic derivative properties and gas solubility of ionic liquids with ePC-SAFT, *Industrial and Engineering Chemistry Research*, 58, 19: 8401-8417, <https://doi.org/10.1021/acs.iecr.9b00254>.
- [28]. Shekaari H, Zafarani Moattar M T, Golmohammadi B (2020) Thermodynamic and transport properties of ionic liquids, 1-alkyl-3-methylimidazolium thiocyanate in the aqueous lithium halides solutions, *The Journal of Chemical Thermodynamics*, 141: 105953, <https://doi.org/10.1016/j.jct.2019.105953>.

- [29]. Clarke E C W, Glew D N (1985) Evaluation of the thermodynamic functions for aqueous sodium chloride from equilibrium and calorimetric measurements below 154 C. *Journal of Physical and Chemical Reference Data*, 14, 2: 489-610, <https://doi.org/10.1063/1.555730>.
- [30]. Shekaari H, Zafarani-Moattar M T (2007) Osmotic coefficients of some imidazolium based ionic liquids in water and acetonitrile at temperature, 318.15 K. *Fluid Phase Equilibria*, 254, 1-2: 198-203, <https://doi.org/10.1016/j.fluid.2007.03.019>.
- [31]. Amado E, Blanco L H (2004) Osmotic and activity coefficients of aqueous solutions of KCl at temperatures of 283.15, 288.15, 293.15 and 298.15 K: A new isopiestic apparatus, *Fluid Phase Equilibria*, 226: 261-265, <https://doi.org/10.1016/j.fluid.2003.08.007>.
- [32]. Nasirzadeh K, Neueder R, Kunz W (2005) Vapor pressures and osmotic coefficients of aqueous LiOH solutions at temperatures ranging from 298.15 to 363.15 K, *Industrial and Engineering Chemistry Research*, 44: 3807-14, <https://doi.org/10.1021/ie0489148>.
- [33]. Nasirzadeh K, Neueder R, Kunz W (2004) Vapor pressures, osmotic and activity coefficients for (LiBr + acetonitrile) between the temperatures (298.15 and 343.15) K, *Journal of Chemical Thermodynamics*, 36: 511-7, <https://doi.org/10.1016/j.jct.2004.03.007>.
- [34]. González B, Calvar N, Domínguez Á, Macedo E A (2008) Osmotic coefficients of aqueous solutions of four ionic liquids at T = (313.15 and 333.15) K, *Journal of Chemical Thermodynamics*, 40: 1346-51, <https://doi.org/10.1016/j.jct.2008.05.011>.
- [35]. Chapman W G, Gubbins K E, Jackson G, Radosz M (1990) New reference equation of state for associating liquids. *Industrial and Engineering Chemistry Research*, 29, 8: 1709-1721, <https://doi.org/10.1021/ie00104a021>.
- [36]. Huang S H, Radosz M (1991) Equation of state for small, large, polydisperse, and associating molecules: extension to fluid mixtures, *Industrial and Engineering Chemistry Research*, 30, 8: 1994-2005, <https://doi.org/10.1021/ie00056a050>.
- [37]. Held C, Sadowski G, Carneiro A, Rodríguez O, Macedo E A (2013) Modeling thermodynamic properties of aqueous single-solute and multi-solute sugar solutions with PC-SAFT, *AIChE Journal*, 59, 12: 4794-4805, <https://doi.org/10.1002/aic.14212>.
- [38]. Passos H, Khan I, Mutelet F, Oliveira M B, Carvalho P J, Santos L M, Coutinho J A (2014) Vapor-liquid equilibria of water+ alkylimidazolium-based ionic liquids: Measurements and perturbed-chain statistical associating fluid theory modeling, *Industrial and Engineering Chemistry Research*, 53, 9: 3737-3748, <https://doi.org/10.1021/ie4041093>.

# مدل سازی ژئومکانیکی و انتخاب لایه کاندید شکست هیدرولیکی در یک مخزن فشرده در جنوب غربی ایران- مطالعه موردی

فرهاد عاصمی<sup>۱\*</sup>، افشین زهدی<sup>۲</sup> و محمد صبور ملکی<sup>۳</sup>

۱- گروه مهندسی عمران، ژئوتکنیک، دانشکده فنی و مهندسی، دانشگاه خوارزمی، تهران، ایران

۲- دانشکده زمین شناسی، دانشگاه زنجان، ایران

۳- گروه مطالعات مخازن، پردیس توسعه صنایع بالادستی، پژوهشگاه صنعت نفت، تهران، ایران

تاریخ دریافت: ۱۴۰۱/۰۱/۱۵ تاریخ پذیرش: ۱۴۰۱/۰۸/۱۱

## چکیده

در این تحقیق، به بررسی پتانسیل شکست هیدرولیکی در مخزن بنگستان یکی از میادین بزرگ، واقع در جنوب غرب ایران پرداخته شده است. مخزن از نوع مخازن فشرده بوده و شکاف های طبیعی نیز دارد. شکاف زنی هیدرولیکی به عنوان یکی از استراتژی های توسعه این مخزن مطرح است. لذا لازم است به منظور ارزیابی عملیات شکست هیدرولیکی و اثر بخشی این روش در بهبود تولید مخزن، خواص ژئومکانیکی آن تعیین گردد. برای این منظور در این پژوهش در ابتدا مدل یک بعدی ژئومکانیکی مخزن ایجاد شد. برای مدل ژئومکانیکی از اطلاعات موجود برای چاه های میدان نفتی مورد مطالعه و روابط تجربی و ریاضی موجود استفاده گردید. با تعیین پارامترهای ژئومکانیکی مورد نیاز، در مرحله دوم تحقیق به منظور تعیین لایه کاندید برای عملیات شکست هیدرولیکی دارا بودن ۱- میزان تخلخل مناسب، ۲- تنش بر جای کم، ۳- میزان اشباع آب کم، ۴- مقاومت فشاری تک محوری کم و ۵- اختلاف زیاد میان تنش های افقی حداقل و حداکثر به عنوان معیار لایه کاندید تعیین گردید. براساس نتایج حاصله لایه ۳ مخزن به عنوان لایه هدف جهت انجام عملیات شکست هیدرولیکی پیشنهاد گردید.

**کلمات کلیدی:** شکست هیدرولیکی، مدل سازی ژئومکانیکی، انتخاب لایه کاندید، تنش برجا، مخزن فشرده

## مقدمه

شکستگی است. مخازن نفت و گاز با بهره وری پایین معمولاً نیاز به شکست هیدرولیکی جهت اقتصادی بودن دارند [۱-۲]. با اینکه بیش از ۷۰ سال از انجام موفق این عملیات می گذرد، با این حال شرکت های نفتی ایرانی گام های اولیه ای برای انجام این عملیات در میادین نفتی کشور برداشته اند. دو شرکت نفتی عملیات شکست هیدرولیکی را در یکی

شکاف زنی هیدرولیکی عملیاتی فنی برای تحریک چاه و افزایش تولید چاه های نفت و گاز است. این فرآیند شامل تزریق سیالات مختلف به سازند با فشار کافی جهت شکست کششی سنگ و انتشار

\*مسئول مکاتبات  
آدرس الکترونیکی

farhad.asemi@khu.ac.ir

شناسه دیجیتال: (DOI:10.22078/PR.2022.4771.3142)

در صورتی که به طور هیدرولیکی شکاف زنی شوند، قادرند به صورت اقتصادی تولید کنند. در میادین داخل کشور چندین مطالعه جهت انتخاب چاه کاندید صورت گرفته است [۵]. شادی زاده و همکاران چهار چاه در مخزن بنگستان میدان اهواز را مورد بررسی قرار دادند تا لایه های کاندید برای عملیات شکست هیدرولیکی را در این چاه ها تعیین کنند. در این مطالعه، خواص مکانیکی سنگ، تخلخل، اشباع آب و مقدار تنش افقی حداقل به عنوان مهم ترین معیارها در نظر گرفته شد و لایه های C1 و C2 در سازند ایلام و لایه های E1 و E2 در سازند سروک به عنوان گزینه های مناسب برای انجام عملیات شکست هیدرولیکی معرفی شدند [۶]. مطالعه دیگری توسط حیدرآبادی و همکاران بر روی دو چاه در یکی از میادین خاورمیانه انجام شد تا چاه مناسب برای عملیات شکاف زنی انتخاب شود. در این مطالعه تراوایی مخزن، ضریب پوسته، تاریخچه تولید چاه، حجم نفت و یا گاز درجا، اشباع هیدروکربور، فشار مخزن و محدودسازی شکاف به عنوان مهم ترین پارامترها برای انتخاب چاه کاندید معرفی شده است. همچنین، مدل هایی از چاه در حالت قبل از شکاف زنی و بعد از شکاف زنی ساخته شد که وضعیت بهبود نمودار عملکرد جریان و تغییرات بهره دهی چاه ها در اثر شکاف زنی را نشان می دهند. این امر به فرآیند انتخاب کاندید کمک می کند، به این صورت که عملیاتی که بهره دهی چاه را به طور جزئی بهبود بخشد، پیشنهاد نشده است و چاه مورد نظر کاندید مناسبی برای انجام عملیات نیست. این معیارها در دو چاه که در سازند کربناته حفر شده اند مورد بررسی قرار گرفته اند و در نهایت چاه مناسب برای انجام عملیات تعیین شده است [۷]. اولین مرحله به منظور انجام عملیات شکست هیدرولیکی انتخاب بهترین لایه ها و چاه ها با دقت بالا براساس مجموعه ای از معیارها است. انتخاب لایه کاندید مناسب نقش محوری در دستیابی به هدف مورد نظر ایفا می کند.

از میادین بزرگ نفتی جنوب غربی ایران (میدان اهواز) تجربه کرده اند. اما متأسفانه پارامترهای طراحی، نتایج به دست آمده و علل ناموفق بودن این عملیات هنوز منتشر نشده است [۳]. به طور کلی، نبود اطلاعات و داده های مربوط به خواص مکانیکی سنگ، تنش های برجا و به ویژه عدم توجه به مطالعه انتخاب چاه و لایه کاندید از دلایل اصلی عدم موفقیت گسترده این عملیات در ایران است. با فن آوری موجود تنها می توان ۲۰ تا ۲۵٪ از نفت برجای اولیه مخازن شکاف دار ایران را استخراج کرد که این مقدار ۱۰٪ از میانگین جهانی آن کمتر است. تخمین زده شده است که سالانه به دلیل افت فشار طبیعی مخزن چیزی در حدود ۲۰۰ تا ۲۵۰ هزار بشکه در روز نفت خام از دست می رود. در واقع، دبی تولید و شکاف های طبیعی موجود در اکثر مخازن کربناته ایران دلیل اصلی بی توجهی به این روش ازدیاد برداشت شده است. مطالعه تجربه شکست هیدرولیکی در دنیا نشان می دهد که موفقیت این عملیات به طور مستقیم به انتخاب چاه و لایه کاندید وابسته است و برای اینکه عملیات با موفقیت در ایران انجام شود باید مطالعات دقیق ژئومکانیکی، آزمایش های یکپارچگی چاه مانند آزمایش نشت، آزمایش ریزشکاف، آزمایش کالیبراسیون و... انجام شود [۴]. به منظور اجرای موفق عملیات شکاف زنی هیدرولیکی، انتخاب اولین چاه و لایه کاندید از اهمیت خاصی برخوردار است. به طور کلی در صنعت نفت شناسایی بهترین چاه های کاندید برای عملیات های مختلف فرآیندی متداول است. در فرآیند انتخاب چاه کاندید برای شکست هیدرولیکی، هدف انتخاب یک یا گروهی از چاه ها و یا لایه ها برای عملیات است که بیشترین احتمال موفقیت را دارند. نتایج نشان داده است که اگر انتخاب چاه کاندید به خوبی انجام شود، افزایش تولید، مخصوصاً در چاه هایی که ضریب پوسته بالا و تراوایی کمی دارند، می تواند چشم گیر باشد. بیشتر مخازن کربناته دارای تراوایی کم هستند، بنابراین تنها

به‌طوری‌که هر گونه تلاش برای اجرای این عملیات بدون انجام مطالعات جامع در این زمینه با شکست مواجه می‌شود [۸].

هاشمی و همکاران بیان کردند که در مورد سنگ‌های کربناته دو خطر خاص وجود دارد؛ خطر اول ایجاد شکاف چندگانه به‌دلیل ناهمگنی طبیعی و وجود درزه و شکاف‌های طبیعی موجود در این سنگ‌ها است و دیگری احتمال وقوع پدیده انسداد شکاف به‌دلیل مدول یانگ بالای سازند است. به‌نظر می‌رسد که در مورد سنگ‌های کربناته ایران، لایه‌هایی که پتانسیل کافی برای تولید دارند و دور از سطح تماس آب - نفت هستند، گزینه‌های مناسبی باشند. همچنین به‌منظور جلوگیری از توسعه شکاف چندگانه، ضخامت لایه باید به‌خوبی انتخاب شود. علاوه‌بر این، محدودسازی شکاف که در اثر اختلاف تنش بین لایه هدف و لایه‌های بالایی و پایینی ایجاد می‌شود نیز باید در نظر گرفته شود [۹]. لازم به ذکر است که معمولاً برای تعیین سطح تماس نفت-آب (O.W.C) و محاسبه اشباع‌شدگی آب از چاه نگارهای مقاومت ویژه و تخلخل استفاده می‌شود. با توجه به ادبیات تحقیق، به‌منظور تعیین لایه مناسب جهت انجام عملیات شکست هیدرولیکی دو نوع لایه بایستی مورد بررسی قرار گیرد؛ (الف) لایه‌های هدف و (ب) لایه‌های مانع. هر یک از ویژگی‌های زیر را می‌توان در تعیین لایه هدف برای شکست هیدرولیکی مورد نظر قرار داد:

الف- میزان تخلخل مناسب

ب- تنش برجای کم

ج- میزان اشباع آب کم

د- مقاومت فشاری تک محوره کم

ه- اختلاف میان تنش‌های افقی حداقل و حداکثر.

تغییر تنش بین لایه تولیدی و لایه مجاور نیز اهمیت دارد. همچنین، مشخصات لایه هدف و لایه‌های مانع (مجاور) نقشی حیاتی در انتخاب لایه دارند زیرا اگر لایه‌های مجاور ضعیف باشند، باعث انتشار شکستگی به آنها شده و احتمال ایجاد

مشکل تولید آب زیاد می‌شود. به‌علاوه، باید توجه داشت که اختلاف بین تنش افقی بیشینه و کمینه نیز عاملی حیاتی است که حتی یک تفاوت کوچک بین این دو تنش برخی مشکلات را در کنترل جهت تنش ایجاد می‌کند. به‌عبارتی دیگر، اگر اختلاف بین این دو خیلی کم باشد، کنترل جهت ایجاد شکاف مشکل بوده و نمی‌توان در جهت دلخواه شکاف ایجاد کرد. باید توجه داشت که در طراحی عملیات شکافت هیدرولیکی پس از تعیین لایه مناسب، نیاز به انتخاب سیال و مواد پرکننده<sup>۱</sup> مناسب با توجه به شرایط مخزن و به‌دست آوردن نرخ تزریق مناسب با توجه به رئولوژی سیال است. همچنین در لایه‌های با نفوذپذیری پایین (مخازن فشرده) شکستگی بایستی به گونه‌ای طراحی شود که حداکثر طول شکست به‌دست آید. عامل کنترل کننده طول شکست این است که شکستگی نباید از لایه مانع عبور کند. با کنترل هرزروی سیال در شکستگی‌های عمودی که توسط لایه مانع محدود می‌شود، شکستگی‌ها به‌صورت طولی گسترش می‌یابند. بنابراین طول شکستگی افزایش می‌یابد [۱۰]. با توجه به آنچه بیان شد، در این تحقیق به‌منظور تعیین لایه کاندید در مخزن بنگستان میدان مورد مطالعه، در ابتدا لازم است یک مدل ژئومکانیکی از مخزن نفتی مورد مطالعه ساخته شود و پارامترهای مؤثر بر انتخاب لایه کاندید و عملیات شکست هیدرولیکی تعیین گردد. مدل ژئومکانیکی یک نمایش عددی از وضعیت تنش‌های برجا و خواص مکانیکی لایه‌های زمین در یک چاه است. در ادامه با ارزیابی معیارهای موجود، لایه کاندید در مخزن مورد نظر تعیین گردید.

## زمین‌شناسی و شرایط مخزن بنگستان میدان مورد مطالعه

کمربند چین‌خورده رورانده زاگرس در ایران بخشی از کمربند کوه‌زایی آلپ-هیمالیا است که در حاشیه

1. Proppant



از آهک خالص (سازند گورپی، سروک و بخش‌های بالایی و میانی سازند ایلام)، دولومیت آهکی، آهک رسی و ماسه‌آهکی همراه با درصد خیلی جزئی شیل (قاعده سازند ایلام) تشکیل شده است. مخزن مورد مطالعه، یک مخزن فشرده‌ی نفتی با تراوایی بسیار پایین و از نوع مخازن شکافدار طبیعی است. جهت تقسیم‌بندی این مخزن، با توجه به یکنواخت بودن ترکیب سنگ‌شناسی، از خواص سنگ مخزن مانند تغییرات میزان تخلخل و نیز وجود یا عدم وجود هیدروکربور استفاده شده است. بر همین مبنا این مخزن به ۹ لایه تقسیم شده است. لایه ۱، دربرگیرنده سازند ایلام بوده و بقیه لایه‌ها در سازند سروک قرار دارند. در **جدول ۱** اطلاعات پتروفیزیکی تخلخل و تراوایی هر یک از لایه‌های این مخزن ارائه شده است. در این تحقیق از داده‌های چاه‌نگار برای تعیین تخلخل و تراوایی لایه‌ها استفاده شده است.

#### لایه یک

ضخامت میانگین این لایه که شامل سازند ایلام است، حدود ۲۶/۶ m است. در این لایه، به‌دلیل کم بودن نسبت سنگ‌های مفید به کل سنگ‌ها، از لحاظ تولید هیدروکربور ضعیف به‌نظر می‌رسد.

#### لایه دو

این لایه که بالاترین بخش سازند سروک را تشکیل می‌دهد. میانگین ضخامت این لایه حدود ۵۷/۹ m است. با توجه به اطلاعات پتروفیزیکی این لایه از لحاظ تولید نفت، بعد از لایه ۳ در رتبه دوم گروه بنگستان قرار دارد.

#### لایه سه

میانگین ضخامت این لایه حدود ۳۳/۵ m است. این لایه بهترین لایه تولیدی مخزن بنگستان به‌حساب می‌آید. وجود قطعات فسیلی رودیست<sup>۱</sup> در این لایه باعث بالا رفتن تخلخل و کیفیت مخزنی شده است.

#### لایه چهار

ضخامت میانگین این لایه حدود ۱۰۷/۷ m است.

شمال خاوری صفحه عربی با راستای شمال باختری- جنوب خاوری از ترکیه تا تنگه هرمز به طول بیشتر از ۲۰۰۰ km گسترش یافته است این کمربند کوه‌زایی نتیجه برخورد بین صفحه قاره ای عربستان و بلوک ایران است [۱۱]. سه پدیده مهم ساختاری حدود فروافتادگی دزفول را تعیین می‌کنند. در شمال منطقه خمشی بالارود با جهت خاوری- باختری، در شمال خاوری، منطقه خمشی پیشانی کوهستان که راستایی شمال باختری- جنوب خاوری دارد و در خاور و جنوب خاوری یک منطقه پیچیده خمشی و گسلی با امتدادی شمالی- جنوبی منطقه خمشی گسلی کازرون قرار دارد [۱۲]. فرو افتادگی دزفول در جنوب باختری زاگرس بیشتر میدان‌های نفتی (تاقدیسی) ایران را در بر می‌گیرد. وضعیت لایه‌بندی در این تاقدیس‌ها دارای شکستگی‌های فراوان حاصل از چین‌خوردگی نئوژن زاگرس است که باعث افزایش کیفیت مخزن شده است. از کرتاسه تا میوسن در کمربند چین خورده زاگرس مخازن نفتی زیادی به‌ویژه در بخش فروافتادگی دزفول می‌توان تشخیص داد که اصلی‌ترین این مخازن شامل مخازن کربنات‌های الیگوسن- میوسن آسماری و آهک‌های کرتاسه میانی گروه بنگستان و ژوراسیک-کرتاسه گروه خامی هستند [۱۳]. میدان مورد مطالعه به‌عنوان یکی از بزرگ‌ترین و قدیمی‌ترین میداین نفتی و گازی ایران، نقش مهمی در تولید روزانه نفت و گاز دارد. این میدان در جنوب غربی ایران و نزدیکی شهرستان اهواز و در حاشیه‌ی شرقی فروافتادگی دزفول واقع شده و از آخرین تاقدیس‌های کشیده و نامتقارن کمربند چین‌خورده زاگرس محسوب می‌شود. نفت حاصله از این میدان مربوط به مخازن آسماری و بنگستان است. این میدان همچنین دارای پتانسیل تولید گاز از سازندهای کربناته گروه خامی است. افق مخزنی بنگستان به‌عنوان یکی از مخازن نامتعارف فشرده عمدتاً از سنگ‌های کربناته و به‌ویژه سنگ آهک تشکیل شده است. سنگ‌شناسی این مخزن عمدتاً



جدول ۱ ضخامت، تخلخل، تراوایی و میزان اشباع آب متوسط هر لایه از مخزن

$S_w$	متوسط ویژگی‌های شکستگی				متوسط ویژگی‌های ماتریکس		ضخامت (m)	لایه
	نفوذپذیری ( $K_z$ ) (Unit: mD)	نفوذپذیری ( $K_y$ ) (Unit: mD)	نفوذپذیری ( $K_x$ ) (Unit: mD)	تخلخل	نفوذپذیری ( $K_x=K_y=K_z$ ) (Unit: mD)	تخلخل		
۶۳/۶	۹۲/۶۱	۲۲۱/۹۶	۲۲۲/۳۵	۰/۰۰۱	۰/۲۱۷۸	۰/۰۵۷	۲۶/۶	۱
۳۷/۸	۹۳/۸۹	۲۱۸/۶۹	۲۱۹/۱۳		۰/۱۵۸	۰/۰۵۱۹	۵۷/۹	۲
۳۰/۶	۹۳/۷۹	۲۱۸/۶۹	۲۱۹/۲۷		۰/۱۲	۰/۰۴۷۵	۳۳/۵	۳
۴۵/۱	۹۳/۶	۲۱۷/۱۵	۲۱۸/۰۹		۰/۰۶۴۱	۰/۰۲۶۴	۱۰۷/۷	۴
۵۸/۴	۹۳/۱۳	۲۱۵/۶۳	۲۱۷/۴۸		۰/۰۵۸	۰/۰۲۲۵	۸۶/۳	۵
۴۷/۸	۹۳/۱۱	۲۱۵/۶۳	۲۱۷/۲		۰/۱	۰/۰۳۸۷	۶۶/۶	۶
۴۰/۲	۹۳/۰۷	۲۱۵/۵۳	۲۱۷/۴۳		۰/۱	۰/۰۴۰۲	۷۸/۳	۷
۲۷/۴	۹۳/۱۷	۲۱۶/۷۳	۲۱۸/۵۱		۰/۰۸۴	۰/۰۳۴۶	۱۰۲/۳	۸
۳۲/۴	۹۱/۹۴	۱۸۷/۴	۱۸۹/۰۶		۰/۰۶۵	۰/۰۲۵۸	۷۷/۶	۹

لایه در بین سایر لایه‌های این مخزن پایین‌ترین کیفیت مخزنی از لحاظ تولید نفت را دارا است. اطلاعات ضخامت، تراوایی و تخلخل برای هر یک از لایه‌ها در **جدول ۱** ارائه شده است.

### پیش‌بینی مدل ژئومکانیکی یک بعدی

اولین و بهترین روش افزایش بهره‌روی در مخازن غیرمتعارف با نفوذپذیری پایین شکست هیدرولیکی است. موفقیت پروژه‌های شکست هیدرولیکی به‌شدت به مدل ژئومکانیکی مخزن بستگی دارد [۱۸]. یک مدل جامع ژئومکانیکی مخزن شامل وضعیت تنش و فشار منفذ به‌صورت تابعی از عمق، خصوصیات سنگ از جمله پارامترهای مرتبط با تغییر شکل سنگ شامل مدول‌های الاستیک و پارامترهای مقاومتی سنگ مانند مقاومت فشاری تک محوری، مقاومت کششی و زاویه اصطکاک داخلی سنگ است. دستیابی به چنین اطلاعات کاملی همیشه آسان نیست. لذا ساخت مدل ژئومکانیکی مخازن همواره با عدم قطعیت همراه است.

این لایه مطابق اطلاعات پتروفیزیکی در **جدول ۱**، از تخلخل پایینی برخوردار است.

### لایه پنج

ضخامت این لایه به‌طور متوسط  $86/3$  m است. متوسط تخلخل کل این لایه نسبت به سایر لایه‌ها در پایین‌ترین حد قرار دارد. این لایه از توان تولید نفت بسیار پایینی برخوردار است و در مقایسه با سایر لایه‌ها بعد از لایه ۹ ضعیف‌ترین لایه تولیدی مخزن بنگستان است.

### لایه شش

ضخامت میانگین این لایه حدود  $66/6$  m است.

### لایه هفت

ضخامت این لایه حدود  $78/3$  m است. اطلاعات پتروفیزیکی تخلخل و تراوایی این لایه در **جدول ۱** ارائه شده است. میزان تخلخل این لایه عدد پایینی برای یک لایه خوب به حساب می‌آید.

### لایه هشت

ضخامت میانگین این لایه حدود  $102/3$  m است. این لایه از لحاظ توان تولید نفت به‌عنوان لایه تولیدی نسبتاً خوب محسوب می‌شود.

### لایه نه

ضخامت این لایه به‌طور متوسط  $77/6$  m است. این

لایه های مخزن پارامترهای دیگر تخمین زده شدند. از آنجایی که تعیین سرعت موج برشی و فشاری در به دست آوردن دید روشن تر از مخزن و در نتیجه اتخاذ تصمیم های درست در فازهای مختلف اکتشاف و تولید نقش کلیدی دارد، اندازه گیری این پارامترها در مخزن می تواند کمک قابل توجهی به مطالعات ژئومکانیکی نماید [۲۰-۲۱]. با این حال استفاده از روابط تجربی در این خصوص می تواند راه گشا باشد. در جدول ۲ پارامترهای مقاومت فشاری تک محوری، زاویه اصطکاک داخلی، سرعت عبور موج فشاری و برشی، چسبندگی و مدول الاستیسیته در میدان مورد مطالعه ارائه شده است.

#### تعیین جهت و مقدار تنش های برجا

#### محاسبه فشار منفذی در مخزن مورد مطالعه

از آنجایی که گرادیان فشار منفذی در سازندهای هیدروکربنی در حدود ۰/۳۵ psi/ft است.

بر این اساس لازم است داده های مورد نیاز از اطلاعات موجود تخمین زده شوند تا شرایط شبیه سازی به شرایط واقعی مخزن نزدیک باشد. از آنجایی که مشخصات لایه ای که قرار است عملیات شکست هیدرولیکی در آن انجام شود، در موفقیت آمیز بودن عملیات نقش مستقیم دارد، با استفاده از اطلاعات موجود و نتایج به دست آمده از این بخش سعی خواهد شد، لایه یا لایه های مناسب برای عملیات شکست هیدرولیکی انتخاب شود.

#### تخمین خواص ژئومکانیکی مخزن مورد مطالعه

در میدان مورد مطالعه با تکیه بر نتایج موجود و با استفاده از روابط تجربی پارامترهای مهم در تعیین لایه کاندید جهت انجام عملیات شکست هیدرولیکی تعیین شد. در تعیین این پارامترها با توجه به داده های چاه نگارهای تخلخل و چگالی از

جدول ۲ تخمین پارامترهای ژئومکانیکی در مخزن مورد مطالعه

E (GPa)	C (MPa)	$V_s$ (km/s)	$V_p$ (km/s)	زاویه اصطکاک داخلی (°)	UCS	تخلخل	
$E = 10.67V_p - 18.71$	$C = \frac{5(V_p - 1)}{\sqrt{V_p}}$	$V_s (km/s) = \frac{V_p}{1.9}$	$\sigma_v = 31.5V_p - 63.7$	$49.03 - 12.6\phi$	$143.8 \exp(-6.95\phi)$	$\phi$	
[۱۶]	[۱۹]	[۱۷]	[۱۶]	[۱۵]	[۱۴]	-	مرجع لایه
۳۵/۶۴	۹/۰۷	۲/۶۸۱	۵/۰۹۴	۴۸/۳	۹۶/۷۶	۰/۰۵۷	۱
۳۶/۸۳	۹/۲۲	۲/۷۳۹	۵/۲۰۵	۴۸/۳۸	۱۰۰/۲۶	۰/۰۵۱۹	۲
۳۷/۸۸	۹/۳۴	۲/۷۹۱	۵/۳۰۴	۴۸/۴۳	۱۰۳/۳۷	۰/۰۴۷۵	۳
۴۳/۴۱	۹/۹۹	۳/۰۶۴	۵/۸۲۲	۴۸/۷	۱۱۹/۶۹	۰/۰۲۶۴	۴
۴۴/۵۳	۱۰/۱۲	۳/۱۱۹	۵/۹۲۶	۴۸/۷۵	۱۲۲/۹۸	۰/۰۲۲۵	۵
۴۰/۰۹	۹/۶۱	۲/۹۰۰	۵/۵۱۱	۴۸/۵۴	۱۰۹/۸۹	۰/۰۳۸۷	۶
۳۹/۷۰	۹/۵۶	۲/۸۸۱	۵/۴۷۵	۴۸/۵۲	۱۰۸/۷۵	۰/۰۴۰۲	۷
۴۱/۱۷	۹/۷۳	۲/۹۵۳	۵/۶۱۲	۴۸/۵۹	۱۱۳/۰۶	۰/۰۳۴۶	۸
۴۳/۵۸	۱۰/۰۱	۳/۰۷۳	۵/۸۳۸	۴۸/۷۰	۱۲۰/۱۹	۰/۰۲۵۸	۹

\* در جدول فوق  $\phi$  تخلخل،  $V_p$  سرعت موج فشاری،  $V_s$  سرعت موج برشی،  $c$  چسبندگی و  $E$  مدول الاستیسیته است.

تنش اصلی حداقل  $S_{hmin}$  مورد استفاده قرار گرفت [۲۳].

$$S_{hmin} = \left( \frac{v}{1-v} \right) (S_v - P_p) + P_p \quad (۱)$$

محاسبه تنش افقی حداکثر

با توجه به رابطه اکونومیدس و نولته و آگاهی از مقادیر تنش برجای افقی حداقل و فشار منفذی، تنش فشاری حداکثر برای مخزن مورد مطالعه تعیین گردید (رابطه ۲) [۲۴].

$$S_{Hmax} = 3S_{hmin} - 2P_p + 0.1(S_{hmin} - P_p) \quad (۲)$$

در جدول ۳ مقادیر تنش‌های برجای تعیین شده در مخزن مورد مطالعه ارائه شده است.

تحلیل میدان تنش

پروفیل تنش و میزان اختلاف تنش‌های برجا در لایه‌های مختلف کاربرد بسیار مهمی در تعیین نحوه انتشار و هندسه شکستگی‌های ایجاد شده طی یک فرآیند شکافت هیدرولیکی دارد. با توجه به نتایج به‌دست آمده از تخمین مقادیر تنش‌های برجا در میدان مورد مطالعه، تنش بزرگتر برابر تنش روباره، تنش میانی برابر تنش افقی حداکثر و تنش کوچکتر برابر تنش افقی حداقل است.

میزان فشار منفذی لایه‌های دربرگیرنده محاسبه گردید.

محاسبه تنش روباره یا تنش قائم

در مخازنی که معمولاً در اعماق زیادی قرار دارند، معمولاً تنش اصلی حداکثر، تنش روباره است. برای محاسبه تنش روباره می‌توان از داده‌های چاه‌نگار چگالی استفاده کرد. در صورت فقدان این اطلاعات، مقدار چگالی را در طول عمق می‌توان توسط خرده‌های حفاری و یا ستون سنگ‌شناسی تخمین زد. همچنین، می‌توان از روابط تجربی ارائه شده در این زمینه استفاده کرد. در این پژوهش، از مقادیر میانگین چگالی برای هر لایه مطابق داده‌های چاه‌نگار چگالی استفاده شد.

محاسبه تنش افقی حداقل

در میدان مورد مطالعه، به‌دلیل اینکه آزمایش‌های شکست هیدرولیکی انجام نشده است، مقدار تنش اصلی حداقل با استفاده از روابط پوروالاستیک محاسبه گردید [۲۲]. معروف‌ترین رابطه پوروالاستیک برای تخمین تنش برجای افقی حداقل، رابطه ایتون (رابطه ۱) است که در این پژوهش برای تخمین

جدول ۳ مقادیر تنش‌های برجای تعیین شده در مخزن مورد مطالعه

$S_{Hmax}$ (MPa)	$S_{hmin}$ (MPa)	$S_v$ (MPa)	فشار آب حفره‌ای (MPa)	دانسپته $\rho_b$	
$S_{Hmax} = 3S_{hmin} - 2P_p + 0.1(S_{hmin} - P_p)$	$S_{hmin} = \left( \frac{g}{1-g} \right) (S_v - P_p) + P_p$	$S_v = \int_0^z \rho(z) dz$			
[۱۹]	[۱۹]	-	-	-	مرجع لایه
۱۷/۹۵	۱۶/۸۹	۵۷/۱۳	۱۶/۳۹	۲/۶۲	۱
۲۲/۰۸	۱۸/۵۱	۵۸/۶۳	۱۶/۸۱	۲/۶۳	۲
۱۹/۲۵	۱۷/۷۷	۵۹/۴۹	۱۷/۰۶	۲/۶۴	۳
۲۳/۵۵	۱۹/۶۹	۶۲/۳۵	۱۷/۸۵	۲/۷۰	۴
۲۱/۰۴	۱۹/۳۱	۶۴/۶۵	۱۸/۴۹	۲/۷۲	۵
۲۶/۳۲	۲۱/۳۵	۶۶/۳۹	۱۸/۹۸	۲/۶۷	۶
۲۶/۶۷	۲۱/۸۵	۶۸/۴۴	۱۹/۵۵	۲/۶۶	۷
۲۹/۶۹	۲۳/۳۳	۷۱/۱۳	۲۰/۳۱	۲/۶۸	۸
۲۳/۹۲	۲۱/۸۶	۷۳/۱۹	۲۰/۸۸	۲/۷۲	۹

تنش‌های برجا از نقشه تنش‌های جهان استفاده کرد. لازم به ذکر است که میزان خطا و اشتباه در جهت‌های  $SH_{max}$  به‌دست آمده از سازوکار کانونی زمین‌لرزه در مناطق تصادم قاره‌ای، از جمله جنوب و جنوب غربی ایران حداقل است. بررسی مکانیزم کانونی زمین‌لرزه در پروژه WSM (نقشه جهانی تنش) نشان می‌دهد که جهت تنش افقی حداکثر در میدان مورد مطالعه عمدتاً در جهت NE-SW قرار دارد (شکل ۳).

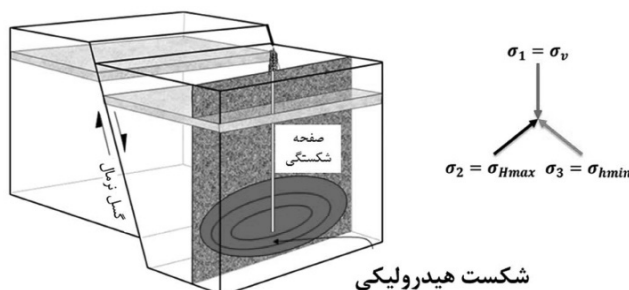
- تفسیر نمودارهای تصویری (OBMI-UBI): منظور اصلی از به‌کارگیری این نمودارهای تصویری تشخیص شکستگی‌های طبیعی و اندازه‌گیری شیب‌های ساختمانی و دیگر پدیده‌های زمین‌شناسی موجود در مخزن بنگستان است. براساس مشاهدات تفسیرهای زمین‌شناسی و پتروفیزیکی از این نمودارها از عمق ۱۹۳۶/۴ تا ۲۴۵۷ m سازند سروک در میدان مورد مطالعه به‌طور خلاصه به شرح زیر است:

براساس مقادیر تنش‌های برجا به‌دست آمده در میدان مورد مطالعه رژیم تنش گسلش نرمال ( $S_v < S_H < S_h$ ) است. در این رژیم تنش، شکست هیدرولیکی عمودی و موازی با تنش افقی حداکثر اتفاق می‌افتد (شکل ۱).

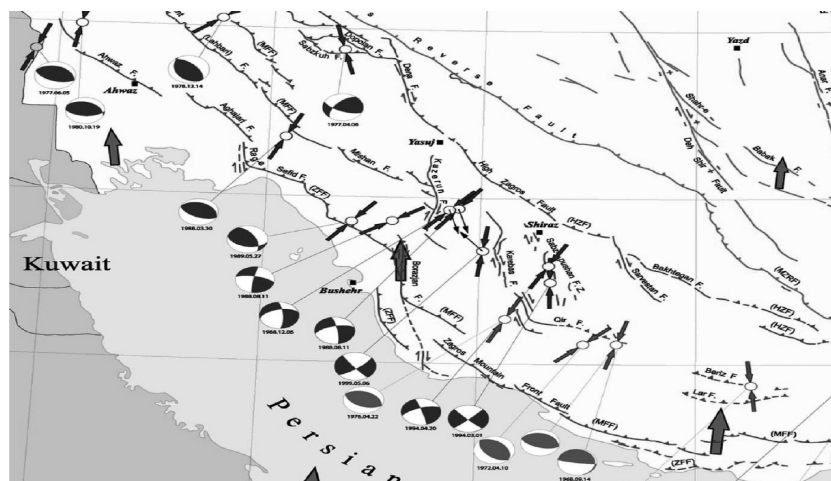
#### تعیین جهت تنش‌های برجا در میدان مورد مطالعه

- نقشه‌های زمین‌شناسی (نقشه گسلش): جهت تنش اصلی حداکثر هم جهت با شیب گسل معکوس است، بنابراین با توجه به گسل‌های معکوس موجود و جهت شیب آنها که در شکل ۲ مشاهده می‌شود، می‌توان نتیجه گرفت که در مناطق جنوب غرب و جنوب ایران به‌ترتیب جهت تنش اصلی حداکثر در جهت شمال شرق و شمال است.

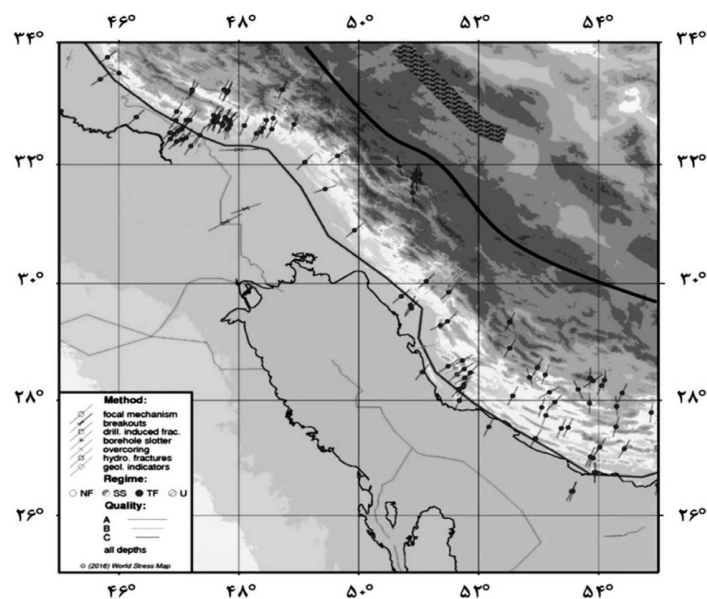
- تعیین جهت تنش‌های برجا در مخزن مورد مطالعه با استفاده از نقشه تنش‌های جهان: در میدان مورد مطالعه نیز می‌توان برای تعیین جهت



شکل ۱ سازوکار شکست هیدرولیکی در رژیم تنش گسلش نرمال.



شکل ۲ گسل‌های معکوس موجود و جهت شیب آنها در مناطق جنوب و جنوب غربی ایران [۲۵].



شکل ۳ جهت یابی حداکثر تنش افقی در ایران از نقشه جهانی پایگاه داده تنش [۲۶].

عمود بر امتداد لایه بندی بوده و اکثر شکستگی ها متعلق به این دسته می باشند.

- با توجه به داده های مربوط به ریزش دیواره<sup>۴</sup> و شکستگی های القایی<sup>۵</sup> جهت کمترین تنش افقی وارد بر حفره چاه در امتداد NW-SE و جهت بیشترین تنش افقی در امتداد NE-SW است که با امتداد کلی چین خوردگی های زاگرس مطابقت دارد (شکل های ۶ و ۷). در این چاه یک گسل احتمالی (در عمق ۲۴۱۰ m) مشخص گردید که برای تأیید نیاز به شواهد تکمیلی دارد. قابل ذکر است در حد فاصل گسلش حداکثر مقدار هرزروی گل گزارش شده است. در جدول ۴ اطلاعات مربوط به شکستگی های باز حاصل از تفسیر نمودارهای تصویری OBMI-UBI یکی از چاه های میدان مورد مطالعه خلاصه شده است. در شکل ۸ پدیده ریزش دیواره چاه بر روی نمودارهای گل سرخی و استریونت در چاه شماره ۱۴۶ میدان نفتی بی بی حکیمه مخزن سروک نشان داده شده است.

- میانگین شیب لایه بندی در کل چاه ۹ درجه در جهت S33W است. غالب لایه ها دارای امتداد N57W-S57E می باشند.

- در کل ضخامت حفاری شده سازند آهکی سروک ۲۱۸ شکستگی باز مشاهده می شوند. شیب غالب شکستگی ها بین ۵۲ تا ۷۸° است که اکثراً در جهت N58W و امتداد N32E-S32W می باشند.

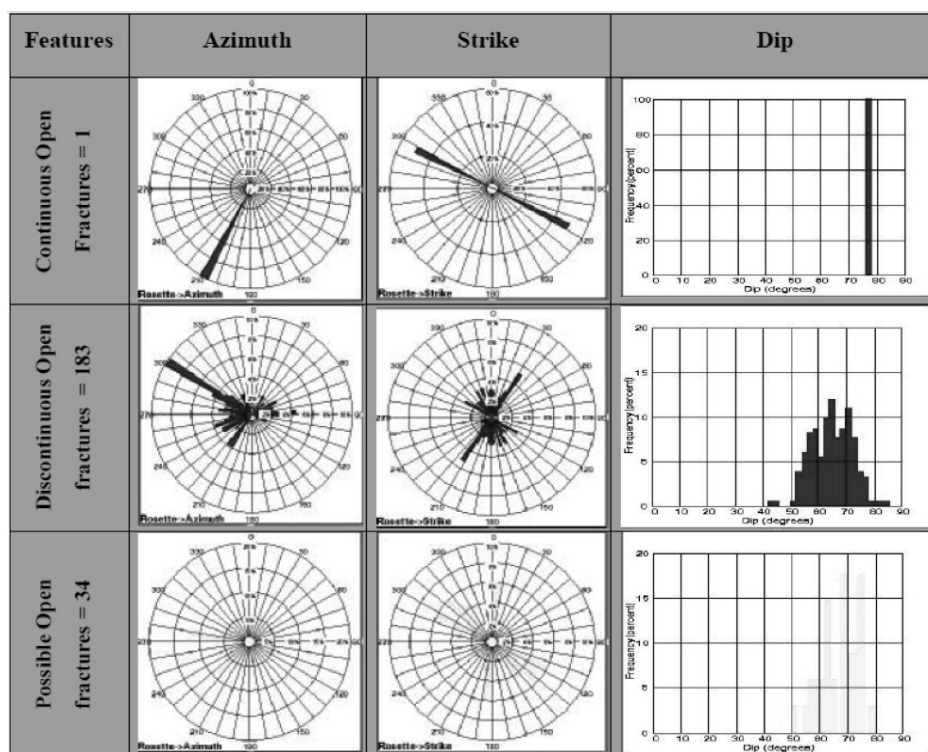
- تقسیم بندی کل شکستگی ها براساس ارتباط امتدادشان نسبت به امتداد لایه بندی و الگوی شکستگی های مرتبط با چین، در سه دسته شکستگی قابل مشاهده است. اگرچه تعداد دیگری شکستگی با امتدادهای پراکنده و متفرقه نیز دیده می شوند. دسته اول شکستگی ها با امتداد کلی N57W-S57E، دارای امتدادی تقریباً برابر با امتداد لایه بندی هستند و از نوع شکستگی های امتدادی یا طولی<sup>۱</sup> می باشند، تعداد کم.

دسته دوم شکستگی ها با امتداد N20W-S20E نسبت به امتداد لایه بندی به صورت مورب قرار گرفته اند و از جمله شکستگی های مورب<sup>۲</sup> محسوب می گردند، تعداد بسیار کم (شکل های ۴ و ۵).

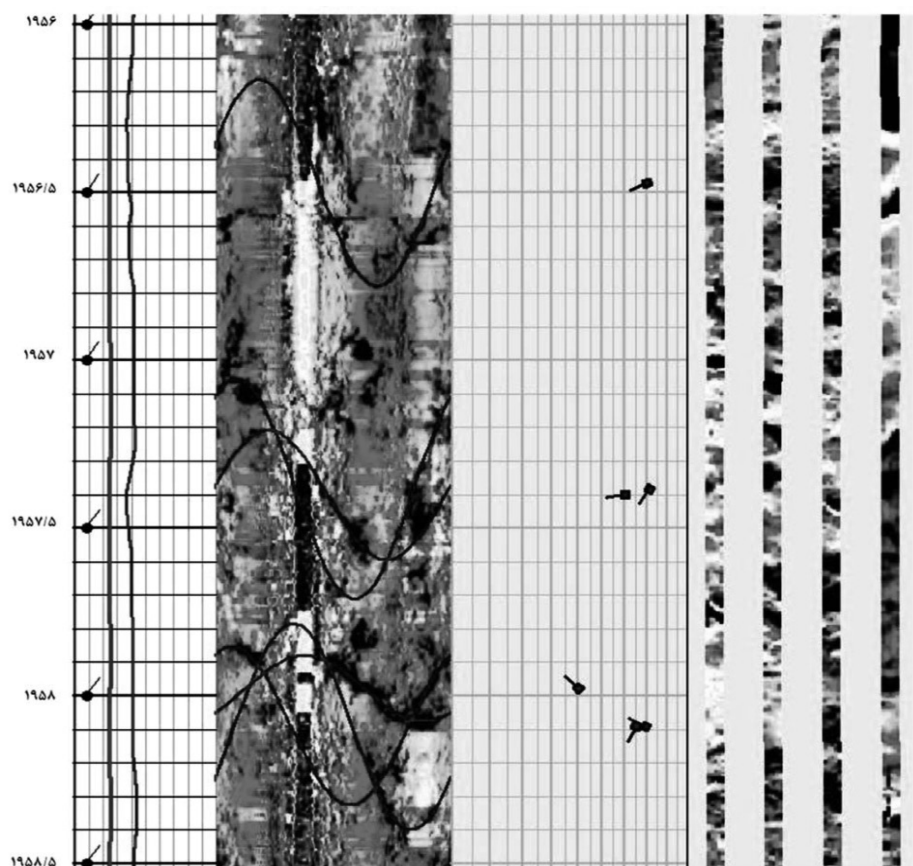
دسته سوم با امتداد N32E-S32W جزء شکستگی های عرضی می باشند<sup>۳</sup> که امتداد آنها

1. Longitudinal  
2. Oblique  
3. Transversal  
4. Borehole Breakout  
5. Induced Fractures



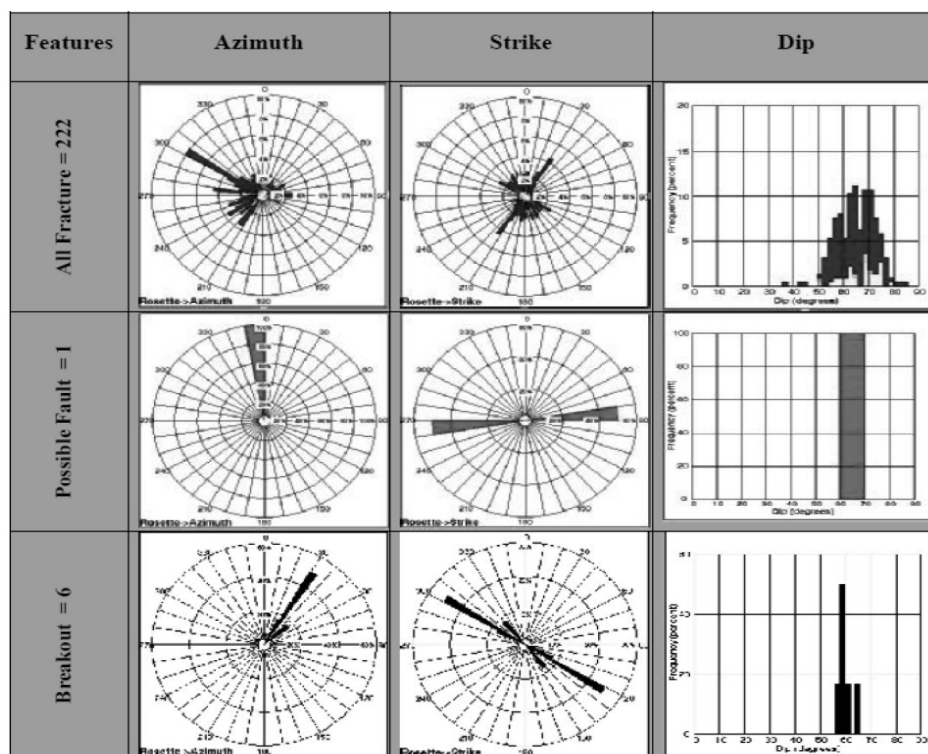


شکل ۴ اطلاعات مربوط به تعداد، شیب، جهت و امتداد انواع شکستگی‌های باز در فاصله نمودارگیری شده در یکی از چاه‌های میدان مورد مطالعه در مخزن سروک.

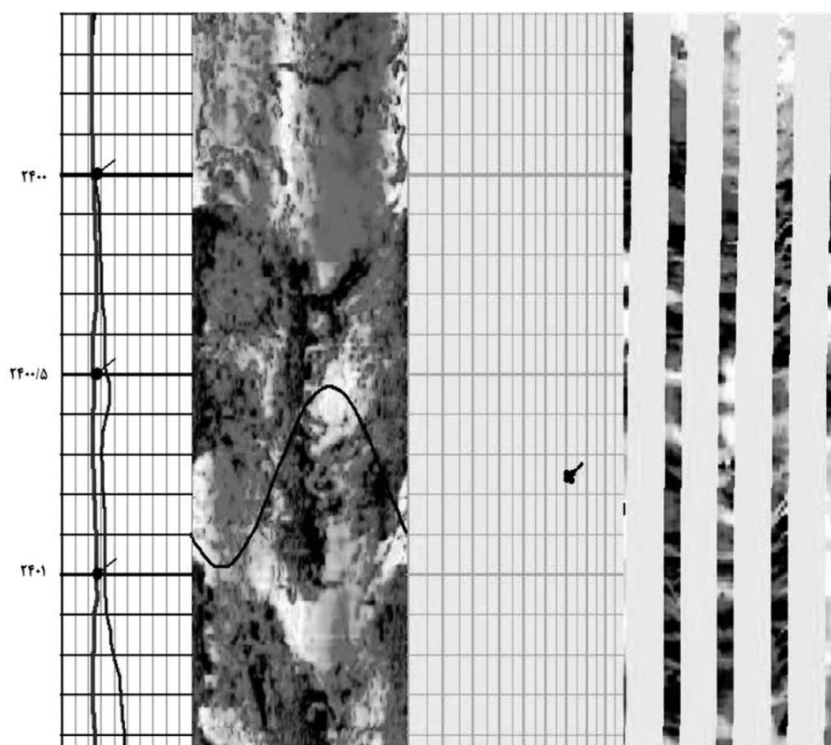


شکل ۵ نمونه‌ای از انواع شکستگی‌های باز بر روی نمودار تصویری UBI.





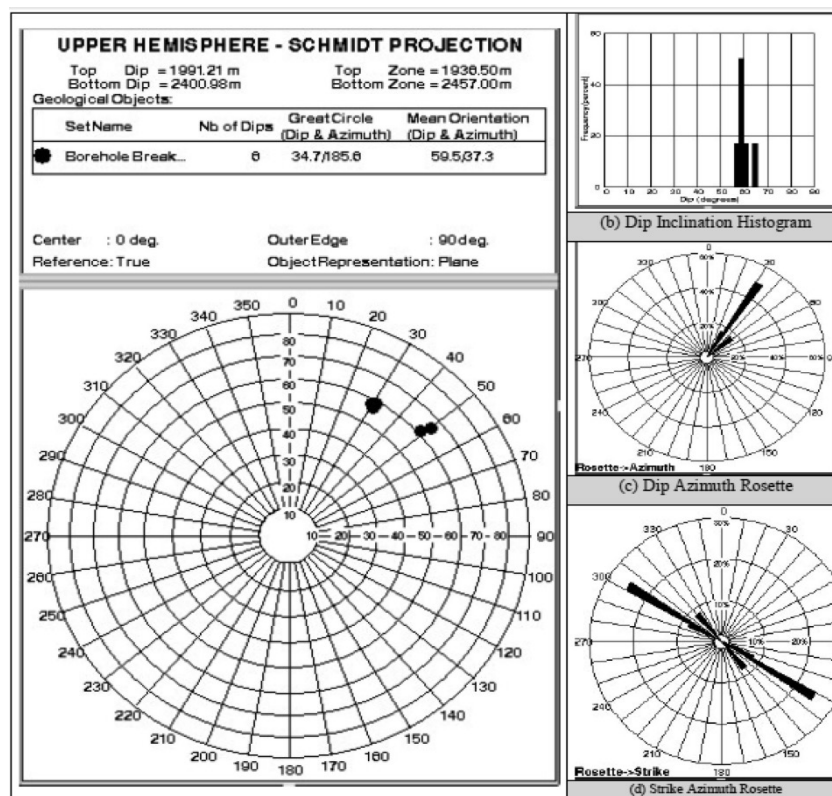
شکل ۶ اطلاعات مربوط به تعداد، شیب، جهت و امتداد انواع شکستگی‌ها، گسل و شکستگی‌های حاصل از کمترین تنش (ریزش دیواره چاه) در فاصله نمودارگیری شده در یکی از چاه‌های میدان مورد مطالعه در مخزن سروک.



شکل ۷ نمایش نمونه‌ای از شکستگی‌های حاصل از کمترین تنش افقی (ریزش دیواره چاه) وارد بر حفره چاه بر روی تصویر نمودار UBI در یکی از چاه‌های میدان مورد مطالعه در مخزن سروک.

جدول ۴ اطلاعات مربوط به شکستگی‌های باز حاصل از تفسیر نمودارهای تصویری OBMI-UBI یکی از چاه‌های میدان مورد مطالعه.

نوع شکستگی اصلی	دسته	دسته شکستگی	میانگین امتداد غالب	محدوده شیب	زاویه شیب غالب	زاویه آزمون غالب/میانگین
شکستگی‌های باز	۱	طولی	N55W-S55E	۵۲-۸۰	۶۸	S35W
	۲	مورب	شمالی جنوبی	۴۵-۷۵	۶۳	شرقی
	۳	عرضی	N35E-S55W	۵۳-۸۰	۶۵	N55W

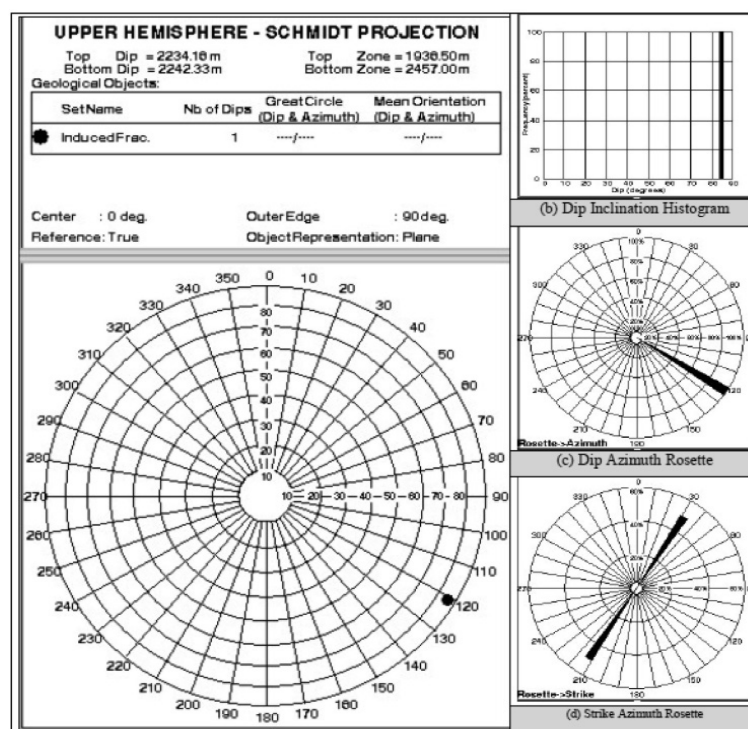


شکل ۸ نمایش پدیده ریزش دیواره چاه بر روی نمودارهای گل سرخی و استریونت در یکی از چاه‌های میدان مورد مطالعه در مخزن سروک.

### انتخاب لایه مناسب جهت انجام عملیات شکست هیدرولیکی

فاز ابتدایی در هر عملیات شکست هیدرولیکی (HF) انتخاب بهترین لایه‌ها و چاه‌ها براساس مجموعه‌ای از معیارها است. انتخاب لایه کاندید برای HF نقش اساسی در دستیابی به هدف مورد نظر دارد، به‌طوری‌که هر گونه تلاش برای اجرای این روش بدون انجام مطالعات جامع در این زمینه با شکست مواجه می‌شود.

همان‌طور که مشخص است ریزش دیواره چاه با جهت امتداد چین‌خوردگی‌های زاگرس (جهت کمترین تنش افقی) مطابقت دارد. همچنین در شکل ۹ تصویری از پدیده شکستگی القایی بر روی نمودارهای گل سرخی، هیستوگرام و استریونت در یکی از چاه‌های میدان نفتی مورد مطالعه مخزن سروک ارائه شده است. مطابق با این شکل مشخص است شکستگی القایی تقریباً با جهت امتداد چین‌خوردگی‌های زاگرس (جهت بیشترین تنش افقی) مطابقت دارد.



شکل ۹ نمایش پدیده شکستگی القایی بر روی نمودارهای گل سرخی، هیستوگرام و استریونت در یکی از چاه‌های میدان مورد مطالعه در مخزن سروک

در اولین مطالعاتی در گام نخست بایستی با استفاده از داده‌های موجود مدل ژئومکانیکی مخزن ساخته شده و با استفاده از معیارهای مورد پذیرش شرایط هر یک از لایه‌ها ارزیابی شود. بر این اساس در این تحقیق با در نظر گرفتن ۵ معیار شامل (۱) میزان تخلخل مناسب، (۲) تنش بر جای کم، (۳) میزان اشباع آب کم، (۴) مقاومت فشاری تک محوره کم و (۵) اختلاف میان تنش افقی حداقل و حداکثر کمتر، پارامترهای مؤثر بر تعیین لایه کاندید شکست هیدرولیکی مطابق **جدول ۵** به دست آمده است. در این جدول مقاومت فشاری تک محوری (UCS) با تکیه بر رابطه تجربی ارائه شده توسط زوباک به دست آمده است. باید توجه داشت که مقادیر کمتر UCS برای انجام عملیات شکست هیدرولیکی مطلوب‌تر است [۲۷]. این موضوع به ایجاد راحت‌تر شکستگی در مناطق با UCS کمتر مرتبط است. در این تحقیق اختلاف قابل توجهی بین مقاومت فشاری تک محوری لایه‌ها وجود ندارد. هر چند با تکیه بر این معیار لایه‌های ۱ تا ۳ به جهت کمترین مقدار مقاومت فشاری

در اولین مطالعاتی در گام نخست بایستی با استفاده از داده‌های موجود مدل ژئومکانیکی مخزن ساخته شده و با استفاده از معیارهای مورد پذیرش شرایط هر یک از لایه‌ها ارزیابی شود. بر این اساس در این تحقیق با در نظر گرفتن ۵ معیار شامل (۱) میزان تخلخل مناسب، (۲) تنش بر جای کم، (۳) میزان اشباع آب کم، (۴) مقاومت فشاری تک محوره کم و (۵) اختلاف میان تنش افقی حداقل و حداکثر کمتر، پارامترهای مؤثر بر تعیین لایه کاندید شکست هیدرولیکی مطابق **جدول ۵** به دست آمده است. در این جدول مقاومت فشاری تک محوری (UCS) با تکیه بر رابطه تجربی ارائه شده توسط زوباک به دست آمده است. باید توجه داشت که مقادیر کمتر UCS برای انجام عملیات شکست هیدرولیکی مطلوب‌تر است [۲۷]. این موضوع به ایجاد راحت‌تر شکستگی در مناطق با UCS کمتر مرتبط است. در این تحقیق اختلاف قابل توجهی بین مقاومت فشاری تک محوری لایه‌ها وجود ندارد. هر چند با تکیه بر این معیار لایه‌های ۱ تا ۳ به جهت کمترین مقدار مقاومت فشاری

جدول ۵ پارامترهای موثر در تعیین لایه کاندید شکست هیدرولیکی

لایه	ضخامت (m)	تخلخل	$S_v$ (MPa)	$S_{hmin}$ (MPa)	$S_{Hmax}$ (MPa)	$S_{Hmax} - S_{hmin}$	UCS (MPa)	$S_w$	کیفیت	خوب
۱	۲۶/۶	۰/۰۵۷	۵۷/۱۳	۱۶/۸۹	۱۷/۹۵	۱/۰۶	۹۶/۷۶	۶۳/۶	ضعیف	خوب
۲	۵۷/۹	۰/۰۵۱۹	۵۸/۶۳	۱۸/۵۱	۲۲/۰۸	۳/۵۷	۱۰۰/۲۶	۳۷/۸	خوب	خوب
۳	۳۳/۵	۰/۰۴۷۵	۵۹/۴۹	۱۷/۷۷	۱۹/۲۵	۱/۴۹	۱۰۳/۳۷	۳۰/۶	خوب	قابل قبول
۴	۱۰۷/۷	۰/۰۲۶۴	۶۲/۳۵	۱۹/۶۹	۲۳/۵۵	۳/۸۶	۱۱۹/۶۹	۴۵/۱	ضعیف	قابل قبول
۵	۸۶/۳	۰/۰۲۲۵	۶۴/۶۵	۱۹/۳۱	۲۱/۰۴	۱/۷۳	۱۲۲/۹۸	۵۸/۴	بسیار ضعیف	پایین
۶	۶۶/۶	۰/۰۳۸۷	۶۶/۳۹	۲۱/۳۵	۲۶/۳۲	۴/۹۸	۱۰۹/۸۹	۴۷/۸	قابل قبول	پایین
۷	۷۸/۳	۰/۰۴۰۲	۶۸/۴۴	۲۱/۸۵	۲۶/۶۷	۴/۸۲	۱۰۸/۷۵	۴۰/۲	بسیار ضعیف	بسیار ضعیف
۸	۱۰۲/۳	۰/۰۳۴۶	۷۱/۱۳	۲۳/۳۳	۲۹/۶۹	۶/۳۴	۱۱۳/۰۶	۲۷/۴	قابل قبول	بسیار ضعیف
۹	۷۷/۶	۰/۰۲۵۸	۷۳/۱۹	۲۱/۸۶	۲۳/۹۲	۲/۰۶	۱۲۰/۱۹	۳۲/۴	بسیار ضعیف	بسیار ضعیف
									ضعیف	

مدل، ابتدا با استفاده از نتایج تخلخل لایه‌های مختلف و با کمک روابط تجربی و ریاضی موجود خواص مکانیکی و فیزیکی سنگ همچون مدول یانگ، مقاومت فشاری تک محوری، سرعت موج فشاری و برشی، دانسیته و... تعیین شد. در ادامه، فشار منفذی سنگ با استفاده از رابطه ایتون، تنش بر جای عمودی با کمک رابطه ریاضی موجود و نتایج دانسیته متوسط تعیین شده برای هر یک از لایه‌ها، تنش افقی حداقل و حداکثر با استفاده از روابط پوروالاستیک و... تعیین گردید. همچنین با تکیه بر مقادیر تنش‌های بر جای به دست آمده رژیم تنش برای فاصله عمقی مورد مطالعه، رژیم تنش نرمال شناخته شد. در انتها براساس نتایج حاصله لایه ۳ مخزن بنگستان میدان مورد مطالعه به عنوان لایه هدف جهت عملیات شکست هیدرولیکی تعیین شد.

### تشکر و قدرانی

نگارندگان از پردیس بالادستی پژوهشگاه صنعت نفت برای ارائه اطلاعات و داده‌های مورد نیاز تحقیق حاضر تشکر می‌نمایند.

با توجه به نتایج مشخص است که لایه ۲ و ۴ به دلیل دارا بودن اختلاف تنش افقی حداقل و حداکثر بالاتر از لایه هدف و تنش افقی حداقل و حداکثر بالاتر نسبت به لایه هدف می‌توانند نقش لایه مانع را به خوبی ایفا نمایند. بر این اساس، لایه ۳ به عنوان لایه کاندید برای عملیات شکست هیدرولیکی در نظر گرفته شد. همچنین در **جدول ۵** مطابق گزارش شرکت مناطق نفت خیز جنوب کیفیت مخزنی هر یک از لایه‌ها ارائه شده است. مطابق این گزارش لایه‌های ۲ و ۳ دارای کیفیت مخزنی خوب، لایه‌های ۶ و ۸ دارای کیفیت مخزنی قابل قبول، لایه‌های ۱ و ۴ دارای کیفیت مخزنی پایین و لایه‌های ۵، ۷ و ۹ دارای کیفیت مخزنی بسیار ضعیف است. مطابق با این گزارش لایه منتخب جهت عملیات شکست هیدرولیکی از کیفیت مخزنی خوبی نیز برخوردار است.

### نتیجه گیری

در این تحقیق، به منظور تعیین داده‌های مورد نیاز برای انتخاب لایه مناسب جهت عملیات شکست هیدرولیکی، مدل ژئومکانیکی مناسبی با استفاده از داده‌های موجود ساخته شد. به منظور ایجاد این



## مراجع

- [1]. Ezati M, Azizzadeh M, Riahi M A, Fattahpour V, Honarmand J (2020) A new workflow to quantitative 3D screening of suitable zones for hydraulic fracturing, *Arabian Journal of Geosciences*, 13, 18: 1-12.
- [2]. Dehghan A N, Goshtasbi K, Ahangari K, Jin Y, Miskimins J (2016) Mechanism of fracture initiation and propagation using a tri-axial hydraulic fracture test system on the cement blocks, *Journal of Petroleum Research*, 25, 85-2: 180-189.
- [3]. Shahbazi K, Abdideh M, Hadipoor M (2017) Modelling hydraulic fracturing process in one of the Iranian southwest oil reservoirs, *Applied Earth Science*, 126, 3: 108-117.
- [4]. Alipour M, Bohluli B (2010) Geomechanic in petroleum engineering. application: application, *Hydraulic fracturing and Geomechanical Modeling*, NIOC Journal of Exploration and Production, 86: 27-29.
- [5]. Zoveidavianpoor M, Samsuri A, Shadizadeh S R (2012) Development of a fuzzy system model for candidate-well selection for hydraulic fracturing in carbonate reservoir, *SPE oil and gas India conference and exhibition*, Mumbai, India.
- [6]. Shadizadeh S R, Habibnia B A, Syllabee R (2009) Investigation and selection of suitable layers in bang-e-stan reservoir for hydraulic fracturing operation, *Scientia Iranica, Transaction C, Chemistry, Chemical Engineering*, 16, 2: 149.
- [7]. Heydarabadi F R, Moghadasi J, Ashena R (2010) Criteria for selecting a candidate well for hydraulic fracturing, the 34th Annual SPE International Conference and Exhibition Held in Tinapa, Calabar, Nigeria, 31, Paper SPE 136988.
- [8]. Amiri H, Ramezanzadeh A, Chamanzad M, Parhizgar M (2021) Recognizing the best intervals for hydraulic fracturing using a new fracability index, *Journal of Petroleum Exploration and Production*, 1-9.
- [9]. Hashemi A, Shadizadeh S R, Ziveidavianpoor M (2012) A local computerized multi-screening of vas amount of data to select hydraulic fracturing candidates in iranian carbonate oil fields, *International Journal of Computer Application*, 39, 8: 37-45.
- [10]. Mousavi B, Yazdjerdi K, Abdideh M, Tabatabaei H (2020) The effect of sufficient barrier layers on hydraulic fracturing design efficiency in one of the Iranian South hydrocarbon reservoirs, *Iranian Journal of Earth Sciences*, 12, 1: 42-53.
- [11]. Berberian M, King G C P (1981) Towards a paleogeography and tectonic evolution of Iran, *Canadian Journal of Earth Sciences*, 18: 210-265.
- [12]. Berberian M (1995) Master Blind thrust faults hidden under the Zagros folds: active basement tectonics and surface morphotectonics, *Tectonophysics* 241: 193-224.
- [13]. Beydoun Z R, Hughes Clarke M W, Stonely R (1992) Petroleum in the Zagros Basin: a late Tertiary Forland Basin overprinted on to the outer edge of a vast hydrocarbon-rich Paleozoic-Mesozoic Passive-margin shelf, in Macqueen, R. W., and Leckie, D. A., editors, *Foreland basins and fold belts: American Association of Petroleum Geologist Memoir* 55: P.309-339.
- [14]. Zoback M D (2007) *Reservoir geomechanics*, New York, USA: Cambridge University Press, 449.
- [15]. Ameen M S, Smart B G D, Somerville J M, Hammilton S, Naji N A (2009) Predicting rock mechanical properties of carbonates from wireline logs (A case study: Arab-D reservoir, Ghawar field, Saudi Arabia), *Marine and Petroleum Geology* 26: 430-444.
- [16]. Yasar E, Erdogan Y (2004) Correlating sound velocity with the density, compressive strength and Young's modulus of carbonate rocks, *International Journal of Rock Mechanics and Mining Sciences*, 41: 871-875.
- [17]. Pickett G R (1963) Acoustic character logs and their applications in formation evaluation, *Journal of Petroleum Technology*, 15, 06: 659-667.
- [18]. Ektefa G, Shahbazi K (2020) Hydraulic fracturing process in tight base shale of asmari formation in Ahwaz Oilfield, *Journal of Petroleum Science and Technology*, 10, 2: 49-55.
- [19]. Lal M (1999) Shale stability: drilling fluid interaction and shale strength, *SPE Latin American and Caribbean Petroleum Engineering Conference held in Caracas, Venezuela*, SPE 54356.
- [20]. Lakirouhani A, Asemi F, Zohdi A (2018) Relationship between grain size and physical properties of dolomites in order to geomechanics study of dolomite reservoirs, *Journal of Petroleum Research*, 28, 1-97: 150-161.
- [21]. Lakirouhani A, Asemi F, Zohdi A, Medzvieckas J, Kliukas R (2020) Physical parameters, tensile and compressive strength of dolomite rock samples: influence of grain size, *Journal of Civil Engineering and Management*, 26, 8: 789-799.
- [22]. Archer S, Rasouli V (2012) A log based analysis to estimate mechanical properties and in-situ stresses in a shale gas well in North Perth Basin, 1st International Conference on Petroleum and Mineral Resources, Kurdistan, Iraq: University of Koya.

- [23]. Eaton B.A (1969) Fracture gradient prediction and its application in oilfield operations. *Journal of Petroleum Technology*, 21, 10: 1353-1360, doi.org/10.2118/2163-PA.
- [24]. Economides M J, Nolte K G (2000) *Reservoir stimulation*. Chichester, England: John Wiley and Sons.
- [25]. Hessami K, Jamali F, Tabassi H (2003) Map of major active faults of Iran, *International Institute of Earthquake Engineering and Seismology*, 8, 1, 1: 1-11.
- [26]. Heidbach O, Barth A, Müller B, Reinecker J, Stephansson O, Tingay M, Zang A (2016) WSM quality ranking scheme, database description and analysis guidelines for stress indicator.
- [27]. Darvish H, Nouri-Taleghani M, Shokrollahi A, Tatar A (2015) Geo-mechanical modeling and selection of suitable layer for hydraulic fracturing operation in an oil reservoir (south west of Iran), *Journal of African Earth Sciences*, 111: 409-420, doi.org/10.1016/j.jafrearsci.2015.08.001.



# بررسی عملکرد و میزان پایداری لایه‌های کاتالیستی $\text{Ni-Co/Al}_2\text{O}_3\text{-ZrO}_2$ تهیه شده به روش رسوب فیزیکی بخار در فرآیند رفرمینگ خشک متان

محمدجعفر مرادی<sup>۱</sup>، غلامرضا مرادی<sup>۲\*</sup>، امیر حیدری نسب<sup>۱</sup> و علیمیراد رشیدی<sup>۳</sup>

۱- دانشکده نفت و مهندسی شیمی، دانشگاه علوم تحقیقات تهران، ایران

۲- مرکز تحقیقات کاتالیست، دانشکده نفت و پتروشیمی، دانشگاه رازی، کرمانشاه، ایران

۳- مرکز توسعه علوم و فناوری‌های نانوکربن، پردیس پژوهش و توسعه صنایع پایین دستی نفت، پژوهشگاه صنعت نفت، تهران، ایران

تاریخ دریافت: ۱۴۰۱/۰۵/۱۰ تاریخ پذیرش: ۱۴۰۱/۰۸/۱۵

## چکیده

در این مطالعه عملکرد کاتالیستی لایه‌های نازک  $\text{Ni-Co/Al}_2\text{O}_3\text{-ZrO}_2$  در فرآیند رفرمینگ خشک متان با استفاده از یک رآکتور میکروکانال مورد بررسی قرار گرفت که برای تهیه نانو ساختارها از روش رسوب فیزیکی بخار استفاده گردید. بدین منظور در ابتدا لایه‌های نازک  $\text{Al}_2\text{O}_3\text{-ZrO}_2$  جهت تشکیل پایه کاتالیست بر روی صفحات استیل ضد زنگ لایه نشانی شدند و در ادامه ترکیب دو فلزی  $\text{Ni-Co}$  با نسبت‌های وزنی ۲/۵٪، ۵٪ و ۷/۵٪ کبالت نسبت به نیکل در زمان‌های مختلف لایه نشانی ۲ min، ۳ min، ۴ min، بر روی پایه کاتالیست لایه نشانی شد. طراحی آزمایش‌ها به روش بکس-بنکن انجام و آزمایش‌های رآکتوری در دمای ۷۰۰ °C، ۷۵۰ °C، ۸۰۰ °C، فشار یک اتمسفر و میزان دبی خوراک ۱۰ mL/min به منظور بررسی اثر پارامترهای مختلف همچون (زمان لایه نشانی (t)، درصد وزنی کبالت نسبت به نیکل (X) و دمای واکنش (T)) بر میزان فعالیت و پایداری کاتالیست مورد ارزیابی قرار گرفت. نتایج نشان داد که در زمان لایه نشانی ۴ min و درصد وزنی کبالت نسبت به نیکل برابر ۵٪  $X=$  و دمای واکنش  $T=800$  °C بیشترین میزان فعالیت و پایداری کاتالیست حاصل می‌گردد.

**کلمات کلیدی:** رفرمینگ خشک متان، رآکتور میکروکانال، رسوب فیزیکی بخار، لایه‌های نازک  $\text{Ni-Co/Al}_2\text{O}_3\text{-ZrO}_2$

## مقدمه

آن است [۱]. رفرمینگ خشک متان فرآیند اصلی تولید گاز سنتز با نسبت مولی یک است که از مهم‌ترین مزایای آن می‌توان به بالا بودن خلوص مونوکسید کربن تولیدی اشاره کرد [۲]. از مصارف عمده گاز سنتز تهیه شده با این روش می‌توان به فرآورده‌های تولید متانول، دی‌متیل اتر، واکنش

تولید گاز سنتز با استفاده از گازهای گلخانه‌ای یک موضوع جذاب و چالش برانگیز در برخورد با مسایلی مانند گرم شدن زمین و آثار نامطلوب مربوط به

\*مسئول مکاتبات  
آدرس الکترونیکی

gmoradi@razi.ac.ir

شناسه دیجیتال: (DOI:10.22078/PR.2022.4872.3175)

فیشر- تراپش<sup>۱</sup> و کربنیل دار کردن<sup>۲</sup> اشاره کرد [۳]. مشکل اصلی در فرآیند رفرمینگ خشک متان، رسوب کربن است. هم دی اکسید کربن و هم متان به عنوان دو واکنش دهنده این فرآیند دارای عنصر کربن بوده که در اثر واکنش رسوب کرده و باعث غیرفعال شدن کاتالیست می گردند [۴ و ۵]. باوجود مقاومت بالای فلزات نجیب در برابر رسوب کربن، کاربردشان در مقیاس بزرگ به دلیل هزینه بالای آن ها چندان مقرون به صرفه نیست. از طرف دیگر، فلزات غیرنجیب همانند نیکل فعالیت کاتالیستی بالا و مقرون به صرفه ای را از خود نشان می دهند در حالی که رسوب کربن در آن ها بالاست [۶ و ۷]. این کاتالیست ها با توجه به تجزیه متان و واکنش بودوارد در رفرمینگ خشک متان مستعد تشکیل کک بوده که پایداری کاتالیست را تا حدی کاهش می دهد [۸-۱۰]. از آنجا که در فرآیند رفرمینگ خشک متان استفاده از پایه در افزایش فعالیت کاتالیستی و جلوگیری از رسوب کربن نقش کلیدی بازی می کند، لذا در بسیاری از موارد از گاما آلومینا به عنوان پایه در کاتالیست های نیکل بنیان استفاده شده است [۱۱-۱۳]. تاکنون مطالعات مختلفی به منظور بهبود عملکرد کاتالیست  $Ni/Al_2O_3$  انجام شده که یکی از اساسی ترین آنها اضافه نمودن تقویت کننده ها است [۱۴-۱۶]. در میان تقویت کننده های متفاوت مورد استفاده برای کاتالیست های نیکل بنیان، زیرکونیا و کبالت مورد توجه ویژه ای قرار گرفته اند [۱۷-۱۹]. اضافه کردن مقدار مناسب تقویت کننده کبالت به خاطر ایجاد برهم کنش قوی بین پایه و فلز، کنترل و کاهش اندازه ذرات و افزایش مقاومت در برابر تشکیل کک، سبب افزایش فعالیت کاتالیستی می گردد [۲۰ و ۲۱]. زیرکونیا نیز با توجه به خواص اکسایش- کاهش بالای خود و تحرک اکسیژن خوب، سبب افزایش پراکندگی و همچنین تسهیل درگازی شدن گونه های کربن و جلوگیری از رسوب آن می شود [۲۲ و ۲۳]. از طرف دیگر، رفرمینگ خشک متان

اغلب در رآکتورهای بستر ثابت انجام می شود. اندازه های متفاوت ذرات کاتالیزوری در این نوع راکتورها و پراکندگی تصادفی آنها در بستر، منجر به ایجاد الگوهای جریان ناهموار و تشکیل نقاط داغ و گرادیان حرارتی بالا در واکنش های گرمازا می شود. برای رفع مشکلات مربوط به رآکتورهای بستر ثابت، رآکتورهای ساختاری به عنوان جایگزین های ارزشمند در فرآیندهای مختلف معرفی شده است [۲۴]. رآکتورهای میکروکانال یک مورد از انواع مختلف رآکتورهای ساختار یافته می باشند. یکی از اصلی ترین مشخصات رآکتورهای میکروکانال نسبت سطح به حجم بالای آن ها است. از این رو می توان عملکرد حرارتی بالایی را از آن ها انتظار داشت. بنابراین، در واکنش های گرمازا از تشکیل نقاط گرم درون رآکتور و ایجاد گرادیان های حرارتی بالا جلوگیری می شود. مهم ترین نتیجه این موضوع می تواند افزایش دمای عملیاتی و افزایش تبدیل واکنش باشد. از آنجا که کاتالیست داخل این گونه ساختارها به صورت یک لایه نازک، سطح فلزی را پوشش می دهد، رآکتور افت فشار بسیار کمتری را نسبت به هنگامی که از رآکتور بستر ثابت استفاده می شود، تجربه می کند [۲۵]. روش رسوب فیزیکی بخار روش نوینی برای لایه نشانی مواد مختلف به شمار می آید. با استفاده از این روش می توان به صورت فیزیکی بر روی سطح زیرلایه های متنوع، لایه های نازک ایجاد نمود و پوششی بسیار یکنواخت با چسبندگی مناسب فراهم کرد [۲۶]. رضایی و همکارانش [۲۷] فرآیند رفرمینگ خشک متان را با لایه نشانی کاتالیست  $Ni/Al_2O_3$  به روش کندوپاش مغناطیسی فرکانس رادیویی<sup>۳</sup> (که از روش های رسوب فیزیکی بخار است) در یک رآکتور میکروکانال مورد بررسی قرار دادند. نتایج مقایسه عملکرد رآکتور میکروکانال با رآکتور بستر ثابت نشان داد که رآکتور میکروکانال به دلیل کاهش در

1. Fischer-Tropsch Reaction

2. Carboxylation

3. Radio Frequency (RF) Magnetron Sputtering

جلوگیری از نشت گاز در دماهای بالا، از یک واشر گرافیت کامل با ضخامت ۱ mm و یک واشر میکا به ضخامت ۰/۵ mm که به صورت داخلی مهر و موم می‌شد استفاده شده که تصاویر مربوط به آن در شکل ۱ آورده شده است.

### طراحی آزمایش

در جدول ۱ متغیرهای واکنش و سطوح هر یک از آن‌ها نشان داده شده است. همان‌طور که مشاهده می‌شود طرح آزمایش شامل سه سطح است. مقادیر سطوح بالا، پایین و میانی هر متغیر به ترتیب با کدهای +۱، ۰ و -۱ نشان داده شده است. آزمایش رآکتوری لایه‌های کاتالیستی برای بررسی عملکرد کاتالیست

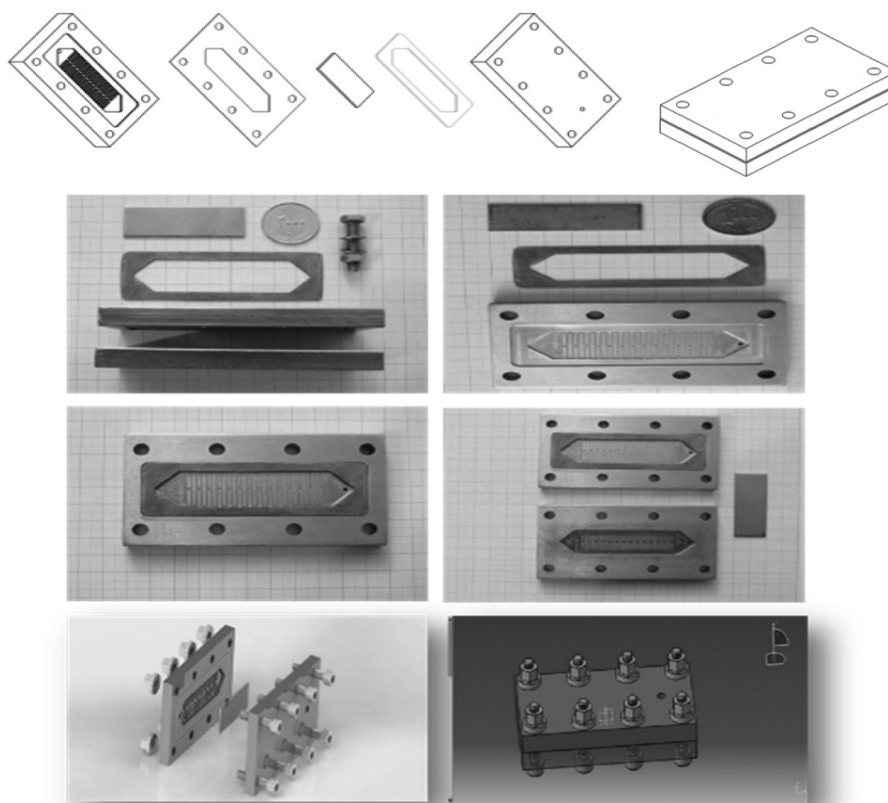
سیستم آزمایشگاهی بررسی واکنش رفرمینگ خشک متان به سه بخش اصلی: بخش خوراک‌دهی، بخش رآکتور (واکنش) و بخش آنالیز تقسیم‌بندی می‌شود که تمامی این بخش‌ها در شکل ۲ قابل مشاهده هستند. در این سیستم ابتدا با به کارگیری دستگاه کنترل جریان جرمی گازها، جریان کنترل شده‌ای از مخلوط گازهای خوراک شامل: هلیوم، دی اکسید کربن و متان برای ورود به رآکتور میکروکانال مورد استفاده قرار گرفت. همچنین به منظور تجزیه و تحلیل جریان خروجی محصولات از دستگاه کروماتوگراف گازی<sup>۶</sup> استفاده شد که این دستگاه شامل مجموعه‌ای از ستون‌های پر شده از دو نوع Molecular Sieve (MS) و Propack Q به همراه یک شناساگر از نوع TCD<sup>۷</sup> بود. به دلیل تنوع محصولات واکنش، ستون‌ها طوری قرار گرفتند که هر کدام از آنها بتوانند محصولات واکنش را تفکیک و شناسایی کنند.

مصرف کاتالیست، کاهش زمان ماند و افزایش سرعت فضایی می‌تواند به یک جایگزین خوب برای رآکتورهای بستر ثابت در جهت بهبود فرآیند تبدیل شود. از طرفی با استفاده از روش لایه نشانی کاتالیست می‌توان به پراکندگی بالایی از فلزات بر روی زیر لایه دست یافت. در نهایت و در این مطالعه سعی بر آن شد تا برای اولین بار عملکرد کاتالیست  $\text{Ni-Co/Al}_2\text{O}_3\text{-ZrO}_2$  را در واکنش رفرمینگ خشک متان<sup>۱</sup> با به کارگیری یک رآکتور میکروکانال و استفاده از روش نوین رسوب فیزیکی بخار برای لایه نشانی کاتالیست مورد بررسی قرار دهیم. بدین منظور طراحی آزمایش‌ها<sup>۲</sup> با روش طراحی باکس-بنکن<sup>۳</sup> انجام شد و اثر پارامترهای مختلف همچون (زمان لایه نشانی، درصد وزنی کبالت نسبت به نیکل و دمای واکنش) در سه سطح بر میزان غیرفعال شدن کاتالیست مورد بررسی و شرایط بهینه مشخص گردید.

### رآکتور میکروکانال

رآکتور میکروکانال مورد استفاده در این فرآیند به شکل صفحه‌ای تخت بوده که برای ساخت آن از ورق استیل 4841 SUS استفاده شده است. هر دو طرف جداره داخلی میکرو رآکتور به منظور کاهش افت فشار و افزایش کارایی از طریق افزایش زمان تماس، ۲۶ میکروکانال هر یک با عرض ۱ mm و عمق ۰/۵ mm و قطر هیدرولیکی ۰/۶۶ mm به صورت جریان متقاطع با استفاده از روش سی سی ان سی<sup>۴</sup> ماشین کاری شده است، که در داخل آن و برای به دست آوردن توزیع جریان یکنواخت، خوراک ابتدا به یک ورودی مثلثی شکل در ورودی رآکتور میکروکانال وارد می‌شود. همچنین به منظور تسهیل در جایگزینی کاتالیست بعد از انجام فرآیند، از ورق استیل ۴۸۴۱ با ضخامت ۱ mm و ابعاد ۵۳×۲۰ mm<sup>۲</sup> که هر دو طرف آن با لایه‌های نازک کاتالیست پوشش داده شده بود و بین دو جداره میکرو رآکتور قرار می‌گرفت استفاده گردید. از طرفی به منظور

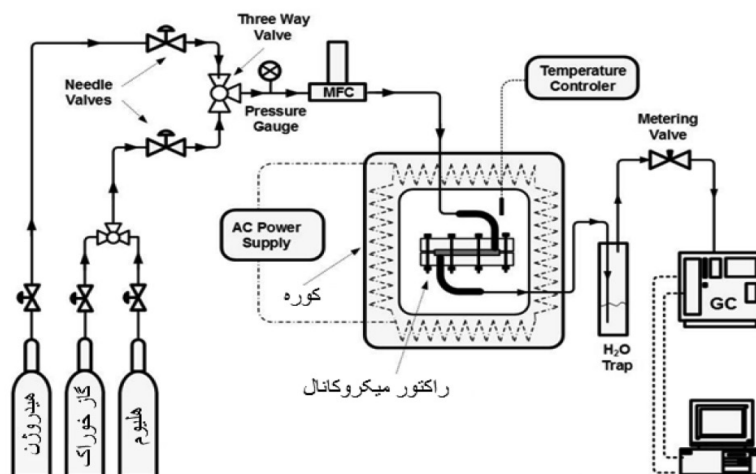
1. Dry reforming of Methane (DRM)
2. Design Of Experiment (DOE)
3. Box-Behnken Design (BBD)
4. Computer Numerical Control (CNC)
5. Mass Flow Controller (MFC)
6. Gas Chromatograph (GC)
7. Thermal Conductivity Detector (TCD)



شکل ۱. نمای از میکرو راکتور مورد استفاده

جدول ۱. متغیرهای واکنش و سطوح آن‌ها در طراحی آزمایش باکس-بنکن

متغیرها	واحد	نماد	سطوح		
			-۱	۰	+۱
زمان لایه نشانی	min	t	۲	۳	۴
Co/Ni درصد وزنی	%	X	۲/۵	۵/۰	۷/۵
دمای واکنش	(°C)	T	۷۰۰	۷۵۰	۸۰۰



شکل ۲. نمای از سیستم آزمایشگاهی تولید گاز سنتز در فرآیند رفرمینگ خشک متان

به منظور بهینه سازی عملکرد واکنش رفرمینگ خشک متان با حضور لایه های کاتالیستی  $\text{Ni-Co/Al}_2\text{O}_3\text{-ZrO}_2$  در رآکتور میکرو کانال، سه متغیر زمان لایه نشانی (t)، درصد وزنی Co نسبت به Ni (X) و دمای واکنش (T) به عنوان متغیرهای موثر بر تبدیل اولیه خوراک، غیر فعال شدن کاتالیست و نسبت مولی  $\text{H}_2/\text{CO}$  در نظر گرفته شدند. با در نظر گرفتن محدوده مناسب برای هر متغیر، طراحی آزمایشات به روش باکس-بنکن انجام، و سپس آزمایش های تجربی در آزمایشگاه به منظور حصول پاسخ اجرا شدند. نحوه انجام آزمایشات نیز بدین صورت بود که در ابتدای هر آزمایش، با استفاده از جریان هیدروژن عملیات احیا برای تمام نمونه های کاتالیستی صورت پذیرفت. بدین منظور نمونه مورد نظر تحت جریان هیدروژن با دبی  $30 \text{ mL/min}$  تا دمای  $30^\circ\text{C}$  گرم شده و پس از آن کاتالیست به مدت  $3 \text{ h}$  تحت دمای  $700^\circ\text{C}$  قرار گرفته تا عمل احیا انجام شود. پس از اتمام عملیات احیا، جریان خوراک

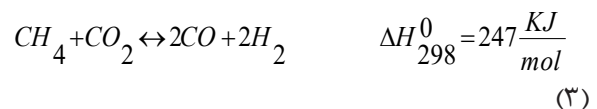
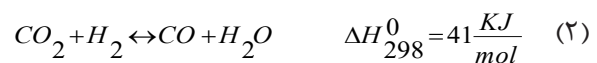
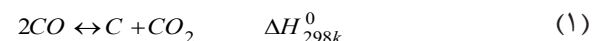
حاوی  $\text{CO}_2$ ،  $\text{CH}_4$  و He با نسبت مولی ۱:۱:۸ و دبی  $10 \text{ mL/min}$  جایگزین جریان هیدروژن شده که در آن از گاز هلیوم به عنوان رقیق کننده استفاده شده است. تمامی واکنش ها تحت فشار  $1 \text{ atm}$  در مدت زمان حدود  $360 \text{ min}$  انجام و هر  $20 \text{ min}$  یک بار نمونه برداری انجام شد که نتایج مربوط به ۱۳ آزمایش طراحی شده (با دو بار تکرار در سطح میانی) در جدول ۲ ارائه شده است. همان طور که مشخص است افزایش دما منجر به افزایش میزان تبدیل اولیه متان و دی اکسید کربن در تمامی نمونه ها شده است که دلیل این امر را می توان به ماهیت گرماگیر بودن واکنش رفرمینگ خشک متان نسبت داد، که در تمام بازه دمایی مورد بررسی میزان تبدیل واکنش دهنده ها کمتر از مقادیر تعادلی محاسبه شده ( $\text{Xeq CO}_2 = 98/2\%$  و  $\text{Xeq CH}_4 = 96/4\%$ ) در مطالعه حقیقی و همکاران [۲۸] به دست آمده است.

جدول ۲ طراحی آزمایشات برای سه متغیر مستقل و پاسخ ها

شماره آزمایش	دما ( $^\circ\text{C}$ ) T	نسبت وزنی تقویت کننده (X)	زمان لایه نشانی (s)	تبدیل اولیه متان (%)	تبدیل نهایی $\text{CH}_4$ (%)	تبدیل اولیه $\text{CO}_2$ (%)	غیرفعال شدن کاتالیست (%)	نسبت مولی $\text{H}_2:\text{CO}$
۱	۷۵۰	۲/۵	۴	۸۵/۶	۸۱	۹۱/۳	۵/۴	۰/۸۳
۲	۷۰۰	۵	۲	۳۱/۶	۲۹/۴	۳۶/۴	۷	۰/۶
۳	۷۵۰	۵	۳	۸۰/۵	۷۷/۴	۸۳/۲	۳/۹	۰/۷۸
۴	۸۰۰	۷/۵	۳	۷۹/۶	۷۷/۳	۸۸/۲	۲/۹	۰/۹۲
۵	۷۵۰	۲/۵	۲	۵۴/۳	۵۰/۱	۶۲/۵	۷/۹	۰/۶۹
۶	۷۰۰	۵	۴	۷۰/۱	۶۶/۵	۷۶/۶	۵/۲	۰/۶۷
۷	۷۰۰	۷/۵	۳	۳۶/۴	۳۳/۹	۴۰/۸	۶/۹	۰/۵۹
۸	۷۵۰	۷/۵	۲	۴۵/۹	۴۳/۲	۵۳/۷	۵/۸	۰/۷۱
۹	۷۵۰	۷/۵	۴	۶۵/۷	۶۲/۵	۷۵	۴/۹	۰/۷۸
۱۰	۸۰۰	۲/۵	۳	۸۷	۸۳/۲	۸۹/۱	۴/۳	۰/۹۴
۱۱	۷۰۰	۲/۵	۳	۵۱/۲	۴۶/۹	۵۷/۳	۸/۴	۰/۵۶
۱۲	۸۰۰	۵	۲	۹۰/۱	۸۷/۷	۹۳/۴	۲/۷	۰/۸۹
۱۳	۸۰۰	۵	۴	۹۲/۴	۹۰/۵	۹۶/۳	۲/۱	۰/۹۴

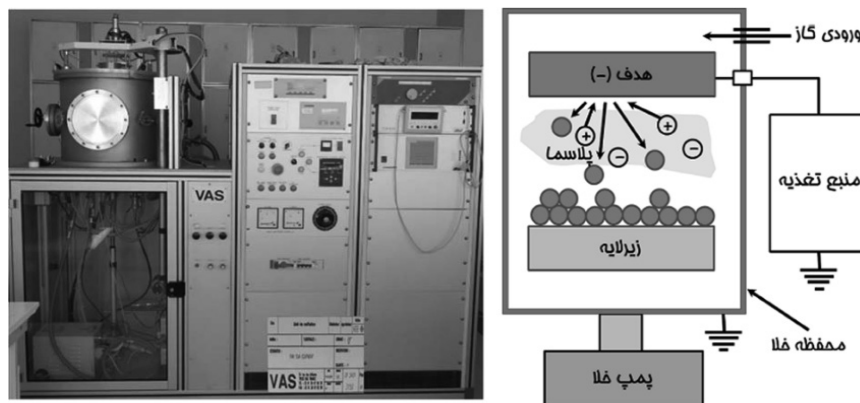
استفاده در این فرآیند را نشان می‌دهد، که در آن از روش رسوب فیزیکی بخار<sup>۱</sup> برای پوشش لایه‌های کاتالیستی  $\text{Ni-Co/Al}_2\text{O}_3\text{-ZrO}_2$  بر روی صفحاتی از جنس استیل ضد زنگ استفاده شده است. مراحل اصلی این روش شامل: تبخیر ماده منبع، انتقال بخار از ماده منبع به زیرلایه و تشکیل لایه نازک بر روی زیر لایه با انباشت بخار حاصل از ماده منبع است. حرکت بخار آزاد شده از ماده منبع به سمت زیرلایه به دلیل وجود اختلاف فشار صورت می‌گیرد. هنگامی که بخار حاصل از ماده به مجاورت زیرلایه می‌رسد، چگالش یافته و با انتقال گرمای خود به زیرلایه از فاز بخار به فاز جامد تبدیل می‌شود. پوشش حاصل از این روش، طی فرآیند جوانه زنی و رشد بر روی زیرلایه نشاندن می‌شود. اتم‌ها یا مولکول‌های گازی که از ماده منبع جدا می‌شوند، انرژی گرمایی خود را به زیرلایه منتقل کرده و روی زیرلایه حرکت می‌کنند تا در نهایت انرژی گرمایی آن‌ها به طور کامل از بین برود. این اتم‌ها با انتقال تمام انرژی گرمایی خود، رفته رفته به زیرلایه چسبیده و مجموعه‌ای از هسته‌های اتمی روی زیرلایه تشکیل می‌شود. با ادامه این فرآیند و افزایش تعداد هسته‌ها روی زیرلایه، این هسته‌ها به یکدیگر چسبیده و رشد می‌کنند و به صورت فیلم نازکی سطح زیرلایه را می‌پوشانند.

همچنین با توجه به حضور واکنش‌های جانبی همچون واکنش بودوارد (واکنش ۱) و معکوس واکنش جابه‌جایی آب-گاز (واکنش ۲) نسبت مقدار تبدیل اولیه خوراک با آنچه از استوکیومتری واکنش ریفرمینگ خشک انتظار می‌رود متفاوت بوده و در تمامی دماها،  $\text{CO}_2$  تبدیل بالاتری نسبت به متان از خود نشان داده است. درخصوص نسبت مولی  $\text{H}_2\text{:CO}$  نیز نتایج حاکی از آن است که در تمامی موارد، مقادیر به دست آمده کمتر از ۱ هستند، که دلیل این امر انجام معکوس واکنش جابه‌جایی آب-گاز است. از طرفی با افزایش دما، نسبت گاز سنتز به نسبت استوکیومتری یک نزدیک‌تر شده، که مهم‌ترین عامل آن تأمین بهتر شرایط انجام واکنش اصلی رفرمینگ خشک متان (واکنش ۳) و اثر به شدت غالب آن نسبت به عکس واکنش جابه‌جایی آب-گاز در دماهای بالا است.



#### لایه نشانی کاتالیست

در این مطالعه عملیات لایه نشانی کاتالیست با استفاده از دستگاه vas ساخت کشور فرانسه انجام پذیرفت. شکل ۳ نمایی از دستگاه لایه نشانی مورد



شکل ۳ نمایی از سیستم لایه نشانی مورد استفاده در این مطالعه



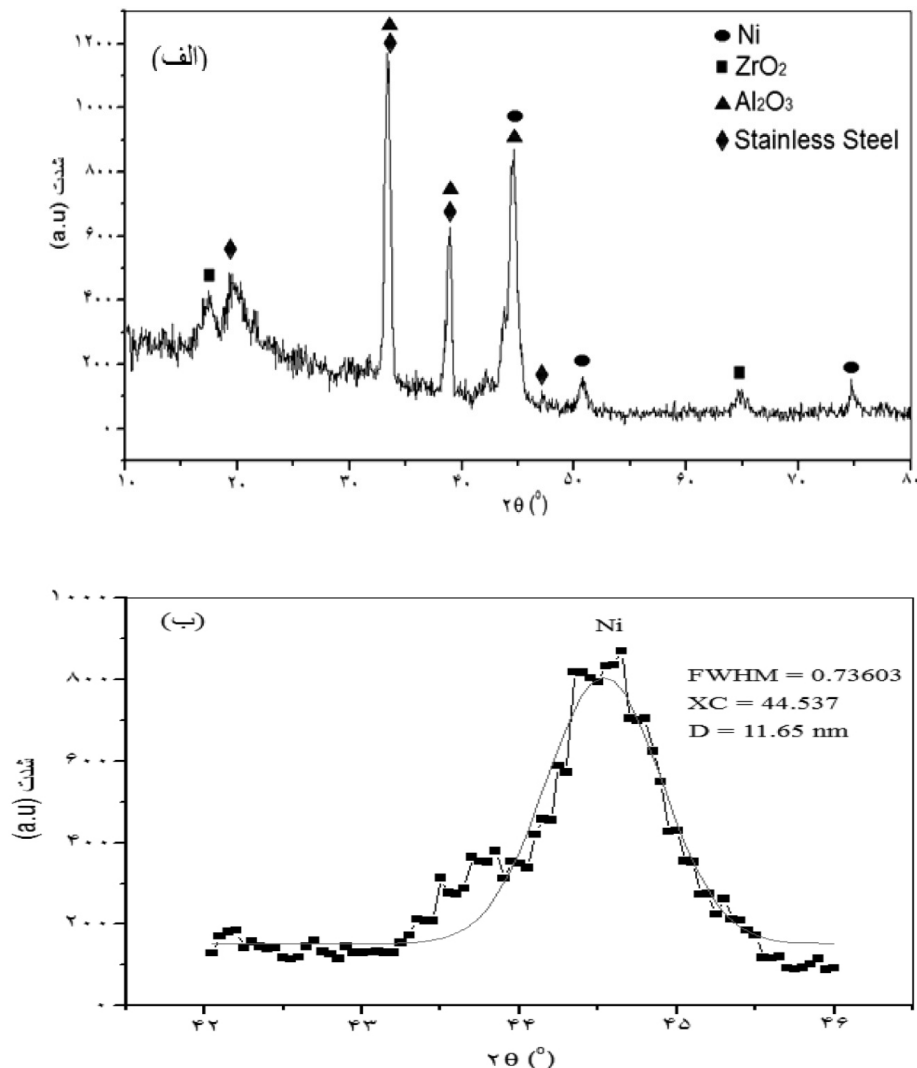
خلوص ۹۹/۹۹٪، با قطر و ضخامت به ترتیب ۱۰۰ mm و ۳ mm و تعدادی قطعه نازک و کوچک Co با خلوص ۹۹/۹۹٪، با ابعاد  $5 \times 3 \text{ mm}^2$  استفاده شد. سپس با قرار دادن تعداد مشخصی قطعه نازک و کوچک Co بر روی ورقه نیکل، درصدهای مختلفی از Co (۲/۵٪، ۵٪ و ۷/۵٪) بر روی زیرلایه مورد نظر لایه نشانی شدند. این لایه‌ها با توان ۱۰۰ W در مدت زمان‌های مختلف ۲ min، ۳ min، ۴ min، لایه نشانی شدند. فرآیند کندوپاش در دمای اتاق اجرا شد و پلاسمایی متشکل از آرگون در فشار  $1 \times 10^{-2} \text{ mbar}$  به دست آمد. زیرلایه مورد نظر در فاصله ۱۰ cm از کاتد قرار داشت.

#### آزمایش پراش اشعه ایکس به طور خراشان GIXRD:

در شکل ۴ (الف) منحنی مربوط به آزمایش GIXRD لایه کاتالیستی  $\text{Ni-Co/Al}_2\text{O}_3\text{-ZrO}_2$  تحت زمان لایه نشانی ۴ min در محدوده  $2\theta = 10^\circ - 80^\circ$  نشان داده شده است. همان‌طور که مشاهده می‌شود منحنی GIXRD تعدادی پیک را در زوایای  $2\theta$  برابر  $44/62^\circ$ ،  $38/92^\circ$ ،  $33/48^\circ$  نشان می‌دهند که می‌تواند به لایه‌های نازک  $\text{Al}_2\text{O}_3$  (JCPDS ۰۰-۰۱۶-۰۳۹۴) نسبت داده شود. علاوه بر وجود آلومینا، به دلیل حضور زیرکونیای مونوکلینیک ( $00-007-0343$ )  $\text{ZrO}_2$  (JCPDS) می‌توان پیک‌های مختصری را در زوایای  $2\theta$  برابر  $17/54^\circ$ ،  $42/2^\circ$ ،  $64/8^\circ$  مشاهده کرد که سنتز کامپوزیت  $\text{Al}_2\text{O}_3\text{-ZrO}_2$  را به عنوان پایه کاتالیست تأیید می‌کند. همچنین فاز مکعبی نیکل ( $01-087-0712$ ) JCPDS نیز در زوایای  $2\theta$  برابر  $44/5^\circ$ ،  $51/87^\circ$ ،  $76/41^\circ$  قابل مشاهده است. در میان پیک‌های مشاهده شده برای Ni، پیک مربوط به زاویه  $44/5^\circ$  می‌تواند به پیک اصلی آن نسبت داده شود. از طرفی با توجه به اینکه ضخامت لایه کاتالیست به اندازه‌ای نیست که مانع نفوذ پرتو ایکس گردد، پیک‌های مربوط به استیل ضد زنگ نیز قابل مشاهده است.

به طور کلی در این مطالعه فرآیند لایه نشانی به دو مرحله اصلی تقسیم می‌شود که در ادامه به آن پرداخته می‌شود. مرحله اول پایه کاتالیست در این مرحله برای لایه نشانی لایه‌های نازک  $\text{Al}_2\text{O}_3$  بر روی صفحات استیل از یک ورقه آلومینیومی با خلوص ۹۹/۹۹٪ با قطر و ضخامت به ترتیب ۱۰۰ mm و ۳ mm استفاده شده است. ورقه آلومینیومی به ولتاژ منفی متصل و نقش کاتد را داشته و زیرلایه (صفحه استیل) به ولتاژ مثبت متصل شد و در واقع نقش آنود را بر عهده داشت. زیرلایه مورد نظر در فاصله ۱۰ cm از کاتد قرار گرفت. برای تشکیل پلاσμα در فرآیند کندوپاش، ابتدا فشار اولیه محفظه کندوپاش به  $1 \times 10^{-6} \text{ mbar}$  رسید. سپس با ورود گاز آرگون و اکسیژن به محفظه با فشار جزئی اکسیژن برابر  $30\%$ ، فشار به  $1 \times 10^{-2} \text{ mbar}$  افزایش یافت. فرآیند کندوپاش در دمای اتاق اجرا شد و لایه‌های کاتالیستی  $\text{Al}_2\text{O}_3$  با توان ۵۰۰ W در مدت زمان ۱۰ min لایه نشانی شدند. در ادامه فرآیند و به منظور پوشش لایه‌های نازک  $\text{ZrO}_2$ ، از گرانول‌های بسیار خالص ۹۹/۹۹٪ به روش تبخیر حرارتی مبتنی بر مقاومت الکتریکی تحت فشار  $3 \times 10^{-6} \text{ mbar}$  استفاده شد که پس از قرار دادن منبع تبخیر در داخل بوتله تنگستنی با اعمال ولتاژ ۱۰ V و شدت جریان ۱۰۰ A دمای بوتله را که بر سر راه جریان الکتریکی قرار گرفته بود افزایش دادیم. هر زمان که داخل محفظه به دلیل افزایش حرارت به رنگ سفید (به دلیل وجود تنگستن) درآمد، آنگاه بر حسب مدت زمان تعیین شده جهت فرآیند تبخیر (این زمان برای لایه‌های  $\text{ZrO}_2$  دو دقیقه در نظر گرفته شده بود) عملیات تبخیر را به اتمام رساندیم.

مرحله دوم: شرایط عملیاتی مرحله قبل برای تمامی لایه‌های کاتالیستی یکسان در نظر گرفته شده بود. در مرحله دوم و به منظور لایه نشانی لایه‌های نازک Ni با درصدهای مختلف Co (۲/۵٪، ۵٪ و ۷/۵٪) بر روی پایه کاتالیست، از یک ورقه نیکل با



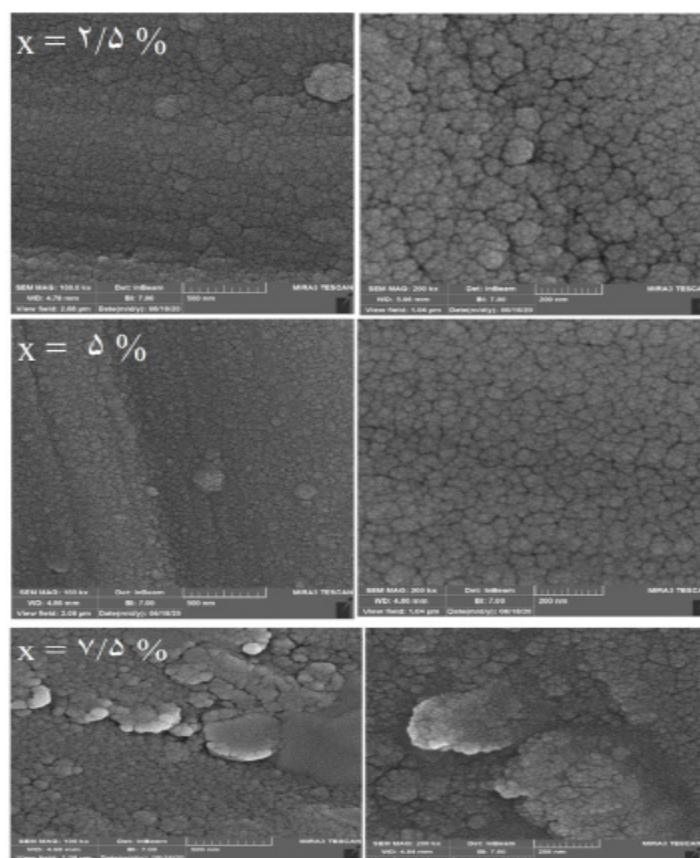
شکل ۴ الف) نتایج حاصل از آزمایش GIXRD لایه کاتالیستی  $\text{Ni-Co/Al}_2\text{O}_3\text{-ZrO}_2$  تهیه شده تحت زمان لایه نشانی ۴ min، ب) اندازه ذرات لایه‌های کاتالیستی به‌روش گوسین فیت تحت زمان لایه نشانی ۴ min

شده است. طبق محاسبات از فرمول رابطه دبای شرر  $\lambda/\text{WCOS}\theta$  و با استفاده از روش گوسین فیت شکل ۴ ب) اندازه ذرات لایه‌های کاتالیستی در زمان ۴ min برابر  $11/65 \text{ nm}$  به‌دست آمد.

#### میکروسکوپ الکترونی روبشی نشر میدانی

تصاویر FESEM برای درصدهای وزنی ۰/۵٪، ۲/۵٪ و ۷/۵٪ کبالت نسبت به نیکل در مقیاس‌های ۲۰۰ nm و ۵۰۰ nm به‌ترتیب از بالا به پایین در شکل ۵ نشان داده شده است. یافته‌ها نشان می‌دهد که مورفولوژی سطح با تغییر در درصد وزنی Co/Ni تغییر می‌کند.

عدم وجود پیک قابل شناسایی برای ترکیب اسپینل  $\text{NiAl}_2\text{O}_4$  را نیز می‌توان با توجه به پراکندگی مناسب فازها، به‌ویژه ممانعت‌کننده  $\text{ZrO}_2$  که از ورود نیکل به ساختار آلومینا جلوگیری می‌کند، توضیح داد. تحقیقات قبلی بیشتر از این ایده حمایت می‌کند که حضور  $\text{ZrO}_2$  مانع از رشد فازهای کریستالی و تولید ترکیبات اسپینل می‌شود [۲۹]. علاوه‌براین، هیچ پیک اختصاصی مربوط به فاز  $\text{CoO}$ ،  $\text{CoAl}_2\text{O}_4$  در منحنی GIXRD نمونه مشاهده نشد. این بدان معنی است که یا مقدار Co بسیار اندک است که بتوان آن را شناسایی کرد و یا فاز آمورف آن تشکیل



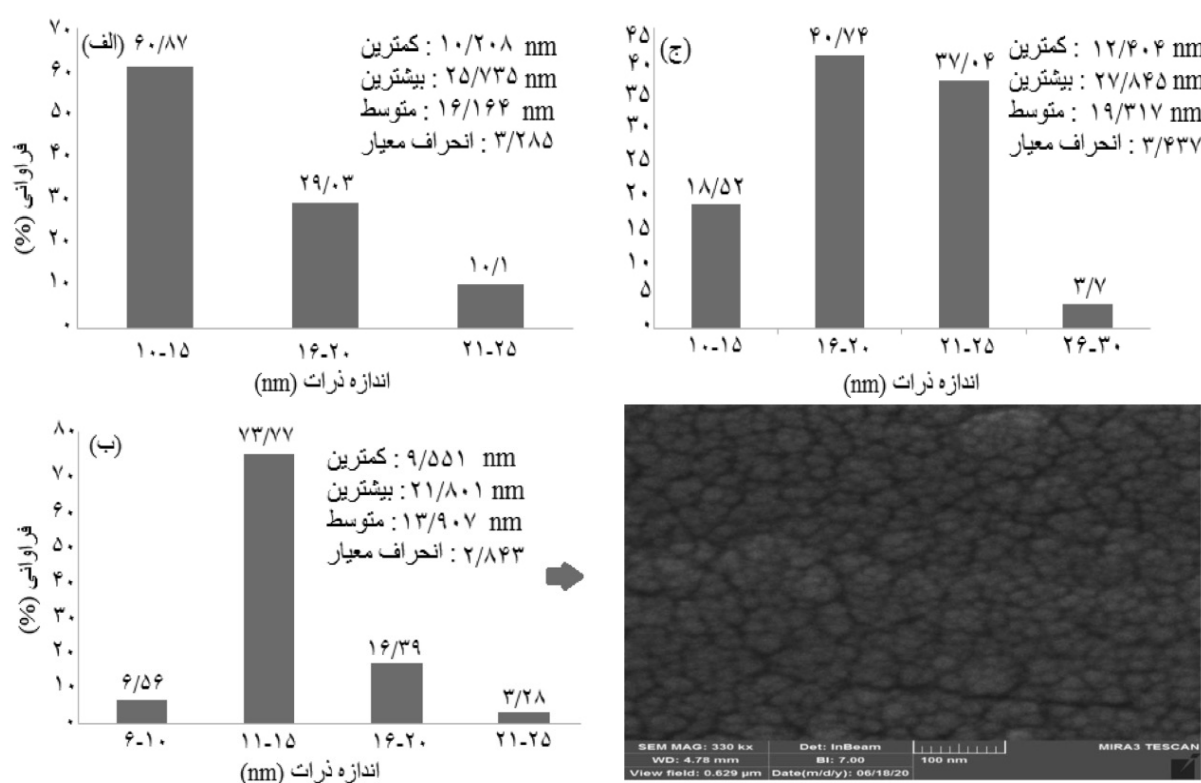
شکل ۵ تصاویر FESEM-surface مربوط به لایه‌های کاتالیستی  $\text{Ni-Co/Al}_2\text{O}_3\text{-ZrO}_2$  تهیه شده در درصدهای وزنی الف) ۲/۵، ب) ۵، ج) ۷/۵ کبالت نسبت به نیکل

وزنی مختلف  $\text{Co/Ni}$  تخمین زده شده است را نشان می‌دهد. مقایسه این سه کاتالیست نشان می‌دهد که افزایش درصد وزنی  $\text{Co/Ni}$  تا ۵/۵، محدوده توزیع را محدود کرده، به‌طوری‌که بیش از ۹۵٪ ذرات در محدوده کمتر از ۲۰ nm قرار دارند، درحالی‌که ذرات نمونه حاوی ۷/۵ وزنی  $\text{Co/Ni}$  در محدوده ۱۰ تا ۳۰ nm بوده و اندازه ۴۰٪ ذرات بیش از ۲۰ nm است. از سوی دیگر، میانگین اندازه ذرات نمونه حاوی ۵٪ وزنی  $\text{Co/Ni}$  ۱۳/۹ nm است، درحالی‌که ذرات حاوی ۷/۵ درصد وزنی  $\text{Co/Ni}$ ، ۱۹/۳۱۷ nm بود.

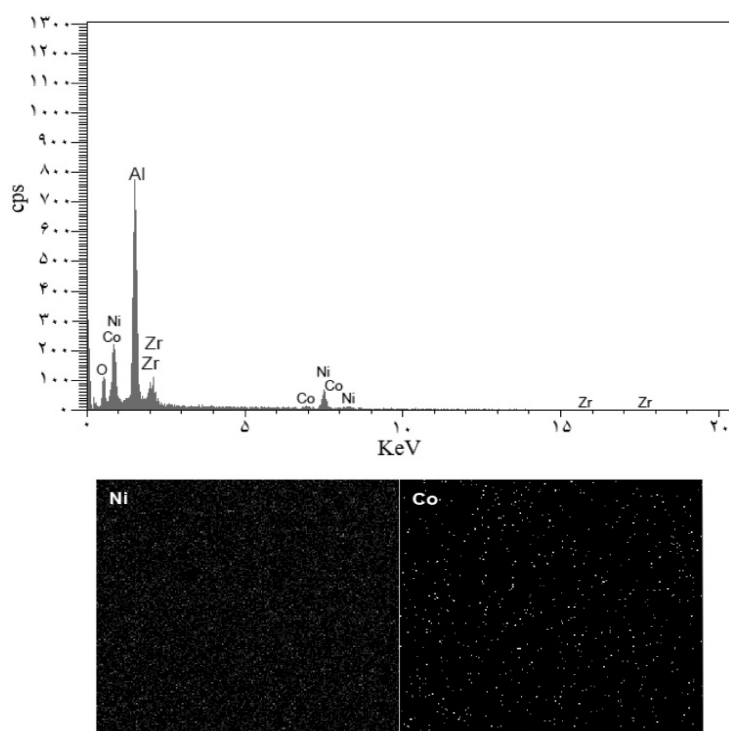
#### آزمایش طیف‌سنجی پراش انرژی برتو ایکس

شکل ۷ نتایج آنالیز صفحه‌ای طیف پراش انرژی برتو ایکس، مربوط به لایه‌های کاتالیستی  $\text{Ni-Co/Al}_2\text{O}_3\text{-ZrO}_2$  که در زمان لایه‌نشانی ۴ min و درصد وزنی  $\text{Co/Ni}$  برابر ۵٪ تهیه شده است را نشان می‌دهد.

به‌طور خاص با افزایش درصد وزنی  $\text{Co/Ni}$  تا ۵/۵، مورفولوژی متراکم‌تر، یکنواخت‌تر با پراکندگی بیشتر ذرات کوچک‌تر را می‌توان مشاهده کرد، که به‌خوبی سطح زیر لایه را پوشش داده است. از طرفی در نمونه حاوی ۷/۵٪ وزنی کبالت نسبت به نیکل، مورفولوژی غیریکنواخت با تجمع آشکار ذرات بزرگ‌تر مشاهده می‌شود. تجمع ذرات یکی از دلایل اصلی غیرفعال‌سازی کاتالیست است که می‌توان با افزودن مقدار مناسب تقویت‌کننده آن را مهار کرد. اثر هم‌افزایی افزایش درصد وزنی  $\text{Co/Ni}$  تا ۵/۵، محیطی یکنواخت برای هسته‌زایی و رشد ذرات فلزی فراهم می‌کند و به‌طور هم‌زمان از تجمع ذرات فلزی روی سطح  $\text{Al}_2\text{O}_3$  و  $\text{ZrO}_2$  جلوگیری می‌کند. همچنین شکل ۶ توزیع اندازه نانو ذرات  $\text{Ni-Co/Al}_2\text{O}_3\text{-ZrO}_2$  تهیه شده با روش رسوب فیزیکی بخار را که از طریق نرم‌افزار Image-J (در مقیاس ۱۰۰ nm) برای درصدهای



شکل ۶ آنالیز توزیع اندازه ذرات مربوط به لایه‌های کاتالیستی  $\text{Ni-Co/Al}_2\text{O}_3\text{-ZrO}_2$  تهیه شده در درصدهای وزنی: الف) ۲/۵، ب) ۵، ج) ۷/۵؛ کبالت نسبت به نیکل



شکل ۷ آنالیز نقطه ای طیف‌سنجی پراش انرژی پرتو ایکس مربوط به لایه کاتالیستی  $\text{Ni-Co/Al}_2\text{O}_3\text{-ZrO}_2$  در زمان لایه نشانی ۴ min با درصد وزنی Co نسبت به Ni برابر ۵٪

معیار تصمیم‌گیری درخصوص بهترین مدل برازش، مقدار کمیت  $F$  و کمیت  $P$  متناظر با آن است. هر چه مقدار کمیت  $F$  بیشتر و در نتیجه میزان کمیت  $P$  کمتر باشد، مدل اهمیت بیشتری دارد. در این تحلیل سطح اطمینان ۹۵٪ برای انجام تحلیل واریانس در نظر گرفته شده است. بدین معنی که اگر مقدار  $P$  کمتر از ۵٪ باشد مدل معنی دار خواهد بود [۳۰]. در ادامه، خلاصه آماری مدل برازش غیر فعال شدن کاتالیست در جدول ۳ ارائه شده است که در آن مدل درجه دو به دلیل داشتن حداقل انحراف معیار و PRESS و بیش ترین مقدار ضریب تعیین  $R^2$  و ضریب تعیین اصلاح شده  $R^2$  (adj) و ضریب تعیین پیش‌بینی  $R^2$  (pred) به عنوان بهترین مدل برازش توسط نرم‌افزار پیشنهاد شده است. هر چه میزان PRESS کمتر باشد مقدار مجموع مربعات باقی‌مانده به منظور پیش‌بینی پاسخ در فضای طراحی کاهش یافته، در نتیجه میزان دقت مدل در پیش‌بینی تغییرات پاسخ  $R^2$  (pred) در فضای طراحی افزایش می‌یابد. همچنین اختلاف ناچیز بین  $R^2$  (adj) و  $R^2$  نشان‌دهنده مناسب بودن مدل پیشنهادی، و مقدار ضریب تعیین  $R^2$  نزدیک به ۱، همبستگی بالای نتایج تجربی با مدل پیشنهادی را نشان می‌دهد. **بررسی اهمیت جملات مدل برازش درجه دو برای غیر فعال شدن کاتالیست**

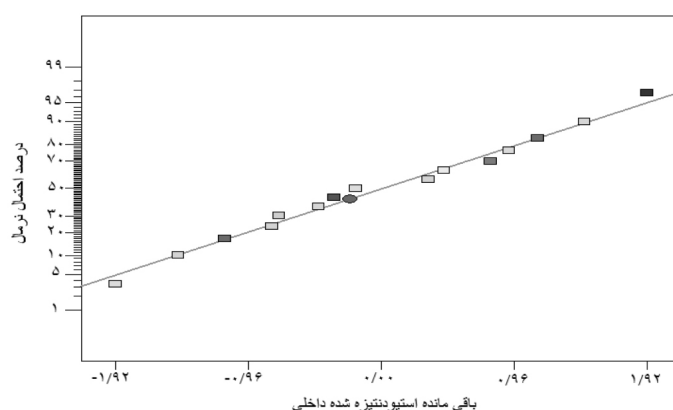
در جدول ۴ آنالیز ANOVA برای مدل درجه دوم غیر فعال شدن کاتالیست ارائه شده است.

همان‌طور که در تصاویر دیده می‌شود عناصر به‌طور یکنواخت بر روی زیر لایه پراکنده شده‌اند. علاوه بر این، تمام عناصر مورد استفاده در فرآیند لایه نشانی، در آنالیز نقطه‌ای طیف پراش انرژی پرتو ایکس قابل مشاهده هستند.

### عملکرد کاتالیست در رفرمینگ خشک متان آنالیز داده‌ها

در تحلیل واریانس، کلیه کمیت‌های آماری با فرض توزیع نرمال مقادیر باقی‌مانده به دست می‌آیند. در صورتی که فرض توزیع نرمال برقرار نباشد، نتایج تحلیل واریانس و در نتیجه مدل به دست آمده معتبر نخواهند بود. مهم‌ترین نمودار در بررسی فرض نرمال بودن داده‌ها، نمودار نرمال مقادیر باقی‌مانده است که در شکل ۸ ارائه شده است و در آن منظور از باقی‌مانده استیودنتیزه شده، حاصل تقسیم مقدار باقی‌مانده بر انحراف معیار متناظر در هر نقطه است. در صورتی که مقادیر داده‌ها به‌طور تقریبی بر روی یک خط قرار بگیرند در این صورت می‌توان گفت که فرض توزیع نرمال برقرار است. در شکل زیر نمودار توزیع نرمال مقادیر باقی‌مانده داده‌های حاصل از این مطالعه نشان داده شده است. همان‌طور که مشخص است نقاط داده‌ها حالت خطی دارند و الگوی غیر خطی مشاهده نمی‌شود. لذا فرض توزیع نرمال داده‌ها برقرار است.

### بررسی کفایت مدل برازش



شکل ۸ نمودار توزیع نرمال باقی‌مانده برای غیر فعال شدن کاتالیست

جدول ۳ خلاصه مدل آماری

مدل	استاندارد دیورژانس	ضریب تعیین $R^2$	ضریب تعیین اصلاح شده $R^2$ (adj)	ضریب تعیین پیش‌بینی $R^2$ (pred)	PRESS	
خطی	۱/۱۲	۰/۷۳۲۷	۰/۶۵۹۹	۰/۵۱۷۸	۲۵/۰۲	
2 FI (درجه ۲ اصلاح شده)	۱/۲۷	۰/۷۵۲۱	۰/۵۶۶۱	۰/۰۵۸۸	۴۸/۸۳	
درجه ۲	۰/۲۲	۰/۹۹۵۳	۰/۹۸۶۸	۰/۹۳۷۱	۳/۲۷	پیشنهادی
درجه ۳	۰/۱۵	۰/۹۹۹۱	۰/۹۹۳۷		+	

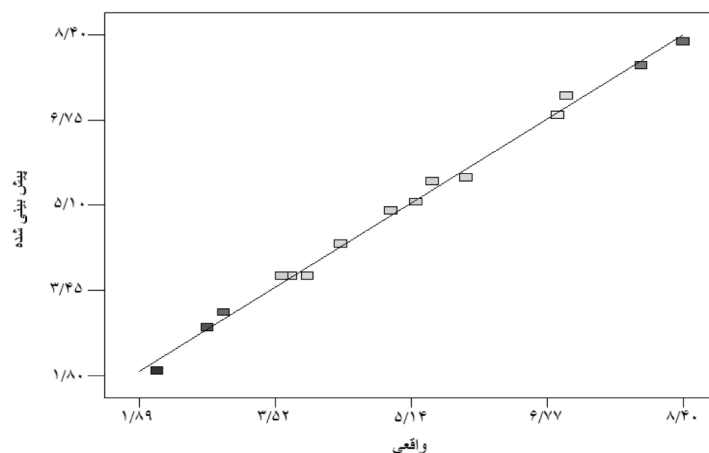
 جدول ۴ تحلیل واریانس برای مدل سطح پاسخ درجه دو برای تبدیل اولیه  $CH_4$ 

خطای استاندارد	ضرائب تخمینی	مقدار P	مقدار F	میانگین مربعات	مجموع مربعات	مدل
		$<0/0001$	۱۱۷/۵۰	۵/۷۴	۵۱/۶۴	مدل
۰/۰۷۸	-۱/۹۴	$<0/0001$	۶۱۴/۹۷	۳۰/۰۳	۳۰/۰۳	A-T
۰/۰۷۸	-۰/۶۹	۰/۰۰۰۳	۷۷/۴۳	۳/۷۸	۳/۷۸	B-X
۰/۰۷۸	-۰/۷۳	۰/۰۰۰۲	۸۶/۱۱	۴/۲۰	۴/۲۰	C-t
۰/۱۱	۰/۰۲۵	۰/۸۳	۰/۰۵۱	۰/۰۰۳	۰/۰۰۳	AB
۰/۱۱	۰/۳	۰/۰۴۲	۷/۳۷	۰/۳۶	۰/۳۶	AC
۰/۱۱	۰/۴	۰/۰۱۵۲	۱۳/۱۱	۰/۶۴	۰/۶۴	BC
۰/۱۲	۰/۰۷۱	۰/۵۶۴۹	۰/۳۸	۰/۰۲	۰/۰۲	A <sup>2</sup>
۰/۱۲	۱/۸۲	$<0/0001$	۲۵۰/۶۸	۱۲/۲۴	۱۲/۲۴	B <sup>2</sup>
۰/۱۲	۰/۴۵	۰/۰۱۱۷	۱۵/۰۳	۰/۷۳	۰/۷۳	C <sup>2</sup>

نشانی (t) تأثیر نسبتاً کمتری را نشان می‌دهد. همان‌طور که در **جدول ۴** نشان داده شده است، ضریب تعیین پیش‌بینی  $R^2$  (pred) برابر ۰/۹۳۷۱ در توافق خوب با ضریب تعیین اصلاح شده (adj)  $R^2$  برابر ۰/۹۸۶۸ است که نشان‌دهنده مناسب بودن مدل به‌دست آمده است. همچنین ضریب تعیین  $R^2$  برابر ۰/۹۹۵۳ می‌تواند دقت مدل را در پیش‌بینی پاسخ نشان دهد. **شکل ۹** نزدیکی مدل پیش‌بینی شده با داده‌های تجربی را نشان می‌دهد که اعتبار مدل برازش به‌دست آمده را مشخص می‌کند. در نهایت مدل درجه دو برای غیرفعال شدن کاتالیست برحسب مقادیر کد شده و مقادیر واقعی متغیرهای مستقل در روابط ۴ و ۵ بیان شده است. هر چه ضرایب یک جمله در رابطه کد شده بزرگ‌تر باشد، تأثیر آن متغیر نیز در غیر فعال شدن کاتالیست بیش‌تر است.

با توجه به اینکه مقدار P برای مدل کمتر از ۵٪ است، کفایت مدل درجه دو برای توصیف تغییرات تأیید می‌شود. مقدار P، توانایی مدل را در پیش‌بینی میزان غیر فعال شدن کاتالیست نشان می‌دهد و  $P < 0/0001$  نشان‌دهنده مناسب بودن مدل به‌دست آمده برای نشان دادن رابطه واقعی بین متغیرهای مستقل مورد بررسی است. مقادیر  $P < 0/05$  برای جملات  $C^2$ ،  $B^2$ ،  $BC$ ،  $AC$ ،  $C$ ،  $B$ ،  $A$  نیز نشان می‌دهد که تمامی جملات فوق در مدل درجه دو دارای اهمیت هستند. از طرفی با توجه به مقادیر F می‌توان میزان حساسیت مدل ارائه شده برای غیر فعال شدن کاتالیست را نسبت به متغیرهای مستقل تفسیر نمود. همان‌طور که مشاهده می‌شود دمای واکنش (T) با توجه به مقدار F آن مؤثرترین متغیر و درصد وزنی کبالت نسبت به نیکل (X) در مقایسه با زمان لایه





شکل ۹ مقایسه مقادیر واقعی و پیش‌بینی شده برای غیرفعال شدن کاتالیست

(۱)، تجزیه متان (واکنش ۶)، هیدروژن دهی  $\text{CO}_2$  (واکنش ۷)، و هیدروژن دهی  $\text{CO}$  (واکنش ۸) تشکیل شود [۳۲]. از دیدگاه ترمودینامیکی، تجزیه متان مسیر اصلی برای تشکیل کک در دماهای بالاتر است، در حالی که، سه واکنش دیگر تمایل به تشکیل کک در دمای پایین‌تر دارند. با توجه به شکل ۱۰ (الف و ب)، غیرفعال شدن کاتالیست با افزایش دمای واکنش کاهش می‌یابد. بنابراین می‌توان گفت که دمای بالا مانع انجام سه واکنش گرمازا برای تشکیل کک می‌گردد. علاوه بر این، در دمای بالاتر، امکان مصرف متان در واکنش اصلی رفرمینگ خشک متان (با توجه به گرماگیر بودن واکنش) بیشتر است. بنابراین مقدار کمی از  $\text{CH}_4$  برای تجزیه باقی می‌ماند. همچنین کک شکل گرفته در دمای بالاتر می‌تواند توسط معکوس واکنش بودوارد حذف شود [۳۳]. شکل ۱۰ (ب و ج)، نشان می‌دهد که افزایش زمان رسوب‌گذاری ( $t$ ) منجر به کاهش غیرفعال شدن کاتالیست می‌شود زیرا منجر به یکنواختی و پراکندگی بیشتر فاز فعال می‌شود (همان‌طور که در تجزیه و تحلیل GIXRD فیلم‌های کاتالیست مشاهده شد). براساس شکل ۱۰ (الف و ج)، افزایش درصد وزنی  $\text{Co/Ni}$  تا ۵٪ منجر به کاهش قابل توجهی در غیرفعال شدن کاتالیست می‌گردد زیرا با توجه به تجزیه و تحلیل FESEM که در شکل ۳ نشان داده شده است.

همچنین با توجه به علامت ضرایب مدل، علامت مثبت نشان‌دهنده رابطه مستقیم و علامت منفی نشان‌دهنده رابطه معکوس این ضرایب با غیرفعال شدن کاتالیست است.

مدل برحسب مقادیر کد شده متغیرهای مستقل:

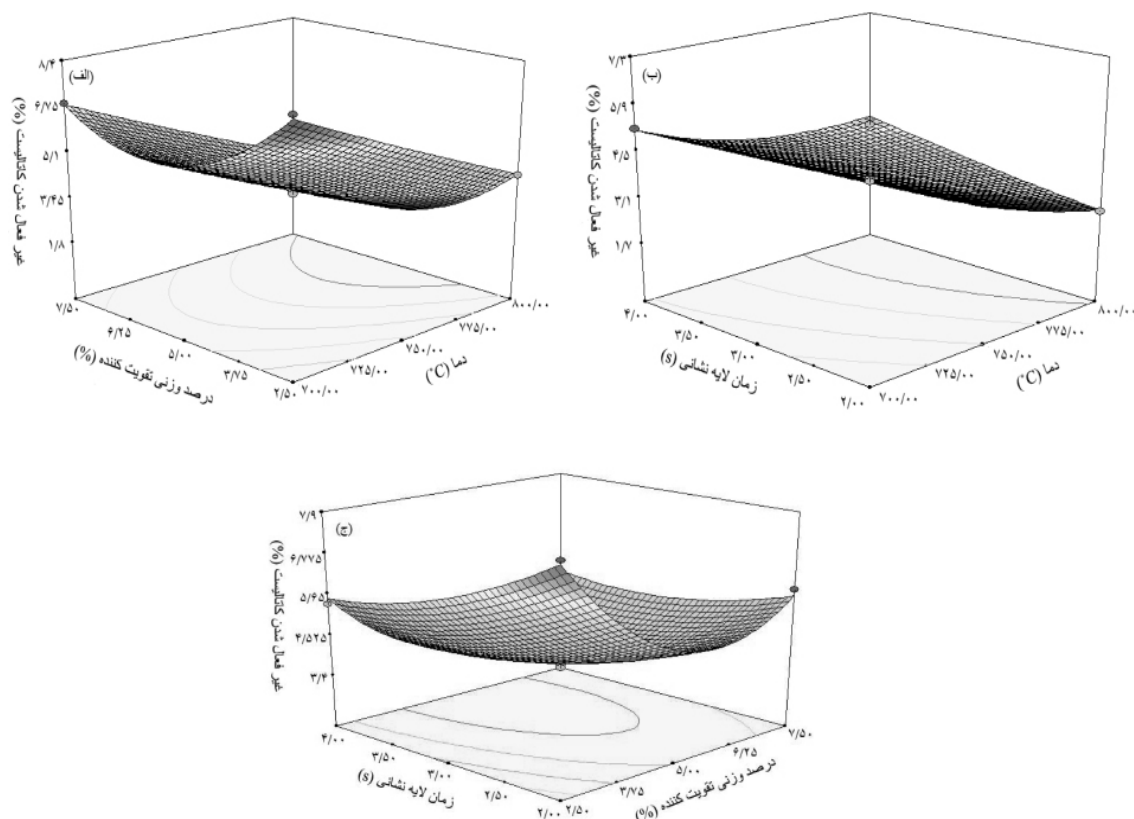
$$(۴) \quad \text{غیرفعال شدن کاتالیست} = 3/73 - 1/94 A - 0/69B - 0/73C + 0/025AB + 0/3 AC + 0/4 BC + 0/071A^2 + 1/82B^2 + 0/45C^2$$

مدل برحسب مقادیر واقعی متغیرهای مستقل:

$$(۵) \quad \text{غیرفعال شدن کاتالیست} = +80/22917 - 0/1 T - 3/81833 X - 8/70 t + 0/0002 TX + 0/006 Tt + 16/0 X t + 000028/0T^2 + 0/29133X^2 + 0/44583 t^2$$

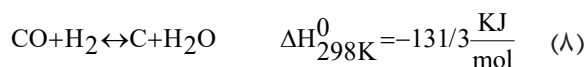
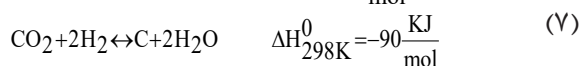
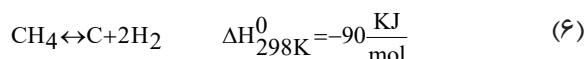
### تأثیر متغیرهای فرآیند بر غیرفعال شدن کاتالیست

تأثیر متغیرهای مختلف مورد بررسی از جمله زمان لایه نشانی ( $t$ )، درصد وزنی کبالت نسبت به نیکل ( $X$ ) و دمای واکنش ( $T$ ) برروی غیرفعال شدن کاتالیست به صورت نمودارهای سه بعدی در شکل ۱۰ نشان داده شده است. یک عامل مهم در توسعه یک کاتالیست، پایداری آن در شرایط واکنش است. رسوب کربن و کلوخه شدن سایت‌های فعال از دلایل اصلی غیرفعال شدن کاتالیست در فرآیند رفرمینگ خشک متان به حساب می‌آیند [۳۱]. کربن می‌تواند از طریق واکنش بودوارد (واکنش



شکل ۱۰ نمودار سه بعدی و کانتور برای مدل پیش‌بینی غیر فعال شدن کاتالیست به‌عنوان تابعی از (الف) زمان لایه نشانی (t) و دمای واکنش (T) در درصد وزنی کبالت نسبت به نیکل برابر ۵٪ (ب) زمان لایه نشانی (t) و درصد وزنی کبالت نسبت به نیکل (X) در دمای واکنش ۷۵۰ °C (ج) درصد وزنی کبالت نسبت به نیکل (X) و دمای واکنش (T) در زمان لایه نشانی ۳ min

مناسب‌تر است [۳۵].



بهینه‌سازی متغیرهای فرآیند با استفاده از روش

سطح پاسخ (RSM)

در این مطالعه به‌منظور تعیین شرایط عملیاتی بهینه فرآیند از روش سطح پاسخ (RSM) استفاده شد که در برنامه آنالیز برازش نرم‌افزار دیزاین اکسپرت تعبیه شده است. بدین منظور حدود بالا و پایین برای هر یک از سه متغیر فرآیندی یعنی زمان لایه نشانی (t)، درصد وزنی کبالت نسبت به نیکل (X) و دمای واکنش (T) که به‌طور پیش فرض همیشه در محدوده طراحی خود قرار می‌گیرند.

با کاهش اندازه ذرات، گونه‌های کربن به‌عنوان سایت‌های بازی جدید، بیشتر در دسترس بوده و با افزایش جذب گاز اسیدی  $\text{CO}_2$  و تولید Co، میزان تولید گاز سنتز را افزایش می‌دهند. این پدیده علاوه‌بر پیشبرد واکنش اصلی فرآیند (واکنش ۳)، بر کاهش کک از طریق عکس واکنش بودارد و پایدار ماندن فعالیت کاتالیست نیز مؤثر است. این یافته‌ها با نتایج به‌دست آمده از مطالعات ژانگ و همکاران [۳۴] نیز هم‌خوانی دارد. نتایج آنها نشان داد که پایداری کاتالیست دو فلزی Co-Ni با افزودن محتوی Co (بین ۳-۵٪ وزنی) به‌سبب تشکیل فاز فعال با اندازه کوچک‌تر و پراکندگی مناسب‌تر افزایش می‌یابد. از طرفی افزایش بیشتر در میزان درصد وزنی کبالت نسبت به نیکل تا ۷/۵٪، سبب کاهش نسبی فعالیت کاتالیستی می‌گردد. زیرا در DRM، اندازه ذرات بزرگ‌تر برای واکنش تشکیل کک

با رآکتور بستر ثابت نیز منجر به کاهش مصرف انرژی و کاهش هزینه‌های عملیاتی می‌شود. با این حال به واسطه وجود برخی تفاوت‌ها در شرایط آزمایش کاتالیزوری، مقایسه نتایج تحقیقات مختلف به راحتی امکان پذیر نیست.

$$(9) \times 100 = \frac{\text{مقادیر تجربی} - \text{مقادیر پیش بینی شده توسط مدل}}{\text{مقادیر تجربی}} (\%) \text{ خطا}$$

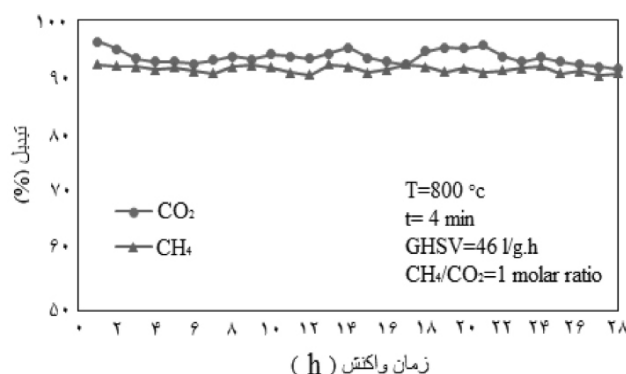
### آزمایش پایداری لایه‌های کاتالیستی در شرایط بهینه

آزمایش پایداری به مدت ۲۸ h برای بهترین نمونه در فشار ۱ atm، دمای ۸۰۰ °C، خوراکی محتوی متان، دی اکسید کربن و هلیوم با نسبت مولی ۸:۱:۱ دبی خوراک ورودی ۱۰ mL/min، با مصرف ۱۳/۰۴ mg کاتالیست (با وزن کردن نمونه قبل و بعد از فرآیند لایه نشانی)، و سرعت فضایی (mL/(hr.g<sub>cat</sub>)) ۴۶۰۰۰ مورد مطالعه قرار گرفت. **شکل ۱۱** نتایج آزمایش پایداری را نشان می‌دهد. همان گونه که دیده می‌شود درصد تبدیل خوراک در طول ۲۸ h حدوداً ثابت و پایدار باقی می‌ماند. مدت زمان لایه نشانی مناسب ۴ min و ترکیب بهینه اجزای نانو کاتالیست و تقویت کننده فاز فعال برای ۵٪ وزنی (Co/Ni) مسئول توزیع اندازه ذرات کوچک و یکنواخت و پراکندگی بالای فاز فعال هستند. بر این اساس، پایداری عالی کاتالیزور را می‌توان به توزیع اندازه ذرات یکنواخت و نانوذرات کوچک نسبت داد که باعث بهبود فعال سازی CO<sub>2</sub> از طریق معکوس واکنش بودوارد می‌شود.

مشخص و محدوده هدف برای سطح پاسخ (غیرفعال شدن کاتالیست) معین گردید. در این مطالعه هدف اصلی در تعیین محدوده پاسخ این بود که میزان غیرفعال شدن کاتالیست را به حداقل برسانیم. بر این اساس و بر طبق نتایج حاصل از بهینه سازی، تحت شرایط بهینه به دست آمده یعنی: دمای ۸۰۰ °C، درصد وزنی کبالت نسبت به نیکل برابر با ۴/۷۶ و زمان لایه نشانی ۳/۹۷ min میزان غیر فعال شدن کاتالیست برابر ۱/۹۴٪ به دست آمد که به منظور بررسی میزان دقت مدل ارائه شده، آزمایش تجربی در نقطه بهینه معرفی شده توسط نرم افزار انجام و بر این اساس میزان غیر فعال شدن کاتالیست تحت شرایط بهینه پیشنهادی برابر ۱/۸٪ به دست آمد. براساس رابطه ۹ میزان خطای میانگین برای غیرفعال شدن کاتالیست برابر ۷/۷٪ به دست می‌آید که نشان می‌دهد روش تجزیه و تحلیل آماری می‌تواند نتایج قابل اعتمادی برای تخمین شرایط بهینه در فرآیند فرمینگ خشک متان ارائه دهد. همچنین در **جدول ۵** نتایج به دست آمده در این مطالعه با سایر نتایج منتشر شده توسط سیستم‌های مشابه مورد ارزیابی قرار گرفته است. نتایج نشان می‌دهند که با وجود به کارگیری روشی ساده برای آماده سازی کاتالیست، نتایج قابل مقایسه‌ای در مقایسه با سایر روش‌ها ارائه شده است. از طرفی استفاده از رآکتور میکرو کانال با حجم و مقدار کاتالیست کمتر در میزان تبدیل مشابه

جدول ۵ مقایسه نتایج به دست آمده در این مطالعه با نتایج مقالات منتشر شده

مرجع	روش آماده سازی	H <sub>2</sub> /CO نسبت مولی	درصد تبدیل متان (%)	سرعت فضایی mL/h.g <sub>cat</sub>	دما (°C)	وزن مصرفی (mg)	نوع کاتالیست
این مطالعه	PVD	۰/۹۴	۹۲/۴	۴۶۰۰۰	۸۰۰	۱۳/۰۴	Ni-Co/Al <sub>2</sub> O <sub>3</sub> -ZrO <sub>2</sub>
[۳۶]	سل-ژل	۱/۰۱	۹۰/۱	۲۴۰۰۰	۸۵۰	۱۰۰	Ni-Co/Al <sub>2</sub> O <sub>3</sub> -ZrO <sub>2</sub>
[۳۷]	رسوبی	۰/۹۶	۹۱	۱۸۰۰۰	۸۰۰	۱۵۰	Ni-Co/Al <sub>2</sub> O <sub>3</sub> -ZrO <sub>2</sub>
[۳۱]	تلقیح	۱/۰۰	۹۵	۱۴۰۰۰	۷۵۰	۲۰۰	Ni-Cu/Al <sub>2</sub> O <sub>3</sub>
[۲۷]	کندوپاش	۰/۹۷	۹۴/۸	۶۴۰۰۰	۸۰۰	۹/۳	Ni/Al <sub>2</sub> O <sub>3</sub>



شکل ۱۱ درصد تبدیل  $\text{CH}_4$ ،  $\text{CO}_2$  در شرایط بهینه برای لایه‌های کاتالیستی  $\text{Ni-Co/Al}_2\text{O}_3\text{-ZrO}_2$  در آزمایش پایداری

اثر پارامترهای مختلف همچون زمان لایه نشانی (t)، درصد وزنی کبالت نسبت به نیکل (X) و دمای واکنش (T) بر غیرفعال‌سازی کاتالیست در طول ۳۶۰ زمان واکنش مورد مطالعه قرار گرفت. تصاویر FESEM نشان دادند که در نانوکاتالیست‌های با ۵٪ وزنی کبالت نسبت به نیکل، ذرات تشکیل‌شده متراکم‌تر، کوچک‌تر و دارای یکنواختی بیشتری هستند به‌طوری‌که بیش از ۹۵٪ ذرات تشکیل شده کوچکتر از ۲۰ nm اندازه داشتند. علاوه بر این و براساس آنالیز EDX پراکندگی یکنواخت عناصر بر روی زیر لایه نشان داده شد و نتایج حضور همه عناصر مورد استفاده در فرآیند لایه نشانی را تایید کرد. همچنین بررسی الگوی GIXRD نشان داد که افزایش زمان لایه نشانی منجر به تشکیل لایه‌های کاتالیزوری با بلورینگی مناسب شده که این امر را می‌توان به رشد کریستال‌های دو فلزی Ni-Co و پراکندگی آنها بر روی پایه  $\text{Al}_2\text{O}_3\text{-ZrO}_2$  نسبت داد. بنابراین در بین نمونه‌های مورد مطالعه برای شرایط بهینه یعنی درصد وزنی کبالت نسبت به نیکل برابر ۵٪ و زمان رسوب ۴ min، کمترین میزان رسوب و بالاترین میزان پایداری ثبت شد. نتایج نشان داد که کاتالیست سنتز شده در این روش، با وجود روش آماده‌سازی ساده، نتایج قابل قبولی را به همراه دارد. از طرفی با استفاده از روش رسوب فیزیکی بخار می‌توان به ساختار یکنواخت با پراکندگی مناسب فاز فعال دست یافت.

این یافته‌ها با نتایج ژانگ و همکاران [۳۴] نیز مطابقت دارد. آنها نشان دادند که اندازه ذرات کوچک، جذب  $\text{CO}_2$  را افزایش داده و منجر به مهار کامل رسوب کربن بدون از بین بردن فعالیت می‌شود. جدا از اثرات افزایش زمان رسوب‌گذاری و ترکیب بهینه نانوکاتالیست، پایداری طولانی مدت  $\text{Ni-Co/Al}_2\text{O}_3\text{-ZrO}_2$  را می‌توان با استفاده از زیرکونیا نیز بررسی کرد. زیرکونیا در این فرآیند به عنوان یک فاز فعال بازی عمل کرده که می‌تواند جذب گاز اسیدی  $\text{CO}_2$  را افزایش دهد. از سوی دیگر، این اکسید فلزی می‌تواند نقش یک مانع را در برابر کلوخه شدن فاز فعال ایفا کند. بر این اساس،  $\text{ZrO}_2$  اثر مناسبی را بر پایداری نانوکاتالیست نشان می‌دهد. علاوه بر این، استفاده از روش مناسب پوشش‌دهی نانوکاتالیست‌ها بر روی زیرلایه فولادی ضد زنگ به پایداری خوب نانوکاتالیست‌ها کمک کرده است.

### نتیجه‌گیری

هدف از این مطالعه ارزیابی عملکرد کاتالیست‌های نیکل بنیان در فرآیند رفرمینگ خشک متان با استفاده از رآکتورهای میکروکانال بوده است. به همین منظور و با به کارگیری روش رسوب فیزیکی بخار، لایه‌های نازک  $\text{Ni-Co/Al}_2\text{O}_3\text{-ZrO}_2$  بر روی صفحات استیل ضد زنگ لایه نشانی شدند. طراحی آزمایش‌ها با روش باکس-بنکن انجام شد و در آن

## مراجع

- [1]. Li K, Wang H, Wei Y, Yan D (2011) Transformation of methane into synthesis gas using the redox property of Ce-Fe mixed oxides: effect of calcination temperature, *International Journal of Hydrogen Energy*, 36, 5: 3471-3482, doi.org/10.1016/j.ijhydene.2010.12.038.
- [2]. Estifae P, Haghighi M, Babaluo A A, Rahemi N, Jafari M F (2014) The beneficial use of non-thermal plasma in synthesis of Ni/Al<sub>2</sub>O<sub>3</sub>-MgO nanocatalyst used in hydrogen production from reforming of CH<sub>4</sub>/CO<sub>2</sub> greenhouse gases, *Journal of Power Sources*, 257: 364-373, doi.org/10.1016/j.jpowsour.2014.01.128.
- [3]. Ma J, Sun N, Zhang X, Zhao N, Xiao F, Wei W, Sun Y (2009) A short review of catalysis for CO<sub>2</sub> conversion, *Catalysis Today*, 148, 3-4: 221-231, doi.org/10.1016/j.cattod.2009.08.015.
- [4]. Rostrup-Nielsen J R (2000) New aspects of syngas production and use, *Catalysis Today*, 63, 2-4: 159-164, doi.org/10.1016/S0920-5861(00)00455-7.
- [5]. York A P, Xiao T, Green M L (2003) Brief overview of the partial oxidation of methane to synthesis gas, *Topics in Catalysis*, 22: 345-358.
- [6]. Patel S, Kundu S, Halder P, Marzbali M H, Chiang K, Surapaneni A, Shah K (2020) Production of hydrogen by catalytic methane decomposition using biochar and activated char produced from biosolids pyrolysis, *International Journal of Hydrogen Energy*, 45, 55: 29978-29992, doi.org/10.1016/j.ijhydene.2020.08.036.
- [7]. Hou Z, Chen P, Fang H, Zheng X, Yashima T (2006) Production of synthesis gas via methane reforming with CO<sub>2</sub> on noble metals and small amount of noble-(Rh-) promoted Ni catalysts, *International Journal of Hydrogen Energy*, 31, 5: 555-561, doi.org/10.1016/j.ijhydene.2005.06.010.
- [8]. Zhang L, Zhang Q, Liu Y, Zhang Y (2016) Dry reforming of methane over Ni/MgO-Al<sub>2</sub>O<sub>3</sub> catalysts prepared by two-step hydrothermal method, *Applied Surface Science*, 389: 25-33, doi.org/10.1016/j.apsusc.2016.07.063.
- [9]. Pechimuthu N A, Pant K K, Dhingra S C (2007) Deactivation studies over Ni- K/CeO<sub>2</sub>- Al<sub>2</sub>O<sub>3</sub> catalyst for dry reforming of methane, *Industrial and Engineering Chemistry Research*, 46, 6: 1731-1736, doi.org/10.1021/ie061389n.
- [10]. Bychkov V Y, Tyulenin Y P, Firsova A A, Shafranovsky E A, Gorenberg A Y, Korchak V N (2013) Carbonization of nickel catalysts and its effect on methane dry reforming, *Applied Catalysis A: General*, 453: 71-79.
- [11]. Rahemi N, Haghighi M, Akbar Babaluo A, Fallah Jafari M, Khorram S (2013) Conversion of CH<sub>4</sub>/CO<sub>2</sub> to syngas over Ni-Co/Al<sub>2</sub>O<sub>3</sub>-ZrO<sub>2</sub> nanocatalyst synthesized via plasma assisted co-impregnation method: Surface properties and catalytic performance, *Journal of Applied Physics*, 114, 9: 094301, doi.org/10.1063/1.4816462.
- [12]. Rahmani F, Haghighi M, Vafaeian Y, Estifae P (2014) Hydrogen production via CO<sub>2</sub> reforming of methane over ZrO<sub>2</sub>-Doped Ni/ZSM-5 nanostructured catalyst prepared by ultrasound assisted sequential impregnation method, *Journal of Power Sources*, 272: 816-827, doi.org/10.1016/j.jpowsour.2014.08.123.
- [13]. Martinez R, Romero E, Guimon C, Bilbao R (2004) CO<sub>2</sub> reforming of methane over coprecipitated Ni-Al catalysts modified with lanthanum, *Applied Catalysis A: General*, 274, 1-2: 139-149, doi.org/10.1016/j.apcata.2004.06.017.
- [14]. Jabbour K, Massiani P, Davidson A, Casale S, El Hassan N (2017) Ordered mesoporous "one-pot" synthesized Ni-Mg (Ca)-Al<sub>2</sub>O<sub>3</sub> as effective and remarkably stable catalysts for combined steam and dry reforming of methane (CSDRM), *Applied Catalysis B: Environmental*, 201: 527-542, doi.org/10.1016/j.apcatb.2016.08.009.
- [15]. Li D, Li R, Lu M, Lin X, Zhan Y, Jiang L (2017) Carbon dioxide reforming of methane over Ru catalysts supported on Mg-Al oxides: A highly dispersed and stable Ru/Mg (Al) O catalyst, *Applied Catalysis B: Environmental*, 200: 566-577, doi.org/10.1016/j.apcatb.2016.07.050.
- [16]. Sajjadi S M, Haghighi M, Rahmani F (2014) Dry reforming of greenhouse gases CH<sub>4</sub>/CO<sub>2</sub> over MgO-promoted Ni-Co/Al<sub>2</sub>O<sub>3</sub>-ZrO<sub>2</sub> nanocatalyst: effect of MgO addition via sol-gel method on catalytic properties and hydrogen yield, *Journal of Sol-gel Science and Technology*, 70: 111-124.
- [17]. Song J H, Han S J, Yoo J, Park S, Kim D H, Song I K (2016) Effect of Sr content on hydrogen production by steam reforming of ethanol over Ni-Sr/Al<sub>2</sub>O<sub>3</sub>-ZrO<sub>2</sub> xerogel catalysts, *Journal of Molecular Catalysis A: Chemical*, 418: 68-77, doi.org/10.1016/j.molcata.2016.03.035.
- [18]. Singha R K, Shukla A, Yadav A, Adak S, Iqbal Z, Siddiqui N, Bal R (2016) Energy efficient methane tri-reforming for synthesis gas production over highly coke resistant nanocrystalline Ni-ZrO<sub>2</sub> catalyst, *Applied Energy*, 178: 110-125, doi.org/10.1016/j.apenergy.2016.06.043.
- [19]. Rezaei M, Alavi S M, Sahebdehfar S, Bai P, Liu X, Yan Z F (2008) CO<sub>2</sub> reforming of CH<sub>4</sub> over nanocrystalline zirconia-supported nickel catalysts, *Applied Catalysis B: Environmental*, 77, 3-4: 346-354, doi.org/10.1016/j.apcatb.2007.08.004.
- [20]. San-José-Alonso D, Juan-Juan J, Illán-Gómez M J, Román-Martínez M C, Ni, Co and bimetallic Ni-Co catalysts for the dry reforming of methane, *Applied Catalysis A: General*, 371, 54-59, doi.org/10.1016/j.apcata.2009.09.026.



- [21]. Zhang J, Wang H, Dalai A K (2007) Development of stable bimetallic catalysts for carbon dioxide reforming of methane, *Journal of Catalysis*, 249, 2: 300-310, doi.org/10.1016/j.jcat.2007.05.004.
- [22]. Therdthianwong S, Siangchin C, Therdthianwong A (2008) Improvement of coke resistance of Ni/Al<sub>2</sub>O<sub>3</sub> catalyst in CH<sub>4</sub>/CO<sub>2</sub> reforming by ZrO<sub>2</sub> addition, *Fuel Processing Technology*, 89, 160-168, doi.org/10.1016/j.fuproc.2007.09.003.
- [23]. Rahemi N, Haghighi M, Babaluo A A, Fallah Jafari M, Estifae P (2013) Synthesis and physicochemical characterizations of Ni/Al<sub>2</sub>O<sub>3</sub>-ZrO<sub>2</sub> nanocatalyst prepared via impregnation method and treated with non-thermal plasma for CO<sub>2</sub> reforming of CH<sub>4</sub>, *Journal of Industrial and Engineering Chemistry*, 19: 1566-1576, doi.org/10.1016/j.jiec.2013.01.024.
- [24]. Hou T, Zhang S, Xu T, Cai W (2014) Hydrogen production from oxidative steam reforming of ethanol over Ir/CeO<sub>2</sub> catalysts in a micro-channel reactor, *Chemical Engineering Journal*, 255: 149-155, doi.org/10.1016/j.cej.2014.06.046.
- [25]. Kumar V, Paraschivoiu M, Nigam K D P (2011) Single-phase fluid flow and mixing in microchannels, *Chemical Engineering Science*, 66, 7: 1329-1373, doi.org/10.1016/j.ces.2010.08.016.
- [26]. Mahan J E (2000) Physical vapor deposition of thin films, 336.
- [27]. Rezaei R, Moradi G (2018) Study of the performance of dry methane reforming in a microchannel reactor using sputtered Ni/Al<sub>2</sub>O<sub>3</sub> coating on stainless steel, *International Journal of Hydrogen Energy*, 43, 46: 21374-21385, doi.org/10.1016/j.ijhydene.2018.09.200.
- [28]. Mahboob S, Haghighi M, Rahmani F (2017) Sonochemically preparation and characterization of bimetallic Ni-Co/Al<sub>2</sub>O<sub>3</sub>-ZrO<sub>2</sub> nanocatalyst: Effects of ultrasound irradiation time and power on catalytic properties and activity in dry reforming of CH<sub>4</sub>, *Ultrasonics Sonochemistry*, 38: 38-49, doi.org/10.1016/j.ultsonch.2017.02.039.
- [۲۹]. شریفی م، حقیقی م، علیزاده اسلامی ع، رحمانی ف، راحمی ن. (۱۳۹۴) سنتز و تعیین خصوصیات نانوکاتالیست با استفاده از روش‌های Ni-Cu/Al<sub>2</sub>O<sub>3</sub>-ZrO<sub>2</sub> تلقیح متوالی و سل-ژل جهت استفاده در تبدیل متان و دی اکسیدکربن به گاز سنتز، *مجله پژوهش نفت*، دوره ۲۵ شماره: ۸۵-۱، صفحات ۱۵۷-۱۴۲،  
dor 20.1001.1.23452900.1394.25.185.11.5
- [30]. Forutan H R, Karimi E, Hafizi A, Rahimpour M R, Keshavarz P (2015) Expert representation chemical looping reforming: A comparative study of Fe, Mn, Co and Cu as oxygen carriers supported on Al<sub>2</sub>O<sub>3</sub>, *Journal of Industrial and Engineering Chemistry*, 21: 900-911, doi.org/10.1016/j.jiec.2014.04.031.
- [31]. Nataj S M M, Alavi S M, Mazloom G (2018) Modeling and optimization of methane dry reforming over Ni-Cu/Al<sub>2</sub>O<sub>3</sub> catalyst using Box-Behnken design, *Journal of Energy Chemistry*, 27, 5: 1475-1488, doi.org/10.1016/j.jechem.2017.10.002.
- [32]. Nikoo M K, Amin N A S (2011) Thermodynamic analysis of carbon dioxide reforming of methane in view of solid carbon formation, *Fuel Processing Technology*, 92, 3: 678-691, doi.org/10.1016/j.fuproc.2010.11.027.
- [33]. Chen Q, Zhang J, Pan B, Kong W, Chen Y, Zhang, W, Sun Y (2017) Temperature-dependent anti-coking behaviors of highly stable Ni-CaO-ZrO<sub>2</sub> nanocomposite catalysts for CO<sub>2</sub> reforming of methane, *Chemical Engineering Journal*, 320: 63-73, doi.org/10.1016/j.cej.2017.03.029.
- [34]. Zhang J, Wang H, Dalai A K (2008) Effects of metal content on activity and stability of Ni-Co bimetallic catalysts for CO<sub>2</sub> reforming of CH<sub>4</sub>, *Applied Catalysis A: General*, 339: 121-129, doi.org/10.1016/j.apcata.2008.01.027.
- [35]. Rad S J H, Haghighi M, Eslami A A, Rahmani F, Rahemi N (2016) Sol-gel vs. impregnation preparation of MgO and CeO<sub>2</sub> doped Ni/Al<sub>2</sub>O<sub>3</sub> nanocatalysts used in dry reforming of methane: Effect of process conditions, synthesis method and support composition, *International Journal of Hydrogen Energy*, 41, 11: 5335-5350, doi.org/10.1016/j.ijhydene.2016.02.002.
- [36]. Sharifi M, Haghighi M, Rahmani F, Karimipour S (2014) Syngas production via dry reforming of CH<sub>4</sub> over Co-and Cu-promoted Ni/Al<sub>2</sub>O<sub>3</sub>-ZrO<sub>2</sub> nanocatalysts synthesized via sequential impregnation and sol-gel methods, *Journal of Natural Gas Science and Engineering*, 21: 993-1004, doi.org/10.1016/j.jngse.2014.10.030.
- [37]. Al-Fatesh A S, Abu-Dahrieh J K, Atia H, Armbruster U, Ibrahim A A, Khan W U, Fakeeha A H (2019) Effect of pre-treatment and calcination temperature on Al<sub>2</sub>O<sub>3</sub>-ZrO<sub>2</sub> supported Ni-Co catalysts for dry reforming of methane, *International Journal of Hydrogen Energy*, 44, 39: 21546-21558, doi.org/10.1016/j.ijhydene.2019.06.085.



# طراحی رزوه ملی برای لوله‌های جداری، مغزی و تجهیزات درون چاهی نفت و گاز

مهدی نظری صارم

گروه مهندسی نفت، معدن و مواد، دانشکده عمران و منابع زمین، دانشگاه آزاد اسلامی واحد تهران مرکزی، تهران، ایران

تاریخ دریافت: ۱۴۰۱/۰۳/۵ تاریخ پذیرش: ۱۴۰۱/۰۵/۲۴

## چکیده

یکپارچگی چاه یک هدف و راه حل جهت حفاظت از جان انسان، محیط زیست و در نهایت میزان تولید نفت و گاز در طول عمر چاه است. یکپارچگی چاه نیازمند استفاده از اتصالات مطمئن برای لوله‌ها و تجهیزات درون چاهی است. در این تحقیق با استفاده از نرم‌افزارهای مدل‌سازی و شبیه‌سازی به روش اجزا محدود به طراحی و تحلیل اتصال اختصاصی که مورد نیاز شرایط چاه‌های فعلی نفت و گاز می‌باشد پرداخته شده است. بارگذاری اتصال براساس آزمون سخت سری A از استاندارد ISO 13679 به صورت مرکب شامل اعمال نیروهای محوری کشش و فشردگی به همراه فشار داخلی و فشاری صورت پذیرفت. نتایج تحلیل اتصال با استفاده از معیارهای تنش و قابلیت نشت‌پذیری مورد ارزیابی قرار گرفت. نتایج تحقیق نشان داد که اتصال طراحی شده به طور کامل الزامات استاندارد را برآورده می‌نماید. مقدار تنش ایجاد شده در بارگذاری‌های مختلف پایین‌تر از استحکام تسلیم ماده قرار دارد در ضمن فشار تماسی سطوح نشت‌بند، نشت‌پذیری قابل اعتمادی را ایجاد می‌کند. مشخص گردید طراحی به روش اجزا محدود می‌تواند ابزار قابل اعتماد و کم هزینه و جایگزین آزمایش‌های فیزیکی قرار داشته باشد.

**کلمات کلیدی:** لوله‌های درون چاهی، اتصال اختصاصی، روش اجزا محدود، نشت‌پذیری.

## مقدمه

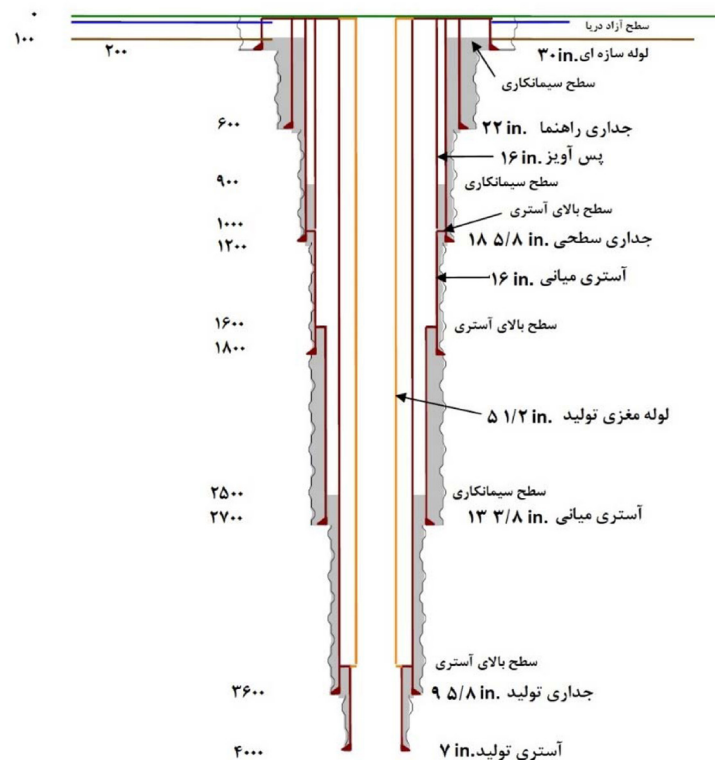
و مغزی از طریق اتصالات رزوه‌ای به یکدیگر پیچ شده و به درون چاه فرستاده می‌شوند. **شکل ۲** شماتیکی از لوله درون چاهی به همراه اتصال رزوه‌ای با رابط را نشان می‌دهد. از آنجا که لوله‌های جداری و مغزی در هنگام قرارگیری در چاه حین عملیات سیمان‌کاری، حفاری و تولید تحت بارگذاری‌های مختلفی از جمله کشش محوری، فشردگی محوری، فشار داخلی و خارجی قرار می‌گیرند، اتصالات پارامتر کلیدی در برنامه عملیات حفاری و اکتشاف نفت و گاز به لحاظ ارتباط مستقیم آن با استحکام لوله می‌باشد.

یکپارچگی چاه امروزه یکی از حیاتی‌ترین موضوعات مربوط به بخش مهندسی و تأمین کالای چاه‌های نفت و گاز است. این موضوع به ویژه در طول توسعه منابع هیدروکربنی غیرمتعارف اهمیت فراوانی دارد. لوله‌های جداری<sup>۱</sup> و مغزی<sup>۲</sup> از اجزاء بسیار مهم چاه‌های نفت و گاز می‌باشند. **شکل ۱** شماتیکی از برنامه لوله‌های جداری و مغزی را نشان می‌دهد. عنصر حیاتی لوله‌های جداری و مغزی، اتصال رزوه‌ای آن است. لوله‌های جداری

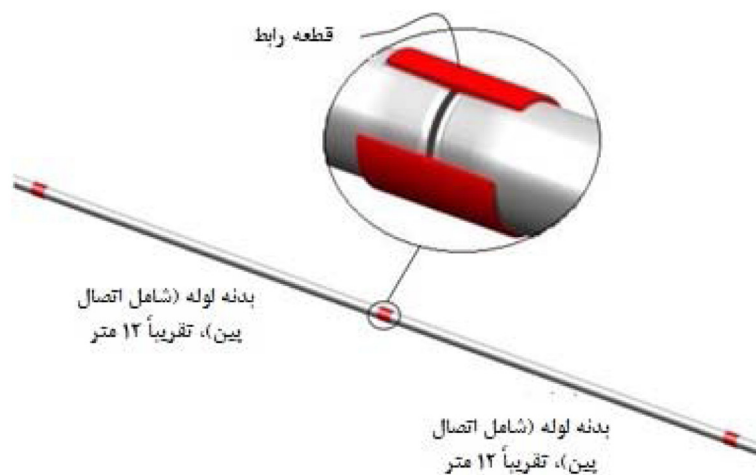
\*مسئول مکاتبات

آدرس الکترونیکی: mahdinazarisaram@iauctb.ac.ir  
شناسه دیجیتال: (DOI:10.22078/PR.2022.4822.3159)

1. Casing  
2. Tubing



شکل ۱ شماتیکی از برنامه لوله‌های جداری و مغزی.



شکل ۲ شماتیکی از لوله درون چاهی به همراه اتصال رزوه ای با رابط.

[۱ و ۲]. توسعه ساختاری، ابعادی و ویژگی‌های نشت‌پذیری<sup>۱</sup> موردنیاز بویژه در شرایط کاری سخت منجر به طراحی اتصالات اختصاصی شده است. این اتصالات برای بدست آوردن کیفیت بالاتر از استاندارد طراحی می شوند. استحکام سازه، نشت‌پذیری، مقاومت به خوردگی و غیره در این اتصالات در

امروزه اتصالات لوله‌های جداری و مغزی به دو دسته اتصالات استاندارد یا API و اختصاصی تقسیم‌بندی می‌شوند.

API، مشخصه، استاندارد، روش‌های توصیه شده و مستنداتی ارائه می کند که در آن حداقل ها و الزامات برای ساخت و آزمون های فیزیکی و عملکردی اتصالات استاندارد توضیح داده شده است

مقایسه با اتصالات استاندارد بهبود پیدا کرده است.

سابقه طراحی و ساخت اتصالات اختصاصی بسیار گسترده است. تقریباً از سال ۱۹۲۵ با شکل‌گیری انجمن مهندسی نفت امریکا طراحی و ساخت اتصالات آغاز گردید. برخی از اتصالات طراحی شده در قالب استانداردهای API ارائه گردید. غیر از اتصالات استاندارد اولین اتصال اختصاصی دارای دو شانه در سال ۱۹۳۴ توسط شرکت تناریس طراحی و روانه بازار شد. اتصال مذکور قابل استفاده در شرایط گشتاور بالا (کار با رشته لوله‌ها)<sup>۱</sup> بود. در سال ۱۹۳۷ طراحی مشابهی از اتصال دو شانه به نام Tenraris CS توسط شرکت تناریس ارائه گردید که محدوده قطر بیشتری از لوله‌ها را پوشش داد. در سال ۱۹۶۵ مهندس با استعداد شرکت ولورک T اتصال اختصاصی با قابلیت نشت‌بندی در برابر گاز را برای توسعه یک میدان گازی واقع در جنوب غربی فرانسه را اختراع کرد. مقدار گوگرد این میدان در حدی بود که تصور می‌شد امکان بهره‌برداری از این میدان وجود ندارد. تاکنون اتصالات اختصاصی مختلفی با قابلیت‌های متفاوتی بویژه توسط شرکت ولورک، تناریس و کاوازاکی طراحی و ساخته شده است. در حال حاضر نیز بسیاری از شرکت‌های چینی و اروپای شرقی طراحی و عرضه اتصالات اختصاصی را با توجه به شرایط بازار و نیاز مشتریان مخصوصاً کشورهای خاورمیانه را دنبال می‌کنند.

بررسی عملکرد اتصالات با دو روش تحلیل به روش اجزا محدود و آزمون فیزیکی صورت پذیرفته است. تحلیل اجزا محدود که در این پژوهش از آن استفاده می‌شود ابزاری مناسب در طراحی اتصال و تأیید کیفیت آن می‌باشد. در سال ۱۹۷۱ مدل دو بعدی اجزا محدودی ایجاد گردید [۳]. با مقایسه نتایج رضایت بخش آن با تحقیقات قبلی مانند بررسی‌های فوتوالاستیک مشخص شد که مدل اجزا محدود برای بررسی اتصالات رزوه‌ای مناسب می‌باشد. در سال ۱۹۸۵ سه رزوه به صورت دو بعدی

مدل شد [۴]. هر سطح رزوه بصورت یکنواخت بارگذاری شده بود و قیدگذاری مدل در جدار داخلی در جهت محوری انجام شده بود. سپس، انحراف محوری رزوه محاسبه شد. در سال ۲۰۰۴ با استفاده از همین روش ایده خوبی درخصوص یکپارچگی اتصالات ارائه شد [۵]. در این مطالعات برخی از مفروضات برای مدل‌های ساده شده مانند نادیده گرفتن زاویه پیچ، بارگذاری روی اتصالات، و غیره ایجاد گردید. با استفاده از روش اجزا محدود به تحلیل اتصالات رزوه ای اختصاصی تحت بارگذاری طبق استاندارد ISO ۱۳۶۷۹ پرداخته شد [۶]. به منظور انعکاس واقعی یکپارچگی اتصالات پرمیموم در شرایط کاری، یک مدل المان محدود سه بعدی از یک اتصال اختصاصی که معمولاً در چاه‌های دشوار استفاده می‌شود در نرم‌افزار تحلیل المان محدود اباکوس ایجاد گردید. یکپارچگی اتصال پرمیموم با توجه به بار اعمال شده توسط آزمون سری B استاندارد و آزمون سیکل حرارتی شبیه‌سازی و تجزیه و تحلیل شد. با استفاده از روش اجزا محدود مدل سه بعدی با در نظر گرفتن زاویه ماریپیچ رزوه یک اتصال اختصاصی شبیه‌سازی شد [۷]. در این مطالعه با استفاده از روش تحلیل اجزا محدود و اعمال بارگذاری براساس استاندارد ISO ۱۳۶۷۹ آزمون سری B به همراه سیکل دمایی و بارگذاری خمشی مورد بررسی قرار گرفت.

در حال حاضر اکثر میادین نفتی و گازی کشور دارای فشارهای بالا می‌باشند و عمده میادین دارای سیال خورنده و ترش هستند که این موضوع اهمیت استفاده از اتصال اختصاصی با قابلیت نشت‌بند بودن را نشان می‌دهد. از طرفی با توجه به نیاز مبرم صنعت نفت و گاز، بومی‌سازی اتصالات اختصاصی مطابق با استانداردهای روز دنیا و با توجه به شرایط خاص کشور بویژه در شرایط تحریم و مشکلات عدیده در این زمینه ضرورت دارد. در این راستا با طراحی رزوه ملی می‌توان گامی مهم در

طریق درگیری کمتر رزوه‌ها می‌گردد. با توجه به اینکه احتمال تماس سطوح جانبی آزاد در هنگام اعمال نیروی فشردگی محوری به اتصال وجود دارد ارتفاع لبه پخ دارای اهمیت می‌باشد. مقدار توصیه شده برای ارتفاع لبه پخ ( $h$ ) نسبت به ارتفاع رزوه پین ( $H$ ) یعنی نرخ  $h/H$  عموماً برابر با  $0.25-0.5$  می‌باشد. همچنین، نسبت سطح مقطع لبه پخ ( $h'$ ) به سطح مقطع کل سطح جانبی آزاد ( $h'+H$ ) می‌بایست نامساوی ذیل را ارضا کند [۸]:

$$\frac{h'}{h'+H'}(h/H=0.25) \leq \frac{h'}{h'+H'} \leq \frac{h'}{h'+H'}(h/H=0.5) \quad (۱)$$

$$h' = \frac{h - z(1 - \sin \beta)}{\cos \beta} - y \cdot \sin(\beta/2 - \alpha/2) \quad (۲)$$

$$H' = \frac{H - h - x}{\cos \alpha} + x \cdot \sin \alpha - y \cdot \sin(\beta/2 - \alpha/2) \quad (۳)$$

پارامترهای  $x$  و  $y$  و  $z$  به ترتیب قطر دایره در ریشه، لبه پخ و تاج رزوه‌های باکس می‌باشد. پارامترهای  $\alpha$  و  $\beta$  نیز به ترتیب زاویه جانبی آزاد و زاویه لبه پخ روی سطح جانبی آزاد می‌باشد. مقدار توصیه شده برای پارامترهای  $x$  و  $y$  و  $z$   $1-1/8$  mm می‌باشد. در طراحی انجام شده مقادیر  $y$  و  $z$   $0.15$  mm و مقدار  $x$   $0.4$  mm در نظر گرفته شده است. در نتیجه مقدار نامساوی ذکر شده برابر با  $0.48$  محاسبه می‌شود. یکی دیگر از پارامترهای مهم در طراحی پروفایل رزوه، لقی بین سطوح جانبی آزاد می‌باشد. این پارامتر به همراه طول دماغه اتصال اهمیت بسزایی در تحمل نیروی فشردگی اتصال دارد. نتایج مطالعات [۹] نشان می‌دهد در صورتی که نسبت طول دماغه به لقی مذکور بیش از  $160-140$  باشد مقاومت فشردگی محوری اتصال برابر با  $100\%$  مقاومت فشردگی محوری لوله می‌باشد (شکل ۳). در نظر گرفتن معیار مذکور نیاز به طراحی دماغه اتصال با طول بلند می‌باشد که از طرفی باعث کاهش مقاومت در برابر فشار خارجی خواهد شد.

جهت بومی‌سازی و خودکفایی دست یافت. در این پژوهش ضمن طراحی و شبیه‌سازی اتصال اختصاصی لوله مغزی سایز  $4/5$  inch پارامترهای مهم در طراحی اتصالات ارائه شده است.

### روش انجام کار

اصولاً اتصالات اختصاصی دارای سه مشخصه هندسی اصلی می‌باشند که بارها در طراحی‌های مختلف برای بهبود عملکرد اصلاح شده‌اند. در واقع تفاوت اتصالات اختصاصی با یکدیگر تغییر این موارد می‌باشد. این موارد عبارتند از ۱- پروفایل رزوه، ۲- شانه گشتاور<sup>۱</sup>، ۳- نشت‌بند فلز با فلز.

**پروفایل رزوه:** پروفایل رزوه اتصالات اختصاصی در یکپارچگی اتصال به لحاظ تحمل نیروی‌های کشش و فشردگی نقش مهمی دارند. از طرفی، سرعت عملیات رانش لوله‌های جداری و مغزی که ارتباط مستقیمی با کاهش هزینه‌های عملیات حفاری دارد تحت تأثیر طراحی پروفایل رزوه می‌باشد. عمدتاً تعداد رزوه در هر اینچ لوله‌های جداری ۵ و لوله‌های مغزی بالاتر از ۶ عدد می‌باشد. هرچه تعداد رزوه در هر اینچ بیشتر باشد فشار تماسی ایجاد شده در سطوح نشت‌بند به دلیل ایجاد زاویه منفی بیشتر می‌شود. برای رزوه طراحی شده تعداد رزوه در هر اینچ ۶ عدد می‌باشد به این معنی که گام رزوه‌ها برابر با  $4/233$  mm می‌باشد.

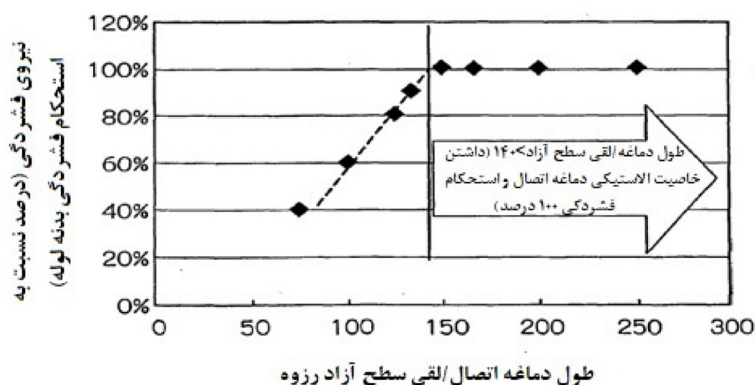
مشخصه دیگر طراحی رزوه، زاویه مخروط می‌باشد که همانند رزوه باترس برابر با  $0.625$  in به ازای هر اینچ طولی ( $6/25\%$ ) در نظر گرفته شد. به جهت سهولت رانش و امکان رانش در شرایط عدم هم محوری لوله‌ها، سطوح ریشه و تاج رزوه‌ها موازی محور لوله طراحی گردید.

استفاده از تکنیک دو پله ای<sup>۱</sup> برای سطح جانبی آزاد رزوه<sup>۲</sup> از جزییات دیگر طراحی پروفایل رزوه می‌باشد. این ویژگی باعث افزایش سرعت عملیات بستن اتصال و همچنین کاهش آسیب به پوشش رزوه<sup>۳</sup> از

1. Two-Step

2. Stabbing Flank

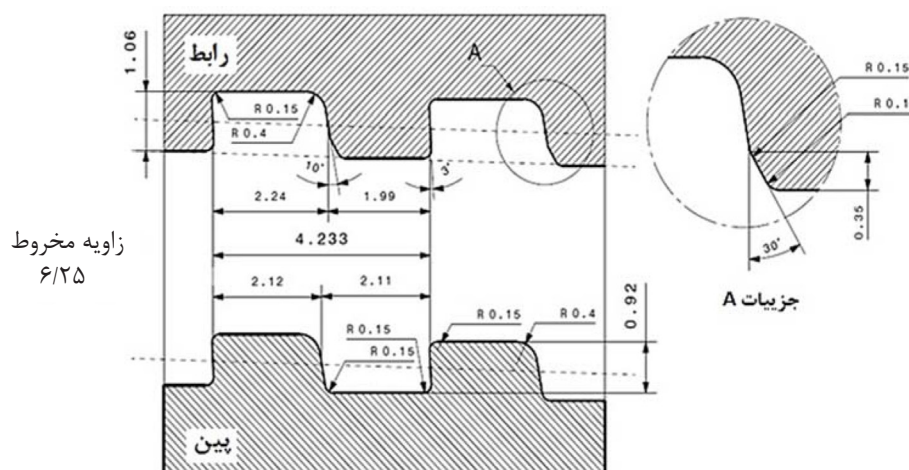
3. Thread Coating



شکل ۳ مقاومت فشردگی محوری اتصال براساس طول دماغه اتصال و لقی رزوهها [۹].

طراحی نشتبند و شانه اتصال: طراحی نشتبند و شانه اتصال تحت تأثیر ویژگی‌های فشار داخلی، فشار خارجی و نیروی فشردگی می‌باشد. البته پارامترهای دیگری مانند جلوگیری از آسیب ناحیه نشتبند در حین فرآیندهای حمل و نقل لوله‌ها نیز در طراحی مؤثر می‌باشد. ضخامت دماغه پین به‌طور مستقیم در تحمل نیروی فشردگی محوری اتصال دخالت دارد. ضخامت دماغه پین اتصالات اختصاصی عمدتاً در حدود ۵۰-۴۰٪ سطح مقطع بدنه لوله می‌باشد. در صورتی که این مقدار برای نیروی فشردگی کافی نباشد نیاز به درگیری رزوه‌ها در هنگام اعمال نیروی فشردگی می‌باشد. نکته دیگر در ارتباط با ضخامت دماغه پین این است که هر چه ضخامت دماغه بیشتر باشد تحمل اتصال در برابر فشار خارجی بیشتر می‌شود.

به‌طور کلی، در هنگام اعمال نیروی فشردگی بخشی از آن توسط دماغه اتصال و بخشی دیگر توسط رزوه‌ها قابل بارگذاری می‌باشد. در صورتی که نیاز به تحمل نیروی فشردگی بالا باشد به عنوان مثال در کاربردهای لوله‌های جداری و آستری می‌بایست علاوه بر تحمل نیروی فشردگی توسط دماغه اتصال، رزوه‌ها نیز در سطوح جانبی آزاد درگیر شده (لقی موجود حذف گردد) و بخشی از نیروی فشردگی را جذب کنند. در کاربردهای لوله مغزی که عمدتاً نیروی فشردگی به اتصال وارد نمی‌شود نیاز به درگیری رزوه‌ها نمی‌باشد. با در نظر گرفتن توضیحات فوق لقی سطوح جانبی آزاد عمدتاً در محدوده ۱۰-۳۰۰  $\mu\text{m}$  طراحی می‌شود. در طراحی مورد نظر لقی سطوح جانبی آزاد ۱۳۰  $\mu\text{m}$  میکرون (۰/۱۳ mm) در نظر گرفته شده است. طرح پروفایل رزوه در شکل ۴ نشان داده شده است.



شکل ۴ طراحی پروفایل رزوه.

نشت‌بندی به ناحیه‌ای از تماس قابل توجهی با طول محوری حداقل حدود ۱ تا ۱/۵ mm نیاز دارد. با این حال، اگر طول سطح نشت‌بندی بیش از حد زیاد باشد، ضخامت دماغه پین کاهش می‌یابد و نرخ استحکام اتصال در برابر فشار خارجی و نیروی محوری فشردگی پایین محاسبه می‌شود. مقدار توصیه شده برای طول نشت‌بند بین ۲ الی ۸ mm می‌باشد [۱۰].

طراحی شانه اتصال عمدتاً به‌صورت عمود یا زاویه‌دار نسبت به محور لوله صورت می‌پذیرد. در صورتی که با زاویه منفی نسبت به محور لوله طراحی شود منجر به افزایش قابلیت نشت‌بندی به‌ویژه در برابر فشردگی محوری کمک می‌کند. این ویژگی در ترکیب با زاویه منفی پروفایل رزوه در سطح جانبی بار ضمنی تأثیر قابل توجه در نشت‌بندی، اتصال را در برابر شکست از نوع بیرون پریدن محافظت می‌کند. مقدار زاویه شانه اتصال در استحکام ناحیه شانه باکس مهم می‌باشد. در صورتی که زاویه شانه پین زیاد باشد مقاومت شانه باکس به شدت افت می‌کند که این منجر به کاهش استحکام اتصال در برابر فشردگی خارجی یا گشتاور بستن اتصال می‌گردد. مقدار توصیه شده برای زاویه شانه ۴ الی ۱۶° می‌باشد [۱۱] که در طراحی صورت گرفته این زاویه ۱۵° در نظر گرفته شده است.

به دلیل خطاهای فرآیند ساخت لوله های بدون درز ناشی از نورد، سطح مقطع لوله یک دایره کامل نیست و دارای تغییرات ضخامت دیواره می باشد. به همین دلیل ایجاد پخ بر روی لبه داخلی قسمت انتهایی پین ایجاد می شود تا اطمینان حاصل شود که لبه داخلی انتهای پین از بیرون زدگی نداشته باشد. این ویژگی باعث عدم ایجاد جریان متلاطم سیال داخل لوله در هنگام عبور از ناحیه اتصال می گردد. مقدار توصیه شده برای زاویه پخ ۹ تا ۷۶° می باشد [۱۱] که در طراحی صورت گرفته مقدار ۱۰° در نظر گرفته شد.

در طراحی صورت گرفته نسبت سطح مقطع دماغه پین به سطح مقطع بدنه لوله در حدود ۵۸٪ محاسبه گردید.

طول دماغه پین وابسته به سایز لوله می باشد. عمدتاً طول دماغه پین برابر با ۲۲-۴ mm بر حسب سایز لوله های جداری و مغزی می باشد. هرچه طول دماغه پین بیشتر باشد قابلیت نشت‌بندی آن بیشتر می شود. البته افزایش طول دماغه از مقداری مشخص بی اثر بوده و برعکس تحمل اتصال در برابر فشار خارجی به مقدار قابل توجهی کاهش می‌یابد. طول دماغه پین اتصال مورد نظر در حدود ۷ mm در نظر گرفته شد.

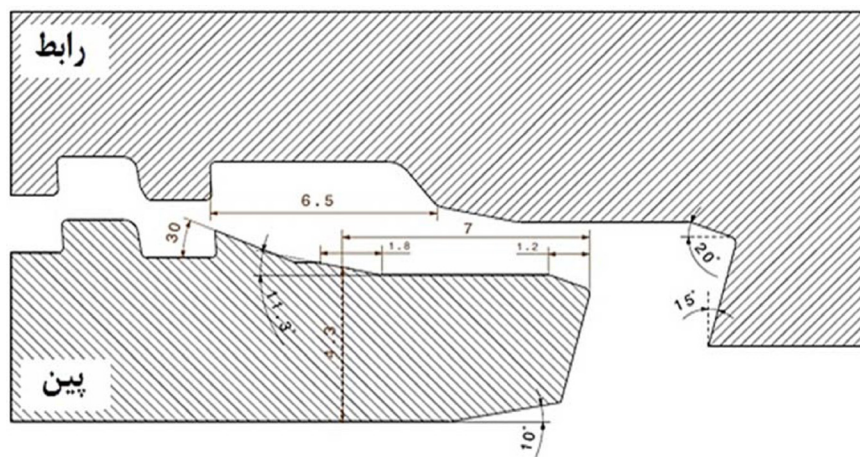
طراحی صورت گرفته شامل دو نشت‌بند می باشد. نشت‌بند اولیه که وظیفه اصلی نشت‌بندی به‌ویژه در برابر فشار خارجی را بر عهده دارد نزدیک به رزوه‌ها می‌باشد. این نشت‌بند به دلیل اینکه در پایین خط فرضی بین رزوه اول و لبه دماغه پین طراحی شده است در برابر آسیب‌های حین حمل و نقل مصون می‌باشد. نشت‌بند ثانویه در لبه دماغه پین قرار دارد. این نشت‌بند در برابر فشار داخلی مقاوم می‌باشد. به هر حال نشت‌بند مذکور به دلیل اینکه در لبه دماغه پین قرار دارد در معرض آسیب‌های حمل و نقل قرار دارد. زاویه نشت‌بند اهمیت بالایی در تحمل فشار داخلی اتصال دارد. البته در برابر فشار خارجی تأثیر آن به مراتب کمتر است. چنانچه زاویه نشت‌بند زیاد باشد فشار تماسی در هنگام اعمال نیروی کششی بالا به شدت افت می‌کند. از طرفی، زاویه نشت‌بند کم احتمال ایجاد ساییدگی سطوح نشت‌بند در هنگام باز و بستن اتصال را ممکن است به دنبال داشته باشد. مقادیر پیشنهادی برای زاویه نشت‌بند ۵ تا ۲۵° و ترجیحاً ۱۰ تا ۲۰° می باشد. در طراحی مورد نظر زاویه نشت‌بند اولیه ۱۱/۳° و زاویه نشت‌بند ثانویه ۲۰° در نظر گرفته شد.

سطح نشت‌بند به منظور تضمین خواص



به کاهش فشار تماسی در سطح نشست‌بند گردد. جلوگیری می‌شود. مقدار مذکور در طراحی مورد نظر ۶/۵ mm محاسبه گردید. طراحی نشست‌بند و شانه اتصال در شکل ۵ نشان داده شده است.

ایجاد شیار روغن در قسمت انتهایی رزوه‌های باکس و قبل از سطح نشست‌بند از ویژگی دیگر بوده که در طراحی در نظر گرفته شد. با ایجاد شیار مذکور از اعمال فشار روغن اضافی که ممکن است منجر



شکل ۵ طراحی نشست‌بند و شانه اتصال.

تأیید این فرضیات از مطابقت بین تحلیل المان محدود دو بعدی و مطالعات فتوالاستیک انجام شده روی اتصالات استاندارد پیچ و مهره به‌دست آمده است با وجود اینکه مدل دو بعدی تقارن محوری زاویه هلیکس را در نظر نمی‌گیرد و تنها مدل‌سازی ساده‌ای بر اساس یکسری رزوه‌های موازی را فرض می‌کند. نوع تحلیل از المان‌های مورد استفاده از نوع متقارن محوری (المان‌های نوع CAXR4) به‌کار گرفته شد. مطالعه همگرایی مش با استفاده مش تدریجی به این صورت که از مش‌بندی ریز در نواحی تمرکز تنش و مش درشت در نواحی دورتر صورت گرفت انجام گردید.

تداخل اولیه رزوه‌ها و نشست‌بند پین و باکس در گام اول تحلیل با ضریب اصطکاک صفر حل گردید. در این گام جابه‌جایی‌ها در جهت محوری در هر دو انتهای اتصال به صفر محدود شد. در گام دوم ضریب اصطکاک از صفر به ۰/۱ تغییر یافت. اعمال بارگذاری به اتصال از گام دوم وارد می‌شود. بارگذاری

### ساخت مدل اجزا محدود

جهت تحلیل اتصال طراحی شده از نرم‌افزار اباکوس ورژن ۲۰۲۰ استفاده گردید. دو تکنیک مورد استفاده که در نرم‌افزار اباکوس به ویژه برای تجزیه و تحلیل اتصالات رزوه ای مفید هستند، تعیین تداخل تماسی مجاز<sup>۱</sup> و اعمال نفوذ فشار<sup>۲</sup> است. لازم به ذکر است قطر رزوه‌های روی پین (قطر اندازه‌گیری شده در ریشه رزوه‌ها) کمی بزرگتر از قطر روی رزوه‌های باکس است (قطر اندازه‌گیری شده در تاج رزوه‌ها). این اختلاف قطر در واقع تداخل اولیه بین رزوه‌های روی پین و باکس می‌باشد. به همین ترتیب در قسمت ناحیه نشست‌بندها نیز تداخل اولیه مدل‌سازی گردید.

ساخت مدل اجزا محدود به صورت تقارن محوری صورت گرفت که در آن هندسه اتصال به صورت سطح مقطع دوران یافته حول محور Z و در صفحه R-Z مدل می‌شود. این تقریب به میزان قابل توجهی هزینه تحلیل را نسبت به مدل سه بعدی کم می‌کند در حالی که به‌طور وسیع در تحلیل قطعات در صنعت نفت و گاز پذیرفته شده است.

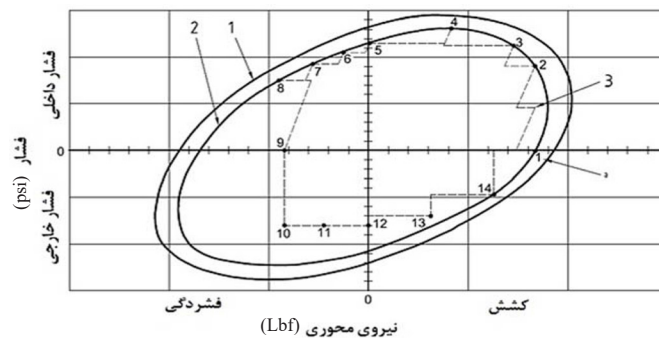
1. Shrink Fit

2. Pressure Penetration

می‌باشد. آزمایشات سری A شامل ۱۴ نقطه به عنوان نقاط بارگذاری روی حلقه فون میسرز مشخص شده است (جدول ۱). اتصال تحت نقاط بارگذاری مذکور به صورت متناوب ساعت گرد و پاد ساعت گرد به تعداد ۴۳ مرحله بارگذاری قرار می‌گیرند (جدول ۲).

به منظور مطالعه عددی اتصال و بدست آوردن تنش های تماسی صحیح، متریال هر دو قطعه یعنی پین و باکس بصورت الاستیک-پلاستیک مدل می شوند. متریال در نظر گرفته شده L80 با استحکام تسلیم  $553 \text{ MPa}$  می باشد که از جمله جنس های تعریف شده در استاندارد API 5CT [۱۲] مربوط به لوله‌های مغزی و جداری می‌باشد. همچنین ضریب کشسانی ماده  $210 \text{ GPa}$  و نسبت پواسون  $0.3$  مدل گردید. رفتار غیر الاستیک ماده بر اساس استاندارد ASME [۱۲] با در نظر گرفتن مقادیر کار سختی مدل سازی شد.

اتصال براساس حلقه فون میسرز، سری A از کلاس کاری VI طبق استاندارد ISO 13679 اعمال گردید. این نوع بارگذاری سخت ترین شرایط کاری اتصال را شبیه سازی می نماید. حلقه بارگذاری فون میسرز و نقاط بارگذاری برای اتصالی که نرخ فشردگی آن کمتر از بدنه لوله می‌باشد در شکل ۶ نشان داده شده است. در شکل مذکور حلقه ۱ و ۲ شدت تنش فون میسرز به ترتیب براساس ۱۰۰ و ۹۵٪ استحکام تسلیم متریال می‌باشد. مشاهده می‌شود که بارگذاری اتصال براساس شدت تنش فون میسرز برابر با ۹۵٪ استحکام تسلیم متریال صورت می‌پذیرد. حلقه بارگذاری در ربع اول شامل کشش محوری به علاوه فشار داخلی، ربع دوم شامل فشردگی محوری به علاوه فشار داخلی، ربع سوم شامل فشردگی محوری به علاوه فشار خارجی و ربع چهارم شامل کشش محوری به علاوه فشار خارجی



شکل ۶ حلقه بارگذاری اتصال [۱۲].

جدول ۱ نقاط بارگذاری اتصال.

نقاط بارگذاری	فشار، فشار خارجی (با علامت منفی)/فشار داخلی		وضعیت بارگذاری
	نیروی محوری فشردگی (با علامت منفی)/کشش	درصد نسبت به استحکام تسلیم	
	KN	MPa	
۱	۱۲۹۴	۰	معادل ۹۵ درصد استحکام تسلیم براساس معیار فون میسرز
۲	۱۲۹۴	۵۴	
۳	۱۰۸۹	۶۵	
۴	۵۶۹	۷۳	
۵	۰	۶۷	
۶	-۲۰۵	۶۲	
۷	-۴۱۰	۵۵	
۸	-۵۴۷	۵۰	
۹	-۵۴۷	۰	معادل ۱۰۰ درصد استحکام مچال‌یدگی
۱۰	-۵۴۷	۵۹-	
۱۱	-۲۷۳	۵۹-	
۱۲	۰	۵۹-	
۱۳	۴۵۱	۴۴-	
۱۴	۹۱۷	۲۱-	

جدول ۲ مراحل بارگذاری اتصال.

فشار شامل فشار خارجی (با علامت منفی) و یا فشار داخلی	نیروی محوری شامل فشردگی (با علامت منفی) و یا کشش		مراحل بارگذاری
	درصد نسبت به استحکام تسلیم	kN	
MPa			
۰	۱۲۹۴	۹۵	۱ c
۵۴	۱۲۹۴	۹۵	۲ c
۶۵	۱۰۸۹	۸۰	۳ c
۷۳	۵۶۹	-	۴ c
۶۷	۰	۰	۵ c
۶۲	۲۰۵-	۱۵-	۶ c
۵۵	۴۱۰-	۳۰-	۷ c
۵۰	۵۴۷-	۴۰-	۸ c
۰	۵۴۷-	۴۰-	۹ c
۵۹-	۵۴۷-	۴۰-	۱۰ c
۵۹-	۲۷۳-	۲۰-	۱۱ c
۵۹-	۰	۰	۱۲ c
۴۴-	۴۵۱	۳۳	۱۳ c
۲۱-	۹۱۷	۶۷	۱۴ c
۰	۱۲۹۴	۹۵	۱۵ c
۲۱-	۹۱۷	۶۷	۱۶ c
۴۴-	۴۵۱	۳۳	۱۷ d
۵۹-	۰	۰	۱۸ d
۵۹-	۲۷۳-	۲۰-	۱۹ d
۵۹-	۵۴۷-	۴۰-	۲۰ d
۵۴	۱۲۹۴	۹۵	۲۱ d
۶۵	۱۰۸۹	۸۰	۲۲ c
۰	۵۴۷-	۴۰-	۲۳ d
۵۰	۵۴۷-	۴۰-	۲۴ d
۵۵	۴۱۰-	۳۰-	۲۵ d
۶۲	۲۰۵-	۱۵-	۲۶ d
۶۷	۰	۰	۲۷ d
۷۳	۵۶۹	-	۲۸ d
۶۵	۱۰۸۹	۸۰	۲۹ d
۵۴	۱۲۹۴	۹۵	۳۰ d
۰	۱۲۹۴	۹۵	۳۱ d
۵۴	۱۲۹۴	۹۵	۳۲ c
۶۵	۱۰۸۹	۸۰	۳۳ c
۷۳	۵۶۹	-	۳۴ c
۶۷	۰	۰	۳۵ c
۶۲	۲۰۵-	۱۵-	۳۶ c
۵۵	۴۱۰-	۳۰-	۳۷ c
۵۰	۵۴۷-	۴۰-	۳۸ c
۰	۵۴۷-	۴۰-	۳۹ c
۵۹-	۵۴۷-	۴۰-	۴۰ c
۵۹-	۲۷۳-	۲۰-	۴۱ c
۵۹-	۰	۰	۴۲ c
۴۴-	۴۵۱	۳۳	۴۳ c
۲۱-	۹۱۷	۶۷	۴۴ c
۰	۱۲۹۴	۹۵	۴۵ c
۵۴	۱۲۹۴	۹۵	۴۶ c

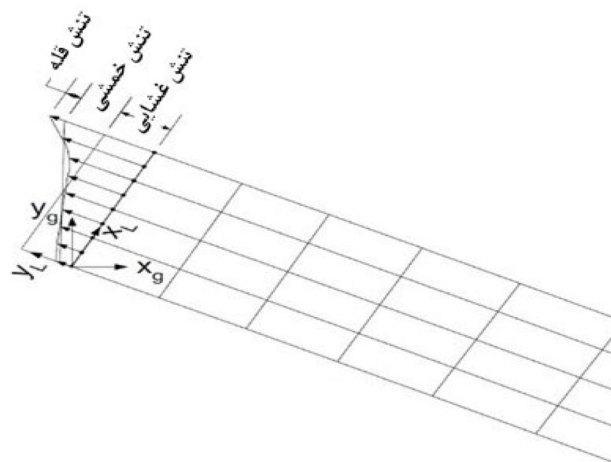
### شرایط پذیرش

معیار تنش: بررسی ناتوانی براساس مقدار تنش براساس معیارهای مختلفی صورت می‌پذیرد. یکی از معیارهای کاربردی طبق استاندارد ASME [۱۳] می‌باشد. طبق استاندارد مذکور سه نوع تنش اولیه، ثانویه و قله تعریف می‌شود که برای هر مقطع موردنظر بسته به نوع قطعه و شرایط کارکرد آن می‌بایست بررسی گردد. از طرفی، طبق استاندارد آویزه‌های آستری و تجهیزات تکمیل چاه [۱۴] و [۱۵] برای اقلام درون چاهی لازم است مقادیر تنش اولیه محاسبه و با مقادیر تنش مجاز مقایسه گردد (مقادیر تنش ثانویه و قله در مواردی که رشد ترک و گسترش تنش وجود دارد استفاده می‌گردد لذا در صورتی که اتصال لوله‌های جداری مانند اتصالات لوله‌های حفاری در معرض آسیب‌های خستگی قرار داشته باشند بررسی این نوع تنش حائز اهمیت است).

تنش های اولیه که با P نشان داده می‌شود به تنش‌هایی گفته می‌شود که در تعادل با تنش خارجی هستند. بدین معنا که تنش‌های اولیه ناشی از نیروهای داخلی با تنش‌های اولیه ناشی

از نیروهای خارجی در تعادل هستند. تنش‌های اولیه شامل تنش عمومی غشایی<sup>۱</sup>، محلی غشایی<sup>۲</sup> و خمشی<sup>۳</sup> می‌باشد. تنش‌های اولیه عمومی غشایی که معمولاً با Pm نشان داده می‌شود، تنش‌هایی هستند که به دور از محل‌های ناپیوستگی وجود دارد. تنش‌های محلی غشایی که معمولاً با PL نشان داده می‌شود تنش‌هایی هستند که در نزدیکی محل‌های ناپیوستگی و انفصال وجود دارد. تنش‌های اولیه خمشی که معمولاً با Pb نشان داده می‌شود، تنش‌هایی هستند که مقدار آن بستگی به مقدار ممان خمشی، فاصله از تار خنثی و ممان دوم سطح دارد. در روش اجزا محدود، هنگامی که از المان‌های پیوسته در تحلیل استفاده می‌شود، توزیع تنش کل به دست می‌آید. بنابراین، برای تولید تنش‌های غشایی و خمشی، توزیع تنش کل باید براساس مؤلفه تنش خطی شده و برای محاسبه تنش‌های معادل استفاده شود. ارتباط بین تنش‌های غشایی، خمشی و قله در شکل ۷ نشان داده شده است.

طبق استاندارد ASME مقدار تنش محلی غشایی و مجموع تنش محلی غشایی و خمشی نباید از ۱/۵ برابر تنش مجاز بیشتر شوند.



شکل ۷ دسته بندی تنش های غشایی، خمشی و قله [۱۳].

شاخص نشست‌بندی<sup>۱</sup> به صورت سطح زیر نمودار منحنی فشار تماسی با رابطه (۳) مشخص می شود.

$$W_a = \int_0^L P_c^n(l) dl \quad (2)$$

در رابطه فوق پارامتر نمایی  $n$  براساس داده‌هایی تجربی آستانه نشتی برای فشارهای مختلف گاز با استفاده یا بدون استفاده از ماده روانکار رزوه تعیین می شود. این پارامتر با فشار گاز کمی افزایش می یابد. برای آزمون‌های بدون روانکار، میانگین  $n$  مقدار ۱/۴ و در صورت استفاده از روانکار برابر با می باشد. معیار نشتی با رابطه ذیل تعریف می شود:

$$W_a < W_{ac} \rightarrow Leakage, \quad W_a > W_{ac} \rightarrow No Leakage \quad (4)$$

مقدار بحرانی  $W_{ac}$  به شکل زیر در صورت استفاده و عدم استفاده از روانکار به دست می آید:

$$W_{ac, with SC} = 1.84310^{-3} \times \left( \frac{P}{P_{atm}} \right)^{1.177} \times \left( \frac{P_{gas}}{P_{atm}} \right)^{0.838}$$

$$W_{ac, without SC} = 0.1036 \times \left( \frac{P}{P_{atm}} \right)^{0.838} \quad (5)$$

### نتایج و بحث

نتایج تحلیل اتصال با اعمال فقط گشتاور بستن در شکل ۸ نشان داده شده است. با اعمال گشتاور بستن فقط رزوه های نزدیک به نشستند تحت تنش بالا قرار می گیرند. حداکثر تنش ایجاد شده کمتر از تنش مجاز فون میسر می باشد. تنش ایجاد شده در دماغه پین از نوع فشردگی و برای باکس از نوع کششی می باشد.

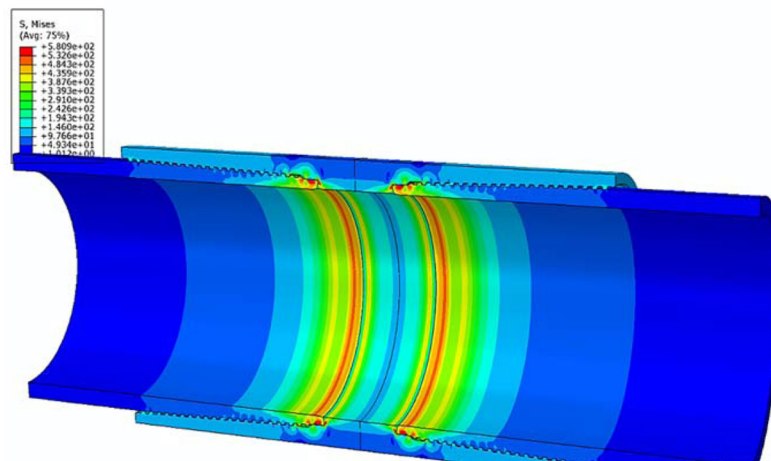
در شکل ۹ مقادیر تنش قله در ریشه رزوه های پین با علامت دایره و خط روند آن به صورت خط چین با فرمت نمایی نشان داده شده است. حداکثر تنش مربوط به رزوه های نزدیک به شانه اتصال می باشد و با دور شدن از شانه اتصال مقدار آن به طور قابل توجهی کاهش می یابد.

با در نظر گرفتن تنش مجاز برابر با ۰/۶ استحکام تسلیم متریال نتیجه می دهد که مقدار تنش محلی غشایی و مجموع تنش محلی غشایی و خمشی می بایست کمتر از مقدار استحکام تسلیم متریال باشد. چنانچه معیار شکست را فون میسر در نظر بگیریم مقادیر مذکور براساس تنش میسر محاسبه شده و با مقدار استحکام تسلیم متریال مقایسه می گردد و به این ترتیب معیار تنش برای ارزیابی اتصال مشخص گردید.

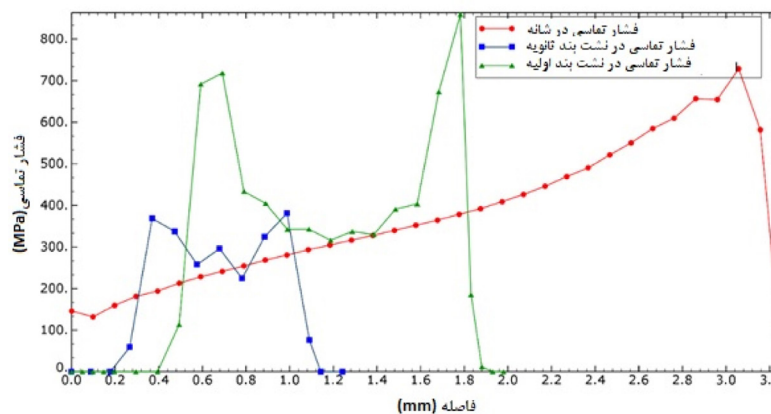
**معیار نشتی:** نشست پذیری، به توانایی نشست بند برای نگه داشتن سیال بدون ایجاد نشتی قابل توجه اشاره دارد. در اتصالات لوله های جداری و مغزی، نرخ جریان نشتی قابل قبول معمولاً کمتر از ۲ mL/h می باشد [۱۳]. انواع مختلفی از نشست بندهای فلز با فلز توسط سازندگان مختلف ساخته شده است که تفاوت آنها عمدتاً در هندسه اتصال و تغییر شکل ایجاد شده به بارهای اعمال شده براساس پروفایل فشار تماسی نشست بند  $P(l)$  و طول نشست بند  $(l)$  می باشد. طراحی نشست بندها و ارزیابی نشست پذیری مستلزم آگاهی از ویژگی هایی است که کارآیی نشست بند را افزایش می دهد مانند طول نشست بند، متوسط فشار تماسی  $P_c$  وجود قله در پروفایل نشست بند، سطح زیر منحنی پروفایل نشست بند و یا برخی رابطه های دیگر بین آنها. سایر متغیرها از جمله خواص مواد، استفاده یا عدم استفاده از روانکار، و توپوگرافی سطح نیز بر عملکرد نشست پذیری تأثیر می گذارند. مورد آخر به فرآیند ساخت و تاریخچه مکانیکی نشست بند بستگی دارد به ویژه لغزشی که در هنگام مونتاژ و جداسازی اتصال اتفاق می افتد.

پارامتر نشتی  $\eta$  براساس مطالعات Murtagian و همکاران [۱۶] با رابطه (۲) تعریف می شود. در رابطه مذکور  $P_{gas}$  فشار گاز،  $P_{atm}$  فشار اتمسفر،  $P_c$  متوسط فشار تماسی،  $L$  طول نشست بند،  $m$  و  $n$  و  $b$  پارامترهای ثابت می باشند.

$$\eta = \left( \frac{P_{gas}}{P_{atm}} \right)^m \exp \left[ -bLP_c^n \right] \quad (1)$$



شکل ۸ کانتور تنش با اعمال گشتاور بستن اتصال.



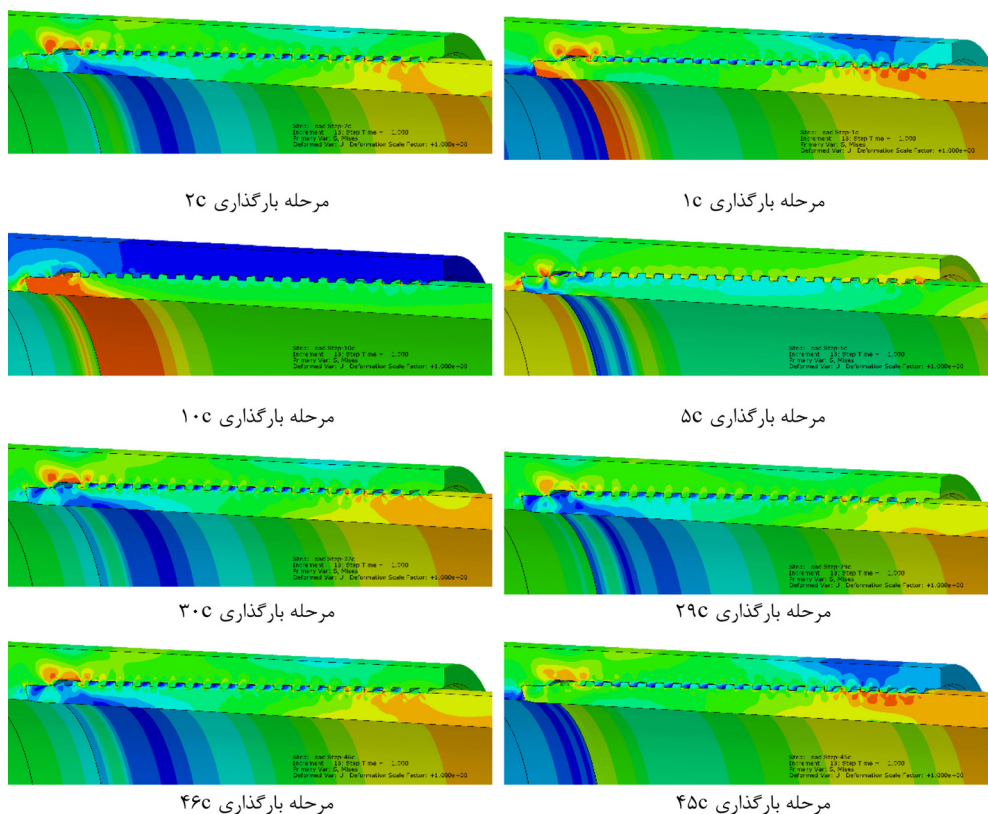
شکل ۹ فشار تماسی شانه، نشت‌بند اولیه و ثانویه.

نیروی کشش می‌باشد که در مرحله‌های بارگذاری 1c، 15d، 31d و 45c به اتصال اعمال می‌شود. حداکثر تنش پین با اعمال بارگذاری مذکور در رزوه‌های انتهایی (دورتر از شانه اتصال) وارد می‌شود. برای عضو باکس حداکثر تنش در رزوه‌ها و ناحیه شیاردار نزدیک شانه اتصال اتفاق می‌افتد. این موضوع را می‌توان اینگونه توجیح کرد که به‌دلیل ایجاد تنش کششی در شیاردار و رزوه‌های نزدیک باکس و اضافه شدن تنش کششی مضاعف با وارد شدن نیروی کشش مقدار آن افزایش می‌یابد. برخلاف آن در عضو پین که در هنگام اعمال نیروی گشتاور بستن تحت نیروی فشرده‌گی بوده است با وارد شدن نیروی کشش مقداری از نیروی فشرده‌گی صرف غلبه بر نیروی کشش شده در نتیجه تنش ایجاد شده به مراتب کمتر می‌باشد.

مقادیر فشار تماسی در شانه، نشت‌بند اولیه و ثانویه در شکل ۹ بر حسب طول نشان داده شده است. بیشترین فشار تماسی در نشت‌بند اولیه می‌باشد که مقدار آن در حدود ۸۰۰ MPa است. با مقایسه فشار تماسی نشت‌بند اولیه و ثانویه مشخص است که هر چه زاویه نشت‌بند بیشتر باشد فشار تماسی یکنواخت‌تری به سطح نشت‌بند وارد می‌شود. مقادیر مربوط به شاخص نشت‌بندی برای شانه گشتاور، نشت‌بند ثانویه و اولیه به ترتیب برابر با ۱۲۱۵، ۲۰۲ و ۳۱۸ MPa.mm محاسبه شد.

برخی از کانتورهای تنش اتصال طبق ۴۶ مرحله بارگذاری حلقه فون میسز در شکل ۱۰ ارائه شده است. نقاط بارگذاری ۱ تا ۴ (جدول ۱ و ۲) در ربع اول منحنی میسز قرار دارد و شامل اعمال نیروی کشش و فشار داخلی می‌باشد. نقطه بارگذاری ۱ فقط شامل



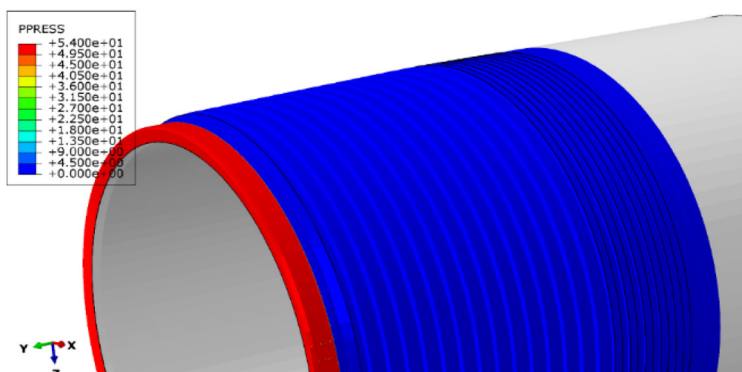


شکل ۱۰ کانتور تنش اتصال بر اثر اعمال بارگذاری طبق حلقه میسر (بارگذاری مرکب).

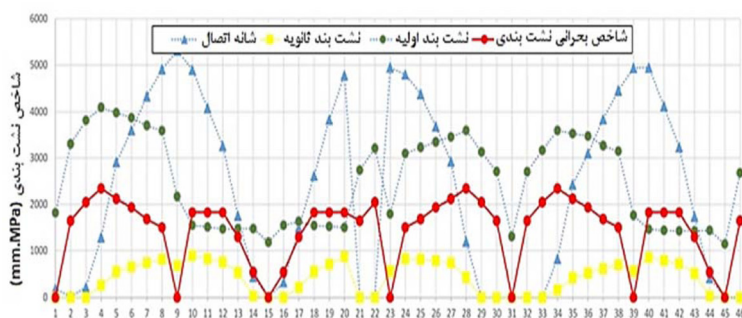
شده را نشان می‌دهد. در شکل مذکور نقاط آبی نشان‌دهنده شاخص نشت‌بندی شانه اتصال، نقاط زرد نشان‌دهنده شاخص نشت‌بندی نشت‌بند ثانویه و نقاط سبز رنگ نشان‌دهنده شاخص نشت‌بندی نشت‌بند اولیه می‌باشد. مقادیر مربوط به شاخص نشت‌بندی بحرانی نیز با رنگ قرمز مشخص شده است. چنانچه مشخص است در بسیاری از مراحل بارگذاری مقدار شاخص نشت‌بندی نشت‌بند اولیه کمتر از مقدار بحرانی می‌باشد. به این معنی که شانه نقش موثری را در نشت‌بندی اتصال ایفا نمی‌کند. می‌توان گفت نقش نشت‌بند اولیه بیشتر در فشارهای پایین قابل توجه می‌باشد. مقدار شاخص نشت‌بندی شانه اتصال نسبت به نشت‌بند اولیه و ثانویه دارای مقادیر بیشتری می‌باشد. در نقاط بارگذاری ۱ الی ۴ که بارگذاری شامل اعمال نیروی کشش می‌باشد شاخص نشت‌بندی شانه و نشت‌بند اولیه از مقدار بحرانی در کلیه مراحل بارگذاری کمتر است. در نتیجه نفوذ سیال در اتصال در این مراحل بارگذاری اتفاق می‌افتد.

وضعیت تماس سطوح پین و باکس در شانه اتصال قابل توجه می‌باشد. با وارد شدن نیروی کششی بالا در مرحله 1c فشار تماسی در شانه و نشت‌بند ثانویه حذف شده است. با وارد آمدن فشار داخلی در مرحله بارگذاری 2c به دلیل عدم وجود فشار تماسی در شانه و نشت‌بند اولیه، فشار سیال در سطح مشترک پین و باکس نفوذ می‌کند. برای روش شدن این موضوع تحلیل را با قابلیت نفوذ فشار انجام می‌دهیم. در شکل ۱۱ نفوذ فشار اتفاق افتاده در سطح عضو پین نشان داده شده است. مشاهده می‌شود سیال تا نشت‌بند ثانویه نفوذ می‌کند.

برای بررسی وضعیت نشت‌پذیری از معیار ذکر شده استفاده می‌کنیم. با محاسبه مقادیر شاخص نشت‌بندی بر حسب مگاپاسکال در میلیمتر برای هر یک از سطوح شانه، نشت‌بند اولیه و ثانویه و مقایسه آن با مقدار بحرانی شاخص نشت‌بندی می‌توان وضعیت نشت‌بندی را در مراحل بارگذاری تعیین کرد. شکل ۱۲ شاخص نشت‌بندی محاسبه



شکل ۱۱ نفوذ فشار در مرحله بارگذاری c2.



شکل ۱۲ شاخص نشت‌بندی سطوح شانه، نشت‌بند اولیه و ثانویه و مقدار بحرانی نشتی.

- ایجاد سطح دو پله‌ای روی سطح جانبی آزاد با زاویه مثبت باعث افزایش سرعت عملیات بستن اتصال می‌گردد. در طراحی ویژگی دوپله‌ای اثر کاهش استحکام فشردگی اتصال در نظر گرفته شد.
- لقی بین سطوح جانبی آزاد بین پین و باکس در مواردی که قرار است پروفایل رزوه در تحمل نیروی فشردگی اتصال نقش داشته باشد دارای اهمیت است.
- طراحی شانه اتصال با زاویه گوه‌ای در افزایش فشار تماسی سطوح نشت‌بند مهم می‌باشد. زاویه منفی شانه اتصال به همراه زاویه منفی رزوه‌ها در ایجاد ویژگی گوه‌ای تأثیر مثبت دارد.
- اتصالات هنگامی که در سرویس قرار می‌گیرند باید بتوانند در برابر آسیب‌های احتمالی مقاومت کنند و نقاط آسیب‌پذیر اتصال محافظت شوند. در این خصوص طراحی نشت‌بند خارج از خط فرضی بین رزوه‌ها و دماغه اتصال باعث کاهش خطرات آسیب ضربه می‌شود.
- ارزیابی طراحی اتصال براساس یک رویه استاندارد شامل بررسی وضعیت تنش-کرنش‌های ایجاد شده

نشت‌بندی در چنین مراحل بارگذاری بر عهده نشت‌بند اولیه می‌باشد. نشت‌بند اولیه دارای شاخص نشت‌بندی یکنواخت‌تری می‌باشد. به جز در مراحل بارگذاری ۱۰ الی ۱۲، ۱۸ الی ۲۰ و ۴۰ الی ۴۲ در مابقی مراحل بارگذاری شاخص نشت‌بندی نشت‌بند اولیه از مقدار بحرانی بیشتر است. در مراحل فوق که شاخص نشت‌بندی نشت‌بند اولیه کم می‌باشد مربوط به بارگذاری در ربع چهارم منحنی بارگذاری شامل فشار خارجی و نیروی محوری فشردگی می‌باشد. در این مراحل بارگذاری نشت‌بندی اتصال توسط شانه اتصال فراهم می‌شود.

### نتیجه‌گیری

در این پژوهش اتصال اختصاصی طراحی و با استفاده از نرم افزار اجزا محدود شبیه سازی گردید. نتایج عمده حاصل از این پژوهش به شرح زیر می‌باشند:

- فرآیند طراحی رزوه نیازمند در نظر گرفتن چندین پارامتر می‌باشد. ۳ پارامتر اصلی عبارتند از طراحی پروفایل رزوه، طراحی شانه اتصال و طراحی نشت‌بند.

و نشت‌پذیری اتصال می‌بایست انجام گیرد. • بارگذاری بر اساس سخت‌ترین شرایط کاری یعنی آزمون CAL IV در استاندارد ISO 13679 شامل آزمون سری A که در برگیرنده نیروی محوری کشش و فشردگی به همراه فشار داخلی و خارجی می‌باشد به اتصال طراحی شده اعمال گردید. مراحل و نقاط بارگذاری طبق منحنی تنش فون میسر تعیین گردید.

## مراجع

- [1]. API Specification 5B, (2015), Specification for Threading, Gauging and Thread Inspection of Casing, Tubing and Line Pipe Threads.
- [2]. ISO 13679 (2002) Recommended practice on procedures for testing casing and tubing connections.
- [3]. Pick R J, Burn D J (1971) Finite element analysis of threaded end closure of thick-walled vessel, In Engineering Solids Under Pressure Third International Conference on High Pressure, 15-25.
- [4]. Patterson E A, Kenny B (1985) Stress analysis of some nut-bolt connections with modifications to the external shape of the nut, The Journal of Strain Analysis for Engineering Design, 20, 1: 35-40, doi.org/10.1243/03093247V201.
- [5]. Gabriel E C, Andrea Bufalini, Luis Conde (2004) Low SCF integral premium connections for use in highly demanding casing and tubing drilling operations, Offshore Technology Conference, OnePetro, doi.org/10.4043/16566-MS.
- [6]. Li L, Wei X, Dou Y (2017) Finite element analysis of special threaded oil pipe joints considering temperature effects, Petroleum Machinery, 45, 11: 105-110.
- [7]. Yufei Lia, Yinping Caob, Yihua Doub, Yang YUb, Jiantao Zhanga, Lin Zhang, (2019) Simulation of Sealing Ability for Premium Connection Based on ISO 13679 CAL IV tests, doi.org/10.1016/j.prostr.2020.01.006.
- [8]. Nakamura K, Hamamoto T, Sugino M, Yamaguchi S (2009) Threaded Joint For Steel Pipes, Patent Number JP62-39467.
- [9]. Takahiro Hamamoto, Wakayama-shi; Katsutoshi Sumitani, Wakayama-shi; Masaaki Sugino, Nishinomiya-shi; Michihiko Iwamoto, Wakayama-shi; Miyuki Yamamoto, Izumiotsu-shi; Jean-Francois Charvet-Quemin, Lille; Benoit Le Chevalier, Noyelles Sur Sambre; Eric Verger, Gommegnies (2008) Tubular Threaded Joint, Patents by Inventor Takahiro Hamamoto.
- [10]. Eiji Tsuru; Shunji Nishi; Masao Ogasawara, (1988) Threaded joint for oil-well pipe, Payent number, JP62039467A.
- [11]. Masaaki Sugino, Nishinomiya; Miyuki Yamamoto, Izumiotsu; Michihiko Iwamoto, Wakayama; Shigeo Nagasaku, Nishinomiya (JP); Pierre Dutilleul, Jeanlain (FR); Gabriel Roussie, Cappelle en Pevele; Eric Verger, Gommegnies (FR) (2005) Threaded joint for steel pipes, Patent Number JP2003162699.
- [12]. API Spec 5CT, (2011) Specification for Casing and Tubing.
- [13]. ASME Sec VIII Div 2 (2007) Rules for Construction of Pressure Vessels, Patent Number, MY143348A.
- [14]. API Spec application programming interface 19AC (2016) Specification for Completion Accessories.
- [15]. API Spec 19LH (2017) Specification for Liner Hanger System.
- [16]. Murtagian G R, V. Fanelli J A, Villasante D H, Johnson Ernst H A (2004) Sealability of Stationary Metal-to-Metal Seals, Journal of Tribology, 145, 1: 1-8.
- [17]. Yufei L, Yinping C, Yihua D, Yang Y, Jiantao Z, Lin Z, (2019) Simulation of Sealing Ability for Premium Connection Based on ISO 13679 CAL IV tests, 22, 2019, 43-50.
- [18]. K Nakamura, WT Hamamoto, WM Sugino, NS Yamaguchi (2009) Threaded Joint For Steel Pipes, Patent Number JP62-39467.
- [19]. T Hamamoto, WK Sumitani, WM Sugino, NM Iwamoto, WM Yamamoto, IJ Charvet-Quemin, LB Chevalier, NS Sambre, E Verger (2008) Tubular Threaded Joint, Patents by Inventor Takahiro Hamamoto.
- [20]. Eiji Tsuru; Shunji Nishi; Masao Ogasawara, (1988) Threaded joint for oil-well pipe, Payent number, JP62039467A.
- [21]. M Sugino, N Yamamoto, IM Iwamoto, WS Nagasaku, N, Dutilleul P, J G Roussie, C Pevele, E Verger, (2005), Threaded joint for steel pipes, Patent Number United States patent US 7,900,975. 2011 Mar 8.
- [22]. API Spec 5CT, (2011), Specification for Casing and Tubing.
- [23]. ASME Sec VIII Div 2 (2007) Rules for Construction of Pressure Vessels, Patent Number, MY143348A.
- [24]. API Spec application programming interface 19AC (2016) Specification for Completion Accessories.
- [25]. API Spec 19LH (2017) Specification for Liner Hanger System, 1-80.
- [26]. Murtagian G R, V. Fanelli J A, Villasante D H, Johnson Ernst H A (2004) Sealability of Stationary Metal-to-Metal Seals, Journal of Tribology, 145, 1: 1-8.

# استفاده از لجن نفتی و قیر طبیعی در بهبود کیفیت قیر

محمد نوروزی<sup>۱\*</sup>، شکوفه قهری صارمی<sup>۲</sup> و نیلوفر فتوره‌چی<sup>۳</sup>

۱- مرکز پژوهش نفت کرمانشاه، پردیس توسعه صنایع پایین‌دستی، پژوهشگاه صنعت نفت، تهران، ایران

۲- گروه شیمی، دانشکده علوم پایه، دانشگاه پیام نور، تهران، ایران

۳- پژوهشکده توسعه فرآورش و انتقال گاز، پردیس توسعه صنایع پایین‌دستی، پژوهشگاه صنعت نفت، تهران، ایران

تاریخ دریافت: ۱۴۰۰/۱۱/۰۹ تاریخ پذیرش: ۱۴۰۱/۰۸/۰۳

## چکیده

لجن‌های نفتی عموماً از ته مانده‌های نفتی، پساب‌ها و ضایعات مراحل مختلف جداسازی در صنعت نفت به‌وجود می‌آیند و با توجه به منشأ تولید و شرایط ذخیره‌سازی آن دارای ترکیبات متنوع و پیچیده‌ای هستند. این لجن‌ها علاوه بر کاهش ظرفیت و ایجاد خوردگی در مخازن ذخیره، خطرات زیست محیطی ناشی از آلودگی آب و خاک را نیز به‌دنبال خواهد داشت. در این پروژه با استفاده از روش‌های فیزیکی، ترکیبات هیدروکربنی موجود در لجن از سایر ترکیبات شامل آب و مواد معدنی جامد جدا می‌شود. سپس با افزودن درصد‌های مختلف از لجن جداسازی شده و قیر طبیعی به قیر ۶۰/۷۰، قیرهایی با کیفیت متفاوتی فرموله شدند. خواص فیزیکی و شیمیایی قیر حاصل مورد ارزیابی آزمایشگاهی قرار گرفت و نتایج نشان‌دهنده افزایش کیفیت دلخواه قیر تولیدی است. در این بررسی از روش سطح پاسخ (RSM) جهت بهینه‌سازی فرمولاسیون تولید قیر استفاده شد.

**کلمات کلیدی:** لجن نفتی، قیر طبیعی، قیر ۶۰/۷۰، روش سطح پاسخ، ارزیابی رابطه

## مقدمه

لجن به چهار دسته آلیفاتیک‌ها، آروماتیک‌ها، ترکیبات حاوی نیتروژن- سولفور- اکسیژن (با نام عمومی مالتن‌ها) و آسفالتین‌ها تقسیم می‌شوند. آلیفاتیک‌ها و آروماتیک‌ها شامل آلکان‌ها، سیکلو آلکان‌ها، بنزن، تولوئن، زایلن، نفتالن، فنولوئیدروکربن‌های چند حلقه‌ای آروماتیک هستند [۱-۳]. آسفالتین‌ها ترکیبات سنگینی هستند که درصد بالای لجن‌ها را به‌خود اختصاص می‌دهند و به‌همراه رزین‌ها در لجن باعث پایداری امولسیون لجن نفتی می‌شوند [۴-۶].

ذرات جامد موجود در نفت خام استخراج شده به‌همراه واکس، آب و امولسیون‌های نفتی، مواد چسبناک لجنی را در کف مخازن پدید می‌آورند که ضمن کاهش ظرفیت مخازن، ایجاد خوردگی در نقاط مختلف مخزن، مشکلات محیط‌زیستی ناشی از ذخیره و دفع غیراصولی آنها را نیز به‌همراه دارد. ترکیب هیدروکربن‌های نفتی موجود در

\*مسئول مکاتبات  
آدرس الکترونیکی

norouzim@ripi.ir

شناسه دیجیتال: (DOI:10.22078/PR.2022.4728.3123)

## روش کار

## مواد مصرفی

حلال‌های مورد استفاده در این تحقیق از نمونه‌های خالص شرکت‌های مرک و فلوکا، لجن ته مخازن نفتی از پالایشگاه کرمانشاه، قیر طبیعی از یکی از معادن استان کرمانشاه هستند. قیر خالص استفاده شده در این پژوهش قیر با درجه نفوذ ۶۰/۷۰ از پالایش نفت پاسارگاد است. آماده‌سازی و تعیین مشخصات لجن نفتی، تعیین مشخصات قیر طبیعی و قیر پالایشگاهی مورد استفاده در این پژوهش از لجن نفتی که مخلوطی از لجن‌های ته مخازن ذخیره نفت خام و فرآورده‌های سنگین شرکت پالایش نفت کرمانشاه است، استفاده شد. این لجن دارای آب، هیدروکربن‌های سنگین، نمک و مواد معدنی خواهد بود. ابتدا جهت تعیین درصد تقریبی آب و رسوبات موجود در نمونه لجن مطابق روش استاندارد با استفاده از دستگاه سانتریفوژ نمونه لجن تفکیک شد [۲۹]. دو لوله سانتریفوژ تا حجم ۵۰ mL از نمونه ای همگن پر شد. با استفاده از پمپ، ۵۰ mL تولوئن اضافه شد. درب لوله‌ها را بسته و به شدت تکان داده و در حمام آب گرم در دمای ۶۰ °C به مدت ۱۰ min غوطه‌ور شدند. لوله‌ها به مدت ۱۰ min در دستگاه سانتریفوژ با چرخش ۴۰۰۰ دور در دقیقه (rpm) گذاشته شد. بلافاصله بعد از توقف دوران سانتریفوژ، حجم مجموع آب و رسوب در دو لوله به دقت اندازه‌گیری شد. مجموع حجم رسوب و آب در دو لوله مقدار درصد این دو ترکیب در نمونه لجن را نشان می‌دهد. در این پژوهش فرآوری لجن در دو مرحله انجام می‌شود. در مرحله اول، آب موجود در لجن با استفاده از روش تقطیر مطابق روش استاندارد جداسازی و اندازه‌گیری می‌گردد [۳۰]. برای اندازه‌گیری آب در لجن از یک دستگاه دین استارک استفاده می‌شود.

روش‌های متعددی برای بازیابی لجن نفتی توسعه یافته‌اند. استفاده از سانتریفوژ [۷]، مواد فعال سطحی<sup>۱</sup> [۸ و ۹] بازیابی به‌روش یخ‌زدن و ذوب [۱۰ و ۱۱]، پیرولیز لجن نفتی [۱۲ و ۱۳]، استفاده از روش ماکروویو [۱۴ و ۱۵]، روش‌های الکتروسینتیک<sup>۲</sup> [۱۶ و ۱۷] و بازیابی با استفاده از امواج فراصوت<sup>۳</sup> [۱۸ و ۱۹] از جمله رایج‌ترین و پرکاربردترین روش‌های بازیابی لجن‌های نفتی در مقیاس مختلف هستند. استخراج با حلال نیز یکی از دیگر روش‌هایی هستند که به دلیل راندمان بالا و هزینه‌های پایین، اخیراً مورد توجه فراوان قرار گرفته است [۲۰]. از آنجائی که قیر خالص رفتار عملکردی بهینه‌ای نداشته و به تنهایی هیچ‌گاه از خواص فیزیکی مکانیکی کاملاً رضایت بخشی برخوردار نبوده است، از این‌رو محققان در تلاش هستند خواص قیر را اصلاح نمایند. پلیمرها به‌خصوص از نوع گرمانرمی مهم‌ترین اصلاح‌کننده قیر هستند که باعث چسبندگی عالی، خاصیت کشتسانی بسیار خوب و مقاومت بهتر در برابر روان‌شدن و تغییر شکل می‌شوند [۲۱-۲۶]. قیر طبیعی که در مناطق غربی کشور به‌وفور یافت می‌شود، یک هیدروکربن طبیعی با مقدار آسفالتین بالا، میزان بالای حل‌شوندگی در حلال‌های آلی و میزان بالای نیتروژن است. نتایج تحقیقات نشان می‌دهد که استفاده از قیر طبیعی موجب افزایش نقطه نرمی و کاهش درجه نفوذ قیر می‌شود. از دیگر مزایا و ویژگی‌های قیر اصلاح شده با قیر طبیعی می‌توان به افزایش مقاومت مارشال و مقاومت در برابر شیارشدگی مخلوط‌های آسفالتی، افزایش طول عمر سرویس‌دهی و کاهش هزینه‌های تعمیر و نگهداری اشاره کرد [۲۸]. در این پژوهش تأثیر هم‌زمان افزایش قیر طبیعی و لجن نفتی بر عملکرد و کیفیت مدنظر قیر برای استفاده در صنایع متفاوت بررسی گردید. نتایج حاکی از آن است که با تغییر مقادیر ترکیب درصد قیر طبیعی و لجن به قیر ۶۰/۷۰ می‌توان قیرهای متنوع با مقادیر مدنظر برای شاخص‌های کیفیت فرموله نمود.

1. Surfactants  
2. Electrokinetic  
3. Ultrasonic



قیر پالایشگاهی ۶۰/۷۰ که از شرکت پاسارگاد تهیه گردید که با استفاده از روش‌های استاندارد تعیین مشخصات گردید [۳۳].

#### طراحی آزمایش اصلاح خواص قیر

هدف از این پژوهش بهبود کیفیت مد نظر قیر با استفاده از افزودن لجن نفتی و قیر طبیعی به قیر خالص ۶۰/۷۰ است. عواملی که در عملکرد این اختلاط موثر هستند شامل دما و زمان مخلوط کردن، سرعت همزن مکانیکی و از همه مهم‌تر درصد افزودنی‌های لجن و قیر طبیعی است. در صورت ثابت و بهینه بودن پارامترهای دما، زمان و سرعت اختلاط، عامل مهم و تأثیرگذار بر روی بهبود خواص قیر مقادیر متفاوت درصد اختلاط افزودنی‌های لجن و قیر طبیعی است. لذا برای بررسی این درصد اختلاط از داده‌های آماری و طراحی آزمایش استفاده می‌کنیم. برای طراحی آزمایش‌ها و تحلیل آنها از نرم‌افزار مینی تب و روش سطح پاسخ<sup>۱</sup> استفاده شد [۳۴ و ۳۵]. روش سطح پاسخ مورد استفاده در این آزمایش با استفاده از روش مرکب مرکزی است. در این روش که از جمله پرکاربردترین روش‌ها است برای هر متغیر یا عامل یک حد بالا و یک حد پایین تعریف می‌شود. همچنین در حین طراحی یک عدد به‌عنوان  $\alpha$  به نرم‌افزار می‌دهیم که این عدد همواره بزرگتر از صفر است. یکی از متغیرها درصد افزودن لجن نفتی با دامنه ۵ تا ۴۰٪ وزنی از قیر ۶۰/۷۰ و متغیر دوم درصد افزودن پودر قیر طبیعی با دامنه ۵ تا ۲۰٪ وزنی است. با استفاده از روش سطح پاسخ، ۱۳ آزمایش پیشنهاد گردید. براساس پیشنهاد مجمع جهانی راه، پودر قیر طبیعی مورد استفاده برای اصلاح قیر باید به‌طور کامل از الک شماره ۵۰ عبور کند. برای مخلوط کردن نیز باید دمای مخلوط  $140^{\circ}\text{C}$  باشد و به‌مدت ۱۵۰ min با سرعت هم‌زدن ۱۵۰ rpm مخلوط شود.

۱۰۰ mL از لجن همگن شده را در یک بالن ریخته و ۵۰ mL تولوئن به آن اضافه می‌کنیم و هم می‌زنیم تا به‌طور کامل مخلوط شوند. سپس دستگاه بالن را در جای مناسب خود قرار داده و حرارت می‌دهیم تا مخلوط به جوش بیاید. در این مدت چون مخلوط تولوئن و آب با هم آزنوتروپی با نقطه جوش پایین‌تر تشکیل می‌دهد، ابتدا آنها تبخیر می‌شوند و خارج می‌شوند. به‌دلیل اختلاف دانسیته، آب در ته لوله قرار می‌گیرد. این آزمایش را تا زمانی ادامه می‌دهیم تا مطمئن شویم که کل آب از لجن خارج شده است. در پایان، مقدار آب درون لوله اندازه‌گیری می‌شود. درصد آب در این مرحله از مقدار درصد آب و رسوب به‌دست آمده در مرحله قبل کاسته شده و درصد رسوب در لجن به‌دست می‌آید. در مرحله سوم، هیدروکربن موجود در مخلوط رسوب و هیدروکربن در مرحله دو توسط روش استخراج با حلال تولوئن و متیل اتیل کتون برای استفاده در فرمولاسیون قیر اصلاح شده جداسازی می‌شود [۳۱]. به ۲۰۰ mL مخلوط رسوب و هیدروکربن، ۵۰ mL مخلوط حلال تولوئن و متیل اتیل کتون به نسبت ۱:۱ اضافه شده و کاملاً مخلوط می‌شوند. سپس به‌مدت ۳۰ min در دمای  $60^{\circ}\text{C}$  هم‌زده می‌شود. با استفاده از کیف جداکننده فاز آلی از رسوبات جدا می‌شود و بعد از تقطیر و جداسازی تولوئن و متیل اتیل کتون، در اصلاح قیر مورد استفاده قرار می‌گیرد. شاخص اصلی در آنالیز کیفی لجن، مشخص نمودن محتوای هیدروکربنی آن است. بدین منظور در این تحقیق از تست سارا<sup>۱</sup> استفاده شده است که بیانگر محتوای هیدروکربنی لجن نفتی است. در این آزمایش هیدروکربن‌های اشباع شده، آروماتیک، رزینی و همچنین آسفالتین در نمونه لجن استخراج شده، اندازه‌گیری می‌شوند. در تحقیق حاضر از نمونه پودر قیر طبیعی یکی از معادن استان کرمانشاه با مش ۲۰۰ استفاده گردید و قبل از استفاده مشخصات آن توسط روش‌های استاندارد تعیین گردید [۳۲]. همچنین،

1. SARA

2. Response Surface Methodology (RSM)



روش‌های استاندارد مواد هیدروکربنی و نفتی از آب و رسوبات همراه جداسازی شد. مقدار آب و رسوبات همراه و همچنین ترکیب درصد هیدروکربن‌های آن پس از جداسازی توسط روش‌های استاندارد اندازه‌گیری گردید و نتایج در **جدول ۲** ارائه شده است (لازم به ذکر است که آزمایش‌های ردیف ۳ تا ۹ در این جدول پس از جداسازی آب و رسوبات از لجن برروی نمونه هیدروکربنی باقی‌مانده انجام شده است). پس از جداسازی کامل آب و رسوبات موجود در لجن نفتی اولیه، آنچه باقی‌ماند ترکیبی از هیدروکربن‌های سنگین است که درصد قابل توجهی از کل لجن نفتی را به‌خود اختصاص داده است (۸۳/۰۲٪). نتایج آزمایش سارا نشان می‌دهد که درصد بالایی از این هیدروکربن‌ها با نام عمومی مالتن شامل ترکیبات اشباع، آروماتیک و رزینی است (در کل ۹۱/۶۹٪). تنوع معادن قیر طبیعی در ایران از نظر مکان، زمان تشکیل و شرایط گوناگون استخراج و ذخیره‌سازی، سبب ایجاد گستره وسیعی از قیر طبیعی از نظر خواص فیزیکی و شیمیایی می‌شوند.

سپس دمای مخلوط تا  $180^{\circ}\text{C}$  افزایش داده می‌شود و همزدن به مدت ۳۰ min با سرعت ۴۵۰۰ rpm ادامه می‌یابد تا مخلوطی همگن از قیر طبیعی، لجن نفتی و قیر تهیه شود [۳۶]. پارامتر دما، زمان و سرعت همزدن در این آزمایش‌ها ثابت در نظر گرفته شد. طراحی آزمایش به‌روش سطح پاسخ در ۵ سطح، با توجه به مقادیر متغیرهای نشان داده شده در **جدول ۱**، انجام شد.

جدول ۱ متغیرهای تاثیرگذار بر کیفیت قیر

متغیر	نام متغیر	درصد افزایش	
		حد پایین	حد بالا
A	درصد لجن نفتی	۵	۴۰
B	درصد قیر طبیعی	۵	۲۰

## نتیجه‌ها و بحث

**تعیین مشخصات کمی و کیفی لجن نفتی، قیر طبیعی و قیر ۶۰/۷۰ و قیر اصلاح شده**  
نمونه لجن نفتی ته مخازن نگهداری حاوی ترکیبات هیدروکربنی، آب و رسوبات است که با استفاده از

جدول ۲ مشخصات لجن نفتی

ردیف	پارامتر	روش آزمایش	مقادیر
۱	مقدار رسوب در لجن نفتی (%wt)	ASTM D4007	۸/۶۸
۲	مقدار آب در لجن نفتی (%wt)	ASTM D4006	۷/۳۰
۱-۲	مقدار نمک در آب (%wt)	ASTM D3230	۳/۲۰
۳	مقدار هیدروکربن کل در لجن نفتی (%wt)	ASTM D473	۸۳/۰۲
۱-۳	مقدار هیدروکربن اشباع در کل هیدروکربن‌ها (%wt)		۳۷/۵۰
۲-۳	مقدار هیدروکربن آروماتیک در کل هیدروکربن‌ها (%wt)	IP 143, SARA	۲۳/۱۰
۳-۳	مقدار هیدروکربن‌های رزین در کل هیدروکربن‌ها (%wt)		۳۱/۰۹
۴-۳	مقدار هیدروکربن آسفالتین در کل هیدروکربن‌ها (%wt)		۸/۳۱
۴	وزن مخصوص در $25^{\circ}\text{C}$	ASTM D70	۰/۹۹
۵	مقدار گوگرد کل هیدروکربن (%wt)	ASTM D2622	۰/۸۷
۶	اندیس ویسکوزیته (VI)	ASTM D445	۴۰
۷	عدد اسیدی (mgKOH/g)	ASTM D664	۰/۲۳
۸	نقطه ریزش بخش هیدروکربنی لجن ( $^{\circ}\text{C}$ )	ASTM D97	-۱۲/۵
۹	نقطه اشتعال باز هیدروکربن ( $^{\circ}\text{C}$ )	ASTM D92	۲۶۷

پس از انجام هر یک از آزمایش‌ها، نمونه قیرهای اصلاح شده برای آزمون کیفیت قیر مورد ارزیابی تجربی قرار گرفت و نتایج در **جدول ۵** نشان داده شده است.

#### ارزیابی رابطه<sup>۱</sup>

از بین مشخصات کیفیت قیر اصلاح شده، سه پارامتر مهم شامل درجه نفوذ، نقطه نرمی و کشش‌پذیری به‌منظور بررسی اعتبار رابطه پیشنهادی توسط روش سطح پاسخ انتخاب و مورد تجزیه و تحلیل قرار گرفت. تابع توزیع نرمال شاخصی است که می‌تواند به‌منظور بررسی صحت رابطه پیشنهادی مورد استفاده قرار گیرد. هرچه توزیع داده‌ها به خط نرمال نزدیک‌تر باشند بدین معنا است که رابطه از صحت بیشتری برخوردار است.

مشخصات این ترکیب که به‌خصوص جهت استفاده از این ترکیب به‌عنوان یک افزودنی به قیر جهت اصلاح خواص مورد توجه است، بالغ بر ده‌ها مورد است. در این میان خواصی همچون مقدار حلالیت در حلال‌هایی همانند تری کلرو اتیلن، دی سولفید کربن و تتراکلرید کربن، غیر محلول بودن در حلال هپتان، مقدار خاکستر و مواد فرار در تعیین کیفیت و قیمت این ترکیب بسیار تأثیرگذار است. برخی از مشخصات مهم نمونه قیر طبیعی یکی از معادن بزرگ و معروف واقع در شهرستان گیلان‌غرب کرمانشاه در **جدول ۳** ارائه شده است. مشخصات قیر ۶۰/۷۰ تهیه شده از شرکت پاسارگاد در **جدول ۴** نشان داده شده است. ۱۳ آزمایش پیشنهاد شده براساس طراحی به‌روش پاسخ سطح انجام شد.

جدول ۳ مشخصات قیر طبیعی

ردیف	پارامتر	روش آزمون	مقدار
۱	خاکستر (%wt)	ASTM D3174	۱۲/۳۰
۲	رطوبت (%wt)	ASTM D3173	۰/۱۴
۳	مواد فرار (%wt)	ASTM D3175	۴۵/۳
۴	کربن ثابت (%wt)	ASTM D3172	۲۵/۰۲
۵	حلالیت در تری کلرواتیلن (%wt)	ASTM D2042	۷۸/۵۶
۶	وزن مخصوص در ۲۵ °C	ASTM D71	۱/۰۲
۷	نامحلول در هپتان (%wt)	ASTM D3279	۸۷/۵۶

جدول ۴ مشخصات قیر ۶۰/۷۰

ردیف	پارامتر	روش آزمون	مقدار
۱	دانسیته در دمای ۲۵ °C (g/cm <sup>3</sup> )	ASTM D70	۱/۰۶
۲	درجه نفوذ در دمای ۲۵ °C (°/1mm)	ASTM D5	۶۶
۳	نقطه نرمی (°C)	ASTM D36	۴۵
۴	کشش‌پذیری در دمای ۲۵ °C (cm)	ASTM D113	۱۰۰
۵	نقطه اشتعال (°C)	ASTM D92	۲۵۵
۶	حلالیت در تری کلرواتیلن (%wt)	ASTM D2042	۹۹/۸
۷	افت حرارتی، (%wt)	ASTM D6	۰/۱۴

جدول ۵ نتایج طراحی سطح پاسخ برای بررسی تاثیر افزایش لجن نفتی و قیر طبیعی بر کیفیت قیر

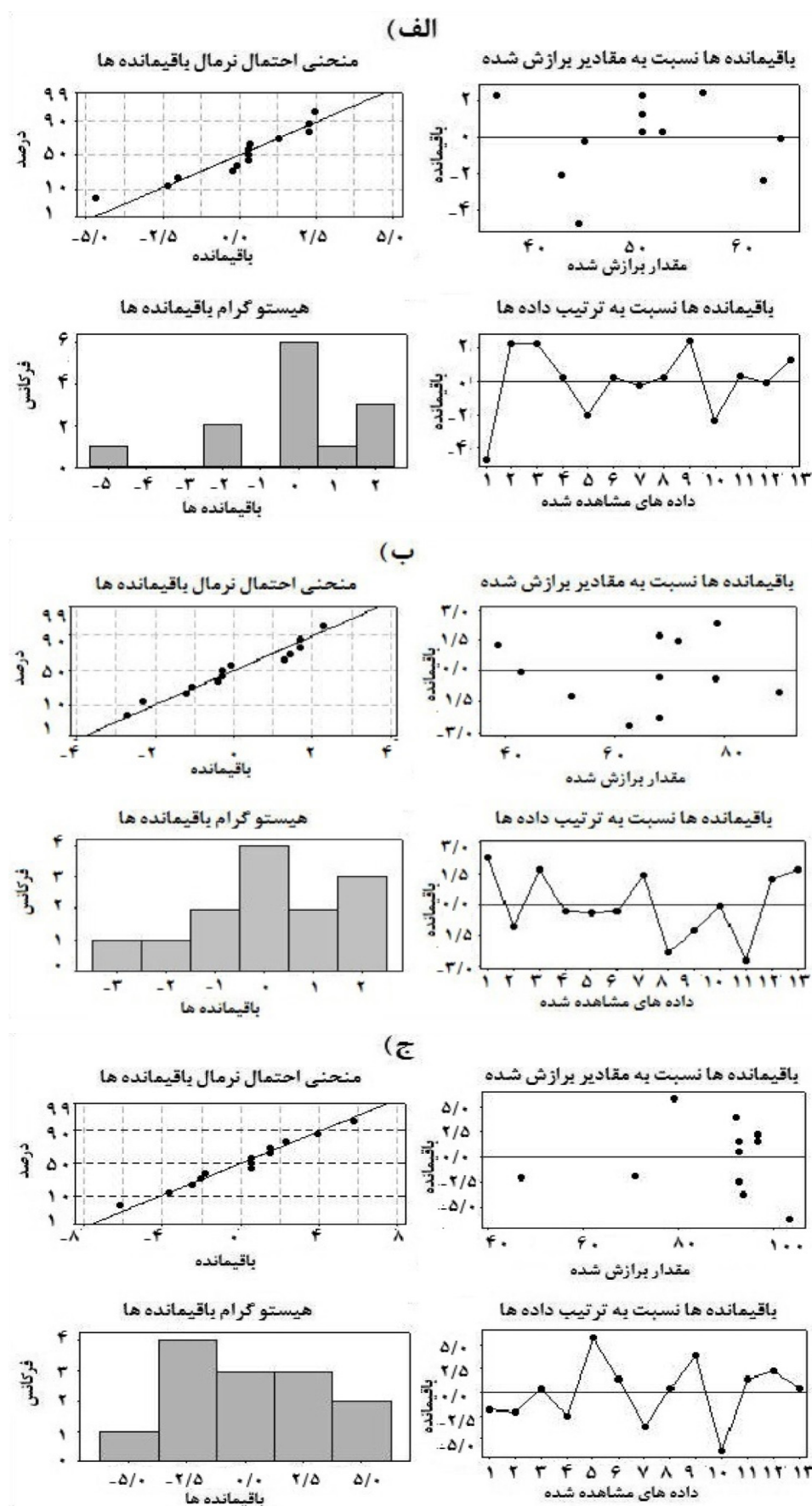
آنالیز کیفیت قیر ترکیبی								درصد قیر طبیعی	درصد لجن نفتی	شماره آزمایش
خاکستر (%wt)	حلالیت در TCE (%wt)	نقطه اشتعال (°C)	افت وزنی (%wt)	وزن مخصوص (°C ۲۵)	کشش پذیری (cm@ ۲۵ °C)	نقطه نرمی (°C)	درجه نفوذ (mm@ ۲۵ °C)			
ASTM D3174	ASTM D2042	ASTM D92	ASTM D3175	ASTM D70	ASTM D113	ASTM D36	ASTM D5			
۱/۴۹	۹۸/۳۰	۲۶۸	۰/۱۲	۱/۰۶	۶۹	۸۱	۴۰	۱۲/۵	۵/۰	۱
۲/۳۷	۹۷/۳۲	۲۶۹	۰/۱۱	۱/۱۱	۴۵	۸۹	۳۹	۲۰/۰	۵/۰	۲
۱/۴۸	۹۸/۲۲	۲۶۳	۰/۱۳	۱/۰۵	۹۳	۷۰	۵۳	۱۲/۵	۲۲/۵	۳
۱/۵۰	۹۸/۲۳	۲۶۲	۰/۱۳	۱/۰۵	۹۰	۶۸	۵۱	۱۲/۵	۲۲/۵	۴
۲/۴۴	۹۷/۲۴	۲۶۴	۰/۱۳	۱/۰۹	۸۵	۷۸	۴۱	۲۰/۰	۲۲/۵	۵
۱/۵۱	۹۸/۲۲	۲۶۳	۰/۱۳	۱/۰۵	۹۴	۶۸	۵۱	۱۲/۵	۲۲/۵	۶
۲/۴۰	۹۷/۱۴	۲۵۹	۰/۱۴	۱/۰۷	۹۰	۷۳	۴۵	۲۰/۰	۴۰/۰	۷
۱/۴۸	۹۸/۲۵	۲۶۳	۰/۱۳	۱/۰۴	۹۳	۶۶	۵۱	۱۲/۵	۲۲/۵	۸
۰/۶۰	۹۹/۲	۲۶۵	۰/۱۴	۱/۰۳	۹۶	۵۱	۵۹	۵/۰	۵/۰	۹
۰/۶۱	۹۹/۱۳	۲۶۳	۰/۱۴	۱/۰۲	۹۷	۴۳	۶۰	۵/۰	۲۲/۵	۱۰
۱/۵۱	۹۸/۱۴	۲۵۷	۰/۱۵	۱/۰۴	۹۸	۶۰	۵۳	۱۲/۵	۴۰/۰	۱۱
۰/۶۳	۹۹/۰۲	۲۵۵	۰/۱۶	۱/۰۲	۹۹	۴۰	۶۴	۵/۰	۴۰/۰	۱۲
۱/۴۸	۹۸/۲۳	۲۶۱	۰/۱۴	۱/۰۵	۹۳	۷۰	۵۲	۱۲/۵	۲۲/۵	۱۳

نمودار هیستوگرام باقی مانده ها نقطه بیشینه مطلق وجود داشت باشد بدین معناست که رابطه از دقت لازم جهت بررسی آزمایشات برخوردار بوده و نتایج آن قابل استناد است.

#### تجزیه و تحلیل واریانس برای شاخص های کیفیت قیر اصلاح شده

پس از وارد نمودن اطلاعات تجربی به دست آمده از آنالیز کیفی نمونه های قیر اصلاح شده، پاسخ های فرآیند مورد ارزیابی قرار گرفت و سپس با استفاده از تحلیل واریانس، اثر هر عامل در پاسخ های مختلف تعیین شد. همان طور که در جدول ۶ مشاهده می شود با توجه به سطح اطمینان که به صورت پیش فرض ۹۵٪ منظور شده است، متغیرهایی که مقادیر P آنها کمتر از ۰/۰۵ است دارای اهمیت بیشتری است. اثرات دو متغیر شامل درصد قیر طبیعی و لجن نفتی بر روی درجه نفوذ، نقطه نرمی و کشش پذیری مورد ارزیابی قرار گرفت.

در شکل ۱ منحنی توزیع نرمال داده ها و باقی مانده ها را برای درجه نفوذ شکل الف، نقطه نرمی شکل ب و کشش پذیری شکل ج برای ۱۳ نمونه قیر اصلاح شده ارائه شده است. نمودار باقی مانده ها بر حسب ترتیب آزمایش یکی از شاخص های اصلی بررسی اعتبار مدل در طراحی آزمایش به شمار می آید. اگر در نمودار باقی مانده ها بر حسب ترتیب آزمایش روند منطقی بین نقاط وجود نداشته باشد بدین معنا است که نقاط کاملاً تصادفی انتخاب شده و رابطه از اعتبار لازم برخوردار است. در شکل ۱ همچنین نمودار باقی مانده ها بر حسب ترتیب آزمایش را برای درجه نفوذ شکل الف، نقطه نرمی شکل ب و کشش پذیری شکل ج نشان می دهد. همان گونه که در این شکل ها پیداست هیچ ارتباط ریاضی بین نقاط وجود ندارد و نقاط کاملاً تصادفی انتخاب شده اند. نمودار هیستوگرام باقی مانده ها شاخص دیگری است که اعتبار رابطه پیشنهادی را مورد ارزیابی قرار می دهد. چنان که در



شکل ۱ نمودار باقی مانده ها برای درجه نفوذ الف، نقطه نرمی ب و کشش پذیری ج

نشان داده شده در **جدول ۶**، رابطه نقطه نرمی قیر اصلاح شده با دارا بودن بیشترین مقدار  $F (111/84)$ ، بیشترین ضریب هم‌گرایی  $(98/8)$  و کمترین مقادیر  $P$ ، با معناترین رابطه پیشنهادی است. در مرتبه بعدی رابطه کشش‌پذیری و در نهایت رابطه درجه نفوذ حائز اهمیت هستند. پس از تحلیل‌های آماری، رابطه‌های پیشنهادی به‌صورت یک رابطه برحسب ضرایب اثرگذاری متغیرها توسط نرم‌افزار ارائه شد که در روابط ۱ تا ۳ نشان داده شده است. در این روابط متغیرهای  $A$ ،  $B$ ، به‌ترتیب درصدهای وزنی لجن نفتی و قیر طبیعی هستند. همان‌طور که در این روابط مشخص است تاثیر درصد قیر طبیعی و لجن نفتی در سه مشخصه کیفیت شامل درجه نفوذ (Pen)، نقطه نرمی (Soft) و کشش‌پذیری (Duct) عملاً در جهت مخالف هم عمل می‌کنند.

$$Pen = 64.3248 + 0.5037A - 2.2053B \quad (1)$$

$$Soft = 29.3904 - 0.6928A + 5.5415B - 0.1349B^2 + 0.0095AB \quad (2)$$

$$Duct = 100.313 + 1.028A - 2.818B - 0.0029A^2 - 0.080AB \quad (3)$$

با توجه به مقادیر  $P$ ، درصد قیر طبیعی و لجن نفتی بیشترین تاثیر را بر روی درجه نفوذ قیر اصلاح شده دارند و متغیرهای درجه دو و تداخلی در این میان تاثیر ناچیز دارند (مقادیر  $P$  جملات درجه دو و برهم‌کنش بزرگتر از  $0/05$  هستند). اثر افزایش قیر طبیعی باعث کاهش درجه نفوذ و افزایش لجن نفتی باعث افزایش آن می‌شود که علامت منفی و مثبت مقادیر  $F$  این تاثیر را نشان می‌دهد. همین روند در مورد مقدار کشش‌پذیری قیر اصلاح شده مشاهده می‌شود. با این تفاوت که متغیر درجه دو مربوط به درصد لجن نفتی و همچنین اثر برهم‌کنش بر روی مقدار کشش‌پذیری دارای اهمیت هستند. دلیل اصلی این رفتار وابسته به ماهیت شیمیایی ترکیبات قیر طبیعی و لجن نفتی است. اثرات متغیرهای درصدهای قیر طبیعی و لجن نفتی در مورد مقدار نقطه نرمی برعکس تاثیر آن بر روی درجه نفوذ و کشش‌پذیری است. نکته مهم در این رابطه اینکه میزان تاثیر درصد قیر طبیعی بر روی نقطه نرمی (با داشتن مقدار  $P$  کمتر از  $0/001$ ) بیشتر از سایر متغیرها است. در بین رابطه‌های برازشی

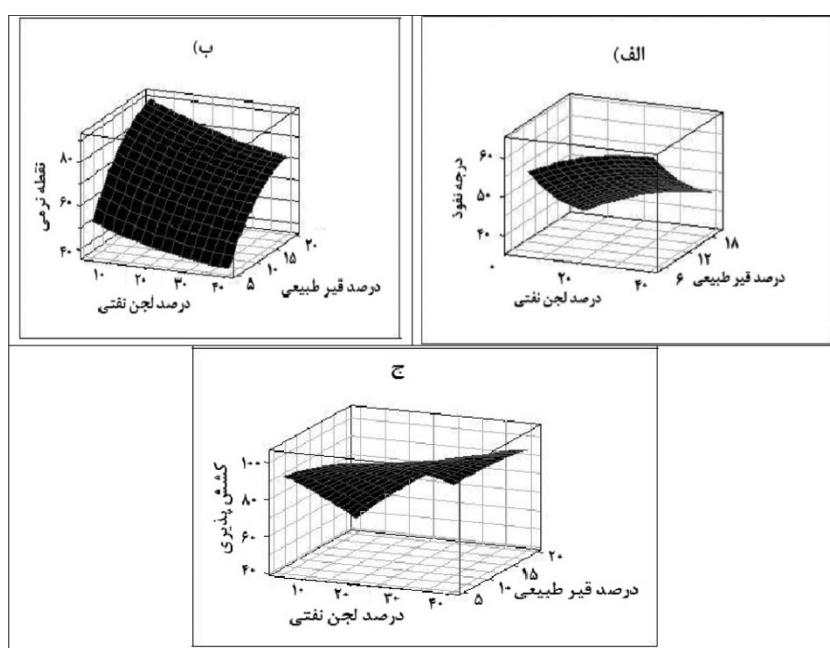
**جدول ۶** نتایج تحلیل واریانس روش سطح پاسخ برای اندازه‌گیری مقدار درجه نفوذ، نقطه نرمی و کشش‌پذیری تحت تاثیر درصدهای قیر طبیعی و لجن نفتی

عامل‌ها		درجه نفوذ		نقطه نرمی		کشش‌پذیری	
		مقدار F	مقدار P	مقدار F	مقدار P	مقدار F	مقدار P
رابطه		۱۸/۹۰	۰/۰۰۱	۱۱۱/۸۴	۰/۰۰۰	۲۸/۶۹	۰/۰۰۰
جملات خطی		۵/۱۱	۰/۰۴۳	۵۱/۰۵	۰/۰۰۰	۴/۶۸	۰/۰۴۸
لجن نفتی (A)		۱/۸۳۱	۰/۰۳۴	-۳/۲۲۸	۰/۰۱۴	۲/۳۵۲	۰/۰۴۸
قیر طبیعی (B)		-۲/۸۸۹	۰/۰۲۳	۹/۹۷۹	۰/۰۰۰	-۲/۳۲۴	۰/۰۴۶
جملات درجه دو		۱/۱۲	۰/۳۷۷	۱۸/۴۳	۰/۰۰۲	۷/۹۲	۰/۰۱۶
$A \times A$		-۱/۲۶۷	۰/۲۴۶	۱/۹۲۷	۰/۰۹۵	-۳/۴۵۴	۰/۰۱۱
$B \times B$		۱/۲۲۴	۰/۲۶۰	-۶/۰۵۷	۰/۰۰۱	-۰/۵۱۴	۰/۶۲۳
برهم‌کنش		۰/۰۴	۰/۸۵۷	۱/۴۴	۰/۲۶۹	۲۴/۵۴	۰/۰۰۲
$A \times B$		۰/۱۸۷	۰/۸۵۷	-۱/۲۰۱	۰/۰۰۱	۴/۹۵۴	۰/۰۰۲
عدم برازش		۱۹/۴۳	۰/۰۰۸	۲/۲۸	۰/۲۲۲	۱۶/۹۰	۰/۰۱۰
		$S = 2/668, R^2 = 93/1$		$S = 2/081, R^2 = 98/8$		$S = 4/239, R^2 = 95/3$	

که با تغییر مقادیر قیر طبیعی و لجن نفتی به قیر ۶۰/۷۰ می‌توان به مقادیر بهینه و مد نظر برای درجه نفوذ، نقطه نرمی و کشش‌پذیری هر کدام به‌طور جداگانه و یا در مجموع دست یافت. براساس روابط حاکم بر منحنی‌های به‌دست آمده از رابطه روش سطح پاسخ اثر هم‌زمان متغیرها بر روی شاخص‌های کیفیت شامل درجه نفوذ، نقطه نرمی و کشش‌پذیری با تقریب قابل قبولی قابل طراحی و پیش‌بینی است. تاثیر افزایش قیر طبیعی و لجن نفتی مکمل یکدیگر هستند. مقادیر لازم از قیر طبیعی و لجن نفتی به‌منظور رسیدن به مقادیر مشخصی برای درجه نفوذ، نقطه نرمی و کشش‌پذیری به‌طور جداگانه و یا هم‌زمان به‌عنوان مثال در **جدول ۷** نشان داده شده است. این جدول قابلیت بالای رابطه برای دستیابی به قیری با مشخصات دلخواه را نشان می‌دهد که براساس آن مقادیر اختلاط افزودنی‌های قیر طبیعی و لجن نفتی را نشان می‌دهد. برای دستیابی به قیری با درجه نفوذ ۵۰، نقطه نرمی ۵۰ و کشش‌پذیری ۱۰۰ به‌طور هم‌زمان و به‌تنهایی، مقادیر مشخصی طبق رابطه پیشنهاد می‌گردد.

### بهینه‌سازی و بررسی اثرات هم‌زمان متغیرها بر کیفیت قیر

در **شکل ۲** نمودارهای سه بعدی تغییرات درصد قیر طبیعی و لجن نفتی بر درجه نفوذ، نقطه نرمی و کشش‌پذیری نشان داده شده است. همان‌طور که در این شکل نشان داده شده است با افزایش قیر طبیعی به قیر ۶۰/۷۰، مقدار درجه نفوذ شکل الف و کشش‌پذیری شکل ج قیر تولیدی با شیب تند کاهش و افزایش لجن نفتی باعث افزایش درجه نفوذ و کشش‌پذیری می‌گردد. در مورد نقطه نرمی شکل ب روند کاملاً برعکس می‌شود. به‌طوری‌که افزایش قیر طبیعی و لجن نفتی به قیر ۶۰/۷۰ به‌ترتیب باعث افزایش و کاهش نقطه نرمی می‌شود. با توجه به اینکه ترکیبات موجود در قیر طبیعی بیشتر شامل ترکیبات آسفالتین و مواد معدنی است، افزایش آن به قیر ۶۰/۷۰ باعث استحکام یا به‌عبارتی سفت شدن قیر می‌شود. لجن نفتی برعکس بیشتر دارای ترکیبات رزینی بوده و ترکیبات آسفالتین آن کمتر است، در نتیجه افزایش آن باعث انعطاف‌پذیری بیشتر و یا به‌عبارتی شل شدن قیر می‌شود. بدیهی است



شکل ۲ نمودار سه بعدی تغییرات درصد قیر طبیعی و لجن نفتی بر (الف) درجه نفوذ، (ب) نقطه نرمی و (ج) کشش‌پذیری



**جدول ۷** پیش‌بینی درصد مورد نیاز از قیر طبیعی و لجن نفتی برای رسیدن به شاخص‌های کیفیت مدنظر با استفاده از رابطه

مقادیر شاخص‌های کیفیت مدنظر	پیش‌بینی درصد قیر طبیعی مورد نیاز	پیش‌بینی درصد لجن نفتی مورد نیاز	مقادیر تجربی شاخص‌های کیفیت
درجه نفوذ (۵۰)	۱۴/۷۹	۴۰/۰۲	۵۱
نقطه نرمی (۵۰)	۶/۰۳	۱۶/۷۱	۴۹
کشش‌پذیری (۱۰۰)	۷/۴۵	۲۲/۵۰	۹۸
درجه نفوذ (۵۰)، نقطه نرمی (۵۰)	۵/۰۷	۵/۶۵	درجه نفوذ (۵۰)، نقطه نرمی (۴۸)
درجه نفوذ (۵۰)، کشش‌پذیری (۱۰۰)	۱۴/۷۶	۳۸/۲۰	درجه نفوذ (۵۲)، کشش‌پذیری (۱۰۴)
نقطه نرمی (۵۰)، کشش‌پذیری (۱۰۰)	۶/۱۵	۱۷/۷۲	نقطه نرمی (۵۲)، کشش‌پذیری (۱۰۲)
درجه نفوذ (۵۰)، نقطه نرمی (۵۰)، کشش‌پذیری (۱۰۰)	۵/۰۸	۸/۵۰	درجه نفوذ (۵۸)، نقطه نرمی (۵۰)، کشش‌پذیری (۹۸)

### نتیجه‌گیری

یکی از مشکلات موجود در تمامی صنایع نفتی، شامل پالایشگاه، پتروشیمی، مراکز استخراج، نگهداری، پخش و حمل، تشکیل لجن‌های نفتی است. بهترین راه حل برای رفع این معضل جلوگیری از تشکیل آن و در مرحله دوم روش‌های فراوری و بازگردانی آن به چرخه تولید است. این تحقیق به منظور ارزیابی اثر استفاده از این لجن به همراه قیر طبیعی به عنوان اصلاح‌کننده کیفیت قیر انجام گرفت. برای رسیدن به این هدف، چندین آزمایش با افزودن این دو ترکیب به قیر ۶۰/۷۰ با استفاده از روش آماری پاسخ سطح انجام شد. در مرحله بعد سه مشخصه کیفیت قیر اصلاح شده شامل درجه نفوذ، نقطه نرمی و کشش‌پذیری با روش‌های استاندارد آزمایش گردید. در نهایت با استفاده از روش‌های آماری، اثرات افزودن هم‌زمان درصد‌های مختلفی از قیر طبیعی و لجن نفتی به قیر ۶۰/۷۰ بررسی شد. نتایج حاکی از آن است که افزایش قیر طبیعی باعث کاهش درجه نفوذ و کشش‌پذیری و برعکس باعث افزایش نقطه نرمی قیر اصلاحی می‌گردد. تاثیر افزایش لجن نفتی به

قیر برعکس افزودن قیر طبیعی باعث کاهش نقطه نرمی و افزایش درجه نفوذ و کشش‌پذیری قیر می‌گردد. استفاده هم‌زمان از قیر طبیعی و لجن نفتی در بهبود کیفیت قیر علاوه‌بر دستیابی به مشخصات دلخواه مدنظر مصرف‌کننده به قیرهایی با تنوع شاخص‌های کیفی بیشتر، با بازیابی لجن‌های نفتی و استفاده مجدد از آنها در این فرآیند، مخاطرات زیست محیطی ناشی از آلودگی آب و خاک را به حداقل می‌رساند و همچنین با استفاده از قیر طبیعی باعث کاهش بیشتر هزینه تولید اینگونه قیرها می‌گردد.

### تشکر و قدردانی

از کلیه همکاران در پژوهشگاه صنعت نفت که در طول این پژوهش با ما همکاری نمودند و یاری‌رسان ما در اتمام این پژوهش بودند و همچنین از شرکت پالایش نفت کرمانشاه و سازمان صنعت، معدن و تجارت کرمانشاه که ما را در تهیه نمونه‌ها یاری نمودند، کمال تشکر و قدردانی را داریم.

## مراجع

- [1]. Johnson O A, Affam A C (2019) Petroleum sludge treatment and disposal: A review, *Environmental Engineering Research*, 24, 2: 191-201, doi.org/10.4491/eer.2018.134.
- [2]. Choudhury S P, Saha B, Haq I, Kalamdhad A S. (2022) Use of petroleum refinery sludge for the production of biogas as an alternative energy source: a review, *Advanced Organic Waste Management*, 277-297, doi.org/10.1016/B978-0-323-85792-5.00021-6.
- [3]. Bhattacharyya J V, Shekdar A V (2003) Treatment and disposal of refinery sludges: Indian Scenario, *Waste Management and Research*, 21: 249-261, doi.org/10.1177/0734242X0302100.
- [4]. Hua G, Lia J, Zeng G (2013) Recent development in the treatment of oily sludge from petroleum industry: a review, *Journal of Hazardous Material*, 261: 470-490, doi.org/10.1016/j.jhazmat.2013.07.069.
- [5]. Reddy M V, Prathima Devi M, Chandrasekhar K, Kanniah Goud R, Venkata Mohan S (2011) Aerobic remediation of petroleum sludge through soil supplementation: microbial community analysis, *Journal of Hazardous Materials*, 197: 80-87.
- [6]. Kriipsalu M, Marques M, Maastik A (2008) Characterization of oily sludge from a wastewater treatment plant flocculation-flotation unit in a petroleum refinery and its treatment implications, *Journal of Material Cycles and Waste Management*, 10910: 79-86, doi.org/10.1007/s10163-007-0188-7.
- [7]. Cambiella A, Benito M (2006) Centrifugal separation efficiency in the treatment of water emulsified oils, *Chemical Engineering Research and Design*, 84: 69-76, doi.org/10.1016/j.jhazmat.2011.09.061.
- [8]. Mao X, Jiang R, Xiao W, Jiaguo Yuet J. (2015) Use of surfactants for the remediation of cocontaminated soils: review, *Journal of Hazardous Materials*, 285: 419-435, doi.org/10.1016/j.jhazmat.2014.12.009.
- [9]. Satpute S K, Banpurkar A G, Dhakephalkar P K, Banat IM, Chopade B A (2010) Methods for investigating biosurfactants and bioemulsifiers: a review, *Critical Reviews in Biotechnology*, 30: 127-144, doi.org/10.3109/07388550903427280.
- [10]. Zhang J, Jianbing Li J, Thring R W, Hu X, Song X (2012) Oil recovery from refinery oily sludge via ultrasound and freeze/thaw, *Journal of Hazardous Materials*, 203:195-203, doi.org/10.1016/j.jhazmat.2011.12.016.
- [11]. Hu G, J, Li H, Hou (2015) A combination of solvent extraction and freeze thaw for oil recovery from petroleum refinery wastewater treatment pond sludge, *Journal of Hazardous Materials*, 283: 832-840, doi.org/10.1016/j.jhazmat.2014.10.028.
- [12]. Barneto A G, Conesa J (2014) Thermogravimetric monitoring of oil refinery sludge, *Journal of Analytical and Applied Pyrolysis*, 105: 8-13, doi.org/10.1016/j.jaap.2013.09.007.
- [13]. Liu G, Song H, Wu J (2015) Thermogravimetric study and kinetic analysis of dried industrial sludge pyrolysis, *Waste Management*, 41: 128-133, doi.org/10.1016/j.wasman.2015.03.042.
- [14]. Appleton T, Colder R I, Kingman I R, Lowndes I S, Read AG (2005) Microwave technology for energy efficient processing of waste, *Applied Energy*, 81: 85-113, doi.org/10.1016/j.apenergy.2004.07.002.
- [15]. Tan W, Yang X G, Tan X F (2007) Study on demulsification of crude oil emulsions by microwave chemical method, *Separation Science and Technology*, 42: 1367—1377, doi.org/10.1080/01496390701193736.
- [16]. Jamshidi Zanjani A, Khodadadi A (2017) A review on enhancement techniques of electrokinetic soil remediation, *Pollution*, 3, 1: 157-166, doi: 10.22059/POLL.2017.59583.
- [17]. Habibi S (2004) A new electro kinetic technology for revitalization of oily sludge, PhD Thesis, Concordia University.
- [18]. Li J, Song X, Hu G, Thering R W (2013) Ultrasonic desorption of petroleum hydrocarbons from crude oil contaminated soils, *Journal of Environmental Science and Health, Part A*, 48: 1378-1389, doi.org/10.1080/10934529.2013.781885.
- [19]. Kim Y M, Wang M C (2003) Effect of ultrasound on oil removal from soils, *Ultrasonics*, 41:539-542, doi.org/10.1016/S0041-624X(03)00168-9.
- [20]. Hu G, Li J, Zeng G (2013) Recent development in the treatment of oily sludge from petroleum industry: a review, *Journal of Hazardous Materials*, 261: 470—490, doi.org/10.1016/j.jhazmat.2013.07.069.
- [21]. Huang B, Li G, Shu X (2006) Investigation into three-layered HMA mixtures, *Composites Part B: Engineering*, 37, 7: 679-690, doi.org/10.1016/j.compositesb.2005.08.005.
- [22]. Ameri M, Mansourian A, Ashani S S, Yadollahi G (2011) Technical study on the Iranian Gilsonite as an additive for modification of asphalt binders used in pavement construction, *Construction and Building Materials*, 25:1379-1387, doi.org/10.1016/j.conbuildmat.2010.09.005.
- [23]. Hadidy A, Yi Qiu T (2009) Mechanistic approach for polypropylene-modified flexible pavements, *Materials and Design*, 30: 1133-1140, doi.org/10.1016/j.matdes.2008.06.021.
- [24]. Ahmadinia E, Zargar M, Karim M. R, Abdelaziz M, Shafigh P.(2011) Using waste plastic bottles as additive for stone mastic asphalt, *Materials and Design*, 32: 4844-4849, doi.org/10.1016/j.matdes.2011.06.016.

- [25]. Airey G D (2004) Fundamental binder and practical mixture evaluation of polymer modified bituminous materials, *International Journal of Pavement Engineering*, 5, 3: 137-151, doi.org/10.1080/10298430412331314146.
- [26]. Tang N, Huang W, Hu J, Xiao F (2008) Rheological characterisation of terminal blend rubberised asphalt binder containing polymeric additive and sulphur, *Road Materials and Pavement Design*, 19: 1288-1300, doi.org/10.1080/14680629.2017.1305436.
- [27]. James G, Speight J G (2015) *Asphalt Materials Science and Technology*, Butterworth-Heinemann.
- [28]. Pretorius F, Grobler J, Onreat J (2004) Development of a fit-for-propose product performance specification system for asphalt mixes, *Journal of Asphalt Paving Technology*, 1-9.
- [29]. Iranian National Standardization Organization (INSO). 15342, 1st. Edition (2018), Endorsement of ASTM D4007:2011(2016), ASTM D4007, Standard test method for water and sediment in crude oil by the centrifuge method (laboratory procedure), doi: 10.22078/PR.2022.4728.3123.
- [30]. ASTM D4006. (2016) Standard Test Method for Water in Crude Oil by Distillation.
- [31]. ASTM D 473. (2017) Standard test method for sediment in crude oils and fuel oils by the extraction method.
- [32]. Iranian National Standardization Organization (INSO), 14714, Nov. (2012) 1st. Edition, Natural Bitumen's (Mineral) - Specification and Test method, doi: 10.22078/PR.2022.4728.3123.
- [33]. Iranian National Standardization Organization (INSO). (2013)12505, 1st. Edition, Bitumen and bituminous materials- Asphalts pavement construction characteristics, 1-3.
- [34]. Anderson M J, Whitcomb P J (2016) *RSM simplified: optimizing processes using response surface methods for design of experiments*, 2nd edition, Productivity Press, 1-17, doi.org/10.1201/9781315382326.
- [35]. Dean A D, Voss D D, Draguljić D (2017) Response surface methodology, in *Design and analysis of experiments*, Springer, 565-614, doi: 10.1007/978-3-319-52250-0\_16.
- [36]. Use of Modified Bituminous Binders, Special Bituminous and Bitumens with Additives in Road Pavements, World Road Association (PLARC) (2007), Permanent International Association of Road Congress, 1-107s

### راهنمای تهیه مقالات برای چاپ در مجله پژوهش نفت

مجله پژوهش نفت، مقالات علمی و پژوهشی در زمینه‌های مرتبط با صنایع نفت، گاز و پتروشیمی را برای چاپ می‌پذیرد. از پژوهشگران و کارشناسان گرامی که مایل به ارسال مقالات خود هستند، خواهشمندیم به موارد ذیل توجه فرمایند: مقاله را از طریق وب سایت مجله به آدرس [journals.ripi.ir](http://journals.ripi.ir) و یا وب سایت پژوهشگاه صنعت نفت به آدرس [www.ripi.ir](http://www.ripi.ir) با ثبت نام در سامانه الکترونیکی مجله ارسال نمایید.

مسئولیت کامل مطالب و منابع چاپ شده بر عهده نویسنده یا نویسندگان خواهد بود و نسخه نهایی مقاله پیش از چاپ به امضاء نویسنده یا نویسندگان می‌رسد. نویسنده یا نویسندگان متعهد خواهند شد که مقالات ارسالی در نشریه دیگری انتشار نیافته است. **(فرم تعهد با امضاء تمام نویسندگان ارسال گردد.)**

مقالات ارسالی عودت داده نمی‌شود.

آئین نگارش فارسی باید به طور کامل رعایت شود و از به کار بردن اصطلاحات خارجی که معادل دقیق و پذیرفته شده در زبان فارسی دارند، خودداری شود.

مقاله باید بر روی کاغذ سفید (A4) به صورت یک خط در میان (فاصله سطرها ۱/۲ سانتی متر) توسط نرم افزار Microsoft Word ویرایش ۲۰۰۷ یا ماقبل آن تایپ و حاشیه بالا و پایین ۲/۵ سانتی متر، حاشیه چپ و راست ۲/۵ سانتی متر، لبه بالا ۲/۵ سانتی متر و لبه پایین ۱/۲۷ سانتی متر تنظیم شود.

مقاله باید شامل بخش‌های زیر باشد:

۱. **عنوان:** باید تا حد امکان کوتاه و کاملاً گویای موضوع مقاله باشد.
- نام نویسنده یا نویسندگان باید پس از عنوان مقاله ذکر شود. نویسنده طرف مکاتبات باید با علامت \* در کنار نام خود مشخص گردد.
- عنوان و آدرس نویسنده یا نویسندگان و پست الکترونیکی نویسنده طرف مکاتبات مشخص شود.
۲. **چکیده:** باید بین ۱۵۰ تا ۳۰۰ کلمه و شامل هدف از تحقیق، روش کار، مهم‌ترین یافته‌ها و نتیجه‌گیری باشد.
۳. **واژه‌های کلیدی:** شامل ۳ الی ۶ واژه کلیدی که نکات اصلی در مقاله را معرفی می‌کند.
۴. **مقدمه:** مقدمه ضمن بیان هدف تحقیق، باید حاوی خلاصه‌ای از اهمیت موضوع، نتایج مطالعات و مشاهدات مرتبط با تحقیق مورد نظر که در گذشته انجام شده است، با ذکر منابع و مآخذهای لازم آن‌ها باشد.
۵. **روش کار:** در این بخش لازم است روش‌های آزمایشگاهی و مواد مصرفی و تجهیزات مورد استفاده به طور کامل معرفی شود. همچنین چگونگی و روش نمونه‌گیری با دقت بیان شود و آزمون‌های آماری مورد استفاده و مراحل استنتاج آماری به خوبی تشریح گردد.
۶. **نتایج و بحث:** در برگیرنده نتایج حاصل از تحقیق به صورت متن، جدول، نمودار و تصویر و بحث در خصوص علل پدیده‌ها و مقایسه با یافته‌های مرتبط است.
۷. **نتیجه‌گیری:** در این بخش یافته‌های حاصل از تحقیق به صورت مختصر و شفاف ارائه می‌گردد.
۸. **تشکر و قدردانی:** در صورت لزوم از همکاری سازمان‌ها می‌شود.
۹. **علائم و نشانه‌ها:** فهرست علائم و نشانه‌های مورد استفاده در مقاله به ترتیب حروف الفبا به همراه واحد و شرح آن‌ها ارائه می‌شوند.
۱۰. **مراجع:** کلیه مراجع مورد استفاده به ترتیب ارجاع آن‌ها در متن، در این بخش ارائه می‌گردند.
۱۱. **عنوان، چکیده و واژه‌های کلیدی انگلیسی:** این بخش باید در صفحه‌ای جداگانه ارائه شود. تطبیق عنوان و چکیده فارسی با انگلیسی باید مورد توجه قرار گیرد. کلیه نکات مندرج در بند ۱، در ترجمه انگلیسی آن نیز رعایت می‌شود.

لطفاً در تنظیم مقالات، نکات زیر را رعایت فرمایید:

عنوان اصلی مقاله با قلم BZar شماره ۲۴ ضخیم تایپ شود.

عناوین اصلی داخل مقاله با قلم BNazanin شماره ۱۴ ضخیم و عناوین فرعی با قلم BNazanin شماره ۱۲ ضخیم تایپ شوند. هر تیترا از متن قبلی خود با یک خط فاصله جدا شود.

متن فارسی مقاله با قلم BNazanin شماره ۱۲/۵ نازک و واژه‌ها و متن انگلیسی با قلم Times New Roman شماره ۱۰ نازک تایپ شود. عنوان جداول و شکل‌ها با قلم BNazanin شماره ۱۱ ضخیم تایپ گردد. عنوان جداول در بالا و عنوان شکل‌ها در پایین آن‌ها نوشته می‌شود. محتوای فارسی جداول با قلم BNazanin شماره ۱۱ نازک و عبارات انگلیسی جداول با قلم Times New Roman شماره ۹ نازک تایپ شود.

کلیه اعداد باید به صورت فارسی تایپ شوند.  
 واحد تمامی اعداد باید در سیستم SI باشد.  
 کلیه فرمول‌ها باید به ترتیب شماره گذاری شده و با استفاده از نرم افزار MathType تهیه شوند.  
 کلیه جداول و شکل‌ها در انتهای مقاله ارائه گردد. هر جدول یا شکل در یک صفحه جداگانه ارائه شود. همچنین فایل اصلی مقاله شامل متن اصلی، چکیده فارسی و لاتین، جداول و تصاویر (بدون نام نویسندگان) نیز ارسال گردد.  
 کلیه جداول فارسی و راست چین باشد.  
 کلیه شکل‌ها باید به صورت سیاه و سفید و کاملاً واضح ارائه شوند.  
 از تکرار داده‌ها به صورت چندگانه (جدول و نمودار و ...) خودداری فرمایید.  
 اگر شکل یا جدولی از مرجع دیگر اخذ شده باشد، شماره مرجع در انتهای عنوان شکل یا جدول درج و مشخصات آن به منابع اضافه شود.  
 شکل‌های مقالات به صورت فایل اصلی (در همان نرم افزاری که توسط آن تهیه شده‌اند مانند Excel و غیره) ارسال شود.  
 از به کار بردن واژه‌های انگلیسی در متن مقاله خودداری شود. معادل انگلیسی کلمات فارسی و نام نویسنده (گان) که برای نخستین بار در مقاله به کار می‌رود، به صورت زیرنویس در صفحه مربوط درج گردد. زیرنویس‌ها در هر صفحه با گذاردن شماره فارسی در گوشه بالای آخرین حرف از کلمه، در متن مشخص شوند.  
 در بخش چکیده نباید ارجاعی به معادلات و یا مراجع مقاله داده شود.  
 کلیه مراجع ذکر شده در بخش مراجع باید در متن مقاله مورد ارجاع قرار گرفته باشند. شماره گذاری مراجع در متن در داخل کروشه صورت می‌گیرد.  
 -تعداد صفحات مقاله به صورت خام (بدون قالب بندی) حداکثر ۱۵ صفحه تهیه گردد.

ارائه مراجع بر اساس الگوی زیر صورت می‌گیرد:

-کتاب و گزارش فارسی و خارجی:

نام خانوادگی حرف اول نام نویسنده یا نویسندگان (سال انتشار) نام کتاب، ذکر نام فصل یا فصل‌های کتاب (در صورت مطالعه و استفاده از یک یا چند فصل کتاب)، نام کتاب، شماره ویرایش کتاب، ناشر، شماره صفحات.

**مثال:**

1. Barrow GM (1984) Physical chemistry, (4th ed.), McGraw-Hill Inc., 1-127.
2. Spellman FR (2010) Problems facing water and wastewater treatment, Spellman's standard handbook for wastewater operators, 1st ed., Crc Press, 9-32.
3. Spellman FR (2010) Problems facing water and wastewater treatment (Chapter 1), Spellman's standard handbook for wastewater operators, 1st ed., Crc Press, 9-32.

**-مقاله فارسی:**

نام خانوادگی حرف اول نام نویسنده یا نویسندگان (سال) عنوان مقاله، نام مجله به طور کامل، دوره مجله، شماره مجله: شماره صفحات.

**مثال‌ها:**

۴. صفایی م، قاسمی م، ر. و میرحبیبی ع. (۱۳۸۴) ساخت و بررسی ریز ساختاری پایه‌های کاتالیستی کلسیم آلومینات، نشریه شیمی و مهندسی شیمی ایران، ۲۴، ۲: صفحات ۱۸ - ۹.
۵. زینل‌زاده ا، رضایی م، ر. و کمالی م ر (۱۳۹۲) استفاده از مدلسازی یک بعدی حوضه در مطالعه سیستم نفتی: مثالی از سنگ‌های منشأ کژدمی و پابده در جنوب فروافتادگی دزفول، پژوهش‌های چینه‌نگاری و رسوب‌شناسی، ۲۹: ۱۱۹-۱۰۷.
- مقاله خارجی: نام خانوادگی حرف اول نام نویسنده یا نویسندگان (سال انتشار) عنوان مقاله، نام کامل مجله، دوره مجله، شماره مجله: شماره صفحات.

**مثال‌ها:**

6. Wang L, Sundén B (2003) Optimal design of plate heat exchangers with and without pressure drop specifications, Applied Thermal Engineering, 23: 295-311.
7. Qiu Z, Zou C (2020) Controlling factors on the formation and distribution of "sweet-spot areas" of marine gas shales in South China and a preliminary discussion on unconventional petroleum sedimentology, Journal of Asian Earth Sciences,

194, 1: 103989-103992.

8. Soltani B, Beiranvand B, Moussavi-Harami R, Honarmand J, Taati F (2020) Facies analysis and depositional setting of the upper pliocene akchagyl formation in southeastern caspian basin, NE Iran, Carbonates and Evaporites, 35, 8: 1-18.

9. Rögl F (1999) Mediterranean and Paratethys, Facts and hypothesis of an Oligocene to Miocene paleogeography (short review), Geologica Carpathica, 50, 4: 339-349.

10. Robert Alexandra MM, Letouzey J, Kavooosi MA, Sherkati S (2014) Structural evolution of the Kopeh Dagh fold-and-thrust belt (NE Iran) and interactions with the South Caspian Sea Basin and Amu Darya Basin, Marine and Petroleum Geology, Elsevier, 57: 68-87.

#### – مجموعه مقالات کنفرانس‌ها:

نام خانوادگی حرف اول نام نویسنده یا نویسندگان (سال برگزاری کنفرانس) عنوان مقاله، عنوان کنفرانس، محل برگزاری کنفرانس، شماره صفحات.

#### مثال:

۱۱. شکری قلعه س.، زرین پاشنه س. و سلطانیه م. (۱۳۷۹) مدل سازی و شبیه سازی راکتورهای چند فاز برای گوگردزدایی از سوخت دیزل، پنجمین کنگره ملی و چهارمین کنگره بین المللی مهندسی شیمی، دانشگاه شیراز، ایران.

12. Al-Thani J, Faisal F, Tony M (2005) Risk and uncertainty modeling in the oil and gas industry, Middle East Oil and Gas Show and Conference, Society of Petroleum Engineers (SPE), Bahrain.

#### – مقاله حاصل از کتب:

نام خانوادگی حرف اول نام نویسنده یا نویسندگان مقاله (سال انتشار)، عنوان مقاله، عنوان کتاب، ناشر، شماره صفحات.

13. Lee DH, Kim HI, Kim SS (2004) Surface modification of polymeric membranes by UV grafting, Advanced materials for membrane separations, American Chemical Society, 281-299.

#### – کتب:

نام خانوادگی حرف اول نام نویسنده یا نویسندگان مقاله (سال انتشار)، عنوان کتاب، ناشر، شماره صفحات.

۱۴. آقائباتی ع. (۱۳۸۳) انتشارات سازمان زمین شناسی و اکتشافات معدنی کشور، تهران، ۵۸۶-۱.

– پایان نامه: نام خانوادگی حرف اول نام نویسنده (سال) عنوان پایان نامه، نوع پایان نامه، دانشگاه، کشور، شماره صفحات (در صورت امکان).

#### مثال:

۱۵. ابراهیمی ه (۱۳۸۳) مدل سازی راکتورهای ریفرمینگ متان توسط بخار آب از نوع حرارت از بالا، پایان نامه کارشناسی ارشد، دانشگاه صنعتی سهند، ایران، ۷۱-۱.

۱۶. نبوی ج. (۱۳۸۳) گوگردزدایی بیولوژیکی زغال سنگ طبس، پایان نامه کارشناسی ارشد، دانشگاه صنعتی اصفهان، ایران، ۴۸-۱۳.  
– پایان نامه چاپ شده به زبان انگلیسی:

Author(s) (year) Title, Degree level, University/Institute, location, pp. .

17. Mack S. (2000) Desperate optimism, MA thesis, University of Calgary, Canada, 1-82.

– ثبت اختراع: نام خانوادگی حرف اول نام مخترع یا مخترعان (سال) عنوان اختراع، نوع و شماره ثبت اختراع.

#### مثال:

18. Baker F S (1998) Highly microporous carbon, U.S. Patent: 5710092.

منابع اینترنتی: نام خانوادگی حرف اول نام نویسنده یا نویسندگان (سال) عنوان، آدرس سایت –

#### مثال:

19. Arps J, Lanning B, Dearnaley G (2007) Maximizing a potentially significant energy source, <http://www.swri.org/3pubs/ttoday/spring06/energy.html>.

توجه: در بخش مراجع (References) به هیچ وجه ممکن لغت یا عبارت غیره یا بقیه نویسندگان یا "et al" به هیچ وجه ذکر نگردد.  
توجه: در بخش مراجع مقاله و بخش چکیده تفصیلی هر مقاله، خواهشمند است که به تعدادی از مقالات چاپ شده در مجله پژوهش نفت اشاره گردد.

فونت تمامی مراجع که به زبان انگلیسی نگارش می گردد می بایست Times New Roman 10 Regular باشد.



در بخش چکیده تفصیلی (Extended Abstract) فونت ها باید به صورت ذیل باشند:

بخش چکیده تفصیلی (Extended Abstract)	Font size and type
موضوع مقاله (Topic)	Times New Roman 14 Regular and Bold
نام و نام خانوادگی نویسندگان	Times New Roman 10 Regular and Bold
افیلیشن نویسندگان	Times New Roman 9 Regular and Italic
ایمیل نویسنده یا نویسندگان مسئول	Times New Roman 9 Regular
لغت Abstract	Times New Roman 10 Regular and Bold
متن Abstract	Times New Roman 10 Regular
لغت Keywords	Times New Roman 10 Italic and Bold
لغات Keywords	Times New Roman 10 Regular
لغت Introduction	Times New Roman 10 Regular and Bold
متن Introduction	Times New Roman 10 Regular
لغت Geological settings (در صورت نیاز)	Times New Roman 10 Regular and Bold
متن Geological settings (در صورت نیاز)	Times New Roman 10 Regular
لغت Materials and methods	Times New Roman 10 Regular and Bold
متن Materials and methods	Times New Roman 10 Regular
لغت Results and discussion	Times New Roman 10 Regular and Bold
متن Results and discussion	Times New Roman 10 Regular
لغت Conclusions	Times New Roman 10 Regular and Bold
متن Conclusions	Times New Roman 10 Regular
لغت Acknowledgment (در صورت نیاز)	Times New Roman 10 Regular and Bold
متن Acknowledgment (در صورت نیاز)	Times New Roman 10 Regular
لغت Nomenclatures (در صورت نیاز)	Times New Roman 10 Regular and Bold
متن Nomenclatures (در صورت نیاز)	Times New Roman 10 Regular
لغت References	Times New Roman 10 Regular and Bold
متن References	Times New Roman 10 Regular
لغت (Appendixes)	Times New Roman 10 Regular and Bold
متن (Appendixes)	Times New Roman 10 Regular
تعداد صفحات (با در نظر گرفتن شکلها و جداول)	Research Article: Maximum 5 pages including figures and tables Review Article: Maximum 9 pages including figures and tables Short communication Article (Research note): Maximum 3 pages including figures and tables
لغت Table	Times New Roman 9 Regular and Bold
متن بیانکننده جدول	Times New Roman 9 Regular
لغات، عبارات، واحدها درون هر سلول از جداول	Times New Roman 9 Regular
لغت Fig.	Times New Roman 9 Regular and Bold
متن بیان کننده شکل	Times New Roman 9 Regular
مراجع درون متن (in-text citations)	([Times New Roman 10 Regular (e.g. [1], [1,2-5], or [3,7

# Application of Oily Sludge and Natural Bitumen as Additives for Modification of Bitumen

Mohammad Noroozi<sup>1\*</sup>, Shokoufeh Ghahri Saremi<sup>2</sup> and Niloofar Fatourehchi<sup>3</sup>

1. Center for Research and Development of Petroleum Technologies at Kermanshah, Research Institute of Petroleum Industry, Tehran, Iran

2. Department of Chemistry, Basic Science College, Payame Noor University, Tehran, Iran.

3. Gas Research and Processing Division, Research Institute of Petroleum Industry, Tehran, Iran

[norouzim@ripi.ir](mailto:norouzim@ripi.ir)

DOI:10.22078/PR.2022.4728.3123

Received: January/29/2022

Accepted: October/25/2022

## Abstract

Oily sludge's are generally formed from oil residues, effluents and wastes of different stages of separation in the petroleum industry and have various and complex compositions depending on the source of production and storage conditions. In addition to reducing capacity and causing corrosion in storage tanks, this sludge's will also cause environmental risks due to water and soil pollution. In this study, using physical methods, the hydrocarbon compounds in the sludge are separated from other compounds including water and solid minerals. Afterwards, by adding different percentages of separated sludge and natural bitumen to 60/70 bitumen were formulated bitumen's with different quality. The physical and chemical properties of the resulting bitumen were evaluated in the laboratory and the results show an increase in the desired quality of produced bitumen. In this paper, the surface response method (RSM) was used to optimize the bitumen production formulation.

**Keywords:** Oily Sludge, Gilsonite, Bitumen 60/70, Surface Response Method, Model Evaluation.

# Design of National Thread for Casing, Tubing, and Oil and Gas Downhole Equipment

**Mahdi NazariSarem**

Department of Petroleum, Material, and Mining Engineering and Technical Faculty, Islamic Azad University Central Tehran Branch, Tehran, Iran

**mahdinazarisaram@iauctb.ac.ir**

**DOI:10.22078/PR.2022.4822.3159**

Received: June/26/2022

Accepted: August/15/2022

## Abstract

Well integration aims to protect human life and the environment by reducing the risk of uncontrolled oil and gas production release during its life cycle. Well integrity requires safe connections for the casing, tubing, and downhole equipment. In this research, using modeling and simulation software by finite element method, a premium connection has been designed, which is required for the current conditions of oil and gas wells. The connection was loaded according to the international standard ISO 13679 in a triaxial loading, including the axial loads of tension and compression with internal and external pressure. The analysis results were evaluated using the criteria of stress and sealability. The results showed that the designed connection fully meets the standard requirements. The amount of stress created at different loads is lower than the yield strength of the material, while the contact pressure of the sealing surfaces makes reliable sealability. It was found that design by finite element analysis can be a reliable and inexpensive tool and an alternative to physical experiments.

**Keywords:** : Oil Country Tubular Goods (OCTG), Downhole Equipment, Premium Connection, Finite Element Method, Sealability.

# Investigation of the Performance and Stability of Ni-Co/Al<sub>2</sub>O<sub>3</sub>-ZrO<sub>2</sub> Nanocatalysts with Micro Channel Reactor in Dry Reforming of Methane

Mohamad jafar Moradi<sup>1</sup>, Gholamreza Moradi<sup>\*2</sup>, Amir Heydarinasab<sup>1</sup> and Alimorad Rashidi<sup>3</sup>

1- Department of Chemical Engineering, Islamic Azad University, Science and Research Branch, Tehran, Iran

2- Catalyst Research Center, Faculty of Chemical and Petroleum Engineering, Razi University, Kermanshah, Iran

3- Nanotechnology Research Center, Downstream Development Technologies Research Center, Research Institute of Petroleum Industry (RIPI), Tehran, Iran

gmoradi@razi.ac.ir

DOI:10.22078/PR.2022.4872.3175

Received: August/01/2022

Accepted: November/06/2022

## Abstract

In this study, the catalytic performance of thin layers of Ni-Co/Al<sub>2</sub>O<sub>3</sub>-ZrO<sub>2</sub> was explored using the dry reforming of methane (DRM) in a microchannel reactor. Physical vapor deposition (PVD) was used for preparing the nanostructures. To this end, first, thin layers of Al<sub>2</sub>O<sub>3</sub>-ZrO<sub>2</sub> were sputtered on stainless steel plates to form catalyst supports. Then, the combination of Co and Ni were coated on the catalytic support during different deposition times (2, 3, and 4 min) with Co/Ni weight percentages of 2.5%, 5%, and 7.5%. Box-Behnken design was used for the reactor tests, which were performed under certain conditions (i.e., temperature: 700, 750, and 800 °C; pressure: 1 atm; and feed flow rate: 10 ml/min) to assess the impact of various parameters (including deposition time, Co/Ni weight percentage, and reaction temperature) on catalytic activity and stability. The results showed that the highest level of activity and stability was registered at the deposition time of 4 min, the Co/Ni weight percentage of 5%, and the reaction temperature of 800 °C.

**Keywords:** Dry Reforming of Methane (DRM), Microchannel Reactor, Layer Coating Through Physical Vapor Deposition, Thin Layers of Ni-Co/Al<sub>2</sub>O<sub>3</sub>-ZrO<sub>2</sub>.

# Prediction of Geomechanical Modeling and Selection of Hydraulic Fracturing Candidate Layer in a Tight Reservoir in SW Iran: A Case Study

Farhad Asemi<sup>1\*</sup>, Afshin Zohdi<sup>2</sup> and Mohammad Saboormaleki<sup>3</sup>

1. Department of Civil Engineering, School of Engineering, Kharazmi University, Tehran, Iran

2. Department of Geology, University of Zanjan, Zanjan, Iran

3. Reservoir engineering Division, Research Institute of Petroleum Industry, Tehran, Iran

farhad.asemi@khu.ac.ir

DOI:10.22078/PR.2022.4771.3142

Received: April/14/2022

Accepted: November/27/2022

## Abstract

This study aims to investigate the use of hydraulic fracturing in the Bangeštan reservoir in one of the major fields, which is in southwest Iran. It is a tight reservoir with natural fractures. Because hydraulic fracturing is one of the reservoir development techniques, it is extremely critical to determine the in situ stresses in order to assess the effectiveness of this technique in enhancing the reservoir's production. For this purpose, a one-dimensional geomechanical model of the reservoir was developed. Geomechanical modeling was created based on the data available from the studied oil field wells as well as pre-existing experimental and mathematical correlations. The following criteria were determined for the candidate layer for hydraulic fracturing operations in the second stage of the research after determining the required geomechanical parameters: (1) appropriate porosity, (2) low in situ stress, (3) low water saturation, (4) low uniaxial compressive strength, and (5) high difference between the minimum and maximum horizontal stresses. The results of this study led to the selection of layer 3 of the reservoir as the target layer for hydraulic fracturing.

**Keywords:** Hydraulic Fracturing, Geomechanical Modeling, Candidate Layer, In Situ Stress, Tight Reservoir, Bangeštan Reservoir.

# Vapor Pressure Osmometry of 1-butyl-3-Methyl Imidazolium Thiocyanate in Aqueous Solution and its Prediction by PC-SAFT

Behrang Golmohammadi<sup>1\*</sup>, Mohammad B. Moghimi<sup>2</sup>

1. Department of Physical Chemistry, Faculty of Chemistry, University of Tabriz, Iran

2. Department of Mathematics, Faculty of Science, University of Mohaghegh Ardabili, Ardabil, Iran

behrangrose@gmail.com

DOI:10.22078/PR.2022.4706.3112

Received: January/08/2022

Accepted: October/26/2022

## Abstract

The separation of benzene and thiophene from petroleum products is one of the most important gasoline production processes in the oil industry. Imidazole and thiocyanate-based ionic liquids have been used effectively to separate benzene and thiophene. This is despite the fact that basic studies, on the other hand, remain important for the identification of this type of ionic fluid. The osmotic coefficient is the most important quantity for the electrolyte system that can be used to describe the behavior and study the interactions that occur in the systems. Therefore, the behavior of ionic liquids as electrolytes is also of special importance because these materials are highly hydrophilic, and this may change the design conditions of the process. Therefore, in this study, the osmotic coefficient of the aqueous solution of ionic liquid 1-butyl-3-methylimidazolium thiocyanate (IL) in the temperature range (298.15 - 328.15) K was measured by steam pressure osmometry up to 1 mol kg<sup>-1</sup>. Water activity and water vapor pressure reduction are determined. The developed Pitzer-Archer model was used to correlate the experimental osmotic coefficient and obtain the mean IL activity coefficient. The average standard deviation for osmotic coefficient values in the binary system with the Pitzer-Archer model is 0.012. The PC-SAFT and PCP-SAFT equations were also used to predict the osmotic coefficient.

**Keywords:** Ionic Liquid, Osmotic Coefficient, Vapor Pressure Depression, Mean Activity Coefficient, PC-SAFT.



# Determining Characteristics of Two-Phase Oil-Water Flows by the Convolutional Neural Network

Amir Poorya Sadegh Samimi, Ali Esfandiyari Bayat\* and Abulqasem Emamzadeh

Department of Reservoir Engineering, Faculty of Petroleum and Chemical Engineering, Science and Research Branch, Islamic Azad University (IAU), Tehran, Iran

alies.bayat@srbiau.ac.ir

DOI:10.22078/PR.2022.4895.3189

Received: August/21/2022

Accepted: November/08/2022

## Abstract

To date, various mechanistic models and empirical correlations have been developed to characterize and model two phase oil-water flow systems. However, in the most of these proposed models and correlations, simplified assumptions with the iterative solutions approach have been utilized, which do not have enough accuracy to estimate the flow characteristics. The aim of this study is to overcome this problem by developing a convolutional neural network through the deep learning. For this purpose, 270 flow tests including dispersed water-in-oil, dual continuous and dispersed oil-in-water flow tests have been conducted in the both horizontal and inclined (30°) states. The neural network was trained on 70% of the achieved laboratory data. It is necessary to explain that two-dimensional flow pattern images were used as the input data and flow patterns and liquid holdup fraction values were applied as the output data. The results of this study revealed that the applied flow convolutional neural network model is able to predict the flow regimes with 91% and 96% accuracies in the horizontal and inclined flows, respectively. This model is also able to predict the liquid holdup fraction with a reasonable error of 1.22% and 0.98% in horizontal and inclined flows, respectively. Therefore, it can be concluded that the proposed approach is able to automatically and accurately predict the flow regimes and liquid holdup fractions through flow images in the both horizontal and inclined states.

**Keywords:** Flow Convolutional Neural Network (FCNN), Oil-Water Two-phase Flow, Deep Learning, Image Processing

# Effect of Fracture Geometric Properties on Fluid Flow and Dynamic Characteristics in Fractured Reservoirs

Ali Sobhani Oghaz and Mohammad Emami Niri\*

Institute of Petroleum Engineering, School of Chemical Engineering, College of Engineering, University of Tehran, Iran

emami.m@ut.ac.ir

DOI:10.22078/PR.2022.4893.3188

Received: August/20/2022

Accepted: December/04/2022

## Abstract

In this research, we studied fracture parameters comprehensively and analyzed their sensitivity by the use of discrete fracture model and finite-element method. This paper seeks to find the most effective fracture parameters on fluid flow behavior in reservoirs. The experiments are conducted in two states of single and multi-fracture networks to analyze the effectiveness of the fracture parameters. During the experiments, all the related parameters were held constant except one, and then that variable parameter was changed step by step. The flow behavior was measured in these steps and the dependency of flow on each of the other fracture parameters was analyzed. Results indicate that the sensitivity interval of fracture intensity is between 6 to 30 fractures per cubic meters. This interval for fracture dip and orientation is  $0^\circ$  to  $90^\circ$  and  $0^\circ$  to  $135^\circ$ , respectively. Also, high changes in flow behavior occur when the fracture length is between 0.14 to 0.84 meters, and the fracture aperture ranges between 0.01mm to 0.1mm. Quantitative analysis of the obtained results showed that aperture is the only parameter that alters the crack behavior (from improving fluid flow to weakening it). Furthermore, sensitivity analysis revealed that for a single fracture, the aperture and orientation are the most important parameters, while the fracture intensity and aperture are the most effective ones for the multi-fracture network.

**Keywords:** Fracture Reservoir, Fracture Parameters, Single Fracture, Multi-fracture Network, Dynamic Permeability, Sensitivity Analysis.

# Molecular Simulation Study of Methane Adsorption Within Calcite Mineral in Shale Gas

Saeed Babaei <sup>1\*</sup>, Mehdi Ostadhassan <sup>2,3,4</sup>, Seyed Ali Moallemi <sup>5</sup>, Mehrab Rashidi <sup>6</sup>, Hasan Ghasemzadeh <sup>1</sup> and Ali Kadkhodaie <sup>7</sup>

1. Geo-technique Department, Civil Engineering Faculty, K. N. Toosi University of Technology, Tehran, Iran

2. State Key Laboratory of Continental Shale Hydrocarbon Accumulation and Efficient Development, Ministry of Education, Northeast Petroleum University, China

3. Institute of Geosciences, Marine and Land Geomechanics and Geotectonics, Christian-Albrechts-Universität, Germany

4. Department of Geology, Basic Science Faculty, Ferdowsi University of Mashhad, Iran

5. Upstream and Development Technologies Research Center, Research Institute of Petroleum Industry (RIPI), Tehran, Iran

6. Exploration Directorate, National Iranian Oil Company (NIOC), Tehran, Iran

7. Earth Sciences Department, Faculty of Natural Science, University of Tabriz, Iran

s.babaei@email.kntu.ac.ir

DOI:10.22078/PR.2022.4762.3136

Received: March/13/2022

Accepted: May/18/2022

## Abstract

Accurately estimating the absolute adsorption of methane in shale gas is crucial for assessing the gas-in-place (GIP). However, experimental studies can only determine the excess adsorption isotherms. In this regard, knowing the adsorbed density is necessary to convert the excess to absolute adsorption. Therefore, most researchers have calculated the absolute adsorption isotherm using the Langmuir model with a constant value for adsorbed density. This can be erroneous because, in reality, the adsorbed density is not constant. In the present study, hybrid grand canonical Monte Carlo/molecular dynamics (GCMC/MD) simulations were employed to improve the calculation of adsorbed density. To do so, methane inside calcite with a pore size of 4 nm was simulated at temperatures of 30 °C and 90 °C and a range of pressures up to 50 MPa. This study showed that adsorbed density increases and decreases with increasing pressure and temperature, respectively. Moreover, the results revealed that the Langmuir adsorption model with a constant adsorbed density underestimates the absolute adsorption capacity, which is exacerbated by increased pressure. Finally, it was found that adsorbed density obtained from molecular simulations to convert the excess to absolute adsorption can improve the estimated GIP.

**Keywords:** Shale Gas, Adsorption, Adsorbed Phase Density, Calcite, Langmuir, Molecular Simulations.

# Experimental Investigation of Hybrid Gel Performance in order to Control Fluid Loss in Fractured Formations

Rasoul Nazemi, Siavash Ashoori\* and Jamshid Moghadasi

Petroleum University of Technology, Ahwaz Faculty of Petroleum Engineering, Iran

ashoori@put.ac.ir

DOI:10.22078/PR.2022.4870.3174

Received: September/30/2021

Accepted: November/01/2022

## Abstract

Gels that have a low viscosity at the time of mixing and form a three-dimensional gel structure after some time delay can be applied successfully in controlling lost circulation. The hybrid gel consists of a cross-linked gel polymer as a continuous phase and an oil as an internal phase. The hybrid gel is cost effective and its properties can be controlled. This study consists of two parts, experimental investigation and empirical modeling using response surface methodology. A number of parameters such as initial gelation time (IGT), final gelation time (FGT), crosslinking rate (CR) and Final viscosity (FV) were defined and compared to evaluate the gel behavior under different conditions. First, the effect of pH, temperature and salinity on gel performance as well as the stability of the gel over time and the effect of shear history on gelation behavior were investigated. Then, dynamic stability test for different gels was examined to measure the amount of pressure that the gel in the fractured core can withstand to prevent further fluid loss. Finally, the amount of gel rupture with time in HCL (15 and 28%) was investigated to evaluate the formation of damage of hybrid gel. The experimental results show that hybrid gels can have proper performance and application in industry to combat lost circulation due to their flexible viscosity response and non-damaging properties. Response surface methodology (RSM) based on Box-Behnken design was utilized to identify a correlation for prediction of final viscosities of hybrid gel as a function of temperature, pH and salinity. The predicted model was obtained by solving the quadratic regression model. The value of correlation co-efficient (predicted  $R^2 = 0.88$ ) for the present mathematical model indicated good relation between experimental data and predicted values. Therefore, the proposed model predicts the viscosity of gel adequately within the limits of input parameters being used.

**Keywords:** Lost Circulation, Drilling Fluid, Hybrid Gel, Formation Damage, Response Surface Methodology

# Tectonic Analysis One of the South Western Oil Fields in Iran, Using FMI Image Log

Loghman Sadeghi, Mohammad Hassanpour Sedghi\* and Ali Kadkhodaie

Department of Earth Sciences, Faculty of Natural Sciences, University of Tabriz, Iran

[hassanpour\\_mhd@tabrizu.ac.ir](mailto:hassanpour_mhd@tabrizu.ac.ir)

DOI:10.22078/PR.2022.4611.3077

Received: September/30/2021

Accepted: December/19/2022

## Abstract

The Zagros fold-thrust belt has embedded highly efficient hydrocarbon system in itself. Most hydrocarbon reserves are stored in natural fractured reservoirs, and such systems can affect significantly on the reservoir performance. Therefore, geomechanical studies, understanding and investigating fracture patterns to optimize hydrocarbon production are of great importance for the geologists and oil engineers. Geomechanical studies generally include size and orientation of the three main axes of stress, including vertical stress ( $S_v$ ), maximum horizontal stress ( $S_{Hmax}$ ) and minimum horizontal stress ( $S_{Hmin}$ ). Studies related to well logging and geomechanical issues are the main objectives of electrical imaging techniques of the well wall. Electrical, sonic or image log, which record high-quality images are pushed in to the well and provide important information regarding boundaries of bedding, structural elements such as faults, folds, discontinuities, fractures and even secondary porosities. Accordingly, in this study, in one of the west south oil fields of Iran using Fullbore Formation Micro Imager (FMI) regarding natural and induced fractures related to regional folding and faulting, some characteristics of the fracture patterns have been studied. These characteristics include the type of fracture, orientation, density, openness, amount of slip and their relationship with regional construction of the ground. Despite the geological complexities of understudied field, orientations of sub surface fractures indicated clear relationship with the local folding axis and in some cases, it seems that it relates more the orientation of the maximum horizontal stress to the present location of the local strike slip fault too. Orientation of the maximum and minimum horizontal stress obtained N30E- N60W and N50E- N40W respectively based on two wells data analysis. According to the open fractures observed in the wells, three stages of fracture are proposed: pre-folding, early-folding and post-folding fractures.

**Keywords:** Fractures, Reservoir, Stress, FMI, Sarvak, Tectonics.

## Contents:

### **Tectonic Analysis one of the South Western Oil Fields in Iran, Using FMI Image Log**

Loghman Sadeghi, Mohammad Hassanpour Sedghi\* and Ali Kadkhodaie

### **Experimental Investigation of Hybrid Gel Performance in order to Control Fluid Loss in Fractured Formations**

Rasoul Nazemi, Siavash Ashoori\* and Jamshid Moghadasi

### **Study of Methane Adsorption in Calcite Mineral Pores in Shale Gas Reservoirs by Molecular Simulations**

Saeed Babaei\*, Mehdi Ostadhassan, Seyed Ali Moallemi, Mehrab Rashidi, Hasan Ghasemzadeh and Ali Kadkhodaie

### **Effect of Fracture Geometric Properties on Fluid Flow and Dynamic Characteristics in Fractured Reservoirs**

Ali Sobhani Oghaz and Mohammad Emami Niri\*

### **Determining Characteristics of Two-Phase Oil-Water Flows by the Convolutional Neural Network**

Amir Poorya Sadegh Samimi, Ali Esfandiyari Bayat\* and Abulqasem Emamzadeh

### **Vapor Pressure Osmometry of 1-butyl-3-Methyl Imidazolium Thiocyanate in Aqueous Solution and its Prediction by PC-SAFT**

Behrang Golmohammadi\*, Mohammad B. Moghimi

### **Prediction of Geomechanical Modeling and Selection of Hydraulic Fracturing Candidate Layer in a Tight Reservoir in SW Iran: A Case Study**

Farhad Asemi\*, Afshin Zohdi and Mohammad Saboormaleki

### **Investigation of the Performance and Stability of Ni-Co/Al<sub>2</sub>O<sub>3</sub>-ZrO<sub>2</sub> Nanocatalysts with Micro Channel Reactor in Dry Reforming of Methane**

Mohamad jafar Moradi, Gholamreza Moradi\*, Amir Heydarinasab and Alimorad Rashidi

### **Design of National Thread for Casing, Tubing, and Oil and Gas Downhole Equipment**

Mahdi NazariSarem

### **Application of Oily Sludge and Natural Bitumen as Additives for Modification of Bitumen**

Mohammad Noroozi\*, Shokoufeh Ghahri Saremi and Niloofar Fatourehchi





**Director in Charge:** J. Towfighi  
**Editor in Chief:** M. R. Ehsani  
**Executive Manager:** T. Moradian  
**Assistant Editor:** F. Rahmani  
**Administration Office:** N. Deldar, and P. N. Noori  
**Publishing, Lithography, and Binding Company:** Ganjineh-ye Miniator Publisher

## Editorial Board

**Aghabozorg H. R.**, Professor at RIPI  
**Bastani D.**, Professor at Sharif University of Technology  
**Ehsani M. R.**, Professor at Isfahan University of Technology  
**Ein-Mozaffari F.**, Professor at Ryerson University  
**Ghazanfari M. H.**, Associate Professor at Sharif University of Technology  
**Jafari Nasr M. R.**, Professor at RIPI  
**Jafari Behbahani T.**, Associate Professor at RIPI  
**Kadkhodaie Ilkhchi A.**, Professor at University of Tabriz  
**Kamali M. R.**, Professor at School of Engineering, Edith Cowan University, Australia  
**Khamehchi E.**, Professor at Amirkabir University of Technology  
**Khorasheh F.**, Professor at Sharif University of Technology  
**Masihi M.**, Professor at Sharif University of Technology  
**Mehrvar M.**, Professor at Ryerson University  
**Moussavi Harami S. R.**, Professor at Ferdowsi University of Mashhad  
**NasrEsfahany M.**, Professor at Isfahan University of Technology  
**Nekoomanesh M.**, Professor at Iran Polymer & Petrochemical Institute  
**Omidkhah M. R.**, Professor at Tarbiat Modares University  
**Rashidi F.**, Professor at Amirkabir University of Technology  
**Rashidi A.**, Professor at RIPI  
**Rezaee R.**, Professor at Curtin University, Sydney  
**Safekordi A. A.**, Professor at Sharif University of Technology  
**Towfighi J.**, Professor at Tarbiat Modares University  
**Vasheghani Farahani E.**, Professor at Tarbiat Modares University  
**Vosoughi Sh.**, Professor at Kansas University, USA  
**Vosoughi M.**, Professor at Sharif University of Technology

## Advisory Board

Abdolahi M. (Dana Energy Co)  
Abolghasemi H. (University of Tehran)  
Aghli Gh. (Ferdowsi University of Mashhad)  
Akbari R. (Kurdistan University)  
Azemat J. (Farhangian University (Faculty of Allameh Amini))  
Ebrahiabadi A. (Eslamic Azad University)  
Ghaedi M. (Shiraz University)  
Hafezi Moghadas N. (Ferdowsi University of Mashhad)  
Iranmanesh M. A. (K. N. Toosi University)  
Jokar H. (Shiraz University)  
Khazali A. R. (Isfahan University of Technology)  
Mohebian R. (University of Tehran)  
Nasiri A. R. (RIPI)  
Pak A. (Sharif University of Technology)  
Rahmani F. (Kurdistan University)  
Rasaei M. R. (University of Tehran)  
Rohi A. (Ahwaz Faculty of Petroleum)  
Sadehgpoor S. (RIPI)  
Shams R. (Sharif University of Technology)  
Shekari H. (Tabriz University)  
Taghi Zoghi A. (RIPI)  
Takhtravanchi M. (National Petrochemical Company)  
Tavakoli V. (University of Tehran)  
Vatani A. (University of Tehran)  
Zahedi S. (RIPI)

## Address:

Research Institute of Petroleum Industry (RIPI)  
P.O. Box: 14665-137, Tehran, Iran  
Tel: (+98 21) 4825 2129, 4825 3263  
Fax: (+98 21) 4473 9712  
Website: [www.ripi.ir](http://www.ripi.ir)